выпуск з

UUSQUBPQPYU ACTPODN3NKA

ABFYCT, 1979

TOM 15

ГАЛАКТИКИ ⊂ УЛЬТРАФИОЛЕГОВЫМ КОНТИНУУМОМ ХИП	
	la:
СПЕКТРАЛЬНОЕ ИССЛЕДОВАНИЕ ГАЛАКТИК С УФ-ИЗБЫТКОМ С	u.
двойными и кратными ядрами. В галактики с сейфер-	
товскими особенностями компонентов ядер	
	17.
ФИЗНЧЕСКИЕ УСЛОВИЯ В ЯДРАХ СЕЙФЕРТОВСКИХ ГАЛАКТИК	
	(20)
КОМПАКТИБЕ ГАЛАКТИКИ В ОКРЕСТНОСТИ СКОПЛЕНИЯ А 2255	
	(1)
	[6]
О ЧАСТОТЕ ВСПЫШЕК СВЕРХНОВЫХ	
	113
СИНХРОННЫЕ UBV-НАБЛЮДЕНИЯ ВСПЫШЕК UV КИТА. I.	
	(2)
К ВОПРОСУ ОБ ИНТЕРПРЕТАЦИИ ВСПЫШЕК КРАСНЫХ КАРАНКОВЫХ	
ЗВЕЗА С ПОМОЦІЛІО ОБРАТНОГО КОМПТОН ЭФФЕКТА	
Г. А. Арутовови, Р. А. Крикориан, А. Г. Никовски	1.3
СИСТЕМА ГАЛАКТИЧЕСКИХ ПЛАНЕТАРНЫХ ТУМАННОСТЕЙ, ЭВОЛЮ-	
	41:
ОБ ЭМИССИОПНЫХ ЛИНИЯХ МУ И И С. И. В ПЛАНЕТАРНЫХ ТУМАН-	
	46
ЭВОЛЮЦИЯ ЭНТРОПИЙНЫХ ВОЗМУЩЕНИЙ В ПОСЛЕРЕКОМБИНА	
	17.
РАСЧЕТ СПЕКТРА ИНТЕГРАЛЬНОГО УРАВНЕНИЯ ПЕРЕНОСА ИЗАУ-	
чения и плоский слой конечной оптической толщины	
	18
ВРАЩАЮЩИЕСЯ СВЕРХПЛОТНЫЕ КОНФИГУРАЦИИ С УЧЕТОМ ИНО-	
низации вещества	
Г. Г. Арутынян В. В. Папаян. А. В. Саркисин, Э. В. Чубарян	14
КРАТКИЕ СООБШЕНИЯ	
О ПЕНТРИВНОЙ СВЕТИМОСТИ МАГИНТИЫХ ЗВЕЗД В ПЕРЕНОРМИРУЕМЫХ МОДЕЛЯХ	
В. В. Скобелев	50
КОНФИГУРАЦИИ ВЫРОЖДЕННЫХ МАСС ПО БИМЕТРИЧЕСКОЙ ТЕОРИИ ГРАВИТАЦИИ	
гозена А. В. Саркисян, Б. В. Хачатрян, Э. В. Чуварян 🤌	511
ПИСЪМО В РЕДАКЦИЮ	
о гадионзаучений компактных групп компактных галактик	
	51
OE3OPH	
	51
моделирование поведения пульсара в низкотемпературной алборатории	
	53

Խմբագրական կոլեգիա

Ա. Ա. Բոլարչուկ, Վ. Գ. Գորքացկի, ճա. Բ. Ջելդովիչ, Հ. Մ. Թովմասյան, Ի. Մ. Կոպիլով, Վ. Հ. Համբարձումյան (գլխավոր խմբագիր), Բ. Ե. Մարգարյան,

է, Վ. Միրզոյան (գլխ. իսնթագրի տեղակալ), է, Ի. Սեղով, Վ. Վ. Սորոլև (գլխ. իսնթագրի տեղակալ), Ա. Տ. Քայլօրլյան (պատասխանատու բարտողար)

Редакционная коллегия

- В. Л. Амбарцумян (главный редактор), А. А. Боярчук, В. Г. Горбацкин,
- Я. Б. Зельдович, А. Т. Каллоглян (ответственный секретары), 11. М. Копылов,
- Б. Е. Маркарян, Л. В. Мирзоян (зам. главного редактора), Л. П. Седов, В. В. Соболев (зам. главного редактора), Г. М. Товмасян

АСТРОФИЗИКА» — научный журнал, издаваемый Академией наук Армвиской ССР. Журнал печатает оригинальные статьи по физике звезд, физике туманностей и межзвездной среды, по звездной и высгалактической астрономии, а также статьи по областям мауки, сопредельным с астрофизикой.

Журнал предпазначается для научных работников, аспирантов и студентов старших курсов.

Журнал выходит 4 раза в год, цена одного номера 1 рубль, поднисная плата за год 4 рубля. Подписку можно произвести во всех отделениях Союзпечати, а за грзницей через агентство «Международная книга», Москва, 200.

«ԱՍՏՂԱՖԻԶԻԿԱ»-ն գիտական ճանդես է, ուր նւատաբակվում է Հայկական ՍՍՀ Դիտություննեւի ակադեսիայի կողմից. Հանդեսը տպագրում է ինքնատիպ ճողվածնեւ աստղեւի ֆիզիկայի, միգամածություննեւի ու միջաստղային միջավայւի ֆիզիկայի, աստղարաշխության և աւստղալակտիկական աստղագիտության, ինչպես նաև աստղաֆիզիկային սանմանակից բնադավառնեւի գծով։

Հանդեսը նախատեսված է դիտական աշխատակիցների, ասպիսանտների և բարձր կուրսերի ուսանողների նավար։

Հանդեսը լույս է տեսնում տաբեկան 4 անգամ, I ճամաբի արժեքն է I ռութլի, բաժանուդացինը 4 ռութլի մեկ տաբվա համաբ։ Իսժանուդագրվել կաբելի է «Սոյուդպեչատ»-ի բոլու բաժանժունքներում, իսկ արտասանմանում «Մեժդունարողնայա կնիզա» դորժակալության միբոլով, Մոսկվա, 200:

О Издательство АН Арм. ССР, 1979. «Астрофизика».

АСТРОФИЗИКА АСТРОФИЗИКА

TOM 15

АВГУСТ, 1979

выпуск з

У.1K 523.855

ГАЛАКТИКИ С УЛЬТРАФИОЛЕТОВЫМ КОНТИНУУМОМ. ХІІІ

Б. Е. МАРКАРЯН, В. А. АНПОВЕЦКИИ, Дж. А. СТЕПАНЯН Поступила 4 мая 1979

Приводится X111 список галактик, обладающих интенсивным ультрафиолетовым континуумом. Список содержит данные о 108 галактиках, у 67 из инх обнаружено или авподозрено присутствие выиссионных линий в спектре. Предсказывается присутствие сейфертовских особенностей у четырех объектов. № 1217, 1239, 1269 в 1298. Заподозрено присутствие слабо выраженных сейфертовских особенностей у объектов № 1199, 1212 и 1259 к природа QSO у объекта № 1278.

В настоящий список вошли галактики, обладающие сильным и отчасти умеренным ультрафиолетовым континуумом, обнаруженные при обработке синимов спектрального облора неба, проводимого в Бюракане, начиная с 1965 г. Облор проводится с 40—52" телескопом системы Шмидта в сочетании с тонкими увиолевыми объективными призмами. При облоре в основном употребляются полутораградусная и лишь частично трекградусная призмы, дающие в сочетании с указанным телескопом дисперсии соответственно 2500 и 1800 А/мм у Н-

Приведенные в табл. I галактики располагаются в различных зонах склонения, заключенных между $6^{\rm h}40^{\rm m}$ и $11^{\rm h}40^{\rm m}$ прямого восхождения. Такая рассеянность по небу приводимых объектов объясияется тем, что в последние годы наряду с областями, расположенными ниже акватора, т. е. в зонах склонения между 0 и — 15 градусами, проводились наблюдения и ряда площадок в высоких занах склонения, для которых ранее, по разным причинам, ие были получены удачные снимки. Эти дополнительные и повторные наблюдения преследуют цель сделать обзор, по мере возможности, однородным.

Методика наблюдений, поиска, отбора и классификации объектов осталась прежией [1—3]. Основные данные галактик, вошедших в атот список, приведены в табл. 1, в столбиах которой даны соответственио:

- 1 порядковые номера;
- 2 номер галактики по NGC (IC отмечаются звездочкой) или MCG [4], если галактика занесена в один из этих каталогов. При этом числа четырехзначные и меньше относятся к NGC и IC, а остальные к MCG [4];
- 3—4 акваториальные координаты по [5], если объект занесен в этот каталог. В остальных случаях координаты были определены нами с точностью 0^m1 для прямого восхождения и 1' для склонения:
 - 5 угловые размеры в секундах дуги центральной яркой части галактики по измерениям на картах Паломарского обозрения. Эти размеры заметио преувеличены из-за влияния различных аффектов:
 - 6 приближенная яркость фотографическая величина ядра или центрального сгущения, обуславливающего спектр галактики. Приведенные оценки яркости получены путем глазомерных сравнений спектральных изображений ядер галактик и звезд с известными яркостями. Эти грубые оценки приведены для орнентировки при дальнейших исследованиях этих галактих;
 - 7 класс спектрального изображения, который определяется следующими характеристиками: а) степенью конденсации галактики (резкостью спектра), меняющейся от звездообразной 5 до диффузной 6 (промежуточные подклассы обозначаются через sd и ds); б) величиной ультрафиолетового излучения, хорошо коррелирующей с протяженностью ультрафиолетового континуума. Подклассы обозначаются цефрами 1, 2 и 3, схожими по величине UV-излучения со звездами классов О—В0, В1—В3 и В5—В8 соответственио; в) присутствием амиссионных линий, отмечлемых буквой «е» или «е:» в зависимости от того, обнаруживаются они чверенно, или лишь подозреваются.

В табл. 1 приведены данные для 108 галактик; по степени конденсации и по величине ультрафиолетового излучения они распределены следующим образом:

Класс	5	sd	ds	d	Kance -	1	2	3	Beero
Кол-во	26	24	28	30	Кол-во	12	32	64	108

Таблица 1 СПИСОК ГАЛАКТИК С УЛЬТРАФИОЛЕТОВЫМ **КОНТИНУУМОМ. XIII**

		Koopas	HATM			Спектраль-
₩.	Галектика	2195e	21950	Размеры	mpg	ный тип
1	2	3	4	5	6	7
1195		6 ^h 40 ^m 0	+ 78 05'	16"	17 ^m	ds2e:
1196		59.6	+39 18	10	16	d3e:
1197	5-17-10	7 02.9	-+28 23	24 16	16	s3e:
1198	4-17-8	08.0	+26 00	12	16	sd3e:
1199*	617- 2	20.5	+33 31	15	13.5	sdle:
1200	5-18-11	21.9	+27 26	27×14	15.5	sd3e:
1201	5-18-12	22.6	+30 04	13	16	sdie
1202		42.4	+28 34	12: 9	17	d3e
1203		44.8	+ 28 27	14×10	16.5	sd3
1204		46.6	+29 04	15×10	15.5	d2
1205		53.0	+16 42	11	16.5	sd2e
1206		54.4	+14 48	14	15.5	d3
1207	2511	59.5	+ 9 32	25×15	15.5	ds3e
1208		8 01.2	+ 8 50	14	15.5	sd2e:
1209		01.3	-1-10 09	13 7	15	d3
1210	1-21- 9	01.5	+ 5 15	25	15	ds2o
1211	1-21-10	03.0	+ 7 44	18	16	ds3e:
1212*		04.0	+27 16	13× 8	15	52a
1213		10.5	- 0 13	12	15	s20
1214	3-22- 9	21.1		27×15	15.5	ds3
1215		25.6	+23 14	10	16.5	ad3e:
1216	1-22-13	26.3	- 6 46	27×14	15.5	d+3
1217"		27.9	- 4 14	13× 7	17	sle:
1218	2622	35.3	+25 05	20 > 15	15	s3o:
1219	- 1	50.3	- 4 35	13	16.5	d3
1220	1	51.8	17 53	12	16.5	sZe:
1221		9 00.4	+18 27	27 10	16	d2e:
1222		00.6	+20 52	9	16	d3e:
1223		01.3	+17 16	12	16.5	d3e
1224	2431*	01.7	+14 48	10	15	d3e
1225	528*	06.6	+16 00	33×16	15	ds3
1226		06.8	+19 43	20×18	15.5	sd3e
1227		11.2	+18 10	17×13	16.5	d3e:
1228	2790	12.2	19 55	22×18	1ó	d2e
1229	2453 °	13.0	·-21 09	27×15	15.5	sd3e
	1	1	1			1

Таблица 1 (продолжение)

1	2	3	4	5	6	7
1230	4-22-29	9 ^h 14 ^a 1	+25 38	40 × 27"	14 ^m 5	sd2
1231	2-23-10	17.2	-10 18	15	15	sd3
1232		17.3	1 09	20 14	16	d=3e:
1233	0-25-1	31.6	₫ 0 29	27 % 18	14	ds3e:
1234		36.6	- 9 14	20 13	16	d=3e
1235	2969	39.5	- 8 23	10	15,5	« 3
1236	3023	47.3	+ 0 51	17 9	16.5	dle
1237	7 - 20 67	47.4	1 44 34	14 6 9	15.5	d2e:
1238		48.8	- 1 19	15×10	16.5	ds3
1239*		49.7	- 1 22	14	14.5	<1a
1240	576*	52.4	+11 16	13	16	ds3e
1241	2-26-4	53.9	+11 21	25 18	15.5	ds2
1242	2-26-8	55.9	+13 27	20 < 14	15	d-3e
1243	3080	57.3	-⊱13 17	21×18	15	ds3e:
1241		57.4	- 5 05	14	16	ds3e:
1245		10 04.1	7 12	10	16	d3
1246		07.5	+77 58	12 × 7	16.5	ds3
1247		07.9	+16 56	12 × 10	16	s3e:
1248		0.00	+78 05	14 9	16.5	s3e:
1249		10.5	- 7 17	16×12	16	sd3
1250	13-8-11	12.0	77 07	12	16.5	ds3
1251		14.0	- 9 14	12 9	16.5	d3e
1252		14.0	- 7 56	15×12	15.5	d3
1253		17.1	- 3 05	13	16	sd3
1254		17.7	- 8 39	15	16	ds3e
1255	13 8-19	22.0	+79 31	10×8	16	s2o:
1255		22.6	- 3 56	8	16.5	d2
1257		22.9	- 7 14	14	16.5	sd3
1258		35.4	- 7 01	26 20	15	ds2e:
1259°	630°	35.9	- 6 54	47	13.5	sdlo
1260	3326	36.9	5 22	17	15	sd2
1261	0-28-3	41.4	- 1 01	22 17	15.5	s2 a
1262	2-29-3	43.1	+11 37	10	17	sd3o:
1263		46.3	+12 28	15× 8	15.5	die.
1264	1-28 -11	46.5	+711	33×14	15	sd3
1265	-	47.0	+23 06	14× 8	17	dle:
1266	1-28-16	49.8	+ 8 21	20×13	15.5	s2

Таблица 1 (окончание)

1	2	3	4	5	6	7
1267		10 ^b 50."4	± 4°54'	20 14"	15 ¹⁰	s2e:
1268		52.3	- 39 23	9	17	d2 -
1269*		52.5	+40 42	6	17	sle
1270	-2-28-21	53.3	- 9 35	13//10	15	s3e:
1271	1-28 -22	53.5	+ 6 26	18×14	15.5	dsle
1272		55.0	-15 36	9× 7	17	s2e:
1273	-2-28-25	56.3	- 9 34	13	16	s3e:
1274		56.3	+ 7 00	13:110	16.5	d3
1275		57.5	10 39	10	16	d2
1276		58.7	- 10 45	20 14	15.5	ds3
1277		11 00.9	- 1 07	15	16.5	ds3
1278**		01.9	39 04	7	17	sle:
1279		62.9	+ 35 23	8	15.5	d2o
1280		03.3	- 5 59	13× 8	16.5	d3
1281		03.9	+77 33	14× 8	16.5	#d3
1282	4-26-31	04.7	- ; -21 46	22 18	15	sd3e:
1283		05.1	-1-28 46	11× 9	15.5	ds2e
1284		06.4	- 0 42	10	15,5	sd2e:
1285	177	08.9	+ 22 27	8	17	ds3e:
1286		09.2	+78 21	9	17	sd2
1287		10.1	-10 01	11× 7	16	d2
1288	3618	15.9	23 45	15	16	*3o:
1289	6-25-42	16.2	-36 56	14	16	d3
1290		17.4	- 5 35	- 8	15.5	sd3
1291	3660	21.1	- 8 24	13	15.5	230
1292		21.6	- 7 01	15× 9	16.5	d3
1293		22.2	+20 03	12× 9	17	sd3
1294		23.6	- 5 19	33×15	14.5	d3
1295		26,1	+ 8 02	12× 8	16.5	ds3e
1296	4-27-45	26.3	4 21 91	18 12	16.5	d•3e :
1297	3-29-58	26.6	+20 04	20 13	16	s3
1298*		26.7	- 4 08	14 9	15	sle
1299		31.6	- 7 21	13	15.5	d+2
1300		31.7	+24 44	11× 9	16.5	d2
1301	6-26- 7	33.2	+35 36	27×14	15	s2e
1302	1-30- 5	36.4	+ 3 51	13	15.5	s2e:

Примечания к таблице

- 1195 Сферическая. Возможно, пекулярная.
- 1196 Имеет ядро сложной структуры. Наблюдаются слабые спутники или сверхассоциации на юге и на севере.
- 1197 По-видимому, ядро пекулярной спирали.
- 1198 Ядро, по-видимому, расстроенной спирали со спутником на NW.
- 1199 Ядро галактики сложной структуры с большям выбросом на NE. Не исключена возможность наличия у нее слабо выраженных сейфертовских особенностей.
- 1200 Ядро спирали с перемычкой.
- 1201 Сферическая, умеренно конденсированная гвлантика. На востоке наблюдается сильно вытянутое образование, связь которого с этой галантикой не исключена.
- 1202 Сферондальная. Вытянута по 2-
- 1203 Сферондальная.
- 1204 Сфероидальная, Вытянута по з.
- 1205 Сферическая, умеренно конденсированная галактика.
- 1206 Сферическая, компактного вида.
- 1207 Сферондальная.
- 1208 Почти сферическая.
- 1209 Ядро пекулярной спирали.
- 1210 Сферическая, с разрезанными краями. В спектре четко наблюдаются H_0 и $(N_1^{\bullet} + N_2 + H_3)$.
- 1211 Система из двух-трех галактик в контакте.
- 1212 Сфероидальная, компантная. Возможно наличие сейфертовских особенностей.
- 1213 Ядро, по-видимому, спиральной галактики, наблюдаемой с ребра.
- 1214 Сфероидальная. Имеет голубое образование на юге и голубой спутник на юговостоке.
- 1215 Юго-западный компонент двойной системы.
- 1216 Сферондальная.
- 1217 Компактная, эллиптической формы. Вытянута по з. Возможно, что двойная, в противном случае на западный край проектируется звезда. В спектре намечаются амиссионные линии. Возможно присутствие сейфертовских особенностей.
- 1218 Ядро спиральной главктики, имеющей двух спутников, 16^{тн} и 17th, расположенных на западе. У сругников наблюдается слабый UV-контипуум.
- 1219 Сферическая, с короной.
- 1220 Сферическая, очень компактная галактика.
- 1221 Галактика вланитической формы.
- 1222 Ядро пенулярной галантики.
- 1223 Сферическая.
- 1224 Тесная система, состоящая на нескольких сферондальных галактик.
- 1225 Ядро спирали, имеющей несколько спутников, связанных с нею.
- 1226 Сферондальнал.
- 1227 Сферондальная.
- 1228 Почти сферическая.
- 1229 Ядро малораявитой спирали.
- 1230 По-видимому, двойная. Данные относятся к юго-восточному компоненту.
- 1231 Ядро галактики с баром.
- 1232 Сфероидальная, вытянута по
- 1233 Структура галактики не ясна.
- 1234 Анизовидная. Вытянута с NE на SW.

- 1235 Ядро синральной галактики типа Sc. размеры и яркость относятся к ядру.
- 1236 Спутник довольно яркой спирали NGC 3023, расположенной в рукаве к югопостоку от центра галактики, на расстоянии 25". По-видимому, имеет место проектирование спутника на носточный рукав.
- 1237 Овальной формы. Вытянута с NE на SW. Поіш 146.
- 1238 Опальная, имеет слабый ореол.
- 1239 Сферическая, компактная. В спектре четко наблюдается Н. Можно уверенно предсказать наличне сейфертовских особенностей.
- 1240 Сферическая, со слабой короной. Кроме Н, намечается эмиссионная линия в симей области спектра.
- 1241 Овильния, с короной.
- 1242 Ядро сферондальной галактики.
- 1243 Пентральная часть ранней спирали.
- 1244 Сферическая, с хороной.
- 1245 Компактная, слабо конденсированныя.
- 1246 Сферическая, Вытянута с NE на SW.
- 1247 Опальная.
- 1248 Сфероидальная, имеет вытяпутую оболочку.
- 1249 Сфесондальная, со слабым орголом.
- 1250 Сферическая, с короной.
- 1251 Овальная, компактного вида.
- 1252 Овальная, со слабой короной.
- 1253 Сферическая. Имеет асимметричную корону. На расстоянии 40" к западу эмиссионная галактика примерно такой же яркости, без заметного UV-континуума. Вероятно, образуют пару.
- 1254 Сферическая, со слабым ореолом. Намечастья Н.
- 1255 Овальная, имеет эвездообразное ядро.
- 1256 Сферического вида. Не исключено, что тесно-двойная.
- 1257 Сферическая.
- 1258 Овахьная, с двумя выступами на севере.
- 1259 Сферическая, с короной. В спектре четко наблюдаются эмиссионные линии. Возможно присутствие слабых спиральных рукавов. Не исключена поэможность наличия сейфертовских особенностей.
- 1260 Ядро сферической галактики с короной, на NW намочаются три уплотнения.
- 1261 Ядро сферической галактики. Яркость и размеры относятся к центральной части галактики. Нойп 211.
- 1262 Ядро Sc-галантики.
- 1263 Тесно-диойная система сферических галантик, расположенных по . Южный. более яркий компонент имеет более значительный континуум.
- 1264 Сильно вытянута по В Эллиптической формы. Можно заподозрить наличие звездообразного ядра.
- 1265 Сферондальная.
- 1266 Сферическая, имеет спутиля в контакте, расположениый на западе.
- 1267 Сферондальная, не исключено, что тесно-двойная.
- 1268 Почти сферическая, со слабым орелом.
- 1269 Сферическая, очень компактная. По-видимому, далекая галактика сейфертовского типа.
- 1270 Яркое маро спиральной галактики позанего типа.
- 1271 Сфероидальная. В спектре наблюдается вся бальмеровская серня. N₃. N₃ м. 3727.

- 1272 Очень слабая, компактная.
- 1273 Ядро спиральной галактики с перемычкой.
- 1274 Галактика опальной формы.
- 1275 Галактика сложной структуры. Возможно, состоит из двух-трех компонентов.
- 1276 Сферондальная, с короной.
- 1277 Сферическая, с размытыми краями. На севере в контакте спутник 19 ...
- 1278 Сферическая, сильно конденсированная. Не отличается от эвезд. Вероятно, близкий QSO.
- 1279 Пекулярная галантика.
- 1280 Опальная.
- 1281 Сфероидальная. Вытянута с SE на NW.
- 1282 По-видимому, ядно ранней спирали.
- 1283 Сфероидальный объект, возможно двойной, в противном случае ямеет мощный выброс.
- 1284 Почти сферическая, компактиая.
- 1285 Сферическая, компактияя, с раметной короной.
- 1286 Сферическая, компактная.
- 1287 Сферондальная.
- 1288 Ядро спиральной галантики.
- 1289 Центральная часть галактики со слабыми спиральными рукавами.
- 1290 Сферическая. Юго-восточный компонент двойной системы в общем тумане.
- 1291 Ядро спиральной галактики типа Sc.
- 1292 Овальная. Вытянута по %
- 1293 Сфероидальная, компактного вида.
- 1294 Сферондальная. Вытянута по 4 Не исключено, что двойная.
- 1295 Сферондальная. В спентре четко наблюдается На-
- 1296 Тесно двойная система сферондальных галантик. Данные относятся к северовосточному компоненту. Holm 258.
- 1297 Ядро сферондальной галактики.
- 1298 На прямых симмках сильно конденсированная, компактная галактика. Можноуверенно предсказать наличие сейфертовских особенностей.
- 1299 Сферическая, компактного вида.
- 1300 Сфероидальная, компактная.
- 1301 Ядро, по-видимому, сильно наклонной спиральной галактики.
- 1302 Ядро махоразвитой спиральной галантичи.

143 приведенных в таблице 108 галактик у 67 было обиаружено или заподозрено присутствие амиссионных линий в спектре.

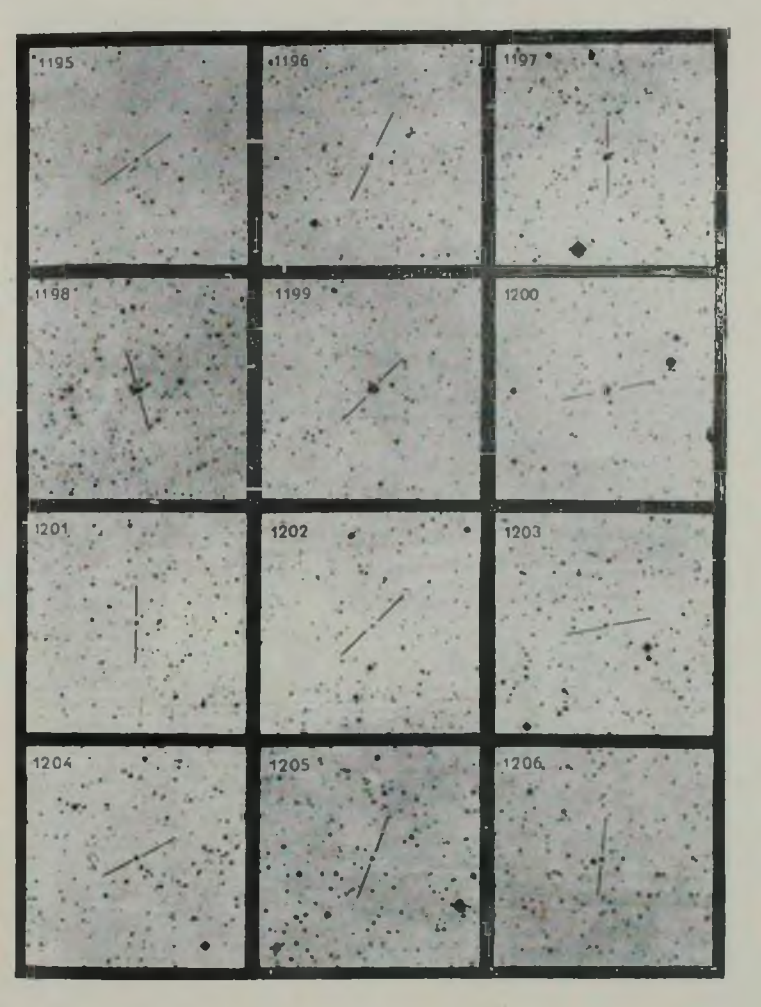
У галантик № 1217, 1239, 1269 и 1298, отмеченных в таблице однойзвездочкой, предсказывается присутствие сейфертовских особенностей, при втом у объектов № 1239 и 1298 совершенно уперению. Помимо атого у трех галактик, № 1199, 1212 и 1259, заподозрено присутствие слабо выраженных сейфертовских особенностей.

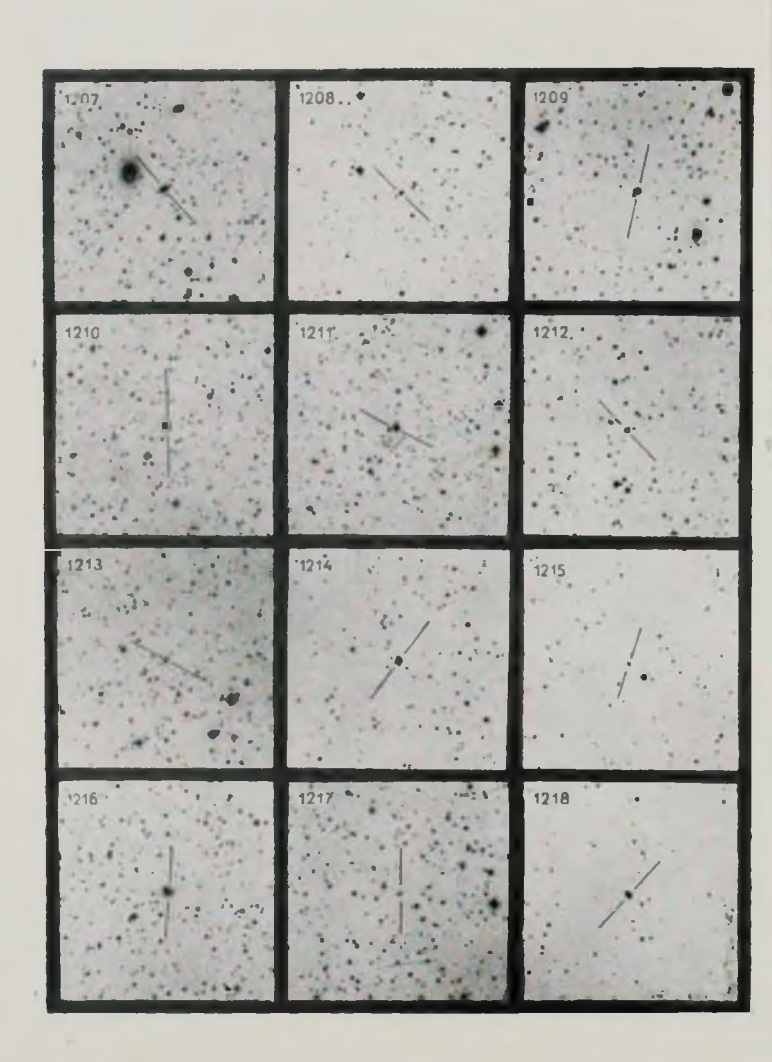
У объекта № 1278, отмеченного в таблице двумя звездочками, предсказывается природа QSO.

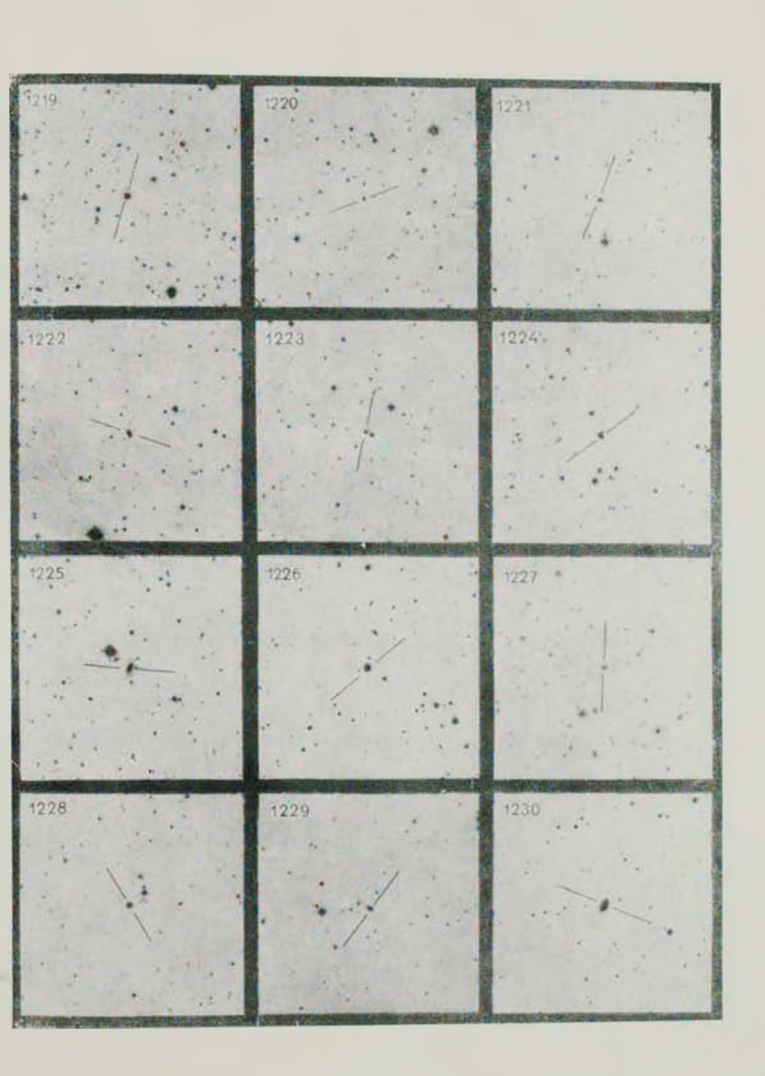
Поскольку в большинстве случаев галактики являются слабыми, $16-17^m$, то для уверенного отождествления их при двльнейших исследо-

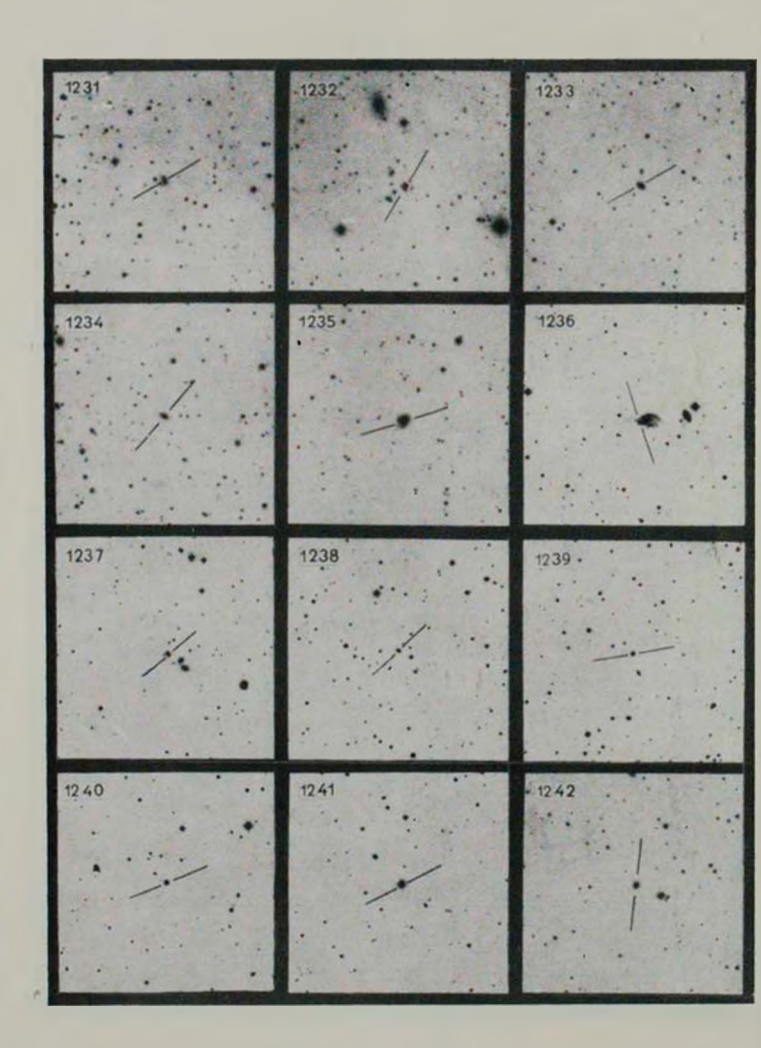
карты отождествления

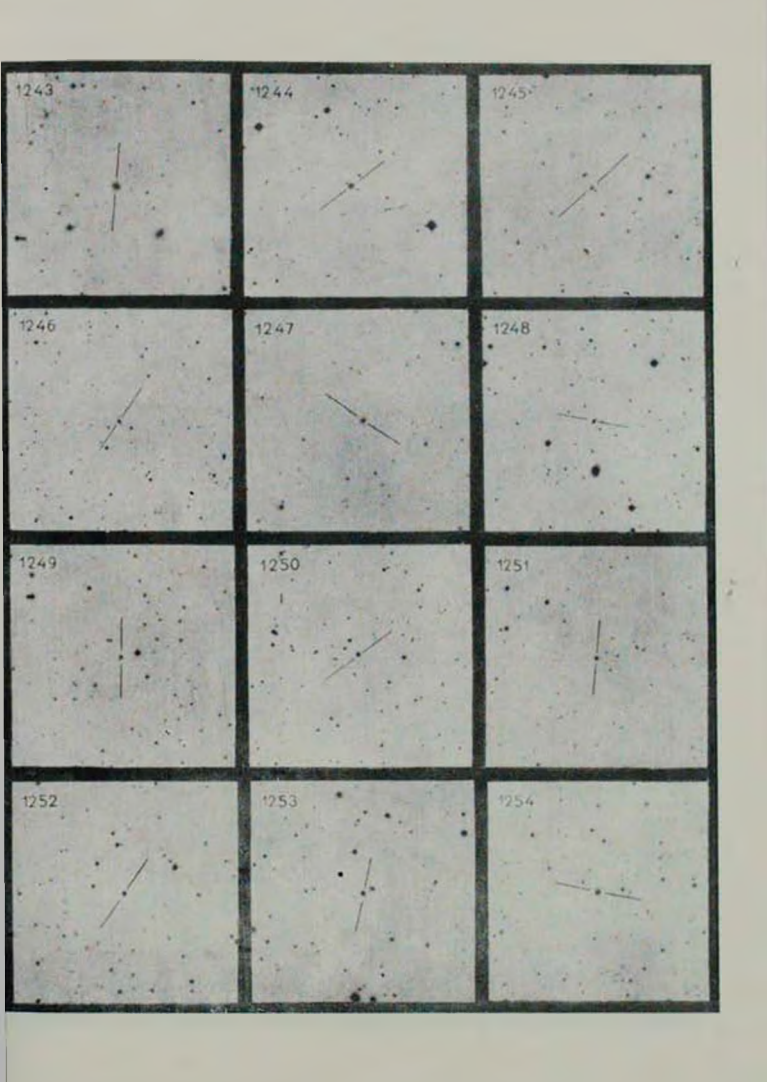
(в красных лучах) $K_{aждag}$ карта покрывает область $16' \times 16'$, Север сверху. Восток слева.

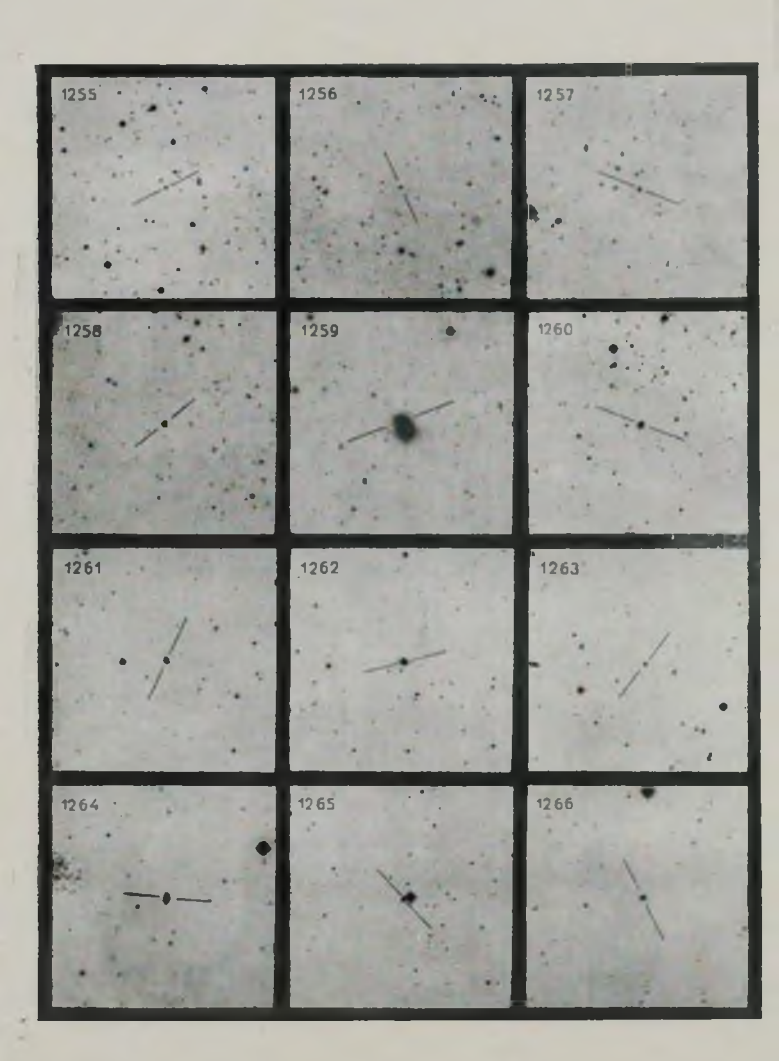


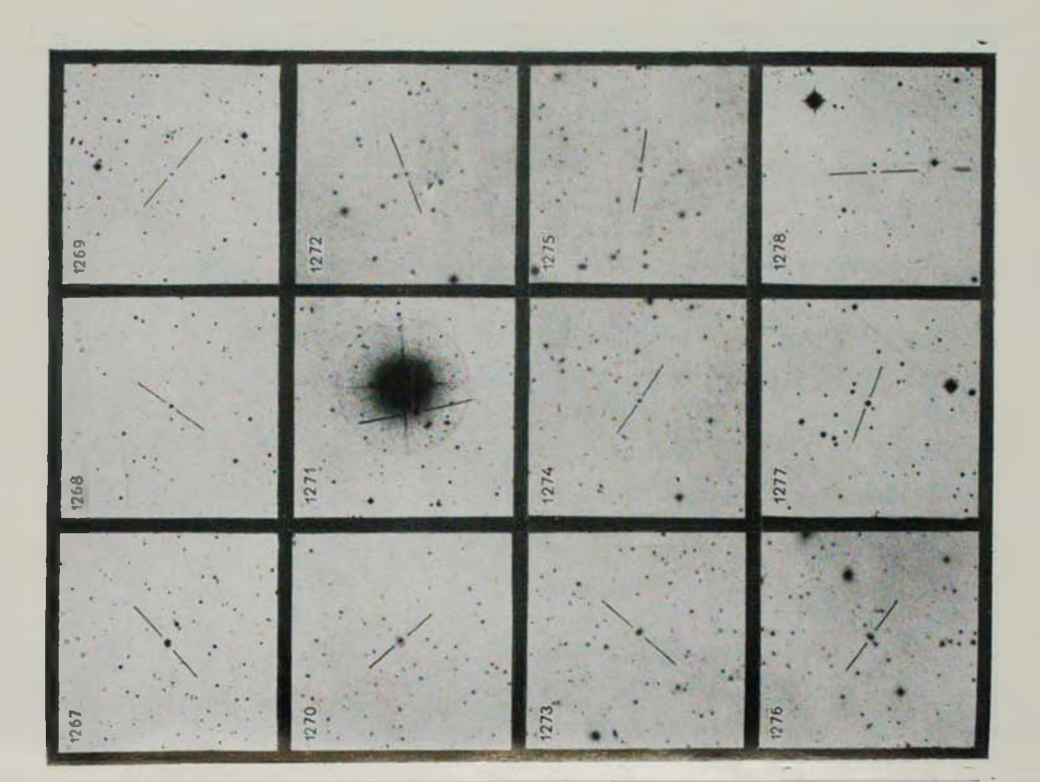


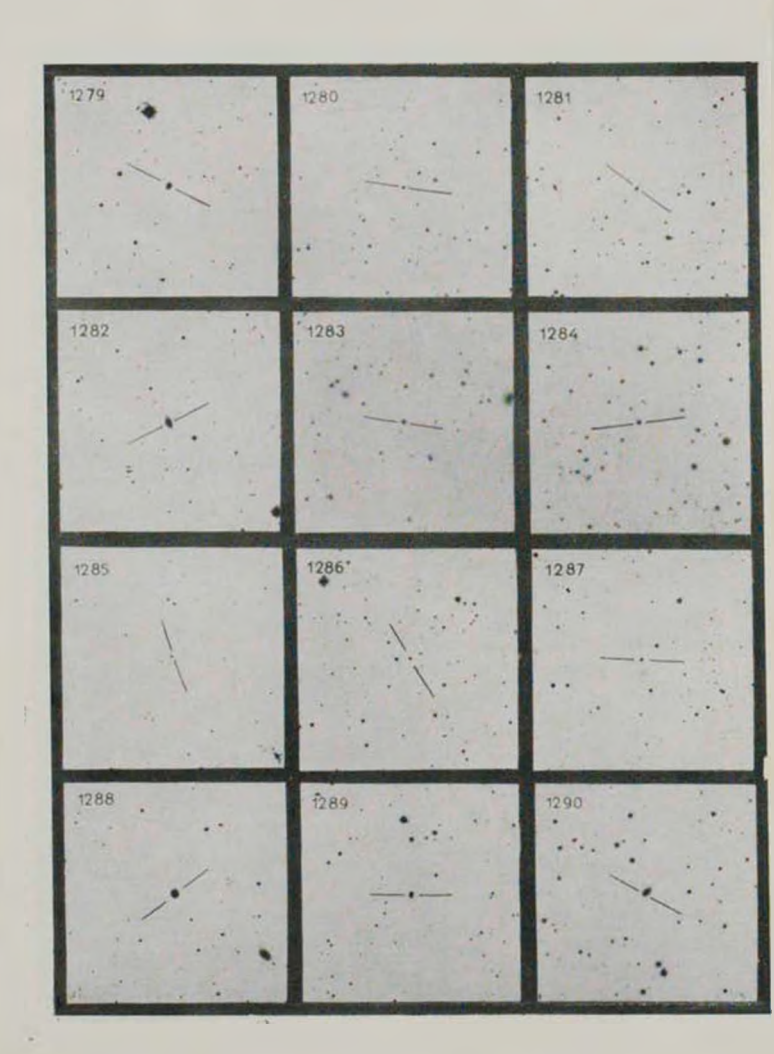


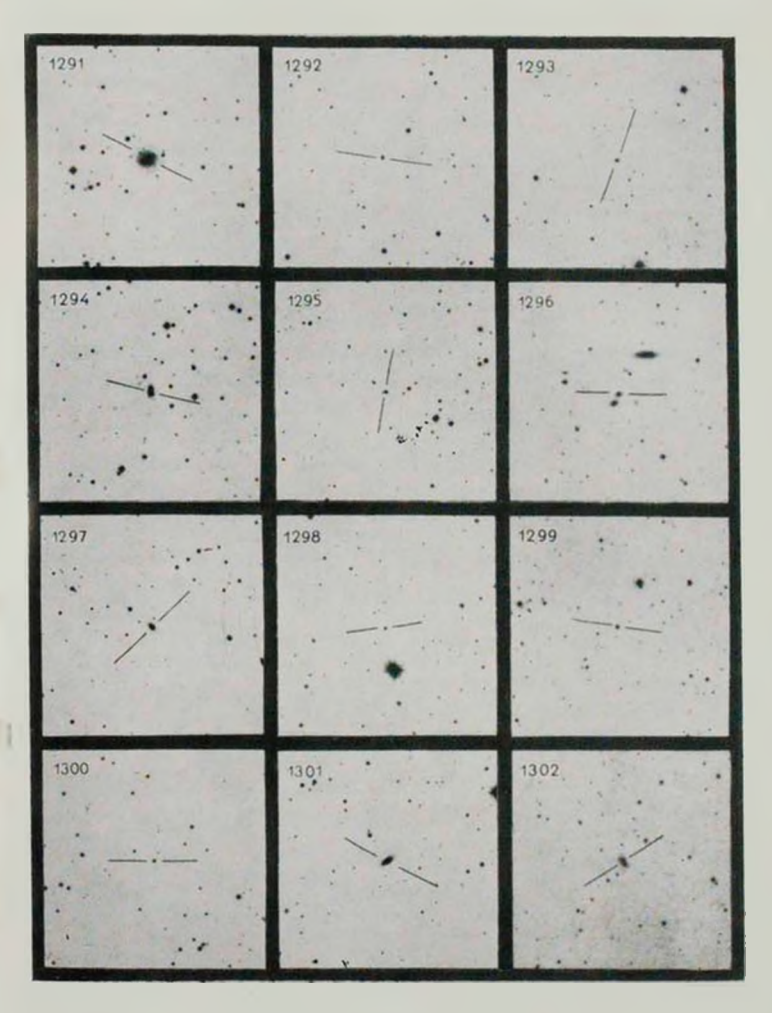












К ст. Б. Е. Мариаряна и др.

371

ваниях к статье прилагаются карты отождествления, отпечатанные с карт Паломарского обозрення в красных лучах.

Бюраканская астрофизическая обсерватория Специальная астрофизическая обсерватория АН СССР

GALAXIES WITH ULTRAVIOLET CONTINUUM, XIII

B. E. MARKARIAN, V. A. L!POVETSKY, J. A. STEPANIAN

The thirteenth list of galaxies having intense ultraviolet continuum is presented. The list contains data for 108 objects. Among 67 of them the presence of emission lines is either established or suspected. The presence of Seyfert characteristics can be predicted for objects No. 1217, 1239, 1269, and 1298, while the objects No. 1199, 1212 and 1259 are suspected in having them. The QSO nature can be expected for the object No. 1278.

ЛИТЕРАТУРА

- 1. Б. Е. Маркарян. Астрофизика, 3, 55, 1967; 5, 433, 1969; 5, 581, 1969.
- Б. Е. Маркарян, В. А. Липовецкий, Астрофизика, 7, 571, 1971; 8, 155, 1972; 9, 487, 1973; 10, 307, 1974; 12, 389, 657, 1976.
- В. Е. Маркарям, В. А. Липовецкий, Дж. А. Степанян, Астрофизика, 13, 225, 397, 1977; 15, 201, 1979.
- А. Воронцов-Вельяминов и др., Морфологический каталог галактик, 1—IV, М., 1962—1968.
- F. Zwicky et al., Catalogue of Galaxies and Clusters of Galaxies, California. Institute of Technology, 1961-1968.

АКАДЕМИЯ НАУК АРМЯНСКОЙ ССР АСТРОФИЗИКА

TOM 15

АВГУСТ, 1979

выпуск з

YAK 523 855

СПЕКТРАЛЬНОЕ ИССЛЕДОВАНИЕ ГАЛАКТИК С УФ-ИЗБЫТКОМ С ДВОЙНЫМИ И КРАТНЫМИ ЯДРАМИ. II. ГАЛАКТИКИ С СЕИФЕРТОВСКИМИ ОСОБЕННОСТЯМИ КОМПОНЕНТОВ ЯДЕР

А. Р. ПЕТРОСЯН, К. А. СААКЯН, Э. Е. ХАЧИКЯН Поступила 4 мая 1979

Приведены результаты спектральных наблюдений четырех двухьядерных галактив
у УО-вабытком, показывающих признаки сейфертовских галактик. Спектры получены
в первичном фокусе 6-м телескопа САО АН СССР, на спектрографе СП-160 с ЭОП
МЭЩВ, с дисперсией около 65 А/мм. Установлено существование галактик с двума супрениями с сейфертовскими спектрами (Маркаряи 463, 673, 789), что является доказательством возможности существования галактик с двумя ядрями В спектре одного
из компонентов Маркарян 789 («а») у основных линий [SII] и 6731 6717. На и
[NII] и 6583 6548 с длиниоволновой стороны обнаружены эмиссионные компоченты,
смещениме на величину, соответствующую доплеровской скорости около 350 км с. Высказано предположение, что эта галактика възлестя или галактикий с кратным ядром, или
в се ядре произошел взрыв, аналогичный тому, который наблюдался в Маркарян 6.

Введение. В работе [1] авторов настоящей статы было показано, что среди галактик с УФ-избытком часто встречаются объекты с двойными и кратными ядрами. Там же было специально обращено инимание на тот факт, что среди галактик с УФ-избытком с сейфертовскими характеристиками также имсются объекты с двойными ядрами. Детальное спектральное исследование таких ядер представляет большой интерес и может пролить свет на проблему активности ядер галактик в целом. В [2] представлены результаты спектральных наблюдений некоторых галактик с УФ-избытком с двойными ядрами, выполненных на 6-м телескопе САО АН СССР. В настоящей же работе приведены предварительные результаты спектральных наблюдений четырех галактик Маркаряна сейфертовского типа: Маркарян 463, 673, 739 и 789. Благодаря своему хорошему разреше-

нию 6-м телескоп является наилучшим из имеющихся телескопов для таких исследований.

Наблюдательный материал, результаты. Спектры исследованных в настоящей работе сейфертовских галактик получены в первичном фокусе 6-м телескопа с помощью спектрографа СП-160, работающего в сочетании с ЭОП типа М9ЩВ. Некоторые данные о наблюдательном материале приведены в табл. 1, в первом столбце которой даны номера галактик по Маркаряну, далее дата наблюдений, время вкспонирования, спектральная об-

			Таблица 1
Ofbert	Дата наблюдений	Время виспозилии (мин.)	Спектральная область (A)
Маркарян 463	3/4.03.79	50	5°00 -7200
1 44			4500-6000
22	4 5.03.79		3600 - 5000
Мархарин 673	2/3.03.79	30	5900-7200
-	3/4.03.79	40	4500 6000
44	4/5.03.79	50	3600 5000
	5/6.03.79	м —	5900 7200
-	11		4500 - 6000
-	-	10	3600-5000
Маркарян 739	2/3.03.79	30	5900 - 7200
	4	-	4500-6000
		-	3600 - 5000
_	5/6.03.79	25	5900-7200
-	-	-	4500 6000
14	-	-	3600-5000
Маркарян 789	2 3.03.79	40	5900 - 7200
	3,4.03.79		4500-6000
	4/5.03.79		5900 7200
-	-		45006000
**			3600-5000

ласть наблюдений. Все спектры получены с дисперсией около 65 А/мм на вмульсии Kodak 103a-0. При всех наблюдениях цель спектрографа проходила через оба компонента ядра и имела ширину примерно 1."5. Надо отметить, что в период наблюдений (начало марта 1979 г.) в САО были хорошие изображения (от 1" до 2"), что способствовало успеху выполнения наблюдений, поскольку для рассматриваемых объектов требуется возможно лучшее разрешение.

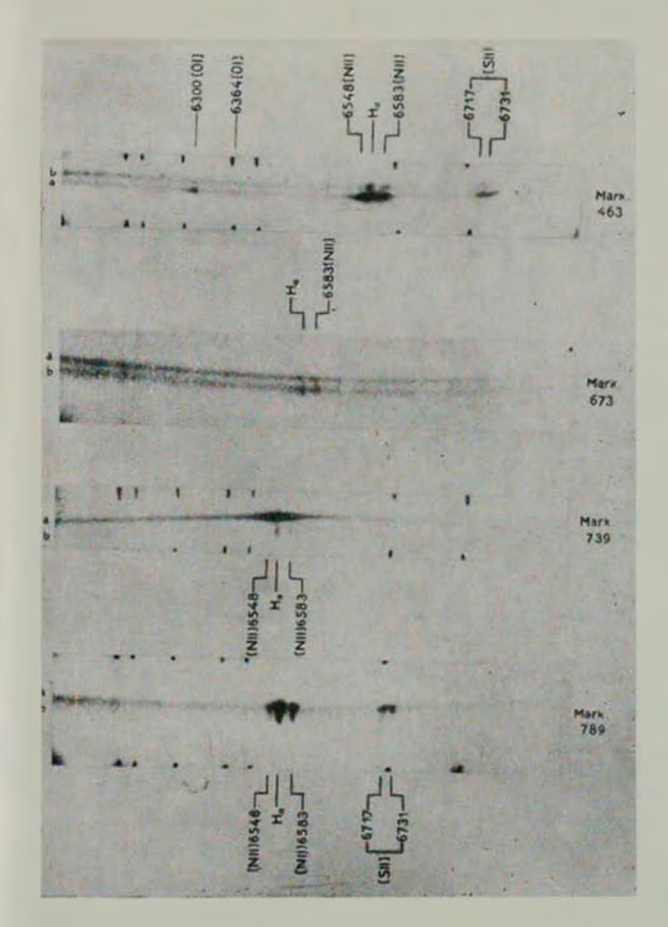


Рис. 1. Спектры двухъядерных галактик с УФ-избытком, покалывающих характеристики сейфертовских галактик. Номера галактик и буквенные обозначения компонентов (44- и «b-) указаны рядом со спектрами (6-м телескоп, спектрограф СП-160 с ЭОП типа МЭЩВ).

Ниже приводятся описание спектров, их репродукции и регистрограммы (рис. 1 и 2).

Маркарян 463°. Была навестна как имеющая признаки сейфертовских галактик первого типа (Sy 1) по работе Адамса [3], хотя по описанию спектра, данному Денисюком и Липовецким [4], она должна быть галактикой Сейферта второго типа (Sy 2) (они сами ее не классифицировали). О наличии двухъядерной структуры у этой галактики отмечено еще в [3] и [1].

Спектры компонентов втой галактики значительно различаются по ширине вмиссионных линий. Если яркий из компонентов «а» (см. рис. 1) действительно показывает характеристики, типичные для Sy 2 (полуширина линий порядка 1500 км/с), то линии «b»-компонента заметно уже. Однако они все же достаточно широки и превосходят инструментальную ширину. Так что «b»-компонент межет быть причислен к типу галактик со слабыми признаками Sy 2. Профили линий На, [N II] и линии неба приведены на рис. 2 и подтверждают вышесказанное.

В спектре *а»-компонента хорошо видны очень яркие эмпесионные анили [SII] 16 6731 6717. Н., [NII] 16 6583 6548, [OII] 16 6354 6309, He I 17 5876. [OIII] 16 5007/4959. Н., He II 1 4686. [OIIII] 17 4363. Н., H., H., H., [Ne III] 17 3968/3359. [SII] 16 4976 4958 и [OIII] 18 3727. В спектре же вы эколаплента анили значительно меньше и степень полбуждения ниже. В пем паблюдаются эмиссионные липли Н., [NIII] 16 6533. [OIIII] 5 997/4959, Н., H., [OIII] 18 3727 и слабые анили [SIII] 16 6731/5717. [NIII] 16 6548. Что же каслется непрерынного спектра, то у обоях комлонентоп ол примерно одячаковой яркости на протяжения всего спектра.

Маркарян 673. О двухъядерной структуре этой галактики отмечено в [1]. Спектр ее описывается здесь впервые. Особенностью спектров компонентов ядра этой галактики является большая яркость их непрерывных спектров и относительная слабость амиссионных линий. Поэтому хорошо видны лишь линии Н. и [N II] / 6583, вокруг которых непрерывный спектр сравнительно слаб (см. рис. 1). С продвижением в коротковолношую область непрерывный спектр непрерывно усиливается, причем у «а»-компонента он значительно интенсивнее, хотя эмиссионные линии Н и [N II], наоборот, сильнее у «В»-компонента. Эти линии у обоих компонентов заметно шире инструментального контура (полуширины их порядка 500—600 км/с, см. рис. 2 и табл. 2) и поэтому можно считать, что оба

Спектр втого объекта получен на 6-м телескопе также сотрудником САО АН
СССР В. Д. Афанасьевым, но с помощью другого спектрографа — UAGS + ЭОП типа
УМ-92. Он же обратил наше внимание на различие спектров компонентов (частное сообщение).

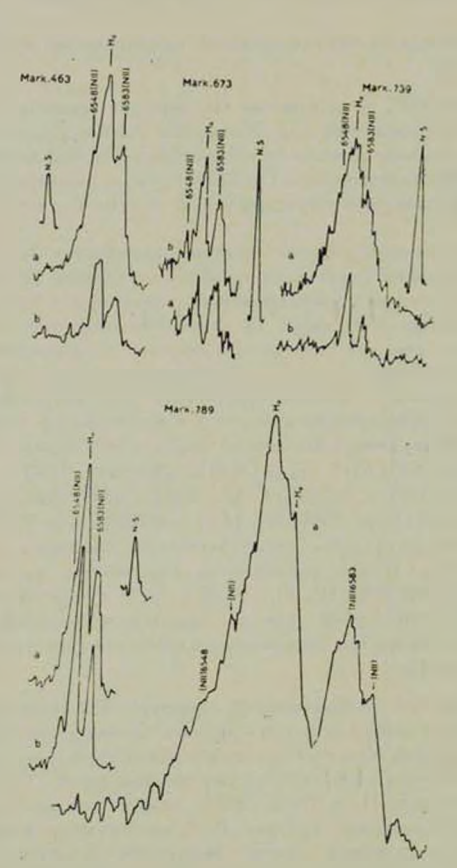


Рис. 2. Регистрограммы линий [N II] и Н_о в спектрах -а» и «b» компонентов вдра Маркарян 463, 673, 739 и 789. Для сравнения рядом приведены регистрограммы линий неба (N. S.). Приведена также регистрограмма линий [N II] и Н_о в спектре «а»-компонента Маркарян 789 с большим увеличением. Стрелжами указаны местоположения компонентов этих линий.

компонента ядра Маркарян 673 обладают признаками сейфертовских галактик второго типа, хотя они и слабо выражены. Ввиду большой интенсивности непрерывного спектра даже линии [О III] $\lambda\lambda$ 5007/4959 не заметны, а линия H. едва прослеживается. Красное смещение галактики, оцениваемое вперхые по положению линии H. и [N II] / 6583, равно 0.0362.

Маркарян 739 — NGC 3758. Является галактикой с необычной морфологической структурой. Приведена в списке галактик с двумя и кратными ядрами [1]. Там же приведен крупномасштабный снимок этой галактики. Однако внешняя структура ее на этом снимке плохо прослеживается, так нак он был отпечатан с небольшой выдержкой и предназначался для показа лишь центральной ядерной области галактики. На самом деле компоненты ядра окружены диффузиой оболочкой, причем западный из них (компонент «b») находится примерно в геометрическом центре этой оболочки, а восточный (компонент «а») — на ее краю. Впервые отмечсна как сейфертовская галактика в [5].

Спектр галактики очень интересен. Один из компонектов («а») является очень сильно выраженной сейфертовской галактикой первого типа, а второй компонент («b») имеет узкие и слабые линии (единственный из всех рассмотренных в этой работе компонентов, имеющий такие характеристики).

Особый интерес представляет изменение вида линий вдоль высоты прели спектрографа. В спектре «а»-компонента на шировне линии водородных линий H₁ и H₃ накладываются узкие амиссионные компоненты, причем у H₄ ата узкая компонента выходит за пределы непрерывного спектра в сторону, противоположную от направления к компоненту «b». Что же касается линий [O III] и 5007/4959, то они у «а»-компонента простираются по обе стороны непрерывного спектра, причем в направлении «b» они лишь на 0.1 мм (около 1."5) выходят за непрерывный спектр, а в противоположном направлении линия [O III]). 5007, например, прослеживается до 7."5 от центра непрерывного спектра. Ширина же самого-

непрерывного спектра (т. е. диаметр излучающей области) равна в области H_8 примерно 1.5 - 1.''8. Такая же картина наблюдается и у «b»-компонента. У него линии H_* и [O III] 4.5007 выходят за пределы непрерывного спектра в направлении, противоположном компоненту «а» на 0.3 - 0.4 мм или около 4.5 - 6''.

Следует также обратить внимание на тот факт, что запрещенные линин [N II] и [O III] у обоих компонентов резко обрываются и не сливаются в области между непрерывными спектрами, хотя расстояние между ними порядка 6-7".

Маркарян 789. Эта галактика также включена в список объектов с двойными и кратными ядрами [1]. В [5] отмечено, что Маркарян 789 «может обладать слабыми сейфертовскими особенностями» и «линия $H_{\rm tot}$, возможно, имеет слабые крыдья».

На самом деле картина эдесь довольно сложная и очень интересная. Во-первых, галактика оказалась двухъядерной; во-вторых, у одного на компонентов — «а» — как водородные, так и запрещенные линии [S II], [N II], [O III] имеют амиссионные компоненты, отстоящие в длинноволновую сторону от основных линий на величину, соответствующую доллеровской скорости около 350 км/с. Они, довольно яркие у линий H_* , [N II], хорошо видны на рис. 2, на котором приведена регистрограмма спектра «а»-компонента в области H_* в большом масштабе.

Линии в спектре «h» не имеют вторичных компонентов, но их ширина (как водородных, так и запрещенных) примерно равна ширине основных линий в спектре «a», без учета, конечно, длинноволновых компонентов. Можно считать, что оба компонента ядра Маркарян 789 обладают слабо выраженными сейфертовскими характеристиками Sy 2. При наблюдениях с небольшим спектральным разрешением (как в [5]) длинноволновые компоненты линий в спектре «a» слились бы и наблюдались бы широкие линии, как у полноценных Sy 2.

В спектре обоих компонентов наблюдаются один и те же линии [S II] и 6731/6717, [N II] и 6583/6548, Н., [O III] и 5007/4959, Н., Н., Н., Н., Н., Н., Н., Н., И. (О III] и 3727. Однако как сами линии, так и непрерывный спектр у «а»-компонента заметно ярче, причем непрерывный спектр у «а» простирается значительно дальше как к красной, так и к фиолетовой границе спектра. Заметны также слабые линии [O I] и 6364/6300, Не I и 4026, [Ne III] и 3869.

Обсуждение. В настоящей статье впервые приводятся описания спектров двойных ядер галактик Маркаряна сейфертовского типа. Благодаря большой разрешающей силе 6-м телескопа спектры компонентов ядер удалось получить раздельно.

В таба. 2 приведены лучевые скорости (υ_r) отдельных компонентов ядер, исправленные за движение Солнца, их разпость ($\Delta\upsilon_r$) и полуширины эмиссионных линий H_* для Маркарян 673 (так как H_3 в ней отсутствует) и H_3 для остальных галактик. Приведены также величины ошибок одного измерения (υ_r) и

$$\sigma_{\Delta v_r} = V (\sigma_{v_r}^b)^2 + (\sigma_{v_r}^b)^2$$

Таблица 2

О6ъ	PRT	Ком- по- нент	(RM/c)	(им/е)	Δυ, (πH/c)	² Δυ _e (им/c)	Полуширина линии (км/с)
Маркаря	н 463	a b	14940 14890	85 54	- ; 50	100	1500 >N.S.
*	673	b	10826 10992	22 54	-166	58	500 600
**	739	a b	8787 8873	40 39	86	56	2000 = N.S.
-	789°	ь	9318 9316	30 39	+ 2	49	800 >N.S.

Разность лучевых скоростой между двумя компонентами ядря равна 332 м/с = 50 км/с.

Из приведенных выше данных можно сделать следующие выводы:

- 1. Галактики с двойными ядрами нередкое явление средн объектов с УФ-избытком, обладающих характеристиками сейфертовских галактик. К рассмотренным в этой работе двухъядерным сейфертовским галактикам следует прибавить еще одну Маркарян 273 (сейфертовская галактика согласно [6]), которая по наблюдениям на 2.6-м телескопе Бюраканской обсерватории имеет двойное, а возможно и кратное ядро. Кратность ядра этой галактики заметна также на фотографии, приведенной в [3].
- 2. Приведенные в настоящей статье данные позволяют сделать одно важное заключение общего характера. Дело в том, что, обнаруживая двойственность ядер у тех или иных галактик с УФ-избытком, мы не могли исключить возможность того, что лишь один из компонентов имеет настоящую ядерную природу, а другой является просто сверхассоциацией (т. е. конгломератом горячих звезд) или даже объектом, вообще не имеющим вмиссионных линий в спектре [2]. Трудность интерпретации была связана еще и с тем, что ядра многих галактик имеют спектры, мало отличающиеся от спектров сверхассоциаций.

В том случае же, когда в центре галактики мы наблюдаем сгущения с сейфертовскими признаками, то не остается сомнения, что имеем дело не 2—638

со сверхассоциациями, а с образованиями ядерного типа. Поэтому существование галактик с двумя сгущениями в центре с сейфертовскими спектрами является тем самым доказательством возможности существования галактик с двумя ядрами вообще.

Полученный результат не противоречит, а скорее находится в полном согласии с представлением о том, что во многих случаях роль ядра или одного из ядер могут играть сверхассоциации [2].

3. Спектральные характеристики компонентов двухъядерных сейфертовских галактик могут быть совершению различными. Среди исследованных галактик у Маркарян 463 один из компонентов («а») имеет типичный спектр Sy 2, который согласно [7] является также источником радноизлучения, а второй компонент имеет слабовыраженные особенности Sy 2; у Маркарян 673 и 789 оба компонента имеют спектры со слабыми признаками Sy 2; у Маркарян 739 один из компонентов («а») имеет спектр, типичный для Sy 1, а другой — напоминает спектр сверхассоциации.

Особо следует остановиться на Маркарян 789. В спектре «а--хомпонента атой галактики у основных линий [S II] \bar{m} 6731/6717. Н. и [N II] $\lambda\lambda$ 6583/6548 с длинноволновой стороны наблюдаются амиссионные составляющие.

Можно предположить, что ядро «а» на самом деле состоит из двух компонентов и его спектр принадлежит двум образованиям, имеющим сходную между собой единую ядерную природу. В этом случае Маркарян 789 окажется или системой с тремя сейфертовскими ядрами, или с двумя ядрами (на» и его компонент) и сгущением «b», образовавшимся, по-видимому, позднее в результате активности «а»-ядра. И, действительно, на прямом синмке, получениюм на 2.6-м телескопе Бюраканской обсерватории, у южного края ядра «а» заметен выступ, который, возможно, и является частью второго сливнегося с «а»-компонентом образования.

Другой возможностью является допущение, что у ядра «а» смещенные компоненты линий вызваны выбросом, аналогичным тому, который наблюден у другой сейфертовской галактики второго типа—Маркарян 6. Напомним, что в спектре Маркарян 6 за время не более одного года появились попые амиссионные компоненты у линий Н, и Н, смещенные от основных линий в сторону коротких длин воли на величину, соответствующую доплеровской скорости около 3000 км/с [8, 9]. Однако у запрещенных линий таких компонентов выявлено не было. В [10] было высказано предположение, что из ядра Маркарян 6 в диаметрально противоположных направлениях (к нам и от нас) выброшены два водородных облака, плотность которых пока настолько велика, что для возинкновения запрещенных линий в них нет пока соответствующих условий.

Что-то подобное мы имеем в случае Маркарян 789 причем роль «контрвыброса» играет здесь компонент «h», а направление выбросов при-

мерно совпадает с картинной плоскостью. Кроме того, при таком предположении неизбежно приходим к выводу, что выбросы произошли давно, так как в их спектрах хорошо развиты запрещенные линии.

Для полного решения этой проблемы необходимы дальнейшие наблюдения с большей дисперсией.

Авторы выражают глубокую благодарность академику В. А. Амбарцумяну за интерес к работе и ценные замечания.

Авторы благодарны также А. Г. Буренкову за помощь при наблюдениях на 6-м телескопе.

Бюраканская астрофилическая обсерватория

SPECTROSCOPIC INVESTIGATION OF UV-GALAXIES WITH DOUBLE AND MULTIPLE NUCLEI. II. THE GALAXIES WITH SEYFERT TYPE NUCLEI

A. R. PETROSSIAN, K. A. SAHAKIAN, E. YE. KHACHIKIAN

The results of spectroscopic observations of four double-nuclei UV galaxies with Scyfert characteristics are presented. The spectra have been obtained in prime focus of 6-m telescope of SAO with SP—160 spectrograph and IT with dispersion 65 A mm.

The existence of galaxies with two condensations in centrum having Seyfert type spectra (Markarian 463, 673, 789) is established as an evidence of possibility of existence of galaxies with double nuclei.

In the spectrum of a component of the nucleus of Markarian 789 the emission lines |SII| 0.6731/6717, H, and [NIII] 12.6583/6548, redshifted by about 350 km/s from the original lines are observed. It is suggested that either this galaxy has multiple nucleus or an explosional like in Markarian 6 has taken place in its nucleus.

ЛИТЕРАТУРА

- 1. А. Р. Петросии, К. А. Саакии, Э. Е. Хачикии, Астрофизика, 14, 69, 1978,
- 2. А. Р. Петросян, К. А. Саакян, Э. Е. Хачикян, Астрофизика, 15, 209, 1979.
- 3. T. F. Adams, Ap. J., Suppl. ser., 33, 19, 1977.
- 4. Э. К. Ленис В. А. Липонецкий, Астрофизика, 10, 315, 1974.
- 5. Э К. Денисю , В. А. Липовецкий, Письма АЖ, 3, 7, 1977.
- М. А. Аракслян, Э. А. Дибей, В. Ф. Есипов, Б. Е. Маркарям. Астрофизика, 7, 177, 1971.
- B. J. Wills, D. Wills, A. K. Uomato, S. Vogt, R. G. Tull, P. Pibski, T. Montemayor, P. Kelton, F. Chigo, J. N. Douglas, F. Bash, BAAS, 9, 647, 1977.
- 8. Д В Вилман, Э. Е. Хачикян, Астроп, цирк., № 591, 1970.
- 9. E. Ye. Khuchikian, D. W. Weedman, Ap. J., 164, L109, 1971.
- 10. Э. Е. Хичикии, Астрофизика, 9, 139, 1973.

АКАДЕМИЯ НАУК АРМЯНСКОЙ ССР АСТРОФИЗИКА

TOM 15

АВГУСТ, 1979

выпуск з

У.1К 523.855

ФИЗИЧЕСКИЕ УСЛОВИЯ В ЯДРАХ СЕЙФЕРТОВСКИХ ГАЛАКТИК ТИПА 1

Г. Т. ПЕТРОВ Поступила 30 марта 1978

По результатам спектрофотометрии Остерброка единым методом определены электронные плотности и температуры в дарах 36 сейфертовских галактик типа 1 и 5 радиогалактик. Показано, что в зонах свечения иона O^+ всех исследованных объектов температуры близки к 10 000 K, а плотности — к 5-106 см $^{-1}$. При этом дисперсии обоих упомянутых параметров чрезвычайно малы. Разброс значений тех же параметров в зонах свечения иона O^+ существенно больше.

1. Введение. В статьях [1, 2] рассматривались зависимости эквивэлентных ширин водородных и запрешенных линий сейфертовских галактик от показателя цвета (U—B), и абсолютной величины M_{U_0} и аналогичные зависимости для потоков и светимостей в тех же линиях. В [1] сейфертовские галактики были рассмотрены безотносительно к их типу, а в [2] рассматривались лишь галактики типа 1. Полученные зависимости указывают на то, что интенсивность водородных линий увеличивается с уженьшением показателя цвета U—B, а интенсивность запрещенных линий [O III] D 4959, 5007 убывает, если галактики обоих типов рассматриваются совместно, и практически не зависит от показателя цвета, если рассматриваются лишь галактики типа 1. Как возможное объяснение этого факта в [1, 2] было высказано предположение, что линии [O III] у сейфертовских галактик типа 1 возникают в областях со сравнительно высокой электроиной плотностью.

Для проверки этого предположения могут быть использованы опубликованные Д. Е. Остерброком [3] данные об интенсивностях эмиссионных линий 41 галактики с широкими эмиссионными линиями (36 сейфертовских галактик и 5 радиогалактик). В их число входит большинство галакгик, рассмотренных в [1] и [2]. Эквивалентные ширины, определенные в [2] по спектрам, предоставленным A. В. Видманом, в большинстве случаев отличаются от данных, приведенных в [3] на 0.1-0.2 (логарифмическая шкала). Лишь в нескольких случаях различие достигает 0.5.

Зависимости эквивалентной ширины линии H_3 , а также относительных интенсивностей линии [O II]. [O III], [N II] и [S II] от показателя цвета U-B по данным \mathcal{A} . Е. Остерброка иллюстрируются в табл. 1, где для разных линий приведены угловые ковффициенты атих зависимостей, а также коэффициенты корреляции. Как видим, для линий H и [O III] они мало отличаются от соответствующих зависимостей, приведенных в [2]. Подобный характер зависимости, как отмечалось, был интерпретирован в [1] и [2] как свидетельство высокой электронной плотиости в зонах, отлетственных за свечение иона O

Что касается линий [О II], [N II] и [S II], то обращает на себя внимание прекрасное согласие угловых коэффициентов, а также коэффициентов корреляции, характеризирующих зависимость их интенсивностей от показателя цвета.

В настоящей работе для проверки указанной интерпретации с помощью данных Остерброка определены физические условия в ядрах ряда сейфертовских галактик типа 1 и радиогалактик.

					Тиблица 1
	12 W _{H3}	ig - Ini	lg Igonj	lg INIII	lg -/[SII]
a	-0.38 0.15	0.41 : 0.28	0.70 0.35	0.75 0.39	1.00 = 0.33
,	-0 43 0.14	0.26 · 0.16	0.37 = 0.16	0.38 = 0.18	0.39_0.14

2. Физические условия в ядрах сейфертовских галактик типа 1. Для определения физических условий в ядрах галактик Сейферта мы применили метод пересечения кривых Ситона [4] в варианте, предложенном в [5] Боярчуком и др. При этом, следуя [6], мы предполагали, что во всех объектах схематически существуют три зоны — H, [O III] и [O III]. В зоне [O III] светятся ионы O^{++} , Ar^{-3} , Ne^{++} ; в зоне [O III] и ядлучают ионы O^{+} , N^{-} и S'. Так как примерно $60^{\circ}/_{\circ}$ этих галактик показынают линии [Fe VII], то, возможно, существует и четвертая зона, в которой светятся ионь Fe^{+6} и Ne^{-} . Естественно, в каждом отдельном случае может иметь место известное отклонение от предложенной схемы, то есть некоторые зоны могут сосуществовать или отсутствовать совсем. Подобная многокомпонентная модель впервые количественно рассматривалась Нойгебауером и др. [6].

Рассмотрим сначала физические условия в зоне [О III]. Так как в [3] нет дзиных о линиях [Ne III] да 3343, 3869, 3968, то мы не можем непосредственно применить метод Ситоча для независимого определения n_i и T_i . Единственной кривой равных отношений, которую мы можем использовать, двляется I_i 463/ $(I_i$ 4630 + I 500) = const для [О III]. Поатому мы вынуждены принять определенный химический состав и степень ионизации. Химический состав был принят нами в соответствии с моделями I_i 2 и 3 Давидсона [7]. Что касается степени ионизации, то, следуя [5] и [8], примем для водорода N_i H III. N_i (H II) = 0.5 и рассмотрим три значения степени ионизации кислорода:

$$N(O|III)/N(O|I) = 0.50, 0.75 \text{ s} 0.90.$$

При этих данных мы определяли криные равных значений функции $\lg \theta_{i}\left(n_{e},\ T_{e}\right)$ для иона О . Таким образом, n_{e} и T_{e} для зоны [О III] определялись по пересечению криных: 11 $L_{4963}/(L_{4959}+L_{5999})=\mathrm{const}$, 2) $\lg \theta_{i}\left(n_{e},\ T_{e}\right)$ для L 4363 и $\lg \theta_{i}\left(n_{e},\ T_{e}\right)$ для L 4365, 5007.

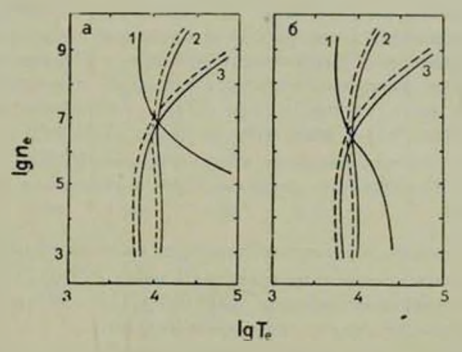


Рис. 1. Определение n_s и T_s зоны [О III] для газавтих Мархарян 40 (а) и 110 (б) методом пересечених врияму Ситона [4]. (1) — $I_{\lambda+\alpha}$ (I_{coso} $I_{aso,7}$) — const., (2) и (3) — $\log h_s$ (n_s , T_s) для 4353 и $^{2\lambda}$ 4959, 5007, соответственно. Кривмя (2) и (3) соответствуют 50 $^{a}_{-\alpha}$ ионизэции вислорода. Пунктирные врияме соответствуют 75 $^{a}_{-\alpha}$ понизации вислорода.

 H_0 рис. 1 для некоторых галактик приведены графики, иллюстрирующие определение электронных температур и плотностей описанным методом. Линии на приведенных графиках относятся к случаям N(O|III)/N(O|I) = 0.50 и 0.75. Линия $\log \theta_i$ (л., T_i) для N(O|III) N(O|I) = 0.90 не наносилась, так как практически она совпадает с линией. соот-

ветствующей случаю N(O III)/N(O I) = 0.75. Полученные результаты представлены во втором—пятом столбцах табл. 2. Как видим, физические условия в зоне [O III] для разных галактик очень близки и в среднем таковы:

N (O 111)/	V (O I) = 0.50	N (O III):	N (O 1) = 0.75
$lg T_s = 3.89,$ $lg n_s = 6.72,$	$z^{2} (\lg T_{\sigma}) = 0.002$ $z^{2} (\lg n_{\sigma}) = 0.113$	$lg T_e = 3.95,$ $lg n_e = 6.60,$	$\pi^{2} (\log T_{e}) = 0.014,$ $\pi^{2} (\log n_{e}) = 0.078.$

Разница для 50% и 75% понизации кислорода очень мала — 0.06 для $\lg T_e$ и меньше 0.2 для $\lg n_e$. Можно отметить, что и совпадение между n_e и T_e , определенными соответственно по пересечению кривых (1) и (2), (1) и (3) и (2) и (3), очень хорошее (см. например, рис. 1). Следовательно, полученные величины мало зависят от исходных предположений, то есть они, вероятно, характеризуют истинную картину.

Полученные высокие значения электронных плотностей в зонах [О III] сейфертовских галактик типа 1 согласуются с интерпретацией зависимости интенсивностей линий [О III] от показателя цвета, предложенной в [1, 2]. С видом этой зависимости, полученным в [1], хорошо согласуется также малая дисперсия электронных плотностей и температур.

Рассмотрим далее данные о зоне [О II]. Интенсивности линий [О II] ι 7320, 7330, [S II] ι 4068, 4076 и [N II] ι 5755 в [3] не приводятся, и линий постоянного отношения, как в случае зоны [О III], у нас нет. Поэтому n_e и T_e определялись двумя методами и результаты сраннивались между собой.

Метод 1. Задаваясь нормальным чимическим составом согласно [7] и принимая для относительного содержания серы эначение $1\cdot 10^{-5}$ согласно [9]. для степени ионизации водорода $N(H\ II)\ N(H\ I)=0.50$ и два эначения степени нонизации для кислорода, азота и серы:

$$N(O \parallel)/N(O \parallel) = 0.10 \text{ m} 0.25, \quad N(\parallel \parallel)/N(\parallel \parallel) = 0.20 \text{ m} 0.50,$$

$$N(\parallel \parallel)/N(\parallel \parallel) = 0.20 \text{ m} 0.50,$$

мы определяли кривые равных значений функции $\lg \theta$, (п., Т.) для $i\lambda$ 3726, 3729; $i\lambda$ 6548, 6584; $i\lambda$ 6717, 6731. Их пересечение данало значения n_e и T_e .

 $Memo_A$ 2. Предполагая, что линии [N II] λ 5755 и [S II] $\lambda\lambda$ 4068, 4076 имеют интенсинность $I \leqslant 0.005$ по отношению к $I_{\rm H_3}$ (минимальная интенсивность, уверенно опредсляемая в [3]), мы получаем две линии равных отношений, пересечение которых определяет n_e и T_e независимо от химического состава и степени ионизации.

Таблица 2

							/ a6x	uya 2
		Зона				Зона	10 111	
Объект	N (OIII)/N	(OI) 0.50	N (OIII)/N	(OI) = 0.75	ig T.	lg n	lg X _{nmu}	lg X
	lg T _o	lg n _e	lg T,	lg n _e	18.	ig n _a	IN A RMW.	ig A
1	2	3	4	5	6	7	8	9
Маркарян 10	3.92	6,30	3.88	6.50	4.20	3.20	3.10	3.02
40	4.40	6,70	4.00	6.90	4.40	3.20	3.00	
69	3.96	6.75	3.92	6.80				3.38
79	3.92	6.50	3.88	6.60	4.28	3.40	3.26	3.82
106	3.88	6.50	3.84	6.60	_	_	_	_
110	3.92	6,50	3.88	6.65	4.48	1.20	0.98	2.90
124	3.96	6.50	3.92	6.70	_		_	3.00
141	3.92	6.75	3.88	6.80	3.92	3.00	3.04	2.76
142	3.88	6.80	3.84	6.90	3.50	3.00	3.55	2.70
236	3.92	6.80	3.88	6.90	_	_		3.20
279	3.88	6.80	3.84	6.90	4.40	3.50	3.30	3.08
290	3.90	6.40	3.88	6.50	4.56	3.00	2.62	2 78
291	4.00	6.60	3.96	6.70	3,80	2.10	2.50	_
304	3.88	7.30	3,84	7.50	5.50	4.50	3.75	4.08
335	3.90	6.80	3.86	7.00	_	_	-	-
352	-			_	-	-	-	-
358	3.92	6.60	3.88	6.70	4.16	1.30	1.22	_
374	3.92	6.70	3.88	6.80	-	-	-	3.08
376		_	~	-	4.08	4.10	4.06	-
382	3.92	6.25	3,90	6.30	_	-	-	-
478	-		-			_	_	3.42
486	-			_			-	
504	3.88	6.50	3.84	6.60	_			
506	3.92	6.30	3.88	6.40	4.00	2,50	2.50	2.85
509		-	_		-	_	_	3,20
541	3.96	7.20	3.88	7.40				_
590	4.00	6.95	3.96	7.10	3.96	3.15	3.17	
Маркарян 618	3.88	6.40	3.84	6.50	3.92	3.40	3.44	3.50
NGC 3227	3.96	6.00	3.92	6.20	-	-	2.60	3.12
NGC 3516	3.88	6.70	3,84	6,80	4.16	3.60	3.52	2.76
NGC 5548	4.00	6.70	3.84	6,80	4.36	3.30	3.12	3.08
NGC 7469	3.90	6.60	3.88	6.70	-	_		3.22
IZw 1	3.92	6.70	3.88	6.70	2 00	2.40	2.06	3 20
II Zw 1	3.92	6.10	3.90	6.20	3.88	2.40	2.96	3.20
II Zw 136	-	- 40	2 00	6.60	1 64	3.30	2.98	3.08
III Zw 2	3.84	6.40	3.80	6.50	4.64	3.30	2.96	3.00

Таблица 2 (окончиние)

1	2	3	4	5	6	7	8	9
3C 120	3.96	6.30	3,92	6.45	-	-	_	3
3C 227	3,96	6.70	3.92	6,80	4.40	3.40	3.20	2.
3C 382	3.92	7.00	3.89	7.10	-	_	_	3.
3C 390.3	4.00	6.60	3,92	6.70	4.18	3.90	3.80	-
3C 445	4.40	6.20	4,00	6.33	4.00	2.50	2.50	2.

В качестве контроля может быть использован приведенный Остерброком в [10] график, непосредственно задающий величину X=n, 1 10^{1} T_{\star} , то есть значение n, в предположении, что $T_{\star}=10^{1}$ K. Этот параметр независим от каких-либо предположений.

По n_r и T_r , полученным обоими методами, можно вычислить величины $X_{\text{вым.}} = n_r$ | $10^4 \, T_r$ и сравнить их с X_r , полученным по графику Остер роки. А дализ похтавывает, что результаты, полученные методом 1, делесообразно исключить из обсуждения, так как оли сильно отличаются и друг от друга и от результатов, полученных методом 2. Как указывал Ситон в [11], когда линии пересеклются под малым углом, неопределенность и n_r нозрастает. Например, для Маркарян 10 n_r и T_r , определенные по разлым лилиям методом 1, находятся и следующих границах: 3.70 $\log T_r < 4.00$ и 3.80 $\log n_r < 5.60$.

Обратимся теперь к результатам применения второго метода. Принимая, что относительная интенсивность линии [N II] ι 5755 и [S II] ι 4058, 4076 равна 0.005, мы получили n_{ι} и T_{ι} , приведенные в шестом и седьмом столбцах табл. 2. В носьмом столбце приведены соотнетствующие значения $X_{\text{выл.}}$, а в денятом — теоретические значения X согласно [10]. Как видим, согласие между этими неличинами неплохое. Дейстинтельно, для 11 случаев из 17, для которых такое сравнение поэможно, $|\lg X - \lg X_{\text{выл.}}| \le 0.5$; то есть примерно для 2/3 случаев метод 2 дает приемлемые результаты.

Для зоны [О III] п. и Т. меняются в следующих границах:

3.80
$$\lg T_r$$
 5.50, 1.20 $\lg n_r$ 4.53.

мсте крП

$$\langle \lg T_e \rangle = 4.23, \quad s^2 (\lg T_e) = 0.13,$$

$$\lg n_e = 3.07, \quad s^2 (\lg n_e) = 0.76.$$

 $\log T_* = 5.50$ получается для объекта Маркарян 304, который отличается от остальных объектов высокими значениями n_* и T_* и для доны [O 111].

Однако надо отметить, что у атого объекта $\| \log X - \log X_{\max} \| = 0.33$. Это делает его чрезбычайно интересным для дальнейшего более подробного исследования. Исилючая Маркарян 304, электронная температура меняется в границах 3.80 $\log T$. 4.64. Можно заметить, что применяемым методом 2 температуры зоны [O II] получаются в среднем несколько более нысокими, чем в зоне [O III]. Рис. 2 иллюстрирует определение физических условий в зоне [O II].

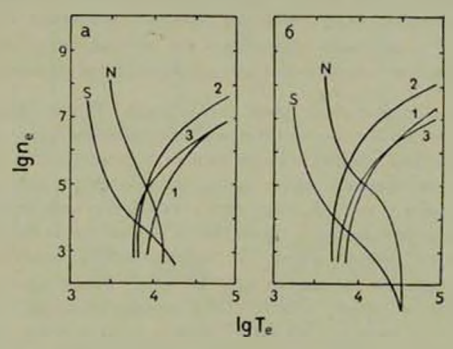


Рис. 2. Определение n_s и T_s зоны [O II] для галактих Маркарян 40 (а) и 110 (6). (1) — $\frac{1}{2} \frac{1}{4} (n_s, T_s)$ для t 3727 при 10 $\frac{n}{4}$ ионизации вислорода. (2) и (3) — $\frac{1}{2} \frac{1}{4} \frac{1}{4} (n_s, T_s)$ для t 6548, 6584 и 6717, 6731 при 20 $\frac{n}{4}$ монизации серы и авота. S—(I_{s} 4068+ I_{s} 1076). (I_{16717} + I_{s} 6731) const. N — I_{s} 5755 (I_{s} 6544 + I_{s} 6581) const. принимая что I_{s} 4068+ I_{s} 476 — 0.005 I_{H} и I_{s} 5755 = 0.005 I_{H}

3. Результаты. Все полученные результаты можно суммировать таким образом: по наблюдениям 36 сейфертовских галактик типа 1 и 5 радиогалактик с широкими линиями получается, что если запрещенные линии излучаются в двух зонах, соответствующих разным потенциалам нонизации, то условия в среднем таковы:

В зоне [О 111]

$$\lg T_o \simeq 4$$
, $\lg n_e > 6$.

В зоне [О 11]

$$\lg T_e > 4$$
, $\lg n_e = 1.2 - 4.5$.

При этом условия в зонах [О III] для разных объектов очень сходны. Различия в физических условиях для зоны [О II] намного больше. Следовательно, в зонах [О II] различных галактик мы имеем значительно боль-

ший диапазон значений температуры и плотности, определяющих относительную интенсивность эмиссионных линий. Отсюда следует и больший диапазон самих относительных интенсивностей. Эти результаты качественно согласуются с тем фактом (см. табл. 1), что зависимость от показателя цвета относительных интенсивностей эмиссионных линий [О II], [N II] и [S II], заметно сильнее, чем аналогичная зависимость для линий [О III].

Другим следствием этого факта является то, что стратификация существует в сильной степени и что определение физических условий в зонах, излучающих запрещенные линии, по пересечению кривых для конов О'+, N+ или S+ может быть ошибочно в тех случаях, когда нет дополнительных соображений относительно сосуществования этих двух зои.

4. Сравнение с полученными ранее результатами. Чтобы сравнить полученные нами результаты с результатами, полученными ранее другими авторами, мы приводим краткую сводку данных о физических условиях в ядрах сейфертовских галактик обоих типов, радиогалактик и N-галактик. Данные представлены в табл. 3. Хотя методика определения алектронных температур и плотностей немного отличается в разных случаях, данные в среднем согласуются между собой. У сейфертовских галактик типа NGC 4151 электронные плотности $n_* > 10^6$ см $^{-3}$ отмечаются у NGC 4051 и NGC 7469, а также у NGC 1275, принадлежность которой к какому-нибудь типу спорна. Для NGC 5548 n_* , полученная в [12] методом 1, довольно неопределенна и может быть от 10^4 до 10^6 см $^{-3}$. В [12] приводится $n_* = 3 \cdot 10^5$ см $^{-1}$.

Для трех N-галактик Смит и др. [13] отмечают, что при нормальном тхимическом составе $n_* \gg 5 \cdot 10^3$ см⁻³ для PKS 0353 + 027 и 3C 467 и $n_* \gg 10^4$ см⁻³ для 3C 411.

Спектрофотометрия 18 галактик Маркаряна привела Нойгебауера и др. [6] к выводу, что у сейфертовских галактик типа 1 существуют три зоны: плотная (водородная) зона с $n_* = 10^6$ см $^{-3}$ (раньше принимались значения $n_* = 10^7$ см $^{-3}$), зона [O III] с $n_* = 10^6$ см $^{-3}$ и $T_* \sim 10^4$ К и зона [O III] с $n_* \ll 10^3$ см $^{-3}$ и $T_* \sim 10^4$ К. Для сейфертовских галактик типа 2 в [6] получено, что плотная зона отсутствует.

Как отмечают Остерброк и др. [14], алектронные температуры и плотности в зонах [О III] четырех радиогалактих, которые входят в [3], порядка $T_* \sim 10^4$ К и $n_* = 10^4 + 10^3$ см 3 . Кроме того, они отмечают, что для 3C 382 и 3C 390.3 нет конечных температур, которые соответствовали бы наблюдаемому отношению линий [О III] для $n_* < 10^3$ см $^{-3}$ -

Таким образом, полученные нами результаты в принципе не противоречат полученным рансе другими авторами. С другой стороны, как уже отмечалось, она согласуются с интерпретацией зависимостей, пслученных в [1, 2].

		3ona (O III)			Зона (О 11)				
Объект	литера- тура	T, [K]	п,[сы-3]	литера- тура	T, [K]	n [cm-3]			
NGC 1068	[17] [23]	17000 10200	10 ³ 4 · 10 ³ —2 · 10 ⁹	[26] [23]	(10-20000) 8-10000	10 ⁴ 4+10 ³			
NGC 1275	[15] [18]	16000	10 ⁴ 3-10 10 ⁴	[26] [18]	10 - 20 104 12000	10 ⁴ 4-10 ³			
NGC 3227	[24] [19]	19000 16000	104	[24] [19]	11000 12000	200 — 300 10 ³			
NGC 3516				[19]	15000	104			
NGC 4051	C 4051 [19] 16000		5-104	[19]	12000	3-103			
NGC 4151	[3] [20] [22]	одна вона (18000)	c T _a = 2·10 ⁴ T _a = 14000 (5000) (6	$n_{\sigma}=2$	· 10²				
NGC 5548	[12]	14000	3-105						
NGC 7469	[19] [15]	1 1000 (4-104)	5·10 ⁴ >2.5·10 ⁵						
Маркарян 79	[8]	3-3.5-104	2.5-103	[8]	104	2.5-3-104			
3C 120	[25]	26000	(< 10 ⁵)	[25]	(26000)	1500			
N-razert.	[13]	10-12000	5 · 105 ÷ 5 · 104						
СГ типа 1	[6]	(104)	> 104	[6]	(104)	103			
СГ тыпа 2	[6]	(12000)	105	[6]	10-20000	103			
Радногах.	[14]	104	> 104-101	4					

 Π римечание. Значения n_s и T_s , заключенных в схобях, являются воличинами, арминтыми авторами. При втом соответствение получались приведенные в соседних столбцах значения T_s м n_s .

Автор благодарен М. А. Аракеляну за ценные советы, замечачия и постоянное внимание к настоящей работе.

Ереванский государственный университет

PHYSICAL CONDITIONS IN THE NUCLEI OF SEYFERT GALAXIES OF TYPE 1

G. T. PETROV

On the basis of spectrophotometric results by Osterbrock the electron densities and temperatures in the nuclei of 36 Seyfert galaxies of type 1 and 5 radio-galaxies are determined by the same procedure. It is shown that in the zones of O the temperatures are close to 10 000 K and densities are about 5 10° cm⁻³. The dispersions of both parameters are very small. In the zones of O the dispersions of these parameters are significantly larger.

ЛИТЕРАТУРА

- 1. М. А. Аракелян, Астрофизика, 13, 427, 1977.
- 2. Г. Т. Петров, Астрофизика, 15, 59, 1979.
- 3. D. E. Osterbrock, Ap. 1, 215, 733, 1977.
- 4. M. J. Senton, M. N., 114, 154, 1954.
- А. А. Боврчук, Р. Е. Гершберт, Н. В. Годовников, В. И. Проник, Изв. Кр. АО, 39, 147, 1969.
- b. G. Neugebauer, E. Beclin, J. B. Oke, L. Seurle, Ap. J., 205, 29, 1976.
- 7. K. Davidson, Ap. J., 171, 213, 1972.
- 8. П. М. Янкулова, Диссертации, МГУ, М., 1974.
- 9. К. У. Аллен, Астрофизические величины, ИА, М., 1960.
- D. E. Osterbrock, in "Astrophysics of Gaseous Nellulae", Froeman and Company, San Francisko, 1974.
- 11. M. J. Seaton, Reports on Progress in Physics, 23, 313, 1960.
- 12. Э. А. Дибай, В. Ф. Есипов, В. И. Проник, Астрон. ж., 44, 689, 1967.
- 13. H. E. Smith, H. Spinrad, R. Hunstend, Ap. 1., 206, 345, 1976.
- 14. D. E. Osterbrock, A. T. Koski, M. M. Phillips, Ap. J., 206, 898, 1976.
- 15. K. S. Anderson, Ap. J., 162, 743, 1970.
- 16. J. A. Boldwin, Ap. J., 201, 26, 1975.
- 17. Э. А. Дибай, В. И. Проник, Астрофизика, 1, 78, 1965.
- 18. Э. А. Либай, В. И. Проник, Пан. КоАО, 35, 87, 1966.
- 19. Э. А. Дибай, В. И. Проник. Астрон. ж., 44, 952, 1967.
- Э. А. Дибай, Б. А. Воронцов-Вельяминов, Симпознум МАС № 29. Бюракан, 1968, стр. 75.
- 21. E. Y. Khachikian, D. W. Weedman, Ap. J., 192, 581, 1974.
- 22. J. B. Oke, W. L. W. Sargent, Ap. J., 151, 807, 1968.
- 23. O. E. Osterbrock, R. A. R. Parker, Ap. J., 141, 892, 1965.
- 24. V. Rubin, F. K. Ford, Ap. J., 154, 431, 1968.
- 25. G. A. Shields, J. B. Oke, W. L. W. Surgent, Ap. J., 176, 75, 1972
- 26. E. J. Wampler, Ap. J., 164, 1, 1971.
- 27. В И Проник, Астрофизика, 13, 51, 1977.

АКАДЕМИЯ НАУК АРМЯНСКОЙ ССР АСТРОФИЗИКА

TOM 15

АВГУСТ, 1979

выпуск з

УДК 523.855

КОМПАКТНЫЕ ГАЛАКТИКИ В ОКРЕСТНОСТИ СКОПЛЕНИЯ А 2255

Ф. БЕРНГЕН, А. Т. КАЛЛОГЛЯН Поступила 14 апреля 1979

В области 11 кв. градусов, вокруг скопления A 2255 отомдествлена 131 компактная галактика. Результаты В, ∇ фотометрии вместе с окваториальными координатами сбъектов приведены в табл. 1. Из распределения обнаруженных компактных галактик вокруг скопления A 2255 получено, что скопление простирается до радпуса \sim 20%. По распределению цветов компактных галактики поля отличаются от E и S0 галактика.

1. Васленис. Скопление галактик А 2255 — Zw Cl 1740.4 + 6401 весьма богато компактными галактиками. Оно включено в каталог компактных галактик Цвикки [1]. В работе [2] нами проводилась двухцветная фотометрия 396 галактик, находящихся в области скопления внутри радиуса 13′. В ней было показано, что почти половина галактик с измеренными поверхиостными яркостями являются компактными, удовлетворяющими критерию $R/\square = 20^m0$, где R- интегральная величина галактики в красном цвете, а также критерию компактности, предложенному авторами [3]. Вычисленная поверхностная плотность компактных галактик в скоплении до $V=18^m0$ порядка 600 на кв. градус. Между тем, как по нашим данным [4], так и по данным Фейрола [5], плотность компактных галактик, удовлетворяющих тому же критерию компактности в общем поле, порядка 10 на кв. градус.

В настоящей работе мы продолжаем изучение компактных галактик в поле, используя при этом снимки области скопления A 2255, получениые в шмидтовском фокусе двухметрового телескопа Таутенбургской обсерватории в системе В, V. Исследуемая область окружает A 2255 и заключена между экваториальными координатами: $a_{100} = 16^{h} 54^{m} 9 \div 17^{h} 25^{m} 9$, $a_{1000} = -62 \cdot 20' + 65 \cdot 40'$. Отождестиление компактных галактик производилось по тем же критериям и тем же способом, что и в работе [4].

Измерение обнаруженных компактных галактик проводилось на ирисовом фотометре Таутенбургской обсерватории. В качестве стандартов были использованы шаровые скопления и компактные объекты в области М 31, звездные величины которых приведены в [6-8]. В каждом цвете было измерено по две пластинки. Отклонения от средних значений в среднем составляют $\pm 0^{\circ}06$.

2. О распределении компактных галактик. В указанной области вокруг скопления А 2255 в общей площади 11 кв. градусов была отождествлена 131 компактная галактика. Галактики имеют сферическую форму и обладают высокой поверхностной яркостью в обоих цветах или же в одном из них. Чаще они более компактны в цвете V. Список компактных галактик приведен в табл. 1, в последующих столбцах которой даны порядковые номера, экваториальные координаты, определенные на негативах, V-величины и показатели цвета В—V. Объекты с неуверенно определенными величинами и цветами отмечены двоеточием. На картах отождествления номера соответствуют номерам в таббл. 1. 10 объектов в таблице идентичны с компактными Цвикки.

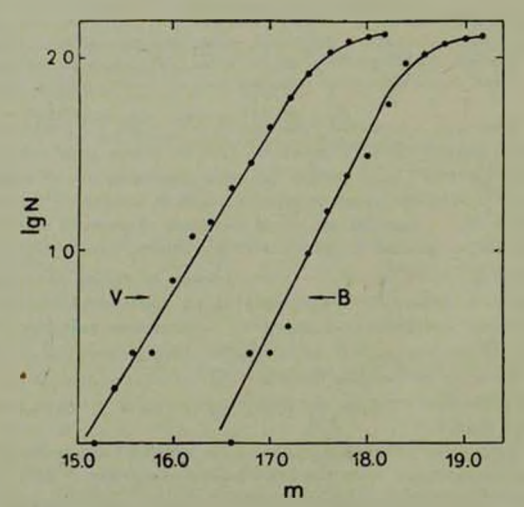


Рис. 1. Распределение компактных галактик по звездным величинам В и V.

На рис. 1 приводится распределение числа галактик по звездным величинам. По оси абсцисс отложена звездная величина, по оси ординат —

 $T_{a\delta_{Auga}}$ / интегральные звездные величины и показатели цвета компактных галактик в окрестности скопления $^{\rm A}$ 2255

_	- CC/MITTA	THE PERSON NAMED IN	AMMIT	IN D ON	4011	TOCINIC	KOHAEH	INN A 22	3.5
No	a 1830	her	v	B-V	No.	21020	- 193a	v	B-V
1	16 ^h 57 ^m 6	+63 31'	16"49	0**85	36	17 ^h 06 ^m 9	+62°53'	17 th 32	0 ^m 77
2	57.9	+63 62	17.73	0.51	37	07.2	+64 46	17.85	0.65
3	58.0	+62 56	16.81	1.68	38	07.3	+62 54	17.26	0.75
4	59.4	- 63 15	16,14	1.61	39	07.4	+63 56	16.24	1.35
5	58.4	+65 11	17.49	1.37	40	07.4	+62 54	17.40	1.00
6	58.5	4-62 34	17.67	0.64	41	07.4	-65 07	17.59	0.99
7	58.8	65 US	17.39	1,05	42	07.5	+62 54	16.74	1.38
8	17 00.1	+63 37	17.52:	0.33:	43	07.7	+62 59	17.64	0.88
9	00.3	-[-64 37	17.83	0.49	44	07.9	+64 55	17.02	1.29
10	00.7	÷65 01	17.69	1.15	45	08.3	64 40	16.47	1.40
-11	00.7	+65 01	17.46	1.13	46	08.8	+64 20	15.57	1.00
12	8.00	+62 46	16.65	0.63	47	09.2	+63 10	17.13	0.97
13	8.00	+ 65 01	17.73	0.94	48	09.2	+65 09	17.29	0.83
14	01.3	+63 28	17.08	0.88	49	8,40	+64 27	17.59	0.71
15	02.4	+62 59	15.94	0.74	50	10.1	+63 18	16.52	1,10
16	02.5	+63 53	17.48	0.71	51	10.2	-64 02	17.13	1.09
17	02.8	4.63 08	17.08	1.24	52	10.4	+63 43	16.89	1.09
18	03.0	+65 05	17.11	1.23	53	10.6	+63 55	16.77	1.34
19	03.1	+64 17	16.90	0.85	54	10.7	+63 56	17.03	1.26
20	03.3	+63 22	16.83	1.47	55	11.0	+63 56	16.76	1.34
21	03.6	62 58	17.39	1.29	56	11.2	+63 54	17.22	1.11
22	03.7	+63 25	17.66	0.57	57	11.4	+64 25	15.83	1.75
23	04.0	- 62 49	17.75	1.08	58	11.9	+62 33	17.03	0.13
24	04.4	+63 24	17.46	0.82	59	12.0	+64 38	17.62	0.79
25	04.7	+ 62 54	16.90	0.82	60	12.1	+64 27	17.35	1.02
26	04.8	+64 37	17.33	0.68	61	12.3	+63 52	17.05	0.48
27	05.3		17.82	0.52	62	12.4	+63 47	17.341	0.62:
28	05.5	-63 05	16.86	1.01	63	12.9	+64 28	17.34	0.97
29	05.8	+65 16	17.86	0.31	64	12.9	+63 52	17.03	1.51
30	05.9	+62 49	16.49	80.1	65	13.1	+65 28	17.18	1.17
31	06.0	+63 43	16.96	1.29	66	13.1	+65 05	17.42	1.45
32	U6.0	+62 45	16.06	1.48	67	13.7	-1 62 36	17.72	0.97
33	06.0	+64 27	17.42	1.12	68	13.8	+64 17	16.80	1.44
34	06.2	+62 45	16.93	1.10	69	14.0		17.66	0.75
35	06.5	⊹63 49	16.75	0,98	70	14.1	+64 20	17,09	1.00
				1	4				

Таблица 1 (сисичание

	Таблица 1 (онсниание)										
.\%	3 1828	X1050	v	B-V	₩2	F1998	t _{rese}	v	B-V		
71	17 ^h 14 ^m 2	+63°06′	17 ^m 10	1 23	102	17 ^h 19 ^m 3	+ 63 35"	17 [™] 53	0.16		
72	14.3	+63 04	16.04	1.30	103	19.3	+64 19	17.43	1.24		
73	14.5	+64 04	16.84	1.33	104	19.4	- 63 34	16.44	1.58		
74	14.5	64 39	16.85	0.52	105	19.4	65 41	17,41	1.04		
75	14.5	-64 43	17.52	1.12	10á	19.7	+62 54	17.33	1.32		
76	14.7	64 52	17.49	1.20	107	19.9	- 64 53	17.27	1.09		
77	15.3	+65 39	17.00	1.10	108	20.2	+64 50	17.62	0.72		
78	15.7	+65 20	17.55	1.31	109	20.3	- 63 50	17.38	0.89		
79	15.9	-+64 33	17.30	0.95	110	20.3	- 65 32	17.81:	0.90:		
80	15.9	4 65 24	17.46	0.65	111	20.3	+63 31	17.22	1.23		
81	15.9	- 64 11	15.91	1.62	112	20.3	+65 32	17.04:	1.25:		
82	16.2	- 64 40	17.31	1.25	113	20.5	+63 54	17.59	0.91		
83	16.4	+62 33	16.55	1.29	114	20.8	+ 64 54	16.80	1.33		
84	16.6	+65 33	16,00	1.61	115	21.1	- -62 33	16.87	1.29		
85	16.8	- 65 16	16.85	1.26	116	21.2	+62 32	17.33	1.02		
86	16.9	+64 19	16.65	1.11	117	21.2	+64 28	17.84	0.62		
87	16.9	+ 64 19	16,04	1.26	118	21.6	÷65 07	17.39	1 20		
88	17.0	+64 21	15.04	1.58	119	22.0	+ 65 30	17.69	1.16		
89	17.5	- 64 53	17.00	1.33	120	22.1	-65 04	17.31	1.07		
90	17.9	+64 21	17.60	0.88	121	22.2	+65 03	15,88	1.73		
91	17.9	+65 19	17.42	1.18	122	22.6	-64 57	17.07	1.16		
92	17.9	+64 16	17,3C	0.44	123	22.7	- 63 37	18.01	0,33		
93	17.9	+65 38	17.40	1.22	124	22.9	-62 40	17.23	1.24		
94	18.2	+64 29	17.04	0.98	125	23.1	-62 58	16.27	1.55		
95	18.3	-64 44	16.59	1.40	126	24.6	+64 29	16.82	1.34		
96	18.4	+63 51	17.62	1.29	127	24.7	+62 32	17.41	0.98		
97	18.4	- 64 44	17.33	0.75	128	25.2	62 57	17.27	1.06		
98	18.4	+64 30	16.96	1.01	129	25.6	+65 21	17.87	1.14		
99	18.5	+62 40	17.20	0.83	130	25.6	+63 37	16.54	1 35		
100	18.7	-63 31	15.39	1.82	131	25.9	+64 58	17.67	0.56		
101	19.3	+63 26	17.60	0,42							
		1	-	- 3		-					

логарифм числа галактик до данной величины. Полученная зависимость плохо аппроксимируется линейной функцией, однако, если провести прямую, то для ее углового ковффициента получается значение 0.9, то есть значительно больше, чем при предположении о равномерном распределении объектов в пространстве. Отметим, что в случае компактных галактик поля в окрестности скопления А 193 [4], значение углового коэффициента ана-

догичной прямой не противоречило предположению о равномерном распределении компактных галактик в пространстве. Однако из полученного высокого значения углового коэффициента зависимости IgN от тельзя утверждать об отклонении распределения компактных галактик от равномерности в сторону увеличения их пространственной плотности с расстоянием. Более вероятию, что мы здесь имеем дело с наблюдательной селекцией, заключающейся в том, что при малых угловых размерах часть «нормальных» (некомпактных) галактик может быть отнесена к классу компактных. При этом доля подобных мнимых компактных галактик может увеличиться со звездной величиной. Более обстоятельное изучение втого вопроса является принципиально важным.

По рис. 1 наша выборка является полной до В = 18.6. Поверхностная плотность компактных галактик поля до этой величины оказывается равной 12 галактикам на кв. градус, что почти совпадает со значением той же величины для окрестности скопления А 193 [4]. Однако, учитывая вышесказанное, следует, по-видимому, считать это значение несколько завышенным.

В таба. 2 приводится распределение компактных галактик по концентрическим кольцам вокруг скопления А 2255. В работе [2] скопление было сфотометрировано до раднуса около 13′. Из данных таба. 2 видно, что до расстояния r=20′ от центра скопления плотность обнаруженных компактных галактик существению больше, чем в последующих кольцах (отметим, что центральный круг целиком включает в себя измеренную в [2] область скопления). Это говорит о том, что скопление А 2255 простирается хотя бы до раднуса 20′. Используя среднюю радиальную скорость скопления, равную 23 300 км/с, для диаметра скопления получим значение около 5 Мпс при H=50 км/с Мпс.

									Tab	лица 2
*	10	20	30	40	50	60	70	80	90	100
n n	80 600?	14 42	7 13	9 12	13 13	13 11	17 12	17 10	18	12 6

Среди обнаруженных компактных галактик имеются три тесных пары, для которых удовлетворяется критерий $c/D_1+D_2 < 2$, то есть около 5% обнаруженных компактных галактик входит в состав пар. Номера компонентов обнаруженных пар, разница в их интегральных звездных величинах ΔV и показателях цвета $\Delta (B-V)$ приводятся в табл. 3. В последней строке таблицы приводятся индивидуальные значения отношения r/D_1+D_2 . Как видим, показатели цвета, так же, как и интегральные звездные вели-

чины компонентов пар, мало отличаются друг от друга. По всем дзиным все три пары должны быть физическими.

	Габлица З		
No	11-12	86 - 87	112-114
2V 2 (B-V) r _i D ₁ - D ₃	0 ^m 23 0 ^m 02 1.7	0 ^m 61 0 ^m 15 1.6	0 ^m 77 0 ^m 35 1.0

3. Распределение компактных галактик поля по показателям цвета. Показатели цвета обнаруженных в этой работе компактных галактик, так же, как и компактных галактик в окрестности скопления А 193 [4], распределены в довольно широком диапазоне. По данным табл. 1 встречаются компактные галактики с B-V от нуля до 1^m9 . Гистограмма распределения показателей цвета приведена на рис. 2a, где по оси абсцисс огложе-

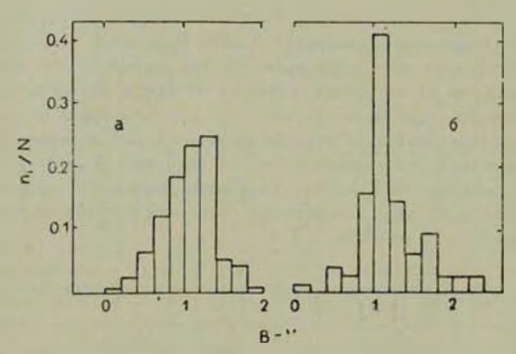


Рис. 2 Распределение компантных галактик по показателям цвета. a) — для компантных галактик полу в омрестности A 2255. 6) — для компантных галактик в скоплении A 2255.

ны показатели цвета по данным табл. 1, а по оси ординат — отношение числа компактных галактик в данном интервале B-V к общему их числу в выборке. При этом были исключены объекты, имеющие r < 20' по табл. 2. Полученное распределение качественно повторяет распределение по цветам компактных галактик в окрестности скопления A 193 [4]. На рис. 2, 6 приводится распределение компактных галактик по цветам в скоплении A 2255 до $V=18^m0$ в радиусс r=20'. В отличие от распределе-

ния для компактных галактик поля, в распределении для компактных галактик в скоплении А 2255 имеется весьма острый максимум. В этом отношении эти галактики имеют некоторое сходство с галактиками типов Е и S0 в скоплении Сота [9]. Означает ли это какую-то общность природы компактных галактик в скоплениях с галактиками типов Е и S0 или же указанное сходство обусловлено другими причинами, можно будет решить после накопления достаточного материала о компактных галактиках в других скоплениях. Из результатов как настоящей, так и предыдущей работы [4] пока можно лишь сказать, что по распределению показателей цвета компактные галактики в поле существенно отличаются от Е и S0 галактик в Сота.

В работе [10] Сандейдж и Висванатан исследовали распределение Е и SO галактик по цветам в разных спектральных диапазонах и не нашли инкакого различия как между двумя типами галактик, так и между галактиками этих типов, находящихся в поле и скоплениях. При этом построенные в [10] распределения для Е и SO галактик, входящих или не входящих в скопления, обладают хорошо выраженными максимумами с совпадающими для данного показателя цвета значениями и большей частью симметричны огносительно этого максимума. На основании сходства указанных распределений и других данных авторы работы [10] делают закаючение об одинаковости характеристик населения дисков и гало E и SO галактик ярче $M = -20^{\circ\circ}$. Полученная нами форма распределения компактных галактик поля по цветам заметно отличается от таковой как для Е и SO галактик, так и от компактных галактик в скоплении A 2255, которые, в свою очередь, по сравнению с результатами работы [10] отличаются от Е и SO галактик наличием более остоого пика в распределении по цветам. При всех этих сравнениях, однако, следует иметь в виду, что наши данные не освобождены от К-поправки.

Работа по поиску и фотометрии компактных галактик в других областях неба находится в процессе выполнения.

Центральный институт астрофизики АН ГДР Бюраканская астрофизическая обсерватория

COMPACT GALAXIES IN THE VICINITY OF THE CLUSTER A 2255

F. BÖRNGEN, A. T. KALLOGHLIAN

131 compact galaxies were identified over 11 sq. degrees around the cluster A 2255. The results of B, V photometry with the equatorial

coordinates of the objects are given in Table 1. From the surface distribution of detected compact galaxies the radius of the cluster A 2255 is about 20 arcmin. The color distribution of the field compacts differs from that of E and S0 galaxies.

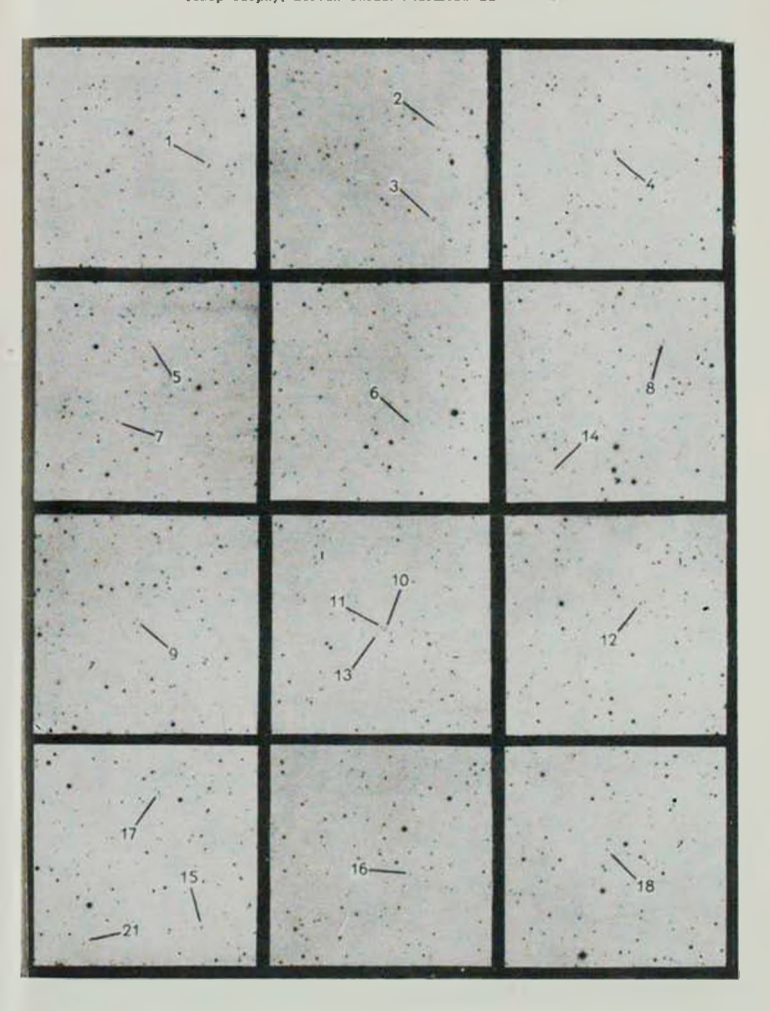
ЛИТЕРАТУРА

- 1. F. Zwicky, Catalogue of Selected Compact Galaxies and Post-Eruptive Galaxies, Zwitserland, 1971.
- 2. Ф. Бёрнген, А. Т. Каллоглян, Астрофизика, 13, 5, 1977.
- 3. А. Т. Каллоглян, Ф. Бёрнген, Астрофизика, 12, 697, 1976.
- 4. Ф. Бёрнген, А. Т. Каллоглян, Астрофизика, 14, 613, 1978.
- 5. A. P. Fairall, Observatory, 98, 1, 1978.
- 6. S. van den Bergh, Ap. J., Suppl. ser., 19, 145, 1969.
- 7. M. Vetesnik, Bull. Astr. Inst. Czechoslovakia, 13, 180, 1962.

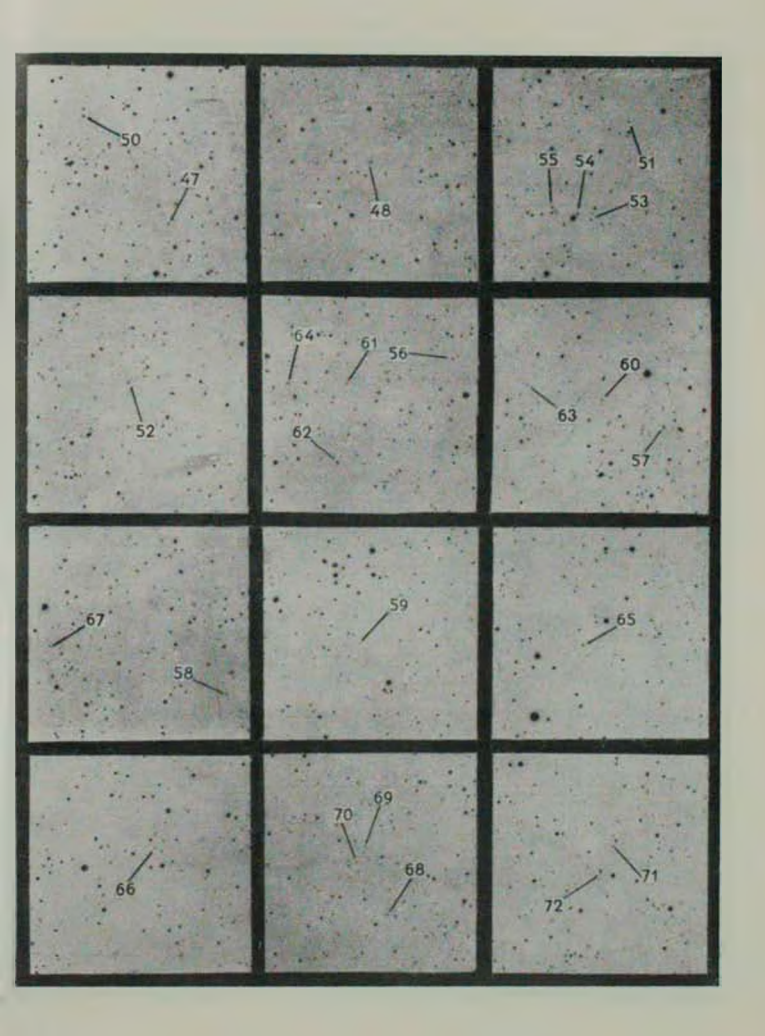
- 8. А. С. Шаров, Астрон. ж., 50, 1023, 1973.
- 9. X. Butcher, A. Oemler Jr., Ap. J., 219, 18, 1978.
- 10. A. Sandage, N. Visvanatan, Ap. J., 225, 742, 1978.

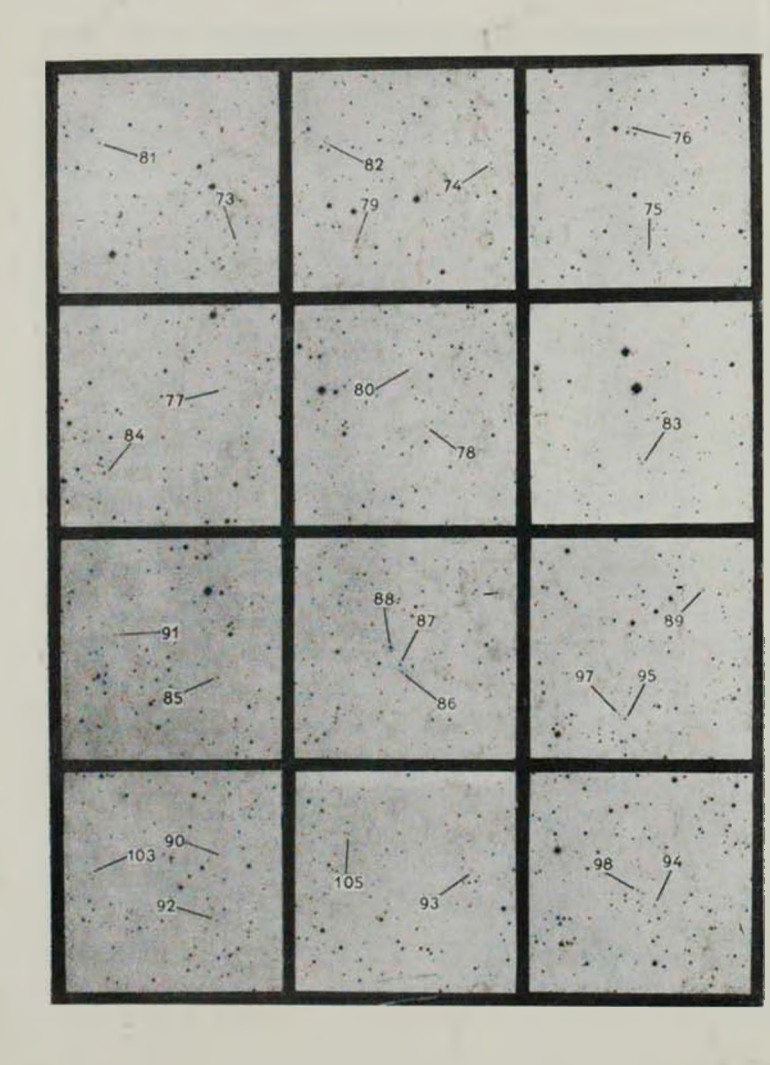
КАРТЫ ОТОЖДЕСТВЛЕНИЯ

компактных галактик (в цвете V), сегер сверху, посток слева. Масштаб 22-11 мм.

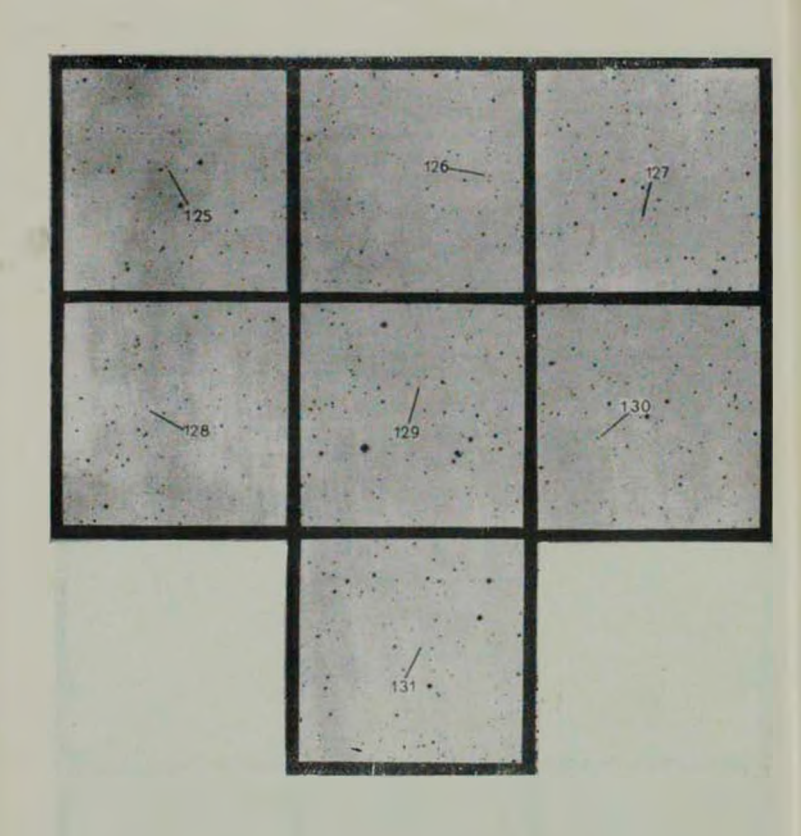












К ст. Ф. Бернгена, А. Каллогляна

АКАДЕМИЯ НАУК АРМЯНСКОЙ ССР АСТРОФИЗИКА

TOM 15

АВГУСТ, 1979

выпуск з

УДК 523.841 1

ТЕОРЕТИЧЕСКИЕ КРИВЫЕ БЛЕСКА СВЕРХНОВЫХ ЗВЕЗД

В. В. СОБОЛЕВ Поступила 26 февраля 1979

Рассматривается перенос излучения через оболочку возрастающего раднуса и убывающей оптической тозщины при отсутствии лучистого равновесия. Предполагается, что энергия поступает в оболочку при первоначальном взрыве и затем — по заданному закому от знезды. Светимость оболочки определяется методом, предложенным автором ранее [1] Полученные кривые блеска в общих чертах согласущтся с кривыми, найденными из изблюдений. Оценена оттяческая толщина оболочки в максимуме блеска и масся оболочки. Для сверхновых 1 типа соответствующие значения равны $\tau_{\rm m} = 15$ м $M = 0.4 M_{\odot}$.

Для понимания процессов, происходящих при вспышках сверхновых звезд, большое значение имеет интерпретация их кривых блеска. Такая интерпретация особенно важна для первого периода вспышки, когда на кривой блеска непосредственно сказываются последствия первоначального взрыва.

Как известно, пли вспышке от звезды отделяется оболочка, которая постепенно расширяется и рассенвается в пространстве. Физические условия в оболочке с течением времени меняются. В частности, ее оптическая толіцина, которая сначала гораздо больше единицы, быстро убывает до значений порядка единицы и меньше.

Теоретическое определение изменений блеска и спектра оболочки сводится к решению задачи о переносе энергии через среду с меняющимися оптическими свойствами. Математически эта задача очень сложна. Приближенное ее решение было дано автором [1] (см. также [2], стр. 392) с целью применения к новым звездам. Эдесь мы воспользуемся этим решением для интерпретации изменений блеска сверхновой звезды. Как и рансе [1]. будем рассматривать первый период вспышки, когда оболочка светится лишь в непрерывном спектре.

Из сравнения теории с наблюдениями можно оценить некоторые параметры оболочки (в частности, оптическую толщину и массу). Такие оценки делаются ниже для средней сверхновой I типа. Применение теории к конкретиым сверхновым различных типов будет сделано позднее.

Следует отметить, что интерпретация кривых блеска сверхновых производилась ранее в ряде работ (см. [3] и [4]). Особенного внимания заслуживают работы В. С. Имшенника, Д. К. Надежина и их сотрудников [5—7], рассмотревших перенос внергии ударными волнами, и И. С. Шкловского [8], высказавшего идею о поступлении жесткого излучения заездыпульсара в оболочку.

1. Изменение светимости. Как уже сказано, для определения изменения светимости оболочки с течением времени мы воспользуемся формулами, полученными в работе [1]. С целью большей ясности изложения дадим краткий вывод этих формул.

Будем считать, что в момент времени $\ell=0$ от звезды отрывается оболочка с запасом тепловой энергии E. Эта величина складывается из тепловой энергии, первоначально содержавшейся в оболочке, и из части энергии взрыва, перешедшей в тепловую энергию. Допустим также, что оболочка находится под воздействием излучения звезды, светимость которой раниа $L_{\bullet}(t)$.

Чтобы найти светимость оболочки L(t), надо решить задачу о переносе энергии через оболочку с возрастающим радиусом r(t) и с убывающей оптической толщиной $\tau(t)$. Для упрощения задачи применим прием (обоснование его см. в [1]), заключающийся в том, что диффузия излучения в реальной протяженной оболочке заменяется отражением фотонов от тонкой оболочки и их перемещением в полости, созданной этой оболочкой. Так как в начале вспышки оптическая толщина оболочки очень велика (порядка 10^{10}), то фотоны задерживаются в полости. С течением времени оптическая толщина оболочки убывает, выход фотонов на полости наружу ускоряется и светимость оболочки возрастает.

Учитывая сказанное, на основании закона сохранения эпергии имеем

$$L_{\sigma}(t) - L(t) = \frac{d}{dt} \left| \frac{4}{3} \pi r^{3}(t) \varphi(t) \right|, \tag{1}$$

где $\psi(t)$ — плотность излучения в полости.

Очевидно, что величина $\gamma(t)$ может быть выражена через L(t). Чтобы сделать это, заметим, что поток излучения, выходящего из оболочки наружу, равен $L(t)/4\pi r(t)$, а поток излучения, отраженного оболочкой внутрь, равен (c/4) γ (t), где c — скорость света. Так как отношение этих потоков равно 1/z (t), то мы получаем

$$\gamma(t) = \frac{L(t) \cdot (t)}{\pi c r^2(t)} \tag{2}$$

Подстановка (2) в (1) приводит к уравнению

$$L_{+}(t) - L(t) = \frac{4}{3c} \frac{d}{dt} [z(t) r(t) L(t)],$$
 (3)

которое и может служить для определения светимости оболочки $L\left(t\right)$. Решение уравнения (3) имеет вид

$$L(t) = \frac{3c}{4\pi(t) r(t)} \left[Ee^{-\frac{3c}{4} \int_{0}^{t} \frac{dt'}{r(t') r(t')}} + \int_{0}^{t} L_{\phi}(t') e^{-\frac{3c}{4} \int_{0}^{t} + \frac{dt'}{r(t') r(t')}} dt' \right]$$
(4)

где произвольная постоянная определена из очевидного условия

$$\int_{0}^{\infty} L(t) dt = E + \int_{0}^{\infty} L_{\bullet}(t) dt.$$
 (5)

Для вычисления светимости оболочки по формуле (4) необходимо задать зависимость величин r и $\bar{\tau}$ от времени. Мы примем, что

$$r = r_* + vt, \qquad \tau = \tau_* \left(\frac{r_*}{r}\right)^k,$$
 (6)

где k некоторый параметр, v — скорость расширения оболочки (считающаяся постоянной), r_{\bullet} — раднус оболочки и — ее оптическая толшина в момент t=0.

 Π_{0A} ставляя (6) в (4), произведем интегрирование при пренебрежении величиной r_{\bullet} по сравнению с $\mathfrak{O}t$. Тогда, вводя вместо t безразмерное время u при помощи соотношения

$$\frac{3cv^{k-1}}{4\tau_k r^k} t^k = u^k \tag{7}$$

и обозначая

$$L_{1} = \left(\frac{3cv^{k-1}}{4\tau_{*}r^{k}}\right)^{1/k}E, \tag{8}$$

$$L(u) = L_1 u^{k-1} e^{-u^k k} + u^{k-1} \int_{S} L_{\Phi}(u') e^{-1/k (u' - u'^k)} du'.$$
 (5)

Формула (9) дает возможность определить светимость оболочки L(u) по светимости знезды $L_{\pi}(u)$ и величине L_1 .

В случае, когда светимость звезды мала, имеем

$$L(u) = L_1 u^{k-1} e^{-u^k / k}. (10)$$

Из этой формулы видно, что светимость оболочки сначала растет до значения и, равного

$$u_m = (k-1)^{1/4}, (11)$$

а затем убывает. С помочно формул (6) и (7) получаем, что максимум светимости оболочки достигается в момент времени

$$t_m = \left[\frac{4(k-1)\tau_n r_o^k}{3cv^{k-1}} \right]^{1,k}, \tag{12}$$

а оптическая толшина оболочки в атот момент равна

$$z_n = \frac{3}{4(k-1)} \frac{c}{v} \tag{13}$$

В случае, когда величина L_1 мала, формула (9) принимает вид

$$L(u) = u^{k-1} \int_{0}^{\infty} L_{0}(u') e^{-1/k(u^{k} - u'^{k})} du'.$$
 (14)

Если снетимость звезды $L_{\rm e}\left(u\right)$ убынает с ростом u, то светимость оболочки $L\left(u\right)$ сначала растет, а затем уменьшается, приближаясь к $L_{\rm e}\left(u\right)$. Легко убедиться, что максимум светимости оболочки соответствует значению $u=u_{\rm m}$, которое находится из уравнения

$$u_{n}^{k} = \frac{k-1}{1 - \frac{L_{n}(u_{n})}{L(u_{n})}} \tag{15}$$

Следует отметить, что формулу (10) можно считать частным случаем формулы (14) при $L_{\bullet}(u) = L_{\bullet}^{\bullet}(u)$, где $\bullet -$ функция Дирака. Поэтому и формула (11) получается из формулы (15) при $L_{\bullet}(u) = 0$.

Как будет выяснено ниже, наиболее вероятные значения параметра k близки к 2. Поэтому значения величины u_m , найденные по формуле (11),

близки к 1. Формула (15) дает для u_m значения такого же порядка, хотя и несколько бблышие, чем формула (11). При значениях u порядка единицы происходит выход ниружу эсновной части энергии, накопленной оболочкой (т. е. оболочка «высвечивается»). Этим, собственио, и объясняется максимум светимости оболочки.

В качестве примера по формуле (14) была вычислена светимость оболочки L(u) для случая, когда светимость звезды дается формулой

$$L_{*}(u) = \frac{L_{0}}{u^{*}}, \tag{16}$$

где s — некоторый параметр. На рис. 1 приведены результаты вычислений при s=1/2 для случаев k=2 и k=3. Рисунок иллюстрирует описанный выше характер изменения светимости оболочки с течением времени.

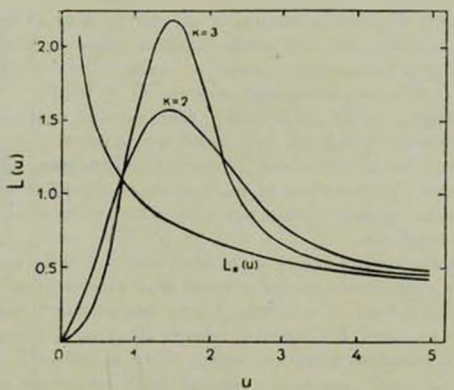


Рис. 1. Кривые изменения светимости оболочки при $L_*(u) = 1/\sqrt{u}$.

2. Изменение блеска и температуры. Для сравнения теории с наблюдениями целесообразно перейти от светимости к величинам, которые могут быть найдены непосредственно из наблюдений, т. е. к блеску и температуре.

Обозначим через T_m аффективную температуру оболочки в момент максимума светимости. Тогда эффективная температура в дюбой другой момент времени и будет равна

$$T = T_m \left| \frac{L(u)}{L(u_m)} \right|^{1.4} \left(\frac{u_m}{u} \right)^{1.5}. \tag{17}$$

Обозначим через Δm разность фотографических величин в момент времени u и в момент максимума светимости. Для атой разности имеем

$$\Delta m = -S \lg \frac{u}{u_m} + 36700 \left(\frac{1}{T} - \frac{1}{T_m} \right)$$
 (18)

Формулы (17) и (18) позволяют определить величины T и $^{\Delta}m$ по теоретической светимости L (u) и по принятой температуре T_m в момент максимума светимости. Для перехода от безразмерного времени u к времени t имеем формулу (7), из которой следует, что $t = t_m (u/u_m)$.

На рис. 2 приведены кривые блеска, построенные по формулам (17) и (18). При этом светимость оболочки находилась по формуле (14), а светимость самой звезды по формуле (16) с разными значениями параметра s. На том же рисунке изображена кривая блеска для случая, когда светимость оболочки дается формулой (10), т. е. когда оболочка светится за счет собственной тепловой анергии и за счет энергии вэрыва. Во всех случаях было принято, что оптическая толщина оболочки убывает по закону (6) при k=2 (обоснование этого см. ниже). Для температуры в момент максимума блеска принималось значение $T_m=10000^\circ$.

По оси абсцисс на рис. 2 отложено безразмерное время u, а по оси ординат — величина Δm , причем нуль-пункт для каждой крнвой для удобства смещен на 1 звездную величину относительно соседних кривых. Каждая кривая может продолжаться до тех пор, нока оптическая толщина оболочки остается по порядку больше единицы, т. е. пока оболочка представляет собой «фотосферу».

Теоретические кривые блеска могут быть сопоставлены с соответствующими кривыми, найденными из наблюдений. Как известно (см. [3] и [4]), наблюдения показывают, что кривые блеска сверхновых 1 типа мало отличаются друг от друга. В среднем в течение 20 суток происходит подъем блеска, а затем примерно в течение месяца блеск падает на 2—3 звездных величины. После этого происходит гораздо более медленное падение блеска. Этот излом на кривой блеска связывается с тем, что оболочка перестает играть роль фотосферы. Температура в максимуме блеска оказывается около 10000°, а во время упомянутого излома кривой блеска — порядка 5000—6000°. Отдельные наблюдения, проводившиеся до максимума блеска, дают температуры более высокие, чем 10000°. Кривые блеска сверхновых 11 типа отличаются большим разнообразнем.

Сравнение кривых блеска, найденных теоретически и из наблюдений, показывает, что при подходящем выборе параметра 8 они могут быть согласованы между собой. Для сверхновых I типа согласие получается при значениях s, близких к 3/4. Для сверхновых II типа, которые характеризуются более медленным падением блеска после максимума, более подходящими являются меньшие значения s. Самая низкая кривая на рис. 2,

соответствующая «высвечиванию» оболочки после первоначального взрыва, дает очень быстрое падение блеска и температуры. Так как подобное падение не наблюдается, то надо считать, что уже в первый период вспышки оболочка светится в значительной мере за счет энергии, поступающей в нее от зведды.

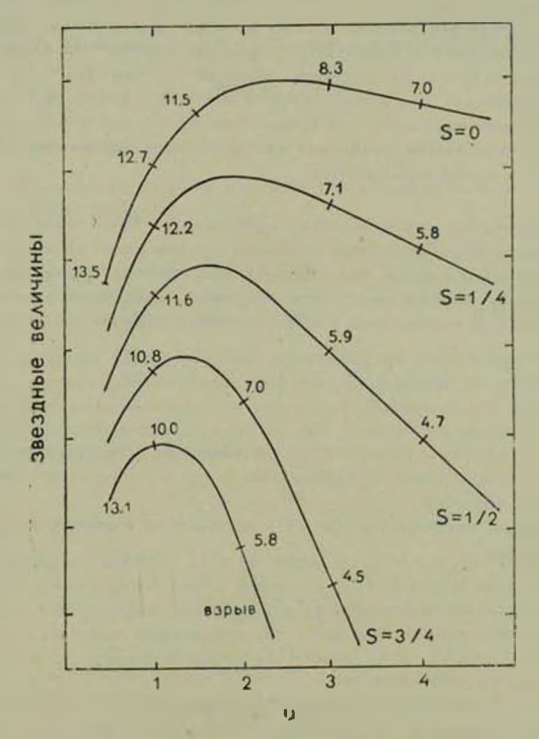


Рис. 2. Теоретические кривые блеска при k=2 и $T_m=10000^\circ$. Для разных моментов времени отмечены значения температуры в тысячах градусов.

При более подробной интерпретации результатов наблюдений с едует перейти от безразмерного времени u к времени t. Поскольку для сверхновых l типа время достижения максимума l порядка 20 суток, то $t \approx 20 \, u/u_m$ суток. Если принять, что s=3.4, то 6/4 ст $u_m=1.2$ и, следовательно,

t=17~u суток. Найдем характеристики излучения оболочки для момента излома кривой блеска. Так как для атого момента $t\approx 50$ суток, то $u\approx 3$. Как видно из рис. 2, в этот момент $\Delta m=2.5$ и $T=4500^\circ$, что более или менее согласуется с результатами наблюдений.

Можно также найти оптические толщины оболочки в моменты максимума и излома крнвой блеска. В том случае, когда светимость оболочки дается формулой (10), первая из втих величин определяется формулой (13). При k=2 и v=10000 км/с эта формула дает $\tau_m=22$. Однако при s=3/4 максимум блеска наступает несколько поэже ($u_m=1.2$ вместо $u_m=1$) и поэтему в данном случае в согласки с формулой (6) имеем $\tau_m=15$. Для момента же излома кривой блеска (т. е. при u=3) получаем $\tau=2.4$. Таким образом, величина $\tau=2.4$ в втот момент оказывается порядка единицы, как и следовало ожидать.

3. Определение массы оболочки. Приведенная выше интерпретация кривых блеска сверхновых звезд поэволяет оценить массы их оболочек.

Прежде всего заметим, что непрозрачность оболочек сверхновых звезд обусловлена в основном рассеянием излучения свободными электронами (см. [9—11]). В соответствии с этим оптическая толщина оболочки равна

$$\tau = c_0 \int n_r dr, \tag{19}$$

 $r_{AB} = r_{AB} - \kappa$ овффициент рассеяния, рассчитанный на один свободный электрон, n_{e} — концентрация свободных электронов и $r_{AB} - r_{BB}$ внутренней границы оболочки.

Принимая, что оболочка состоит в основном из водорода, для массы оболочки имеем

$$M = 4\pi m_{\pi} \int_{r_{\pi}}^{r_{\pi}} n_{r} r^{\sigma} dr, \qquad (20)$$

где ти - масса атома водорода.

Чтобы произвести интегрирование в формулах (19) и (20), надо задать закон изменения величины п, в оболочке. Мы примем, что п, где р некоторый параметр. Тогда из упомянутых формул находим

$$M = 4\pi \, \frac{m_{\rm H}}{s_{\rm B}} \, \tau r^2 f(z, \, p), \tag{21}$$

$$f(z, p) = \frac{1 - z^{2-p}}{1 - z^{1-p}} \frac{1 - p}{3 - p}$$
 (22)

Легко убедиться, что функция f(z,p) не сильно меняется в оболочке, если только величина z не очень мала. Например, для однородной оболочки имеем: $f(z,0)=1/3(1+z+z^2)$, а для оболочки, в которой n, убывает обратно пропорционально расстоянию от звезды: f(z,1)=z. Принимая, что f=1/2, имеето формулы (21) получаем

$$M = 2\pi \, \frac{m_n}{r_0} \, \tau r^{\frac{n}{2}}. \tag{23}$$

Из формулы (23) можно сделать два вывода:

1) Оптическая толщина оболочки убывает обратно пропорционально расстоянию от звезды, т. е.

$$\tau \sim \frac{1}{r^2}$$
 (24)

Этим выводом мы уже пользовались выше.

Формула (23) может быть применена для определения массы оболочки, если для какого-либо момента времени известна ее оптическая толщина. Выше было показано, что оптическая толщина оболочки может быть найдена для момента максимума блеска. Следовательно, массу оболочки можно определить по формуле

$$M=2\pi \frac{m_u}{m} z_m r^2. \tag{25}$$

Входящая в формулу (25) величина τ_m в случае, когда оболочка пысвечивается после върыва, дается формулой (13). В случае же свечения оболочки за счет поступающей в нее энергии от звезды максимум блеска достигается несколько позднее, т. е. при несколько меньшем значении τ_m . Так как $\tau \sim u^{-1}$, то вместо формулы (13) имеем

$$\tau_m = \frac{3c}{4vu_m^2} \cdot \tag{26}$$

Для сверхновых 1 типа выше принималось s=3/4 и, следовательно, $u_n=1,2$. Подставляя выражение (26) с атим значением u_m в формулу (25) и учитывая, что $r_m=v_m$ получаем

$$M = 2 \cdot 10^{11} vt_{-}^2. \tag{27}$$

Формула (27) позволяет находить массу оболочки M по скорости ее расширення v и по времени достижения максимума блеска I_m . Принимая v = 10000 км/с и $I_m = 20$ суток, получаем

$$M = 8 \cdot 10^{12} \text{ r} = 0.4 M_{\odot}$$
.

Если считать, что оболочка состоит в основном из гелия, а не из водорода, это значение массы оболочки должно быть увеличено вдвое, так как в формуле (20) следует заменить $m_{\rm e}$ на $1/2\,m_{\rm Hz}$.

Сверхновые II типа по своим наблюдаемым характеристикам весьма разнообразны. Если допустить, что $u_m=1.7,\ v=5000$ км/с и $t_m=40$ суток, то для массы оболочки опять получаем $M=8\ 10^{32}\,\mathrm{r}$. Вероятно, массы оболочек отдельных знезд могут сильно отличаться от этого значения.

Произведенные здесь оценки масс оболочек сверхновых авезд интересны потому, что до настоящего времени эти массы были известны пложо. Повтому теоретики в своих исследованиях принимали для масс оболочек весьма произвольные значения.

4. Заключительные вамечания. В настоящей статье получены теоретические кривые блеска сверхновых звезд при простейших предположениях о процессах, происходящих при вспышке. Как показано выше, эти кривые могут быть согласованы с некоторыми средними кривыми блеска, найденными из наблюдении. Для получения более подробной информации о вспышках желательно сравнить теорию с наблюдениями для ряда конхретных сверхновых звезд.

Особый интерес представляет обратная задача, т. е. определение по наблюдаемому излучению оболочки той энергии, которая поступает в оболочку от звезды (вместе с энергией первоначального взрыва). В сущности решение этой задачи уже известно — оно дается формулой (3). В дальнейшем предполагается применить эту формулу для определения характеристик сверхновых звезд различных типов.

Аснинградский государственный университет

THEORETICAL LIGHT CURVES OF SUPERNOVAE

V. V. SOBOLEV

The transfer of radiation through envelope of increasing radius and decreasing optical thickness and without radiative equilibrium is considered. It is assumed that energy is injected into the envelope at initial explosion and then according to the given law from the star.

The luminosity of the envelope is determined by the method proposed by the author earlier [1]. Light curves obtained are in general agreement with the observed light curves. The envelope optical thickness at the maximum and the mass of the envelope are estimated. For type I supernovae corresponding values are $\tau_m = 15$ and $M = 0.4 M_{\odot}$.

ЛИТЕРАТУ9А

- 1. B. B. Coforce, Actoon. M., 31, 15, 1954.
- 2. В. В. Соболев, Курс теоретической встрофизики, Наука, М., 1975.
- 3. И. С. Шкловский, Сверхновые знезам, Наука, М., 1976.
- И. П. Пекооский, в со. «Явления нестационарности и звездная эполюция», гл. 7. Наука, М., 1974.
- 5. В. С. Имшенник, Д. К. Належин, Астрон. ж., 41, 829, 1964.
- n. E. K. Grasberg, V. S. Imshennik, D. K. Nadezhin, Astrophys. Space Sci., 10, 3, 1971.
- 7. Д. К. Надежин, В. П. Угробин, Препринт ИПМ.
- 8. И. С. Шкловский, Астрон. ж., 49, 913, 1972; 32, 911, 1975.
- 9. В. А. Амбаркумян, Теоретическая астрофизика, Гостехиздат, М., 1939.
- 10. R. P. Kirshner, J. B. Oke, M. V. Penston, L. Searle, Ap. J., 185, 303, 1973.
- 11. В В. Соболев. Астрофизика, 10, 185, 1974.

АКАДЕМИЯ НАУК АРМЯНСКОЙ ССР АСТРОФИЗИКА

TOM 15

АВГУСТ, 1979

выпуск з

УДК 523,841.1

О ЧАСТОТЕ ВСПЫШЕК СВЕРХНОВЫХ

Р. Г. МНАЦАКАНЯН, А. В. ОСКАНЯН, М. АОВАШ Поступила 4 апреля 1979

Предлагается новый метод обработки наблюдательного материала службы «верхновых, который позволяет определять среднюю частоту яспышек сверхновых двух типов раздельно. Показано, что средняя частота вспышек сверхновых 11 типа вдвое больше, чем у сверхновых 1 типа, а средняя частота вспышек сверхновых в галактиках типа. Se пропордиональна светимости галактики: родительницы.

Висление. Для понимания природы сверхновых звезд существенно знание частоты их вспышек в галактиках. Впервые Цвикки, а затем и другие исследователи организовали систематические поиски (патруль) этих объектов. К настоящему времени на многих обсерваториях накоплен богатый наблюдательный материал по службе сверхновых.

Были сделаны многочисленные попытки определить частоту вспышек сверхновых [1—7]. Однако полученные на основе этих данных значения средней частоты вспышек сверхновых, в зависимости от используемого материала и способа его обработки, точнее, от способа подсчета эффективного времени наблюдения, допольно сильию отличаются друг от друга. Для наглядности и таба. 1 приведены полученные разными авторами оценки среднего интерпала между днумя последовательными вспышками, выраженные в годах.

Последние работы в этой области [3, 7, 8] позволили установить, что частота вспывиек зависит как от морфологического типа галактики-родительницы, так и от ее светимости. Повышенной активностью обладают галактики Sb и Sc типов. Активность особенно велика у галактик Sc большой светимости, у которых в ряде случаев зарегистрированы две и более сверхновых [7]. Но до сих пор делались лишь отдельные попытки [3, 9] определить раздельно частоту вспышек для двух типов сверхновых, кото-

рые по своим физическим характеристикам сильно отличаются друг от друга.

	Таблица 1
T (Act)	Автор
612	Цвикин [1]
359	Цвикии [2]
105	Пеновений [3]
40	Катгерт и Оорт [4]
316	Барбон [5]
92	Розино и Туллио [0]
175	Таммани [7]

В настоящей работе предлагается новый метод обработки наблюдательного материала, который свободен от необходимости вычисления аффективного времени наблюдения, а следовательно, и всех неточностей, связаиных с ним, и позволяет определить среднюю частоту вспышек сверхновых I и II типов отдельно.

Частота вспышек сверхновых. Для упрощения решения задачи сделаем следующие допущения:

- 1) Вспышки сверхновых в любой галактике распределены во времени по закону Пуассона.
- 2) Средняя частота вспышек каждого типа сверхновых пропорциональна приблизительно абсолютной яркости галактики и не зависит от ее морфологического типа. Следовательно

$$v = v_s \cdot 10^{-0.4M_g}$$
, (1)

где $^{\text{v}}{}_{0}$ — средняя частота вспышек сверхновых в гипотетической галактике c $M_{\text{g}}=0$. В тех случаях, когда рассматривается частота вспышек в галактиках определенного морфологического типа (например, Sc), надо допускать независимость $^{\text{v}}{}_{0}$ от подтипа.

- Светимость всех сверхновых данного типа в максимуме блеска одинакова, а убывание блеска у них происходит по одному и тому же закону.
- Каждые два последовательных наблюдения данной площадки неба отличаются во времени по меньшей мере настолько, что вероятность обна-

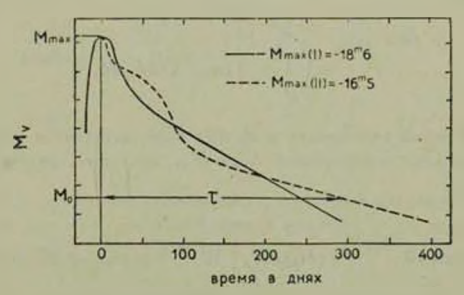
ружения на втором снимке сверхновой, уже имеющейся на первом снимке, мала по сравнению с единицей. Это предположение является как бы требованием, обуславливающим взаимную независимость результатов каждых двух наблюдений. Конечно, вто условие на практике часто не выполняется. Однако ему можно удовлетворить путем исключения некоторой части снимков.

Допустим, что в галактике с модулем расстояния Δ , находящейся на галактической широте b_i и имсющей абсолютную интегральную яркость M_s , вспыхнула сверхновая. Убывая, ес абсолютная яркость M_{max} через некоторое время т станет равной $M_0 = m_0 - 0.25$ cosec $b_i = \Delta_i$, где $m_0 = 0.25$ соsec $b_i = 0.25$ соsес $b_i = 0.25$ соsес $b_i = 0.25$ совес $b_i = 0.25$

Промежуток времени $^{\circ}$, за который блеск сверхновой уменьшится от M_{\max} до $M_{\rm c}$, назовем периодом наблюдаемости сверхновой. Период наблюдаемости является функцией модуля расстояния Δ .

$$z = \varphi \left(M_0 - \overline{M}_{max} \right) = \varphi \left(m_0 - 0.25 \operatorname{cosec} b_t - \Delta - \overline{M}_{max} \right). \tag{2}$$

До тех пор, пока абсолютная яркость сверхновой находится в интервале $M_*\!>\!M\!>\!M_{\rm max}$, любое наблюдение поэволит зарегистрировать эту вспышку.



Рис, 1. Усреднениме иривые блеска сверхновых 1 и II типов [13]. Каждому делённю оси ординат соответствует $1^{\rm ss}$.

Если сверхновые в этой галактике вспыхивают со средней частотой у, то математическое ожидание количества наблюдаемых сверхновых в момент одного наблюдения будет пропорционально этой частоте и периоду наблюдаемости :: Подставим значения у из (1) и = из (2):

$$p = v_0 \cdot 10^{-0.4M} \circ (m_0 - 0.25 \csc b_0 - \Delta - \overline{M}_{max}). \tag{3}$$

 K_{a} ждая фотографическая пластинка, покрывающая площадь s_{i} на галактической широте b_{i} , позволяет во время одного наблюдения следить не за одной, а за некоторым числом галактик.

Примем, что галактики распределены в пространстве равномерно. Тогда число галактик, имеющих яркость в интервале m_{θ} , $m_{\phi} + dm_{\phi}$ и модули расстояния Δ , $\Delta + d\Delta$, на единицу площади, выразится известной формулой [10]:

$$A(m_z, \Delta) dm_z d\Delta = c \cdot 10^{0.6 m_z} \cdot 1_{m_z} (\Delta) dm_z d\Delta,$$
 (4)

где $\binom{\Delta}{m}$ (Δ) есть функция распределения галактик в единичном интервале яркостей m_e , m_e+1 , по модулю расстояния Δ . Очевидно, что при фиксированном m_e функция $\binom{M}{m}$ (Δ) зависит только от M_e :

$$\theta_{m_g}(\Delta) = \psi(M_g). \tag{5}$$

Математическое ожидание сверхновой за одно наблюдение площадки s, тогла будет

$$P_{i} = s_{i} \int_{0}^{s_{i} m_{e}} p_{i} A(m_{e}, \Delta) dm_{e} d\Delta. \tag{6}$$

Подставив значения вероятности p из (3) и числа галактик из (4), а также произведи замену переменной Δ на M_{π} , получим следующее выражение:

$$P_{i} = s_{i}^{\nu_{0}} c \int_{M_{i}}^{1} 10^{-0.4 M_{g}} \cdot (M_{e}) dM_{e} \int_{0}^{m_{e}} 10^{0.6 m_{g}} \circ (m_{0} - 0.25 \csc b_{i} - m_{g} + M_{g} - \overline{M}_{max}) dm_{g},$$
(7)

где верхний предел интегрирования по m_{π} определяется из условия, что функция ϕ отлична от нуля для положительных значений ее аргумента

$$m_g = m_0 - 0.25 \operatorname{cosec} b_i + M_g - M_{max}$$

C другой стороны, ту же величину можно оценить и из наблюдений. Пусть в площадке s_{ij} за n_{ij} независимых наблюдений было обнаружено \mathcal{N}_{ℓ}

сверхновых. Поэтому за одно наблюдение следует ожидать N_t/n_t сверхновых. При увеличении числа наблюдений n_t математическое ожидание N_t/n_t , вычисленное из наблюдений, стремится к математическому ожиданию P_t , определяемому формулой (7).

Сумма выражения (7) по всем k патрулнруемым областям даст нам математическое ожидание сверхновых, для случая, когда все области нашей программы пронаблюдены по одному разу. Чтобы получить ожидлемое число сверхновых в одной галактике за одно наблюдение, следует разделить эту сумму на общее число галактик. Однако число галактик, охваченных данной программой, существенно отличается от средего числа галактик, теоретически приходящихся на ту же площадь по закону равномерного распределения галактик в пространстве. Чем ярче галактики, тем больше это расхождение.

Поэтому для определения среднего числа ожидаемых сверхновых в одной случайно выбранной галактике из числа охваченных всей программой галактик, следует сумму девой части выражения (7) разделить на n_g (набл.) — число галактик до определенной видимой величины, наблюдавшихся в данной программе (подсчитываются по картам отождествления [11, 14]), а правую часть — на n_g (теор.) — теоретически подсчитанное число галактик, приходящихся на ту же площедь

$$\frac{\sum_{i=1}^{L} \frac{N_{i}}{n_{i}}}{n_{\pi} (\text{Ha6A.})} = \frac{\sqrt{c} \sum_{i=1}^{L} s_{i}}{n_{\pi} (\text{teop.})} \int_{0}^{M_{i}} 10^{-0.4 M_{g}} ? (M_{g}) dM_{g}$$

$$\times \int_{0}^{m_{g}} 10^{0.6 m_{g}} ? (m_{g} - 0.25 \csc b_{i} - m_{g} + M_{g} - \overline{M}_{\text{max}}) dm_{g},$$
(8)

откуда находим искомую среднюю частоту вспышек сверхновых % в гипотетической галактике нулевой абсолютной яркости:

$$r_0 = \frac{n_r (\text{reop.})}{n_S (\text{maGa.})} \frac{\sum_{i=1}^k \frac{N_i}{n_i}}{Q} \text{ Act}^{-1}.$$
(9)

TAC

$$Q = c \sum_{i=1}^{k} * \int_{M_i}^{M_i} 10^{-0.4 \, M_{\pi_{\pi_i}}} (M_{\pi}) \, dM_{\pi_i} \int_{0}^{m_{\pi_i}} 10^{0.6 m_{\pi_i}} \, \varphi (m_0 - 0.25 \operatorname{cosec} b_i - m_{\pi_i} - M_{\pi_i} - M_{m_{\pi_i}}) \, dm_{\pi_i}.$$

Сверхновые по своим особенностям и характеру убывания блеска делятся на доа типа. Поэтому подынтегральные функции и другие величины, входящие в выражение (9), следует строить и подсчитывать отдельно для двух типов сверхновых.

Функции $M_{\pi}(M_{\pi})$ и $P_{2}(M_{\pi})$ — распределения галактик по абсолютным яркостям в единичном интервале видимых величин — нами были построены на основе данных об абсолютных величинах галактик, видимый интегральный блеск которых заключен между $11^{m}1-12^{m}0$ [12].

Функции $(M_0-M_{\rm max}(l))$ и $=(M_0-M_{\rm max}(ll))$ были построены по усредненным кривым блеска, взятым из работы [13].

Подставляя результаты численного интегрирования интегралов и значения постоянных [14] в выражение (9) (постоянная Хаббла принята равной 100 км/с Мпс), для средней частоты вспышек «верхновых 1 и 11 типов получим следующие выражения:

$$v_0(l) = \frac{n_g (\text{Teop.})}{n_g (\text{Ha6A.})} \frac{10^{3.33}}{10^{0.6m_s}} \frac{\sum_{i=1}^k \frac{N_i}{n_i} (l)}{\sum_{i=1}^k s_i \cdot 10^{-0.15 \cos c b_i}} \text{ AeT}^{-1},$$

$$v_0(ll) = \frac{n_g (\text{Teop)}}{n_g (\text{Ha6A.})} \frac{10^{0.83}}{10^{0.5 m_g}} \frac{\sum_{i=1}^k \frac{N_i}{n_i} (ll)}{\sum_{i=1}^k s_i 10^{-0.15 \cos c b_i}} \text{ AeT}^{-1}.$$
(10)

Входящие в выражение (10) величины n_t представляют собой числа независимых наблюдений. При этом независимыми считаются два последовательных наблюдения, если промежутки времени между ними t больше среднего периода наблюдаемости сверхновых $\frac{1}{2}$ [14].

Для определения числовых значений частоты вспышек нами был использован наблюдательный материал, полученный в период с января 1964 г. по апрель 1973 г. на телескопе системы Шмидта Будапештской обсерватории. За этот период было получено 3100 снимков 125 областей неба, покрывающих вместе площадь в 1830 кв. градусов. Основная часть снимков получена на пластинках Кобак 103аО без фильтра с экспозицией 15 минут. Предельная звездная величина равна 20°.

На основе втого материала было обнаружено 13 сверхновых, из коих в окончательных подсчетах были использованы только 3 самые яркие сверхновые, сведения о которых приведены в табл. 2. При вычислении чиссел последнего столбца втой таблицы использовались численные значения т, полученные во второй части настоящей работы [14].

			Таб.	хица 2
No	СН	Тип СН	m	M _J
1	1967e	1	12 ^m 7	26
2	1968/	1	13.5	11
3	1970 _R	11	11.0	35

Это обусловлено тем, что уверенные данные можно получить лишь при использовании ярких сверхновых, для которых m < 14 [14].

Подставляя в выражение (10) все величины, подсчитанные для случив $m_0=14.0$, находим числовые значения v_0 (I) и v_0 (II):

$$v_0(i) = 1.8 \cdot 10^{-10} \text{ Agt}^{-1}$$
 $v_0(ii) = 3.6 \cdot 10^{-10} \text{ Agt}^{-1}$

Следовательно, частота вспышек сверхновых II типа вдвое больше частоты вспышек сверхновых I типа.

Подставив значения $v_0(1)$ и $v_0(11)$ в формулу (1), окончательно находим зависимость частоты вспышек сверхновых от яркости галактики-родительницы:

$$v(l) = 1.8 \cdot 10^{-10} \cdot 10^{-0.4M} \text{ aet}^{-1},$$

$$v(ll) = 3.6 \cdot 10^{-11} \cdot 10^{-0.4M} \text{ aet}^{-1}.$$

В табл. З приведены значения средних промежутков времени между двумя вспышками сверхновых $T=1/\nu$ в годах для галактик различной абсолютной яркости.

		Тиблица З							
	M _e	- 15 ^m	-16 ^m	-17°	-18 ^m	-19 ^m	-20 ^m	-21 ^m	- 22 ^m
~	T (I) T (II)	5600 2800	2200 1100	880 440	350 180	140 70	55 30	20 10	10
						·			

Обсуждение результатов. Полученные нами значения средних частот вспышек сверхновых для самых ярких галактик неплохо согласуются с данными Катгерта и Оорта [4] и Тамманна [7].

Однако вычисленные по ним математические ожидания сверхновых в ближайших галактиках М31, М33, NGC 6822, в нашей Галактике и других членах Местной группы, а также в ярчайших галактиках типа Sc, за которыми ведутся систематические наблюдения на Паломарской обсерваторни [14—16], оказываются завышенными.

С другой стороны, ожидаемые числа сверхновых в ярчайших галактиках Scl, видных анфас [7], в которых изблюдались 2 и более сверхновых, в среднем, оказались вдвое меньше наблюденного числа сверховых [14].

То, что в одном случае эжидаемые числа сверхновых получаются больше наблюденных, а в другом— меньше, позволяет надеяться, что полученные нами средние частоты вспышек, котя и определены с большими относительными ошибками, не очень отличаются от истинных средних значений частоты вспышек.

Если же рассмотреть группу близких ($\Lambda=31.0$) галактик типа Sc, для которых ван ден Бергом были определены классы светимостей [17], то картина изменитсл. В табл. 4 приводятся данные об этих галактиках: средние абсолютике яркости галактик данного подкласса, число галактик в каждом подклассе и ссответствующее ему эквивалентное число, показывающее, скольким галактикам с яркостью $M=20^{\circ}0$ равна суммариая светимость данного подкласса, число сверхновых, наблюденных в этих галактиках за 25 лет (с 1946 г. по 1970 г. [18]), и число сверхновых, ожидаемых в них за тот же период, средние числа сверхновых, вспыхнувших в одной галактике, и отношение числа наблюденных к числу ожидаемых сверхновых,

Таблица 4

Тип	M	N _z	N _g (20)	СНикба	CH-stat.	CH _{HRG4} .	(_H N _g (20)	СНиаба
Se I	- 20 ^m 4	15	22	11	29	0.73	0.50	0.37
Se 1-11	19_6	5	3	2	4	0.40	0.70	0.52
Se II	-19.4	24	14	4	18	0.17	0.28	0.21
Se II - III	-19.0	11	4	2	5	0.18	0.50	0.37
Se III	-18.5	26	6	3	8	0.12	0.50	0.37
Se III – IV	-18.3	7	2	3	3	0.43	1.50	1.11
Sc IV, SIV	-17.4	24	2	2	3	0.08	1.00	0.74
Beero		112	53	28	70			
Среднее						0.24	0.51	0.39

Как видно на этой таблицы, наблюденные и ожидаемые числа сверхновых для этих классов неплохо согласуются. Удельная средняя частота вспышек сверхновых (8 столбец) не зависит от класса светимости. Это позволяет думать, что сделанное в начале работы допущение о пропорциональности частоты вспышек сверхновых абсолютной яркости галактики-родительницы в случае галактик типа Sc близко к действительности.

Предложенный метод позволяет определить средние частоты вспышех сверхновых как в галактиках любого морфологического типа [14], так и для двух типов сверхновых раздельно.

Для уточнения абсолютного значения средней частоты вспышек сверхновых требуется сделать пересчет с более полной статистикой (например, наблюдения сперхновых на Паломарской обсерватории, где за период с 1959 г. по 1975 г. было открыто 187 сверхновых [19]).

Авторы выражают благодзрность дирекции Будапештской астрономической обсерватории за предоставленную им возможность использовать наблюдательный материал службы сверхновых, полученный, большей частью, одним из авторов (М. Л.), проф. Л. В. Мирзояну и М. А. Миацаканяну за ценные дискуссии, а Н. С. Варданян за помощь в вычислениях.

Авторы выражают глубокую благодарность академику В. А. Амбарцумяну за помощь в постановке задачи и цеиные совсты.

Бюраканская астрофизическая обсерватория
Буданештская обсерватория им. Конколи
Венгерской АН

ON THE FREQUENCY OF SUPERNOVAE

R. G. MNATSAKANIAN, A. V. OSKANIAN, M. LOVASH

A new method of processing the observational data of the service of supernovae is suggested. It permits to find the mean frequency for two types of supernovae separately.

It was shown that the supernovae II are two times more frequent than the supernovae I and the mean frequency of supernovae in Sc galaxies is proportional to the luminosity of the parent galaxy.

ЛИТЕРАТУРА

- 1. F. Zwicky, Ap. J., 88, 529, 1938.
- 2 F. Zwicky, Ap. J., 96, 28, 1942.
- 3. Ю П. Псковский, Астрон. ж., 38, 656, 1961.
- 4. P. Katgert, J. H. Oort Bull. Ast. Inst. Notherland, 19, 239, 1967.
- 5. R. Barbon, A J., 73, 1016, 1968.
- L. Rosino, G. D. Tullio, Supernovae and Supernova Remnants, Dordrecht-Holland/Boston-USA, 1974, p. 19.
- 7. G. A. Tammann, Supernovae and Supernova Remnants, Dordrecht-Holland Boston-USA, 1974, p. 155.
- 8. J. Maza, S. van den Bergh, Ap. J., 204, 519, 1976.

- 9. W. Baade, Carnegie Inst. Washington Year Book, 40, 23, 1941.
- 10. П. Г. Куликовский, Звездная астрономия, Наука, М., 1978, стр. 113.
- 11. F. Zwicky, E. Herzog, P. Wild, Catalogue of Galaxies and Clusters of Galaxies, I-VI, 1961-1966.
- 12. G. de Vaucouleurs, A. de Vaucouleurs, RCBG, Texas, 1964.
- 13. G. A. Tammann, ESO Scientific Preprint, 4, 1977.
- 14. Р. Г. Мнацаканян, А. В. Осканян, М. Ловаш, Сообщ. Бюраканской обс. (в печати)
- 15. C. T. Kowal, W. L. W. Sargent, J. Huchra, P.A.S.P., 87, 401, 1975.
- 16. R. Barbon, F. Ciatti, L. Rosino, Astron. Astrophys., 25, 241, 1973.
- 17. S. van den Bergh, Pub. D. D. O., 11, 6, 1960.
- 18. C. T. Kowal, W. L. W. Sargent, A. J., 76, 756, 1971.
- 19. C. T. Kowal, J. Huchra, W. L. W. Sargent, P.A.S.P., 88, 521, 1976.

академия наук армянской сср АСТРОФИЗИКА

TOM 15

АВГУСТ, 1979

выпуск з

У.1K 523,802

СИНХРОННЫЕ UBV-НАБЛЮДЕНИЯ ВСПЫШЕК UV КИТА. Т

Н. Н. КПАЛЧКОВ, Н. Д. МЕЛІКЯМ, А. В. МИРЗОЯН, В. С. ШЕВЧЕНКО Поступнав 25 апреля 1979

Представлены результаты синхронных UBV-паблюдений велышен UV Кита па трех телескопах однопременно, выполненных и августе 1978 г., на баге Майданакской экспедиции Ташиентского астрономического института. Точность синхронизации паблюдений составляла 0.001 с. Излучение звезды ланисывалось черта каждые 2 с. За 28 часов эффективного премени паблюдений было зарегистрировано 16 вспышек, 7 из них во всех трех областях. Приведены кривые блеска зарегистрированных велышек (рис. 1—4), а также основные параметры этих веньшек; время возгорания, общая продолжительность, амплитуды 2U, 2B и 2V и показатели циста веньшечного- излучения U-B и B-V (табл. 1—3).

С целью изучения структуры кривых блеска эвездных вспышек и изменений их собственных цветов во время возгорания и угасания вспышки у вспыхивающих звезд, нами были начаты синхронные наблюдения в нескольких областях спектра прототипа вспыхивающих звезд UV Кига, обладающей высокой вспышечной активностью. Настоящая статья посвящена результатам первых наблюдений этой звезды.

Наблюдения проводились одновременно на трех телескопах на базе высокогорной Майданакской экспедиции Ташкентского астрономического института Академии наук Узбекской ССР, с 1 по 14 августа 1978 г.

В лучах U и В наблюдения были выполнены на 60-см цейссовских телескопах, а в лучах V — на 48-см телескопе АЗТ-14. Эффективное время наблюдений составляет 28 часов. За это время зарегистрировано 16 вспышек (12—в U-лучах, 12—в В-лучах и 12—в V-лучах), причем 7 из них были зарегистрированы во всех трех U, B, V областях спектра.

В качестве звезды сравнения использовалась звезда, находящаяся $\approx 7'$ от UV Кита (звезда — «d» [1]). Для обеспечения синхронности

наблюдений были использованы три комплекта аппаратуры, работающих синхронно с точостью до 0.001 с. Экспозиция каждого намерения составляла 1.6 с и интервал между акспозициями 0.4 с, соответственно. Методика наблюдений и использованные приемники кратко описаны в работе Н. Килячкова и В. С. Шевченко [2]. В табл. 1 представлены данные атих наблюдений.

1 орихдот АТИЯ VU RNHЭДОКАВН-VBU ЭНЯЭЭРИЧТЯЭКСОТОФ

Дата (август, 1978)	Время патрулиро- вания (UT)	Количество водышея ведышея				
1	21 h00 m - 22 h40 m	0				
2	21 00 -22 30	2				
3	21 00 -22 30	0				
4	21 00 -23 10	5				
5	21 00 -23 30	1				
6	21 00 -23 00	0				
7	21 00 -23 20	3				
8	21 15 -23 00	0				
9	20 50 23 00	2				
10	21 00 -22 30	1				
11	21 05 -23 05	0				
12	21 00 -23 30	1				
13	21 00 23 30	1				
14	21 00 -23 00	0				

Среднеквадратичные ошибки определения блеска звезды в минимуме блеска в полосах U, B, V соответственно равны:

$$\sigma_{\rm U} = \pm 0^{\rm m} 25$$
, $\sigma_{\rm B} = \pm 0^{\rm m} 07$, $\sigma_{\rm V} = \pm 0^{\rm m} 04$.

Синхронные наблюдения в нескольких областях спектра с помощью разных телескопов точно соответствуют одному и тому же моменту времени. Повтому они позволяют сопоставить реальные изменения цветов излучения звезды по мере развития вспышки. С другой стороны, ати наблюдения могут быть использованы для взаимного контроля данных, полученных в разных областях спектра.

Данные о всех зарегистрированных во время первых наблюдений вспышках представлены в табл. 2. где в соответствующих столбцах приведены: порядковый номер, дата вспышки, начало по UT, время возгорания, полная продолжительность и амплитуды вспышек в звездных величинах. Эти данные показывают, что амплитуды вспышек, как и следовало

ожидать, резко возрастают в сторону коротких воли, а самые слабые из зарегистрированных нами вспышек в цвете U имеют амплитуду, равную около 1°5 (вспышки № 1 и 2). Меньшие изменения блеска нами не были приняты за отдельные вспышки.

Рассмотрение амплитуд в разных областях спектра свидетельствует также о том, что отношение амплитуд в разных лучах меняется в широких предслах. Например, значение отношения $\Delta U/\Delta B$ меняется в интервале от 1.5 до 4, а отношение $\Delta B/\Delta V$ — от 1.3 до 9.5.

ПАРАМЕТРЫ ВСПЫШЕК UV КИТА

Таблица 2

No	Дата испыш- ин (ангуст. 1978)	Начало пеньшки	Вреня возгорания (с)	Полная про- должитель- ность (c)	70	7B	77.
1	2	22 ^h 12 ^m 30°	12	20	1.53	0.39	0.10
2	2	12 56	4	16	1_42	0.36	0.06
3	4	21 39 20	6	20	2.62	0.95	U.39
-4	4	43 15	22	110	2.70		0.20
5	4	46 50	8	21	1.80	_	_
6	4	22 41 08	4	26	1.90	_	-
7	4	43 10	8	50	2.14	0.58	0 17
8	5	23 13 40	6	20	3.50	_	0,40
9	7	21 22 22	8	60	_	1.50	0.25
10	7	22 25 50	18	<180	_	1.40	
11	7	28 50	>20	>50	-	1.10	-
12	9	20 54 30	40	>110	3.72	1.93	0.56
13	9	56 50	102	3700	6.50	>4.30	3.20
14	10	22 13 36	78	440	_	2.60	0.70
15	12	23 13 50	10	280	3.55	2.02	0.44
16	13	21 28 45	30	150	2.92	1.63	0.37

На рис. 1-4 приводятся кривые блеска для всех зарегистрированных вспышек, где по оси абсцисс отложено мировое время UT, а по оси ординат $(I_f+I_c)I_d$, где I_f — интенсивность вспышечного излучения, а I_0 — нормального излучения звезды. Как видно из этих рисунков, кривые блеска зарегистрированных вспышек сильно отличаются. У них различны не только формы, но и времена возгорания и полные продолжительности (табл. 2).

Данные, приведенные в табл. 2, свидетельствуют, что как времена возгорания, так и полные продолжительности зарегистрированных вспышек изменяются в больших пределах.

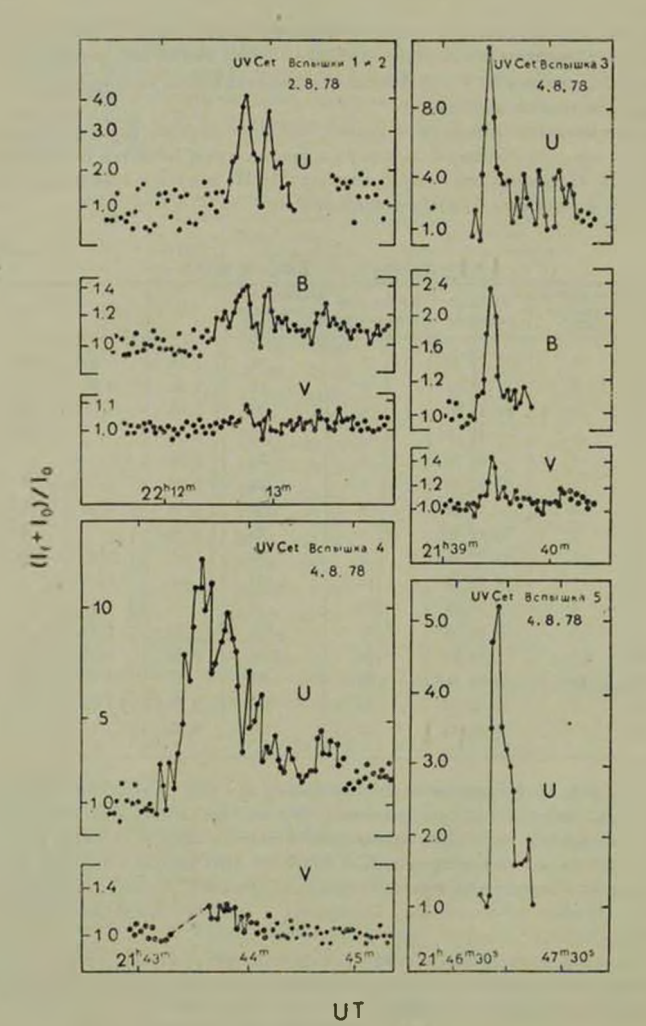


Рис. 1. Кривые блеска вспышек UV Кита 1-5.

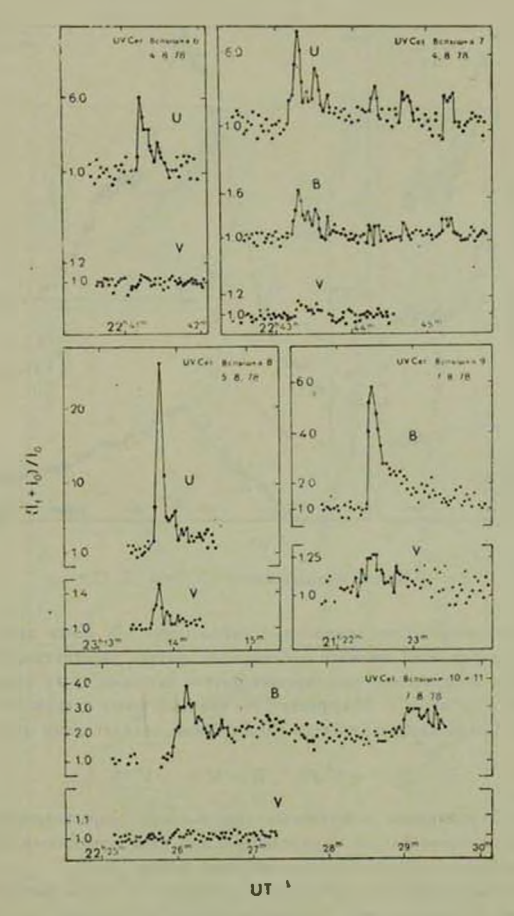


Рис. 2. Кривые блеска вспышех UV Кита 6-11.

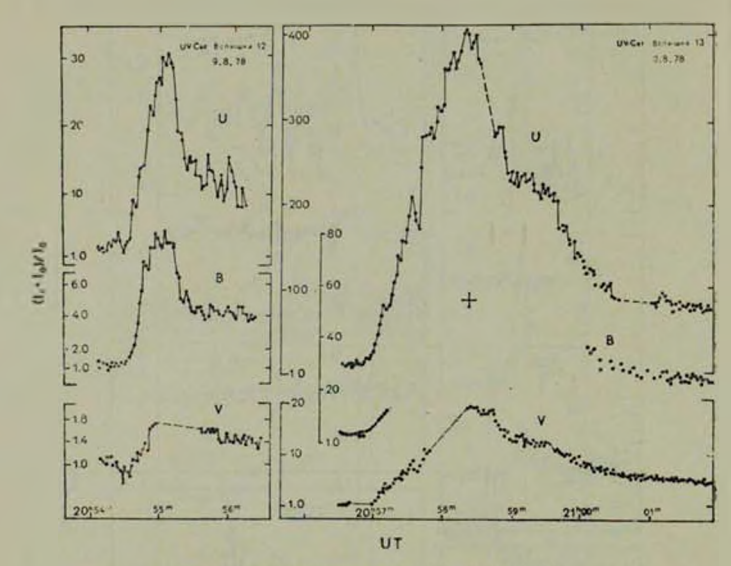


Рис. 3. Кривые блеска вспышек UV Кита 12, 13.

Представленные выше синхронные наблюдения UV Кита дают определенное представление также о собственных цветах зарегистрированных вспышек. При определении собственных цветов вспышек было принято, в соответствии с работой Т. Моффетта [3], что излучение звезды UV Кита в минимуме блеска характеризуется следующими показателями цвета:

$$U - B = + 1^m 39$$
, $B - V = + 1^m 85$.

В табл. 3 приведены собственные цвета всех зарегистрированных вспышек в максимуме блеска, определенные при этом допущении. Все они находятся в пределах результатов известных работ [3, 4].

Результаты синхронных наблюдений вспышек UV Кита представляют определенный интерес с точки зрения хорошего разрешения во времени кривых блеска вспышек, полученных синхронно в различных областях спектра. Вместе с тем они позволяют следить за ходом изменения собственных цветов «вспышечного» излучения в разные периоды вспышек.

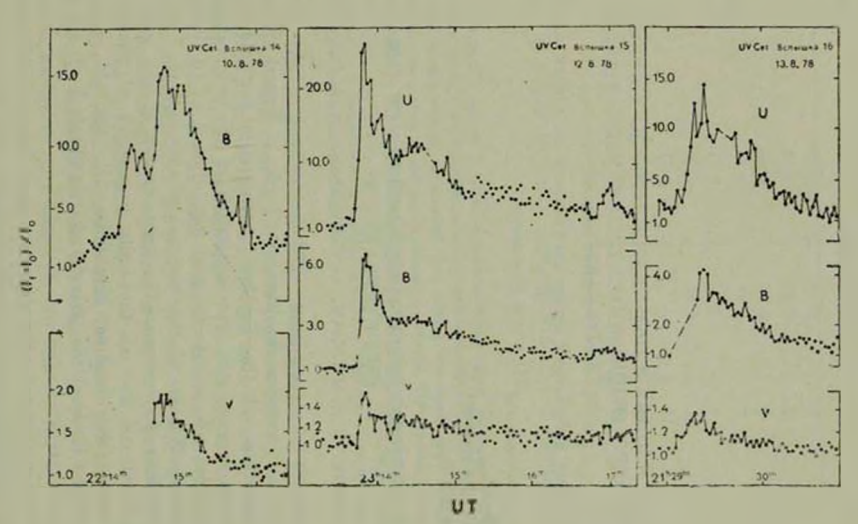


Рис. 4. Кривые блеска вспышек UV Кита 14-16.

Табацца З СОБСТВЕННЫЕ ЦВЕТА ВСПЫШЕК UV КИТА В МАКСИМУМЕ БЛЕСКА

No.	U-B	B – V
1	- 0 ^m 72	+0"30
2	-0.70	-0.13
3	-0.75	+0.62
7	-0.95	0.35
9	_	-0.75
12	-0.55	-0.26
14		-0.75
15	0.27	-0.70
16	-0.09	-0.42
16	-0.09	-0.42

Анализ этих наблюдений будет опубликован по второй части этой работы.

Ташкентский астрономический институт Бюрананская астрофилическая обсерватория

SYNCHRONOUS UBV-OBSERVATIONS OF THE UV CETI FLARES. I

N. N. KILJACHKOV, N. D. MELIKIAN, L. V. MIRZOYAN, V. S. SHEVCHENKO

The results of synchronous UBV-observations of the UV Ceti flares with three telescopes simultaneously made in August 1978 in the Maydanak expedition of the Tashkent Astronomical Institute are presented. The accuracy of the synchronisation of the observations was 0.001s. The light was registered with resolution 2 s. 16 flares were registered during 28 hours of effective time of observations, 7 of which in all three regions of spectrum. The light curves of the registered flares (Fig. 1-4), as well as the basic parameters of these flares: increasing time, total duration, amplitudes ΔU , ΔB , ΔV and colour indices U-B and B-V of the "flare" radiation (Table 1-3) are given.

ЛИТЕРАТУРА

^{1.} П. Г. Куликовский, Справочник любителя астрономии, М., 1971 ,стр. 540.

^{2.} Н. Н. Килячков, В. С. Шевченко, Письма АЖ, 2, 494, 1976.

^{3.} T. J. Moffett, Ap J. Supp. ser., 29, 1, 1974.

^{4.} W. E. Kunkel, Ap. J., 161, 503, 1970.

АКАДЕМИЯ НАУК АРМЯНСКОЙ ССР АСТРОФИЗИКА

TOM 15

АВГУСТ, 1979

выпуск з

УДК 523.823.5

К ВОПРОСУ ОБ ИНТЕРПРЕТАЦИИ ВСПЫШЕК КРАСНЫХ КАРЛИКОВЫХ ЗВЕЗД С ПОМОЩЬЮ ОБРАТНОГО КОМПТОН-ЭФФЕКТА

Г. А. АРУТЮНЯН, Р. А. КРИКОРНАН, А. Г. НИКОГОСЯН Поступила 18 апреля 1979

Обсуждается вопрос о возможности интерпретации излучения всившек красных каранковых звезд с помощью обратиого комптои-иффекта. С втой целью дается уточнение ранее используемых выражений для закона преобразонания частот при влементарном акте расссания и дифференцияльного сечения. Получаемые результаты подчеркивают важность учета направлений при рассмотрении фотон-электронного взаимодей ствия, Разбор различных физических моделей ивления всимшки показывает, что при интерпретации наблюдательных данных механизм обратного комптоновского рассеяния встречается с большими трудностями.

Как известно, в 1954 г. В. А. Амбаричмяном [1] была выдвинута идея о нетепловой природе излучения вспышек звезд типа UV Кита. В качестве одной из вероятных конкретизаций данной иден приводился, так называемый, обратный комптон-эффект (см., например, [1-3]). В применешии к пспышкам указанный механизм сводится к рассеянию тепловых фотонов, выходящих из фотосферы звезды, на релятивистских электронах, сопровеждающемуся переходом фотонов в коротковолновую область спектоа. Как выяснилось, допущение о том, что рассеяние происходит на влектронах не очень высоких анергий (на «быстрых» влектронах), позволяет в общих чертах объяснить различные стороны явления вспышек. Тем не менее, наметился круг вопросов, относящихся к задаче о переносе дучистой внергия через среду релятивистских влектронов и не получивших должного внимания в первоначальных работах, посвященных теоретической интерпретации спектральных особенностей вспышек. К указанному кругу относится, в частности, вопрос о важности учета направлений при рассмотрении фотон-электронных взаимодействий, на что указывается в

работе [4]. Дело в том, что в зависимости от геометрии фотон-электронного взаимодействия элементарный акт рассеяния может привести также и к увеличению длины волны первоначального фотона. Если же энергия передается фотону, то доля приобретенной энергии в зависимости от случая может меняться в широких пределах. В атом смысле нуждается в уточнении и выражение для дифференциального сечения, характеризующего взаимодействие фотонов с релятивистскими электронами.

Приведенные замечания диктуют необходимость четкого определения пространственного распределения релятивистских электронов и их скоростей при выборе той или иной теоретической модели вспышки. Следует полагать, что при правильной постановке задачи полученные результаты, касающиеся ожидаемых наблюдательных характеристик вспышек, могут существенным образом отличаться от даиных, полученных в первых работах в этом направлении. Поэтому вопрос о возможности объяснения излучения вспышек краскых карликовых звезд с помощью обратного комптонэффекта нуждается и более тщательном исследовании.

В первой части настоящей работы мы займемся выводом основных формул, описывающих характер взаимодействия фотонов с релятивистскими электронами. Вторая часть работы посвящается разбору различных физических моделей явления вспышки, выявлению особенностей полученных теоретических спектров и их сравнению с наблюдательными данными.

1. Основные формулы и обсуждение комптоновского рассеяния. Наше обсуждение мы начнем с обычного эффекта Комптона, состоящего в рассеянии фотона свободным электроном. Без ограничения общности электрон можно считать покоящимся. Тогда, как известно, частоты падающего и рассеянного квантов и и связаны между собой формулой Комптона:

$$v_{j}' = v_{i} \left[1 + \frac{hv_{i}'}{mc^{2}} \left(1 - \cos \theta' \right) \right]^{-1},$$
 (1)

rде m — масса покоя электрона; θ' — угол рассеяния в системе отсчета, связанной с электроном (величины, относящиеся к указанной системе, здесь и далее снабжаются штрихами).

Обратимся к случаю релятивистских электронов и выведем формулу, заменяющую соотношение (1) в системе отсчета, связанной с наблюдателем. Обозначим через $\frac{\partial}{\partial t}(\frac{\partial}{\partial t})$ угол, заключенный между направлением падающего (рассеянного) фотона и направлением движения электронов. Чтобы осуществить переход к системе наблюдателя, воспользуемся формулами, дающими соответственно аберрацию света и эффект Доплера

$$\cos \phi = \frac{\cos x' + \beta}{1 + 2\cos x'}; \quad v = v'\pi (1 + 3\cos x'), \tag{2}$$

где $\beta = \| \vec{p} \| / E$, $\gamma = 1/1 - \vec{p}^2$, \vec{p} и E суть импульс и внергия электролов.

Прежде чем написать окончательную формулу, остановимся на одном промежуточном результате, полученном Фелтеном и Морисоном [5] и приводимом в работах [2, 3]:

$$v_{j} = \gamma^{2}v_{j} - \frac{(1 - \frac{9}{2}\cos\phi_{j})(1 - \frac{9}{2}\cos\phi_{j})}{1 + \frac{\frac{9}{2}h^{2}v_{j}}{mc^{2}}(1 - \frac{9}{2}\cos\phi_{j})(1 - \cos\theta_{j})}.$$
 (3)

Если вместе с анторами цитированных выше работ допустить, что $\gamma h^{\alpha}_{i} = mc^{\alpha} \simeq 0.5$ МаВ, а также $\cos \phi_{i} \approx 0$, $\cos \phi_{j} \approx 0$, получаем

$$v_j = \gamma^2 v_i, \tag{4}$$

Приведенная формула показывает, что независимо от направлении энергия рассеянного фотона в траз превосходит энергию падающего фотона. Именно закон преобразования частот (4) нашел применение в работах [2, 3] при интерпретации излучения вспышек. Там же утверждается, что закон (4) справедлив при лобовой встрече фотона с электроном, а также в случае изотропности излучения, или изотропного распределения электронов по направлениям. К этому утверждению мы вернемся несколько позже, а пока заметим, что формула (3) содержит величины, относящиеся к различным системам отсчета, и не рассчитана на определенного наблюдателя, поэтому применение (3) без ее перевода к одной системе отсчета, а следовательно и формулы (4), лишено физического смысла (см. также [6]).

Для установления закона преобразования частот следует в соотношении (3) завершить переход к системе отсчета, связанной с наблюдателем. Пользуясь первым из соотношений (2), получаем

$$v_j = v_{i^{-1}i} \left[\tau_{ij} + \frac{hv_i}{E} (1 - \cos \theta) \right]^{-1},$$
 (5)

где $\gamma = 1 - 3\cos \phi$, а также учтено, что

$$\gamma \cdot (1 - \cos \theta') \, \eta_i \, \eta_j = 1 - \cos \theta. \tag{6}$$

Во всех случаях, представляющих для нас интерес, $hv_i \ll Evf$ поэтому окончательно имеем

$$v_j = v_i v_i / v_j \tag{7}$$

Укажем здесь на некоторые следствия из формулы (7), наглядно излюстрирующие важность учета направлений при фотон-влектронном взаимодействии. В первую очередь следует заметить, что вффект, заключающийся в трансформации энергии рассеивающегося фотона в область больших энергий, имеет место лишь, если $\psi_f < \psi_r$. При $\psi_f = \psi_r$ формула (7) дает $\psi_f = \psi_r$. Отсюда, в частности, можно заключить, что если источник релятивистских электронов локализован вдоль луча зрения на сравнительно большом расстоянии от звезды, то независимо от поля скоростей в образуемом облаке спектральное распределение проходящего излучения не претерпевает никаких изменений. Аналогичная картина наблюдается, когда плоскопараллельный слой освещается извне параллельными лучами, причем направления падения и наблюдения совпадают.

Если выполняется обратное неравенство $\Psi_f > \Psi_o$, то конечный эффект оказывается отрицательным, иначе говоря, в результате взаимодействия с электронами энергия фотонов уменьшается. Заметим, что при $\Psi_f = 0$ и $\Psi_f \neq 0$ указанное неравенство выполняется всегда и переработка энергий фотонов сопровождается усилением длинноволновой области спектра. Из сказанного нетрудно увидеть, что релятивистские электроны, удаляющиеся от звезды в радиальных направлениях, на сравнительно больших расстояниях должны вызвать «покраснение» спектра звезды. Даже при относительно небольших расстояниях от звезды указанные электроны в общей сложности приводят к такому же эффекту.

Для рассмотрения случая лобовой встречи в соотношении (7) следует положить $\frac{1}{2} \epsilon = \pi$. Тогда приходим к существенно отличающемуся от (4) результату

$$v_j = v_i (1 - \beta)/(1 - \beta \cos \phi_j), \tag{8}$$

то есть γ_i и меняется в широких пределах с изменением γ_j . В частности, максимальный эффект достигается при $\gamma_j=0$, когда $\gamma_i=1$ ($1+\beta$)/($1-\beta$), или поскольку $\beta-1$ и $1-\beta-1$ 21, то $\gamma_j\sim 4\gamma^2\gamma_i$. Поэтому, хотя действительно в результате лобовой встречи электронов, движущихся наистречу излучению, выходящему из фотосферы, эффект переработки внергии фотонов в коротковолновую область спектра может стать максимальным, однако это переработанное излучение направлено к авезде ($\gamma_i=0$).

Таким образом, в отличие от формулы (4), предсказывающей усиление коротковолновой области спектра независимо от геометрии фотон-электронного взаимодействия, при истинном законе преобразования частот (7) изменение внергии фотонов в зависимости от направлений может происходить различим образом. Из вида соотношения (7) можно также заключить, что им при изотропности излучения, ни при изотропном распределении электронов по направлениям, последнее не переходит в формулу (4).

Переходя к выводу выражения для дифференциального сечения в случае обратного комптон-аффекта, обратимся к формуле Клейна—Нишины, которой задается дифференциальное сечение в влемент телесного угла $d2_f$ при обычном комптоновском рассеянии. Если падающее излучение неполяризовано, то имеет место (см., например, [7, 8]):

$$ds' = \frac{1}{2} r_0^2 \frac{v_f^2}{v_f^2} \left\{ \frac{v_f}{v_f} + \frac{v_f}{v_f} - \sin^2 \theta' \right\} dQ_f, \tag{9}$$

 $r_{A}e r_{0} = e^{2}/mc^{2}$ - классический радиус электрона.

Преобразуя $\sin^2\theta'$, входящее в (9), согласно равенству $\sin^2\theta' = 2(1-\cos\theta') - (1-\cos\theta')^2$ и принимая во внимание соотношения (2), (5), (6), а также $d^{(2)}_{ij} = d^{(2)}_{ij}/i^2\eta_{ij}^2$ для дифференциального сечения в системе отсчета, связанной с наблюдателем, находим [4]:

$$d\sigma = \frac{1}{2} r_0^2 \frac{v_f^2}{v_i^2 v_{il}^2 \gamma_i^2} \left\{ \frac{v_f \eta_i}{v_f \eta_f} + \frac{v_f \eta_f}{v_i \eta_i} + \frac{1}{v_f \eta_f} + \left(\frac{mc^2}{\gamma h v_f \eta_f} - \frac{mc^2}{\gamma h v_f \eta_f} \right)^2 + 2 \left(\frac{mc^2}{\gamma h v_i \eta_i} - \frac{mc^2}{\gamma h v_f \eta_f} \right) \right\} d\Omega_f.$$

$$(10)$$

Заметим, что выражение для сечения, описываемое формулой (10), рассчитано для количества вступающих во взаимодействие фотонов. Этот факт следует принять во внимание, если дается энергия падающего излучения.

Полученные в настоящем разделе формулы, описывающие элементарный акт рассеяния, ниже будут применяться при рассмотрении моделей вспышки.

- 2. Разбор различных физических моделей. Обсуждение теоретических моделей, привлекаемых при объяснении излучения вспышек красных карликовых звезд механизмом обратного комптон-эффекта, начнем со случая плоскопараллельного слоя, рассмотренного одним из авторов настоящей статьи в работе [4].
- а) Плоскопаре плельная среда. В указанной работе принималось, что влектроны движутся в направлении, перпендикулярном к границе среды. Рассматривались оба возможных случая, когда электроны удаляются от звезды и когда движение происходит в обратном направлении, причем полагалось, что излучение падает в некотором телесном угле. Выводы, касающиеся действия такого слоя релятивистских электронов, сводятся к следующему. Если под понимать поток теплового излучения, выходящего из фотосферы звезды, а через F

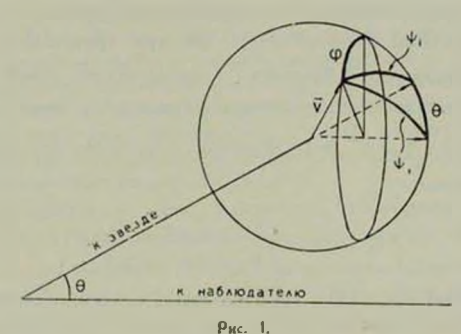
среде излучения, то для F'_{*}/F_{*} при значениях параметров т $\sim 10^{-1}$, $\gamma^{2}=10$ (последнее значение наиболее часто приписывается "быстрым" электронам [2, 3]), $\iota=3500$ А, 2500 Т ~ 5000 Сыло получено 14 F'_{*}/F_{*} , $\sim 3.3 \cdot 10^{-2}$, если электроны удаляются от звезды и F'_{*}/F_{*} , $\sim 8 \cdot 10^{-3}$ но втором случае. Как видим, эффект небольшой, в то время как принятое значение т при геометрической толщине слоя порядка 16^{10} см приводит к весьма большому значению для концентрации релятивистских электронов ($n_{*}\sim 10^{14}$).

- 6) Электроны, удаляющиеся от звезды в радиальных направлениях. В предыдущем разделе было установлено, что движение электронов от звезды в раднальных направлениях уже на сравнительно небольших расстеяниях вызывает переход энергии фотонов в область более длинных полн, поэтому с точки эрения интерпретации явления велышек указанная модель не предстапляет интерсе. Даниая модель может быть отвергнута, исходя также из других соображений, в частности, из-за больших нонизационных потерь, испытываемых электронами при выходе из фотосферы.
- в) Локальные источники релятивистских влектронов. Прежде чем обратиться к другим физическим моделям, остановимся на одной вспомогательной задаче, представляющей теоретический интерес и проливающей свет на харачтер воздействия обратного комптоновского рассеяния на спектральное распределение излучения звезды. Рассмотрение этой задачи имеет, скорее, излюстративное значение и может служить отправным пунктом при обсуждении более реальных физических моделей вспышек.

Возьмем некоторый объем небольших линейных размеров M, содержащий моноэнергетические релятивистские электроны с плотностью $n_{\rm c}$. Допустим, указанный объем освещается монохроматическим излучением с частотой v_0 в направлении, составляющем угол b по отношению к дучу эрения (см. рйс. 1). Задача заключается в нахождении рассеянного по направлению на наблюдателя потока излучения $F_{\rm c}$ в предположении, что поле скоростей в рассматриваемом объеме изотропию. Размеры облака выберем настолько малыми, чтобы можно было ограничиться учетом лишь эдиократного рассеяния. Заметим, что хотя углы v_0 будут различны для различных электронов, однако b, то есть угол рассеяния, остается фиксированным. Обозначая, в согласии с условием задачи, поток падающего излучения через $I_{\rm c}(v_0)$ (v_0) дельта-функция Дирака), для $I_{\rm c}^{\rm c}$ будем иметь

$$F_{ij}^{c} = F_{ij} \Delta i \oint \eta_{ij} d\Omega_{j} \int_{0}^{\infty} \frac{dz}{d\Omega_{j}} \frac{\eta_{j}}{\eta_{i}} \, \delta(\eta_{j} - \eta_{b}) \, \delta\left(\eta_{i} - \frac{\eta_{j} \eta_{j}}{\eta_{b}}\right) d\eta_{j}, \tag{11}$$

 $r_{AB} = d^2_{J} = \sin^2_{J}d^2_{J}d^2_{J}$. Отношение $v_{J}v_{J}$ во внутреннем интеграле учитывает тот факт, что дифференциальное сечение рассчитано для числа фотонон. Появление же v_{L} под знаком первого интеграла в (11) обусловлено тем, что дифференциальное сечение (10) не является реаятивистским инвариантом [9].



PHC. I.

Подставляя выражение для $dz/d\Omega_f$ из (10) в (11) и производя интегрирование по z_0 получаем

$$F_{\nu_f}^{c} = 2F \frac{n_e r_0^2 \Delta I}{\beta \gamma^{\pi}} \int_{0}^{\pi} dz \int_{1-\beta}^{1+\beta} \delta \left(\nu_f \frac{\eta_f}{\eta_i} - \nu_0\right) \frac{\gamma_i^2}{\eta_f^3} d\eta_{f^*}$$
 (12)

Еще одно интегрирование можно произвести, если во внутреннем интеграле в (12) перейти к новой переменной

$$x(\gamma_f) = \frac{\gamma_{ij}}{\gamma_{ij}} = \frac{1 - \beta \cos \gamma_{ij}}{1 - \beta (\cos \gamma_{ij} \cos \gamma_{ij} \sin \beta \cos \gamma_{ij})}.$$
 (13)

Torga

$$d\tau_{ij} = \frac{\tau_{ij} dx}{1 + x T(x)},\tag{14}$$

где $T(x)=\sin^6\cos\phi$ со ϕ со ϕ со ϕ , на как функция от х опредсляется в неявной форме на (13). Заметим, что T(x) оказывается двузначной функцией от х. Введя для различных ветвей обозначения $T_1(x)$ и $T_2(x)$, после ряда несложных выкладок вместо (12) получаем

$$\overline{F}_{\gamma_{f}}^{e} = 2F \frac{n_{e}r_{0}^{2}\Delta l}{\beta\tau^{2}} \left(\frac{\gamma_{f}}{\gamma_{0}}\right)^{2} \int_{0}^{\pi} \left\{ \frac{\Lambda\left(\frac{\gamma_{0}}{\gamma_{f}}, x_{1}, x_{\max}\right)}{1 + \frac{\gamma_{0}}{\gamma_{f}} T_{1}\left(\frac{\gamma_{g}}{\gamma_{f}}\right)} + \frac{\Lambda\left(\frac{\gamma_{0}}{\gamma_{f}}, x_{2}, x_{\max}\right)}{1 + \frac{\gamma_{0}}{\gamma_{f}} T_{2}\left(\frac{\gamma_{0}}{\gamma_{f}}\right)} \right\} d\varphi, \tag{15}$$

где x_1 и x_2 —суть значения x соответственно при $b_j=0$ и x_{max} — максимальное значение $x(b_j)$. Все три приведенные величины янляются функциями от b. Величина F представляєт собой поток переработанного излучения, отнесенный к интервалу безразмерных частот $x_j = \left(\overline{F} \cdot \frac{dy_j}{y_0} - F_{y_j} d_y\right)$ Функция $\Lambda(z, a, b)$ определяется следующим образом:

$$\Lambda(z, a, b) = \begin{cases} 1 & a \leq z \leq b \\ 0 & z < a, z > b \end{cases}$$
 (16)

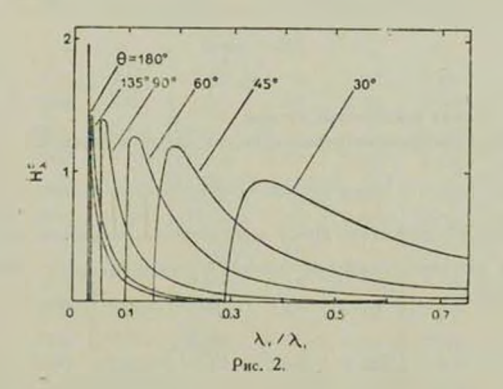
$$\sigma(\theta) = \frac{2r_0^2}{\beta \gamma_0^2} \int_0^{\pi} d\varphi \int_{1-\beta}^{1+\beta} \frac{r_0^2}{r_0^2} d\eta_f,$$
 (17)

и $z_0=2\pi\int\limits_0^{\pi}\sigma(\theta)\sin\theta d\theta$ — полное сечение фотон-электронного взаимодействия (при $\gamma^2=10,\ z_0=3.37\cdot 10^{-22}\ {
m cm}^2).$

-							Габлица 1
Ü	0,	30.	60°	90°	120*	150"	180*
x ₁ p (h)	1.0000	0,2876 0,0020	0.0976 0.0104	0.0513 0.0320	0.0348 0.0663	0.0282 0.1036	0.0263

Представим теперь, что релятивистские электроны содержатся в объеме, находящемся на некотором расстоянии от звезды, в направлении, составляющем угол θ с лучом зрения. Из приведенных в табл. 1 данных можно заключить, что максимальное «посинение» квантов имеет место при больших значениях угла θ . Так, например, если вспышка по отношению к наблюдатель происходит на обратной стороне звезды, то при $t_0=10\,000$ А фотонам, испытавшим наибольшее изменение внергии, будет соответствовать $\theta_1=263$ А. Вместе с тем мы видим, что независимо от того, где произошла вспышка, наибольше жесткие кванты падают на звезду. Далее, данные, касающиеся индикатрисы рассеяния $p(\theta)$, показывают, что последняя сильно выгянута по направлению к звезде и тем более сильно, чем больше значение η (так, например, при $\eta^{-1}=100$ $p(\pi)/p(0)\sim10^{\circ}$). Это означает, что где бы ни произошла вспышка, максимальный интегральный поток излучения будет направлен к звезде.

Изображенные на рис. 2 криные, относящиеся к величине $H^{\ell}_{ij} = \overline{F}_{ij}(\theta)/n_e$ 3 (θ) Δl , показывают, что спектральное распределение переработанного излучения обладает максимумом, положение которого не намного отличается от I_{min} (при θ) π положение максимума совпадает с I_{min}).



Резко выраженные максимумы при больших значениях и означают, что поток излучения, рассеянного к звезде, почти целиком состоит из жестких квантов. Сопоставление этого факта с вышесказанным дает основание полагать, что воздействие вспышки на звезду велико и, быть может, именно с этой точки зрения рассматриваемый механизм рассеяния на релятивистских электронах представляет интерес. Если же говорить об излучении,

рассеянном по направлению к наблюдателю самим объемом, то очевидно, что наибольший эффект следует ожидать при больших позиционных углах \emptyset . Заметим, что в этом случае воздействию коротковолнового излучения вспышки будет подвергаться противоположная по отношению к наблюдателю сторона звезды.

г) Планковское распределение. Предположим теперь, что звезда излучает по закону Планка. Пусть на расстоянии d от звезды радиуса r_{*} натходится облако релятивистских электронов линейных размеров Δt . направление на которое образует угол t, по отношению к лучу арения. Исходя из соображений, приведенных в предыдущем пункте, является целесообразими (для увеличения ожидаемого вффекта) рассмотреть случай, когда $d \gg r_{*}$, поэтому размерами звезды приближенно можно пренебречь. Тогда для потока излучения, направленного к наблюдателю, будем иметь

$$F_{\gamma_f}^* = 4\pi \left(\frac{r_*}{d}\right)^2 \frac{h v_f^3}{c^2} - \frac{r_0^2 n_* \Delta l}{8\gamma^2} I_{\gamma_f}(T), \tag{18}$$

FAC

$$I_{\nu_{f}}\left(T\right) = \int_{0}^{\pi} d\varphi \int_{1-\beta}^{1+\beta} \frac{d\eta_{f}}{\eta_{i}\left(e^{\frac{h\nu_{f}}{kT}\frac{\eta_{f}}{\eta_{i}}}-1\right)},$$

и T — эффективная температура звезды.

Амплитуда звездной величины вспышки задается формулой

$$\Delta m_{\nu_{\ell}} = 2.5 \lg (1 + E_{\nu_{\ell}}^{c}/E_{\nu_{\ell}}^{*}),$$
 (19)

где $E_{v_j}^*$ и $E_{v_j}^*$ представляют собой освещенности, создаваемые в точке наблюдения соответственно вспышкой и звездой. Для отношения $E_{v_j}^*/E_{v_j}^*$ имеем

$$\frac{E_{i_f}^c}{E_{i_f}^+} = 2\left(\frac{\Delta I}{d}\right)^2 \frac{r_0^2}{\beta_i^{*2} z_0} \Delta z \left(\frac{k^{*}_f}{kT} - 1\right) I_{v_f}(T), \tag{20}$$

где $\Delta \tau = n_e \sigma_0 \Delta t$ — оптическая толідина облака. Из соотношений (19) и (20) видно, что влияние параметров $\Delta \tau$ и $\Delta t/d$ (появление последнего обусловлено учетом эффекта дилюции излучения) на значение величины Δm_{n_e} велико. Расчеты по формуле (19) для различных T и r_f с

целью увеличения наблюдаемого аффекта выполнены при чаксимальных в рамках данной модели значениях параметров $\Delta\tau$ и $\Delta l/a$. Значение $\Delta\tau$ выбрано порядка 0.1, при котором, видимо, еще можно ограничиться рассмотрением однократного расселния. Однако уже ато значение при $\Delta l \sim 10^{10}$ см приводит к $n_* \sim 10^{11}$ см $^{-1}$, а для общей энергии облака с учетом впергии протонов — к значению $\sim 10^{36}$ арг (см. также [10]). Уменьшение Δl приводит к увеличению n_* и резкому уменьшению фактора дилюции. Результаты расчетов, относящиеся к $\Delta\tau = 0.1$; $\Delta l/a = 0.5$ и $\tau^* = 5$; 10; 100, приводятся в табл. 2.

ЗНАЧЕНИЯ дт. ПРИ - 5 - 5

Таблица 2

				^.	-		
X	T	30	60	90	129	150	180
V ₀	2500	0 098	1264	2 th 173	2 ^m 640	2 ^m 865	2."932
3500 A	3000	0.023	0.262	0.557	G.761	0.873	0.908
4500 A	2500	0.014	0.139	0.300	0.421	0.489	0.511
	3000	0.005	0.031	0.062	0.086	0.100	0.104
5500 A	2500	0.004	0.027	0.053	0.073	0.086	0.090
55	3000	0.002	0.006	0.014	0.019	0.022	0.022
			при	7 ² =10	-		
3500 A	2500	0.122	0.834	1.268	1.505	1.623	1 658
	3000	0.020	0.119	0.201	0.257	0.287	0.297
1500 A	2500	0.010	0.057	0.097	0.123	0.138	0.143
	3000	0.003	0.010	0.017	0.021	0.023	0.024
N O	2500	0.002	0.009	0,014	0.018	0.020	0.020
5500	3000	0.001	0,002	0.003	0.004	0.005	0.005
			при	² 100			
Vo	2500	0,303	0.381	0.409	0.426	0.435	0.437
3500	3000	0.028	0.036	U.039	0.040	0.041	0.042
1500 A	2500	0.013	0.016	0.017	0.018	0.018	0.018
	3000	0.002	0.002	0.002	0.003	0.003	0.003
5500 A	2500	0.002	0.002	0.002	0.002	0.002	0.002
S	3000	0.000	0.000	0.000	0,000	0.000	0.000

Данные, относящиеся к $\theta=0^\circ$, в таблице не приводятся, поскольку в соответствии со сказанным в первом разделе, результирующий эффект равен нулю. Мы видим, что хотя значения параметров $\Delta \tau$ и $\Delta l/d$ явно за-

вышены, однако окончательный аффект оказывается незначительным. Сказанное при $\gamma=5$ и 10 нуждается в пояснении, Дело в том, что хотя амплитуды вснышек при данком наборе значений параметров нельзя считать мальми в U-лучах, однако при переходе к более длиным волнам 2m быстро падает, что, очевилно, связано с наличием весьма резкого максимума в спектральном распроделении. Дальнейшее уменьшение энергии электренов, правда, сдвигает положение максимума в область более длиных воли, однако при этом уменьшаются и соответствующие амплитуды (при $\gamma \to 1$, $2m \to 0$). Заметим, что даже изиболее высокие значения 2m, принеденные в табл. 2 для $\gamma \to 5$ и 10, оказываются значительно ниже значений, полученных ранее в работе [3]. Так, например, при $\gamma \to 10$, $\gamma \to 10$, $\gamma \to 10$, и $\gamma \to 10$, и указанной работе приводились значения: $\gamma \to 10$, $\gamma \to 10$,

Можно было бы скидать, что увеличение оптической толщины облака будет способствовать усилению наблюдаемого, эффекта, однако на самом деле многократные рассеяния, как легко заключить из рис. 2, приводят к переходу энергии фотонов в область сще более высоких энергий, область тем самым регистрируемый аффект в $U,\ B,\ V$ -лучах. К тому же при больших $\Delta\tau$ существенную роль начинает играть механизм тормозного излученя.

Если допустить, что релятивистские электроны образуют оболочку, окружающую звезду, то для эт при более или менее разумных предположениях относительно геометрической толщины оболочки получаются весьма инэкие значения. Таким образом, если применять точные выражения для закона преобразования частот и дифференциального сечения, то, по крайней мере, рассмотренные в настоящей работе модели не приводят к результатам, согласующимся с данными наблюдений.

3. Основные выводы. Применение формулы (4) для преобразования частот является неправомерным, в особености если последняя привлекается для получения количественных результатов при интерпретации излучения вспышек. При описании элементарного акта рассеяния фотона на релятивистских влектронах необходимо воспользоваться точными выражениями для закона перераспределения энергий фотонов и дифференциального сечения (7), (10). Указанные формулы подчеркивают важность учета геометрии фетон-электронного взаимодействия, поэтому при построении той нли иной модели вспышки возникает необходимость четкого определения пространственного распределения электронов и их скоростей. В этой связи некоторые модели, выдвинутые ранее для объяснения излучения вспышки, оказываются несостоятельными.

С физической точки зрения более реальным кажется рассмотрение релятивистских электронов, локализованных и сравнительно небольшом объеме пространства. В последнем случае можно ожидать более или менее ощутимо наблюдаемого эффекта лишь при весьма специфических условиях $\{0=\pm\}$ и искусственно завышенных значениях параметров облака. С другой стороны, поскольку локальные источники релятивистских электронов можно считать равномерно распределенными по 1 , то для обеспечения столь часто происходящих вспышек, которые наблюдаются в действительности, потребуются довольно высокие значения средней энсргии, выделяемой за единицу времени, — гораздо большие, чем это получалось на основании старых ошибочных расчетов.

Характерно, что эффект «отражения» переработанного излучения, вызываемый вспышкой, может оказать существенное воздействие на саму звезду. Указанное явление представляет несомненный интерес и может служить предметом отдельного исследовании.

Авторы благодарят академика В. А. Амбарцумяна за обсуждение полученных результатов. Один из авторов (Р. А. К.) выражает искреннюю признательность дирекции Бюраканской астрофизической обсерватории за предоставленную возможность работать и атой обсерватории и за гостепримство.

Бюраканская астрофизическая обсерватория
Лаборатория теоретической астрофизики,
Институт астрофизики,
Париж, Франция

ON THE INTERPRETATION OF FLARE PHENOMENON ON RED DWARF STARS BY INVERSE COMPTON SCATTERING

H. A. HARUTHYUNIAN, R. A. KRIKORIAN, A. G. NIKOGHOSSIAN

The possibility of interpretation of flare radiation of red dwarf stars using inverse Compton scattering is discussed. For this purpose the refinement of expressions, adopted in early papers for the law of frequency transformation during the scattering process and differential cross-section is given. The results obtained indicate the importance of the geometry of the inverse Compton scattering in the photon-electron interaction. The analysis of various theoretical models describing the flare phenomenon shows that the interpretation of observational data by inverse Compton scattering meets with considerable difficulties.

ЛИТЕРАТУРА

- 1. В. А. Амбарцумян, Научные труды, т. 2, Ереван, 1960, стр. 189, 242.
- 2. Г. А. Гурзадян, Астрофизика, 1, 319, 1965.
- 3. Г. А. Гурзадян, Вспыхивающие звезды, Наука, М., 1973.
- 4. S. Kichenassamy, R. A. Krikorian, M. N., (in press).
- 5. J. E. Felten, P. Morrison, Ap. J., 146, 686, 1966.
- 6. К. Меллер, Теория относительности, Атомиздат, М., 1975.
- 7. Дж. Мак-Коннел, Квантовая динамика частиц, ИЛ, М., 1962.
- 8. А. И. Ахиезер, В. Б. Берестеикий, Квантовая электродинамика, Наука, М., 1969.

+

- 9. S. Kichenassamy, R. A. Krikorian, C. R. Acad. Sc. Paris, 286 B, 127, 1978.
- 10. Р. Е. Гершберг, Вспышки красных карликовых звезд. Наука, М., 1970.

академия наук армянской сср АСТРОФИЗИКА

TOM 15

АВГУСТ, 1979

выпуск з

УДК 524.5/6.524.3

СИСТЕМА ГАЛАКТИЧЕСКИХ ПЛАНЕТАРНЫХ ТУМАННОСТЕЙ, ЭВОЛЮЦИЯ ЯДЕР

Г. С. ХРОМОВ
Поступила 15 июня 1978
Пересмотрена 8 января 1979

На основании построенной ранее шкалы расстояний, исследована налактическая система планетарных туманностей. Выявлены значительные аффекты наблюдательной селекции, приводящие к тому, что на больших расстояниях ым наблюдаем все более яркие, молодые и плотные объекты.

Заново оценены массы туманностей, абсолютные звездные величины туманностей и их ядер, ряд других важных физических параметров этих объектов. Оценены пределы эволюционных изменений атих параметров.

Уточнено положение ядер планетарных туманностей на днаграмме Герцшпрунга— Рессела. Обнаружены очень быстрые изменения светимости ядер туманностей после отделения оболочки, напоминающие релаксационный процесс.

Получены новые оценки пространственной плотности планетарных туманностей и их полного числа в Галактике. На основании данных о пространственном распределении и кинематике планетарных туманностей сделан вывод об их принадлежности к весьма уплощенной подсистеме старого галактического населения типа 1. Возможню, что дальними предшественниками планетарных туманностей являются авезды главной последовательности типов В8—А5—F.

1. Введение. В предыдущей работе втой серии [1] мы определили расстояния до 197 планетарных туманностей, задавшись предположением о постоянстве и сходстве их светящихся масс. Масштаб шкалы хорошо соответствует статистическому параллаксу туманностей, определенному из независимых кинематических данных. В той же статье были сделаны некоторые предварительные выводы о галактическом распределении планетарных туманностей.

Настоящая работа посвящена дальнейшему исследованию системы галактических планетарных туманностей и включает в себя обсуждение влияния наблюдательной селекции и эволюционных аффектов. 2. Наблюдательная селекция и полнота выборки. В работе [1] мы отметили, что наблюдательная селекция искажает полученную картину распределения поверхностной плотности системы галактических планетарных туманностей. Наши выводы об этой системе основаны на изучении некоторой случайной выборки объектов, для которых существуют достаточно полыме фотометрические данные и сведения об угловых размерах. Поэтому в выборку не вошли многочисленные звездообразные объекты, но не вошли и многие туманности больших угловых размеров и предельно низкой поверхностной яркости из списка [2]. Следовательно, предстоит понять, в какой мере наша выборка может представлять все галактические планетарные туманности.

Первое представление о ее полноте можно составить, исследуя прирост числа объектов с увеличением объема пространства, в котором производится их подсчет. Поскольку планетарные туманности образуют весьма уплощенную галактическую подсистему, подсчет следует производить в пространственных цилиидрах различного радиуса, перпендикулярных галактической плоскости, и с Солицем в центре симметрии. Пространственная плотность объектов, естественно, считается постоянной.

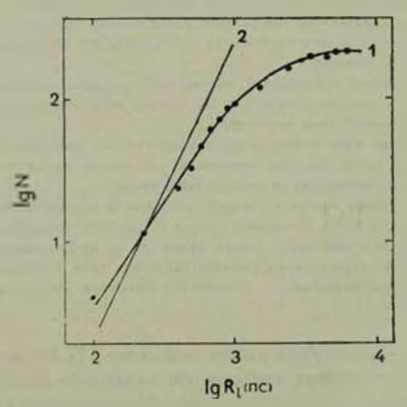


Рис. 1. Прирост числа планетарных туманностей в нашей выборке в зависимости от раднуса R_1 цилиндрического объема пространства, в котором производится их подсечет. 1. Эмпирическая зависимость $N + R_1 - 2$. Ожидаемыя теоретическая зависимость $N \sim R_1^+$ в предположении о постоянстве пространственной плотности планетарных туманностей.

Результаты такого анализа показаны на рис. 1. Очевидно, что число объектов в нашей выборке систематически ниже ожидаемого на основании

простых геометрических соображений. При радиусе цилиндра всего лишь 0.8 кпс, число планетарных туманностей с определенными нами расстояниями оказывается примерно вдвое меньше ожидаемого.

Для более тонкого исследования влияния наблюдательной селекции целесообразно рассмотреть функцию светимости планетарных туманностей.

Зная расстояния и воспользовавшись собранными в работе [1] данными о плотностях потоков радноизлучения планетарных туманностей на частоте 6630 МГц, нетрудно рассчитать абсолютные радносветимости этих объектов по достаточно очевидной формуле:

$$\lg L_{\text{max}} = 41.08 + 2\lg R_{\text{nc}} + \lg F_{\text{max}} \tag{1}$$

гле $[L_{6310}] = apr/c \cdot \Gamma_{\rm H}$, а $[F_{6310}] = B_{\rm T}/{\rm M}^2 \cdot \Gamma_{\rm H}$. Такой расчет был выполнен для всех 197 объектов с определенными в [1] расстояниями; его результаты для каждого объекта не приводятся здесь ради экономин места.

Определим функцию светимости для планетарных туманностей — A (ΔL .) как число объектов в нашей выборке, радиосветимость которых L. находится в интервале ΔL , наблюдаемого диапазона ее намечения. Наиболее примечательным свойством функции A (ΔL .) является ее зависимость от расстояния до туманностей. В этом нетрудно убедиться, построив A (ΔL .) для групп туманностей, лежащих на разных расстояниях согласно [1] (см. рис. 2).

Очевидно, что с увеличением расстояния максимум функции светимости плаветарных тумаиностей сдвигается в сторону все больших величин L. Предел этой тенденции демонстрируют объекты в Магеллановых облаках, где, естественно, мы наблюдаем лишь самые яркие туманности. Левые части гистограммы на рис. 2 почти исключительно образованы слабыми протяженными объектами из списка [2].

Появление двух максимумов на рис. 2 объясияется наблюдательной селекцией, вследствие которой многие планетарные туманности малой поверхостной яркости и небольших угловых размеров остаются неизвестными.

Тот факт, что полученные нами светимости планетарных туманностей распределены в довольно широком интервале, имеет четкий аволюционный смысл. Действительно, если считать, что планетарные туманности имеют одинаковые массы и расширяются в окружающее пространство с примерно одинаковыми скоростями, то, как нетрудно показать, их светимости для рекомбинационного или свободно-свободного излучения подчинятся простой зависимости:

$$L \sim n_r - R_s^{-3} \sim (V_r t)^{-3},$$
 (2)

где n, — электронная плотность, R, — линейный радиус туманности, V, — скорость ее расширения, а t — возраст объекта.

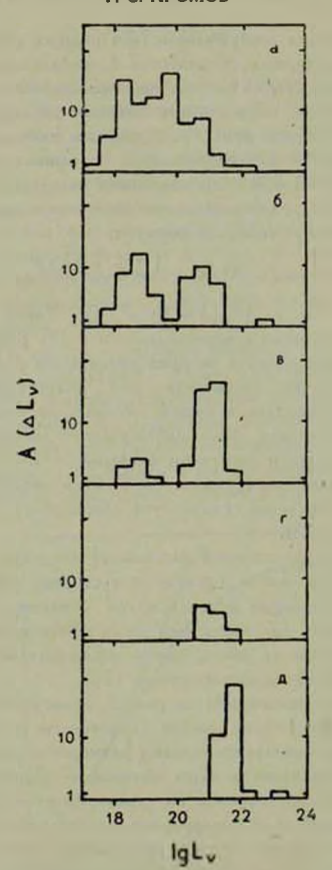


Рис. 2. Ненормированная функция радносветимости планетарных туманностей A (ΔL_{γ}). Светимость соответствует полному потоку радноизлучения туманностей на частоте 6630 МГ $_{\rm H}$ в врг/с \cdot Г $_{\rm H}$.

- а) 83 объекта на расстояниях 0 < R < 1 кпе.
- 6) 56 объектов на расстояниях 1 < R < 2 кпс.
- в) 44 объекта на расстояниях 2 < R < 4 илс.
- г) 13 объектов на расстояниях R>4 кис.
- а) 30 планетарных туманностей в Большом и Малом Магеалановых облаках на расстояниях 52 и 63 кпс соответственно. Фотометрические двиные взяты из работы [3].

Имея вто в виду, представим функцию светимости планетарных туманостей в несколько ином виде, как это показано на рис. 3. Легко поиять, что если бы наша выборка была полна, никакой зависимости между L. и $R_{\rm nc}$ не наблюдалось бы. Вполне естествению, что из-за наблюдательной селекции на больших расстояниях мы видим объекты систематически большей светимости, а следовательно, более молодые и плотные. Уменьшение крутизны зависимости на рис. 3 при больших $R_{\rm nc}$ объясняется существованием предельной светимости планетарных туманностей; она достигается при плотностях основной структуры порядка $10^{\circ}-10^{\circ}$ см. характерных для самых молодых объектои этого класса. Примечательно, что втот же предел светимости характерен и для туманностей в Магелланопых облаках, галактике в Печи и M 31.

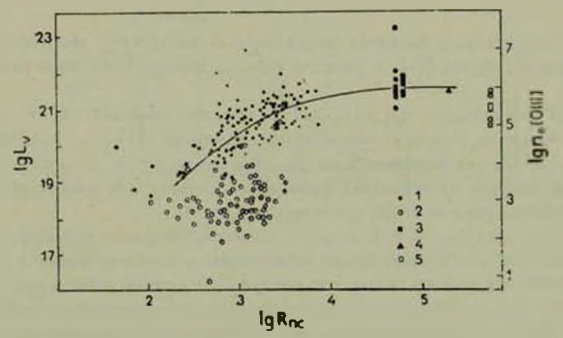


Рис. 3. Зависимость светимости планетарных туманностей от расстояния $R_{\rm ex}$ 1. Объекты из табл. 3 в работе [1], кроме туманностей инзкой поверхностной яркости из списка [2].

- 2. Объекты низкой поверхностной яркости из списка [2]...
- 3. Планетарные туманности в Магеллановых облаках.
- Планетарная тумлиность в галактике в Печи. Радиосветимость рассчитана через поток в линии Н. . исправленный за межзвездное поглощение.
- Планетарные туманно ти в М 31 по данным [5]. Радиоспетимости рассчитаны через поток в линии 113, не исправленный за межанездное поглощение.

Шкала электронных плотностей основной структуры планетарных туманностей соответствует полученному нами по данным работы [6] приближенному эмпирическому соотношению $\lg n_* [0.11] + -15.5 + \lg L$.

График на рис. З может служить для грубой оценки расстояний до удаленных звездообразных планетарных туманностей по известной электронной плотности их основной структуры. Шкала электронных плотностей на рис. З введена с помощью полученного нами эмпирического соотношемия типа (2). Этот способ оценки расстояний в известном смысле аналогичен предложенному Б. А. Воронцовым-Вельяминовым методу построения шкалы расстояний до планетарных туманностей, хотя его обоснование здесь совсем иное.

Исследование функции светимости планетарных туманностей позволяет не только выявить, но и численно оценить влияние наблюдательной селекции. Нетрудно понять, что при постоянном темпе образования планетарных туманностей интегральное число объектов, моложе некоторого возраста і, пропорционально самой величине t. Воспользовавшись соотношением (2), получаем, что число туманностей светимости $L_{\infty} < L_0$, где $L_0 - C$ снетимость "новорожденной" планетарной туманности, N(L) имражается простой формулой:

$$N(L_i) = CL^{-1.5}$$
, (3)

где C — масштабный параметр, определяемый из условий абсолютной калибровки. Функцию $N(L_{\star})$ уместно назвать интегральной функцией светимости.

Для установления пределов аволюционного изменения L, и определения параметра C можно использовать функцию $A(\Delta L)$, представленную на рис. 2a как чаиболее полную. Эмпирическая и «подогнанная» к ней теоретическая интегральная функция светимости для планетарных туманностей из нашей выборки приведены на рис. 4.

Сопоставляя рис. 3 и 4, можно рассчитать поправки, преобразующие известные нам числа планетарных тумвиностей в том или ином интервале расстояний от Солица в истиниме, которые наблюдались бы в отсутствие селекции .Так, нетрудно показать, что вместо 86 тумвиностей с расстояниями $R_{\rm nc} < 1$ клс, мы должиы были бы иметь 327 объектов, то есть в 3.8 раза больше. Для Магеллановых облаков поправочный коаффициент равен 33.

3. Уточненные эначения поверхностной и пространственной плотности системы галактических планетарных туманностей. Поправки за аффект наблюдательной селекции можно использовать для уточнения оценок поверхностной плотности системы галактических планетарных туманностей, полученных в нашей работе [1]. Ниже приведены окончательные величины соответствующих параметров:

Местная поверхностная плотность системы галактических планетарных туманностей \cdots \cdots \cdots \cdots \cdots \cdots μ (Loc) = 1.7 (10° кпс $^{-2}$. Поверхностная плотность в области галактического центра \cdots \cdots \cdots $\mu_{n}=3.1\cdot10^{3}$ кпс $^{-2}$.

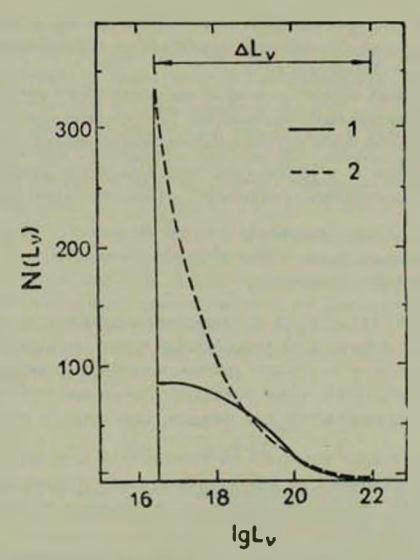


Рис. 4. Интегральная функция радносветимости для планегарных туманностен — $<(L_{\perp})$. 1. Эмпирическая функция $N(L_{\perp})$, полученная интегрированием гистограчмы на рис. 2a; 2. Прокалиброванная теоретическая функция $N(L_{\perp})$ 9.0 $10^{3}L_{\perp}$ д характеризует яволюционный интервал светимостей, наблюдающихся у планетарных туманностей. Постулируется, что объекты со светимостями $|L_{\perp}| < 16.6$ врг с $\Gamma_{\rm U}$ не наблюдаются. "Новорожденные" планетарные туманности имеют типичную светимость $|L_{\perp}| = 22.0$.

Уточненный закон распределения поверх-

Оценка местной пространственной плотности получена в предположении. что аффективная толщина системы планетарных туманностей в окрестностях Солниа озвиа 200 пс (см. [1]).

Оченидио, таким образом, что пока мы знаем лишь очень мелую долю галактических планетарных туманностей. Тот же вывод справедлив и для планетарных гуманностей в других галактиках. Используя выведенное значение конффициента k_i нетрудно получить следующие оценки вероятного полного числе планетарных туманностей в близких галактиках:

Большое Магелланово облако ($M = 1 \cdot 10^{10} M_{\odot}$)	٠		٠	٠	1.5 · 101.
Малое Магелланово облако (M 2 10° Mc) · ·					· · 3 · 101.
Галактика M 31 (M 3·10 ¹¹ M.) · · · · · ·					· 4.5 · 10 ⁵ .

Роль, которую галавтические планетарные туманности и их ядра могут играть в пополнении газом межзвездной среды, ее ионизации и балансе вещества и энергии я области центра, подлежит отдельному исследованию. Во всяком случае, наши предварительные представления об этой роли не столь пессимистичны, как выводы, сделанные в работе [7].

4. Светимость ядер планетарных туманностей и ее эволюционные изменения. Знея расстояния до многих планетарных туманностей, мы получаем возможность определить светимость и уточнить положение ядер на днаграмме Герципрунга—Рессела.

В работе [8] мы определили «гелиевые» занстровские температуры T_Z (He II) для ядер 61 планетарной туманности и показали, что они наилучшим образсм представляют истинные аффективные температуры этих звезд. В той же работе рассчитаны коэффициенты дилюции W для всех ядер с известными T_Z (He II); напомним, что коэффициенты дилюции определяются с той же степенью надежности, как и сами температуры ядер по методу Занстра.

Располагая данными о величинах W, угловых размерах и расстояниях для ряда планетарных туманностей, можно без труда рассчитать раднусы ядер R, и затем — энергетическую светимость этих звезд по очевидной формуле

$$\frac{L}{L} = \frac{4\pi R_{\circ}^{7} z \left[T_{Z} (\text{He II}) \right]^{4}}{3.83 \cdot 10^{32}},$$
 (4)

где з- постоянная Стефана-Больцмана.

Таким путем мы получили светимости ядер 52 планетарных туманностей из числа тех, для которых в работе [8] были определены температуры T_Z (He II) и коаффициенты W. Эти данные были дополнены оценками светимости ядер еще 26 объектов с известными из [8] «водородными»

ванстровекими температурами $T_Z(\mathbf{H})$. В этом случае для расчета светимости использовалась следующая приближенная процедура.

В соответствии с эмпирическим соотношением между $T_Z(H)$ и $T_Z(He II)$, полученным в [8], принималось, что $T_Z(He II) = 2\,T_Z(H)$. Используя звездные величины ядер туманостей в системе B, исправленные за межзвездное поглощение в работе [8], мы определяли абсолютные энергетические потоки от ядер на границе земной атмосферы с помощью калибровки Джэнсона [11], относя их к $I_{II}(B) = 4\,300\,$ A.

Считая ядра туманностей планковскими излучателями с температурой $T=T_Z(\text{He II})$ и зная абсолютный поток этого излучения на единицу частоты на длине волны 4300 A, мы рассчитывали полный поток от ядра F(bol), каким он представлялся бы демному наблюдателю в отсутствие поглощающей высокочастотное излучение туманности. Наконец, зная расстояние до туманности $\mathcal{R}_{\text{пс}}$, мы рассчитывали относительную светимость ядра по очевидчой формуле:

$$\frac{L}{L_{\odot}} = \frac{4 = R_{\rm nc}^2 F \, (bol)}{3.83 \cdot 10^{33}} \,. \tag{5}$$

Этот метод менче надежен, чем описанный ранее, и полученные с его помощью светимости мы будем считать приближенными оценками.

На рис. 5 показано положение ядер 78 планетарных туманностей на диаграмме Герцшпрунга—Рессела по нашим данным. Ядра образуют некоторое подобие линейной последовательности, направленной в область меньших светимостей и больших температур. Учитывая значительный разброс точек, уместиее говорить об области на диаграмме, занимаемой ядрами планетарных туманностей, в пределах которой располагаются их индивидуальные аволюционные треки. Отметим, что светимости и температуры ядер старых планетарных туманностей А 24, 33 и 65 приближаются к величинам, хаоактерным для наиболее горячих белых кароликов.

Желая связать изменения в ядрах планетарных туманностей с эволюцией самих газовых оболочек, исследуем соотношение между светимостью ядер и поверхностной яркостью туманностей. Наличие четкой связи между L/L_{\odot} и S_{6930} на рис, б не вызывает сомнений: светимость ядра быстро падает с возрастом туманности. Как было показано в нашей работе [δ], это падение происходит за счет сжатия ядра, не компенсируемого его нобольшим разогревом. Левая часть графика как обычно оказывается размытой, так как там сосредоточены трудные для наблюдений объекты низкой поверхностной яркости.

С помощью соотношения типа (2), задавшись характерной скоростью расширения планетариых туманностей $V_r=20$ км/с, можно перейти от шкалы поверхностных яркостей к шкале времени. Тот же рис. 6 показы-

вает, что падение светимости и радиуса ядер соответственно на 3 в 2 порядка величины происходит за время около 3000 лет. Затем процесс, вероятно, замедляется и приобретает квази-асимптотический характер, типичный для медленного остывания звезды, лишенной источников энергии. Чрезвычайная быстрота уменьшения светимости ядра молодой планетарной туманности более всего напоминает релаксацию звезды после перестройки, связанной с отделением оболочки.

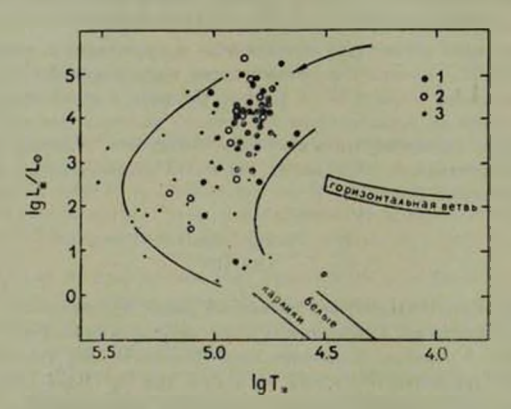


Рис. 5. Днаграмма Герцшпрунга-Рессела для ядер планетарных туманностей.

1. Объекты, светимости которых определены по формуле (4).

2. Объекты, светимости которых определены по формуле (4), но для них в работе [8] имеются лишь неуверенные определения $T_Z({\sf He II}).$

 Объекты, светимости которых рассчитяны по формуле (5). Стрелкой покавано вероятное направление прихода звезд в область ядер планетарных туманностей.

Таким образом через 10—20 тыс. лет после возникновения наблюдаемой планетарной тумаиности, образуется горячая компактная звезда, по-видимому, лишенная источников ядерной знергии. Не исключено, что в результате дальнейшего сжатия звезды эти источники включатся снова, звезда вновь обратится в красный гигант и сможет вторично пройти стадию сброса массы. Напомним, что как это было показано в [13], среди 295 планетарных туманностей с изученной морфологией есть несколько, напочинающих результат повторного сброса оболочки. Для более полных и надежных выводов об эволюции ядер планетарных туманностей необходимы специальные наблюдательные исследования изменений в ядрах вместе с изучением свойств ядер самых старых объектов атого класса.

5. Абсолютные эначения основных физических параметров планстарных туманностей и их ядер. Знанне шкалы расстояний до планетарных
туманностей, вместе с рядом эмпирических зависимостей, получениых в
этой и предыдущих работах данной серии, позволяет определить абсолютные значения целого ряда физических характеристик туманностей и их
ядер. Они сведены нами в табл. 1, которая, однако, требует некоторых пояснений.

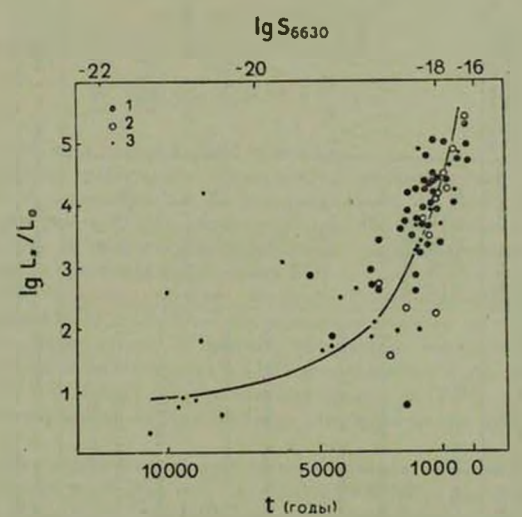


Рис. 6. Светимость ядер и аволюция газовых оболочек планетариых туманностей. Поверхностиме радиояркости туманной на частоте $6630~{\rm MFg}-a$ ваттах на ${\rm m}^2$. $\Gamma_{\rm U}$ ср. Шкала аволюциюнного времени ℓ получена в предположении о равномерном радиальном расширении туманностей со скоростью $20~{\rm km/c}$ от начального радиуса, равного $0.02~{\rm nc}$, характерного для самых молодых объектов с ${\rm II}_{\rm CSS} = -16.5$ до радиуса $0.32~{\rm nc}$, которому соответствует предслано ниякая поверхностная яркость ${\rm Ig}_{\rm CSS} = -22.5$. Прочие обозначения — такие же, как на рис. 5.

Масса водородной компоненты туманности определяется совместно с «коэффициентом заполнения» δ , вводимым простым соотношением $\delta = V_n/V_{\rm sph}$, где $V_n -$ эффективный объем туманности, а $V_{\rm sph}$ - объем сферы, описанной вокруг нее. Величины $M_{\rm H}$ и δ получаются из трех независимых *эмпирических* соотношений:

Таблица / ХАРАКТЕРНЫЕ АБСОЛЮТНЫЕ ЗНАЧЕНИЯ ОСНОВНЫХ ФИЗИЧЕСКИХ ПАРАМЕТРОВ ПЛАНЕТАРНЫХ ТУМАННОСТЕЙ И ИХ ЯДЕР

Параметр	Среднее вначение	пиониях изменении Пречечя впочю-	Примечания
Масса нодородной компоненты туманности — M	(0.15±0.11) M ₍₂₎		См. текст
Полнан насса туманности — М,	(0.26±0.19) M _☉		CM. TERCT
Конффициент заполиения — 3	0.28±0.02		См. текст
Внешний рэднус основной структуры туманности — R_n	1,40-1017 ск	(0.6-10.0) 1017 cm	При расстояниях яв [1]
Время изменения радмуса туманности в указонных выше пределах — t	15 000 ACT		При спорости ра- днального расши- рения V _s = 20 ам/о
$Cp_{\mathcal{A}}$ ияя абсолютная фотографическая величина туманности — M_{σ} (р.g.)	1 ^m 8		См. телст
Элеятронияя плотность основной структуры туманности (в логарифмах) — $\lg n_e (c m^{-3})$	4.5	2.2-6.5	См. [6]
Радиус ядра туманности — R.	3·1010 cm	3-1011 — 100 см	CM. TORCT
Температура ядра по методу Заметра для He II (в логгрифмах) — $\lg T_Z({ m He~II})$	4.87	4.75-4.94	Cu. [8]
Средняя абсолютная ввездная величина ядер — $M_{\bullet}(B)$	2 29 ± 2 TO8		См. текст
Поливя висрестическая светимость ядер — $\log L_{\bullet}/L_{\odot}$	3.0	5.25-0.75	См. рис. 5, 6

 Π_{Γ} имечание: В швале поверхностных раднояркостей S_{5430} самые молодые объекты имеют $\lg S = -16.5$, а самые старые — 22.5. Левыз цифры в третьем столбце таблицы относятся и молодым, а правые — и старым туменностим.

1)
$$\lg R_{nc} = 0.35 + \lg M = -12.51 + \frac{2}{5} \lg M_{H} - \frac{1}{5} \lg \delta - \lg \pi'' - \frac{1}{5} \lg \delta_{6630}$$

— соотношения из работы [1], полученного при калибровке шкалы расстояний: эдесь M — модуль расстояний для планетарных туманностей.

2)
$$\lg n_e = 1.0 - 3 \lg R_* (cm)$$
.

Это соотношение нетрудно получить с помощью данных из [1] и [6].

3)
$$\lg S_{\text{etai}} = -26.35 + \frac{5}{3} \lg n,$$

соотношения, полученного в нашей работе [6].

Считая все планетарные туманности прозрачными объектами одной и той же постоянной массы $M_{\rm H}$, нетрудно связать все величины, входящие в зависимости (1—3), выразив их через $M_{\rm H}$ и δ . Необходимые для этого данные об элементарном коэффициенте свободно-свободного излучения плазмы брались из нашей работы [10].

Анализ точности показывает, что целесообразно использовать только комбинации (1—3) и (2—3); после осреднения получаем величины Mн и $\bar{\epsilon}$, фигурирующие в табл. 1. Заметим, что простая геометрическая модель туманности, предложенная в [14], дает близкое к полученному значению $\bar{\epsilon}=0.4$. Полная масса туманности находится из Mн после учета гелиевой компоненты, которая по числу атомов составляет 0.18 от водородной.

Средняя абсолютная звездная величина туманностей вычислена через их среднюю радиосветимость L. на частоте 6630 МГ $_{\rm U}$, рассчитанную по формуле (1) для 197 объектов в ходе выполнения атой работы. Для преобразования L, в светимость в водородной линии $H_{\rm P}$ использовалось простое теоретическое соотношение, полученное с помощью выражения (1) из работы [10] при $T_{\rm e}=1.25\cdot 10^4{\rm K}$:

$$lg L(H_2) = lg L. (6630) + 13.39.$$
 (6)

Здесь $[L, (6630)] = \mathrm{apr/c} \cdot \Gamma_{\mathbf{U}}, \ [L(H_3)] = \mathrm{apr/c}.$ Переход от $L(H_3)$ к видимому потоку $F(H_3)$ для постоянного расстояния в 10 пс — очевиден. Окончательное преобразование $F(H_3)$ в $M_n(pg)$ производилось по ампирической формуле перехода, приведенной в [15].

Наконец, средняя абсолютная величина ядер планетарных туманностей в системе В рассчитывалась по известной формуле

$$M_{\rm e}(B) = B_0 + 5 - 5 \lg R_{\rm max} \tag{7}$$

где величины B_c , исправленные за межавездное поглощение, взяты из табл. 3 в работе [8].

Наша сводка характерных физических параметров планетарных туманностей как галактических объектов была бы неполна без данных, позволяющих уточнить их принадлежность к тому или иному типу галактического населения. Необходимая для этого сводка содержится в табл. 2, составленной по данным обзора [16], атой работы и статей [1, 17].

Таблица 2
ПЛАНЕТАРНЫЕ ТУМАННОСТИ И ДРУГИЕ РАЗНОВИДНОСТИ
ГАЛАКТИЧЕСКОГО НАСЕЛЕНИЯ

TAXACIN-LEGICIO HACEXEHIA						
Объекты	M 1000 m 3	Z _{0.1} (ne)	(1Z (nc)	- din v	³ Z (им/с)	иниротэ Хиниод
Межавеадная среда	25	280	125			[16]
O-B5	0.11	100	50		4	[16]
B8 A5	1.7	200	70		9	[16]
F	2.5	400	130		14	[16]
gG58	0.2	550	150		16	[16]
dG	3.5	550	180	0.23	20	[16]
Белые карлики	(8)				(19)	[16]
Долгопериодические переменные	10-3	1300		0.28	50	[16]
Планстарные туман- пости (без влер)	1.1 10-1	210	100	0.32	10	[1, 17] эта работа

Примечания к габлице

Сопоставление кинематических и пространственных характеристик планетарных туманностей и других распространенных галактических объектов определенно свидетельствует о принадлежности первых к старому населению типа 1. Этот вывод имеет значительный «запас прочности», так как если пространственные характеристики $Z_{0,1}$ и $\langle \mid Z \mid \rangle$ зависят от принятой шкалы расстояний, кинематический параметр $^{a}_{Z}$ с нею не связан и почти не чувствителен к принятым компонентам галактического дви-

^{1 —} Тип галантических объектов.

^{2 —} Местная массовая пространственная плотность объектов в солнечных массах на 1000 пс³.

 $^{3 \}longrightarrow \mathsf{Pacctorine}$ над галактической плоскостью в пс по уровню 0.1 от максимума распределения $N = \emptyset$ (Z).

^{4 —} Среднее расстояние над галактической плоскостью в предположении о гауссовом распределении $N=\phi(Z).$

^{5 —} Градиент пространственной плотности в окрестностих Солица.

^{6 —} Дисперсия скоростей по Z — координате в км/с.

жения Солица. Далекими предшественниками планетарных туманностей в современную впоху вероятнее всего являются звезды главной последовательности классов В8—А5 и F. Представляется, что подобный вывод, как будто бы впервые полученный нами, заставит пересмотреть традиционные космогонические представления о планетарных туманностях и их ядрах.

6. Заключение. Итак, на основании построенной нами шкалы расстояний и данных о кинематике, мы исследовали галактическую систему планетарных туманностей. Выявлено и учтено сильное влияние наблюдательной селекции, приводящее к тому, что с увеличением расстояния мы наблюдаем все более яркие и молодые объекты. Уточнены пространственная
и поверхностная плотности системы планетарных туманностей и получена
новая оценка их полного числа в Галактике, равного примерно 2:10°.

Исходя из ампирических соотношений, определены средняя масса и ковффициент заполнения планетарной туманности, равные соответственно (0.26 \pm 0.19) M_{\odot} и 0.28 \pm 0.02. Вычислены светимости ядер 78 планетарных туманностей и уточнено их положение на диаграмме Герципруига—Рессела. Обнаружено быстрое падение светимости ядер за счет сжатия.

Пространствено-кинематические характеристики планетарных туманностей заставляют отнести их к объектам старого населения типа 1. Вероятнее всего, их современными предшественниками являются звезды главной последовательности типов B8—A5—F, либо еще неотождествленные объекты той же галактической подсистемы.

Астронемический совет АН СССР

THE SYSTEM OF THE GALACTIC PLANETARY NEBULAE, THE EVOLUTION OF THEIR NUCLEI

G. S. KHROMOV

The galactic system of the planetary nebulae is studied on the basis of the distance scale introduced in a previous paper. The strong effects of the observational selection are revealed and studied. Due to these effects the planetary nebulae observed at larger distances are progressively denser and younger.

The new estimates of the nebular masses, absolute stellar magnitudes of the nebulae and their nuclei, as well as some other important physical characteristics of these objects are obtained together with the intervals of their evolutional variations.

The position of the nuclei is specified on the Hertzsprung-Russell diagramm. The discovered fast variations of the luminosity of the nuclei 7-638

after the separation of the nebula resemble the process of relaxation rather than evolution.

The new estimates of the spatial density of the planetary nebulae and that of their total number in the Galaxy are obtained. On the basis of the data on the spatial distribution and kinematics of the planetary nebulae it is concluded that these objects belong to the flattened subsystem of the old Population I. The remote ancestors of the planetary nebulae are possibly the main-sequence B8-A5-F stars.

ЛИТЕРАТУРА

- 1. Г. С. Хромон, Астрофизика, 15, 269, 1979.
- 2. G. O. Aboll, Ap. J., 144, 259, 1966.
- 3. B. L. Webster, M. N., 143, 79, 1969.
- I. J. Danziger, M. A. Dopita, T. G. Hawarden, B. L. Webster, Anglo-Australian Observatory Preprint, June 3, 1977.
- 5. H. C. Ford, Planetary Nebulae, Dordrecht -- Boston, 1978, p. 19.
- 6. Г. С. Хромов, Астрон. ж., 53, 961, 1976.
- 7. D. Alloin, C. Gruz-Gonzalez, M. Peimbert, Ap. J., 205, 74, 1976.
- 8. Л. С. Пилюгин, Г. С. Храмов, Астрон. ж., 56, 759, 1979.
- 9. Л. Аллер, У. Лиллер, Планетарные туманности, Мир. М., 1971.
- 10. Г. С. Хромов. Астрон. ж., 53, 762, 1976.
- 11. J. B. Kaler, Ap. J. Suppl. ser., 31, No. 4, 1976.
- 12. H. Johnson, Comm. Lunar and Planetary Laboratory, 3, No. 53, 73, 1965.
- 13. G. S. Khromov, L. Kohoutek, Bull. Astron. Inst. Czechoslovakia, 19, 104, 1968.
- 14. G. S. Khromov, L. Kohoutek, Bull. Astron. Inst. Czechoslovakia, 19, 81, 1968.
- 15. L. Perek, L. Kohoutek, Catalogue of Galactic Planetary Nebulae, Prague, 1967.
- 16. A. Blaauw, Galactic Structure, Chicago London, 1965, p. 435
- 17. М. Н. Киоса, Г. С. Хромов, Астрофизика, 15, 105, 1978,

академия наук армянской еср АСТРОФИЗИКА

TOM 15

АВГУСТ, 1979

выпуск з

УДК 523.852

ОБ ЭМИССИОННЫХ ЛИНИЯХ Mg II И Са II В ПЛАНЕТАРНЫХ ТУМАННОСТЯХ

Г. А. ГУРЗАДЯН Поступила 30 октября 1978

Проанализированы условия волбуждения резонансных линий в зимссин ионизованных магния (АА 2796+2803 Mg II) и кальция (АА 3934+3968 Ca II) в планетаримх туманностях. Показано, что эти разрешенные линии возбуждаются тем же механизмом, что и запрешенные линии, то есть неупругими влектронными столкновениями, а не обычной флуоресценцией.

Эмиссионная линия А 2800 Mg II достаточной силы может наблюдаться лишь в спектрах плаветарных туманностей среднего возбуждения (IC 2149), а также у диффузикх туманностей. У высоковозбужденных планетарных туманностей (NGC 7026, 7662) эте линия не должна наблюдаться.

Отсутствие вмиссионных линий H и K Ca H в спектрах планетарных туманностей объясияется тем, что ожидаемая их интенсивность на 3-4 порядка меньше интенсивности линии λ 2800 Mg H или H, водорода.

В связи с активизацией внеатмосферных наблюдений небесных тел, в том числе, планетарных туманностей, вопрос о поведении известного резонансного дублета ионизованного магния / 2795+2803 Mg II в спектрах планетарных туманностей приобретает особое значение. В принципр возможность возбуждения этого дублета в амиссии в условиях планетарных туманностей как будто не вызывает сомнения [1], а в одном случае — туманности IC 2149 — этот дублет, по всей вероятности, удалось отождествыть на ее одной-единственной спектрограмме, полученной в 1973 г. с помощью космической обсерватории «Орион-2» [2].

С другой стороны, известные эмиссионные линии Н и К ионизованного кальция, находящиеся в видимой области спектра (д. 3934 А и д. 3968 А), возникают в результате тех же атомных переходов, что и дублет девой Mg II. И хотя космическое содержание кальция на порядок мень-

ше магиля [3], эмиссионные лиши H и K Ca II, казалось бы, должны были наблюдаться везде, где присутствует дублет / 28/00 Mg II, коль скоро обе системы возбуждаются прч переходах, являющихся изоэлектронными. Между тем, за всю историю наблюдения спектров планетарных туманностей в наземных условиях, ямиссионные линии H и K Ca II не были обнаружены ни разу.

Таким образом, в планетарных туманностях возбуждение дублета 2800 Mg II в выпссии по каким-то причинам не сопровождается одновременным возбуждением дублета H+K Ca II. Заметим, кстати, что в обычных звездных спектрах дублет 42800 Mg II в поглощении наблюдается всегда в унисон с дублетом H+K Ca II, причем в интенсивностях, соответствующих их универсальному содержанию. Нашей задачей является: выяснить механизм возбуждения дублетов 42800 Mg II и H+K Ca II в условиях планстарных туманностей и раскрыть причину указанного противоречия.

Особенность поставленной задачи заключается в том, что линии 2795 + 2803 Mg II, будучи резонаисными, возникают к тому же при разрешенных переходах. В случае, если ати линии возникают в результате флуоресценции, на завершающем этапе на пути каскадных переходов сверху вниз, после рекомбинации однажды поинзованных атомов магния с влектропами, то отношение интенсивности этого дублета, скажем, к интенсивности той или иной линии водорода, будет в первом приближении пропорционально относительному содержанию магния Mg H, то есть порядка 10⁻³. Это значит, что при флуоресцентном механизме возбуждения вмиссионной линии 2800 Mg II ее интенсивность будет на 4—5 порядков меньше интенсивности водородных линий и, стало быть, ее практически нельзя будет обнаружить на спектрограмме планетарной туманности.

Но, как было указано выше, линия / 2800 Mg II, по всей вероятности, присутствует в спектре нока что одной планетарной туманиости, причем с интенсивностью, равной по порядку величины интенсивности линии Н водорода. Однако даже ссли игнорировать этот факт, существует, оказывается, в условиях планстарных туманностьй иной — не флуоресцентиый механизм возбуждения линии / 2800 Mg II с интенсивностью порядка интенсивность водоруждения вполие разрешенной линии, какой является / 2800 Mg II, путем неупруших электронных столкновений.

Итак, мы полагаем, что переходы однажды ионизованных атомов магния из основного состояния 1 в резонансное 2 происходит путем неупругих влектронных столкновений, которые тут же (поскольку $A_{\rm m}=5.2\cdot 10^3~{\rm c}^{-1}$) компенсируются спонтанными переходами $2\to 1$ вниз с испусканием фотона. Поэтому мы можем написать для внергии, излучаемой единицей объема туманности в линии λ 2800 Mg II:

$$E(2800) = n(Mg^+) n_e b_{12} h_{12}, \tag{1}$$

где $n\left(\mathsf{Mg}^+\right)$ и n_* — концентрации ионов магния и свободных электронов, b_{12} — коэф рициент перехода $1 \to 2$ для Mg^+ электронными ударами:

$$b_{10} = 8.54 \cdot 10^{-6} \frac{\Omega(1, 2)}{\sigma_{\star}} T_{\star}^{-1/2} e^{-z_{12}/kT_{\star}}$$
 (2)

Высокая эффективность неупругих влектронных столкновений при возбуждении линии и 2800 Mg II обусловлена тем важиым обстоятельством, что потенциал возбуждения s_{12} резонансного уровия Mg очень мал, всего 4.4 аВ, тот порядок, который мы имеем для метастабильных уровней большинства атомов и ионов, обычно встречающихся в тумаиностях.

Представляется удобным выражать E (2800) в единицах внергии E_z , излучаемой единицей объема туманности в липин H_z . Имеем:

$$E_3 = \mathbb{Z}_1 \cup A_1 \cdot h_{1/3}. \tag{3}$$

Из (1) и (3) можем написать, подставия также $A_{...} = 0.837 \cdot 10^{\circ}$ с $^{-1}$, Ω (1, 2) = 10.5 [4], ω_3 — 3 и приняв n_i — n (H), где n (H) — концентрация водородных атомов в туманности,

$$\frac{E(2800)}{E} = 6.2 \cdot 10^{-12} \frac{n(M_{\odot})}{n(H)} \frac{T_{\circ}}{z_{42}} e^{\frac{82200}{T_{\circ}}}.$$
 (4)

Для планстарной туманности, например, IC 2149, имеем: $T_c=12400 {\rm K}$ [6], $E(2800)/E_3=1$ [2]. Подставив в (4) также $z_1=0.33\cdot 10^{-21}{\rm cm}^4\cdot {\rm c}$ [5], найдем:

$$\frac{n \, (Mg^+)}{n \, (H)} = 2.4 \cdot 10^{-6}. \tag{5}$$

Но для универсального содержания магния имеем $n\left(Mg\right)/n\left(H\right)==(2-4)\cdot 10^{-3}$. Поэтому из (5) будем иметь для относительноге содержания ионов Mg^+ в туманности:

$$\frac{n(Mg^{-})}{n(Mg)} = \frac{n^{+}}{n_{0}} = 0.1.$$
 (6)

Этот результат является в какой-то мере неожиданным, так как он означает, что в однажды ионизованном состоянии находится всего 10% всех атомов магния, и это небольшое количество нонов Mg oбеспечивает генерацию эмиссионной динии 2800 Mg II с силой, сравнимой с линией H₃. Остальные же 90% атомов магния находятся в состоянии понизации в два и больше раза. И хотя ионы Mg has в принципе, могут возбуждать линию и 2800 Mg II флуоресцентным механизмом, однако ее интенсив-

ность, как было отмечено выше, будет крайне мала, несмотря на то, что полное число ионов Mg^{-s} на порядок больше числа ионов Mg^{-s} .

Очевидно, нам нужно раскрыть по мере возможности всю картину распределения атомов магния по состояниям ионизации. Для этого необходимо сперва вывести формулы ионизации магния, пользуясь обычным условием стационарности между числом актов фотононизации и числом актов рекомбинации. В результате найдем для формулы ионизации однажды ионизованного магния.

$$\frac{n}{n_*} n_* = W \frac{2z_0^* (\gamma^*)^* k}{c^* h} \frac{T_0}{\alpha^* (T_e)} e^{-h\gamma^* / kT_0}, \tag{7}$$

где $n'=n\left(\mathrm{Mg}^+\right)$ и n_1 — концентрации однажды ионизонанных и нейтральных атомов магния; x_0^+ — коэффициент пепрерывного поглощения нейтрального магния на частоте ионизации x_0^+ — x_0^+ (T_s) — коэффициент рекомбинации ионов магния с влектроном, T_s — температура центральной звезды: W — ковффициент дилюции.

Так же можно вывести формулу ионизации для дважды ионизованного магния:

$$\frac{n'}{n} n_{\bullet} = W \frac{2z_0 \cdot (r^{+})^2 k}{c^2 h} \frac{T}{a \cdot (T_{\bullet})} e^{-kr^{+}/kT}.$$
 (8)

Применим ати формулы в отношении IC 2149, для которой $T_{\rm e}=50000~{\rm K}~[2],~n_{\rm e}=3.2\cdot 10^3~{\rm cm}^{-3}~[7].$ Подставив также числовые эначения остальных параметров — все они, взятые из разных источников, собраны в табл. 1,— найдем из (7) и (8):

$$\frac{n}{n_1} = 0.4 \cdot 10^{14} \ W; \qquad \frac{n}{n'} = 0.2 \cdot 10^{14} \ W. \tag{9}$$

Пренебрегая числом атомов, находящихся в состоянии ионизации три раза и выше, можем написать для полного числа атомов магния 4, в единице объема:

$$n_1 + n^* + n^* = n_0. \tag{10}$$

Подставив сюда значения $n_1,\ n^2$ и $n^{*\,*}$ из (6) и (9), получим уравнение вида

$$aW^{2} - bW + 1 = 0, (11)$$

где единственным неизвестным является W — коаффициент дилюции. Находя отсюда числовое значение W, найдем затем с помощью (10) распределения атомов по состояниям ноинзации.

В нашем случае $a=8\cdot 10^{28},\ b=3.6\cdot 10^{16}.$ Этими данными найдем из (11): $W=4.5\cdot 10^{-11}.$ По сути дела, здесь попутно был предложен метод нахождения числовой величины фактора дилюции для планетарных туманностей с помощью эмиссионной линии ℓ 2800 Mg II.

 Tab_{Auga} / ИСПОАЬЗОВАННЫЕ АТОМНЫЕ ПАРАМЕТРЫ ДЛЯ Ма II и Са II

	1	M _X II	Ca II	Антература
4°F	e-1	1.85-1015	1.48-1015	[12]
75.0	e" l	3.66-1015	2.87-1015	4"
70	CM2	1.19-10	0.46 10	
α ₀ +	cm ²	0.24-10-18	0.14 10 18	
7'(Tr)	em2 e 2	1.26-10	0.08 10	[11, 12]
2 (Tr)	cm2-c-1	3.01.10-13	0.3 10 4	64
♀ (1, 2)		10.5	5.9	[18, 4]
£ 12	ъB	4.4	3.16	

Подставив найденное значение W в (9) и учитывая (6), найдем величины n_1/n_3 , n^*/n_0 , n^{**}/n_0 , то есть распределения атомов магния по состояниям ионизации; результаты поедставлены в табл. 2.

Таблица 2
РАСПРЕДЕЛЕНИЕ ОТНОСИТЕЛЬНОГО ЧИСЛА АТОМОВ
МАГНИЯ И КАЛЬЦИЯ ПО СОСТОЯНИЯМ ИОНИЗАЦИИ
В УСЛОВИЯХ ПЛАНЕТАРНОЙ ТУМАННОСГИ

	n ₁	n ₀	n no
Mg	2·10 ⁻⁴	0.10	0.90
Ca	6·10 ⁻⁸	0.00013	

Перейдем к кальцию. Эдесь картина, оказывается, иная. Дело в том, что лотенциалы ионизации кальция, скажем, на второй и третьей степенях, значительно меньше, чем потенциалы ионизации магния в тех же состояниях. Более определенно картина выглядит следующим образом:

	χ÷ (=B)	χ * · · (sB)	χ* + (nB)
Mg	7.6	15.0	83,1
Ca	6.1	11.0	50.9

Указанное обстоятельство приводит к тому, что практически все атомы кальция окажутся в высокононизованных состояниях — два, три и более раза. В результате количество однажды ионизованных атомов, возбуждающих Н и К линии Са II, может оказаться крайне небольшим.

Более конкретно распределение числа атомов кальция по состояниям ионизации можно найти с помощью тех же формул (7) и (8), но с подстановкой соответствующих числовых значений входящих в них параметроя для кальция, которые также приведены в табл. 1. При вычислениях в эти формулы вводится также найденное выше числовое значение W. В результате находим для кальция:

$$\frac{n}{n_1} = 7.5 \cdot 10^4; \quad \frac{n}{n} = 7.7 \cdot 10^4.$$
 (12)

Собственно говоря, в случае кальция нам следовало бы учитывать также населенность атомов в третьем ионизованном состоянии. Однако из-за отсутствия числовых данных, в частности, для 2_0^+ и 2 ($T_{\rm c}$), придется ограничиться рассмотрением баланса количества атомов, распределенных в трех состояниях; в этом случае мы найдем верхние пределы истинных значений отношений $n_1, n_6; n_1/n_0$ и n_1/n_0 .

Итак, написав условие типа (10) для кальция и используя (12), найдем в результате числовые значения $n_1 n_0$, n_1/n_0 и n_1^{-1}/n_0 ; они приведены в табл. 2.

Нас интересует величина n n_0 , и она, оказывается, в случае кальция примерно в 750 раз меньше, чем n n_0 для магния. Это значит, что при прочих разных условиях интенсивность дублета H + K Ca II должна быть в 750 раз меньше интенсивности лиции r = 2800 Mg II. В действичельности же отношение интенсивностей дублетов Ca II и Mg II зависит также от других величин и, прежде всего, от относительного содержания втих алементов, «силы ударов» Ω (1, 2) и пр. С учетом всех втих факторов мы будем иметь для отношения интенсивностей обонх дублетов:

$$\frac{E(2800)}{E(H + K Ca II)} = \frac{n (Mg)}{n (Ca)} \frac{b_{12}^{Mg}}{b_{12}^{Ca}} = \frac{u_{e}}{v_{Ca}}$$
 (13)

Но из третьего столбца табл. 2 имеем:

$$\frac{n (Mg)}{n (Ca)} = \frac{(n^{+}/n_{0})_{Mg}}{(n^{+}/n_{0})_{Ca}} = \frac{n (Mg)}{n (Ca)} = 750 \frac{n (Mg)}{n (Ca)}.$$
 (14)

где $n(\mathrm{Mg})/n(\mathrm{Ca})$ есть относительное универсальное содержание магиня и кальция; оно порядка 10-20. Подставив в (13) также числовые значения остальных параметров, найдем (при $T_a=12400~\mathrm{K}$):

$$\frac{E (2800)}{\mathcal{E}_1 H_{\perp} K C_{a}} \approx 700 \frac{n (Mg)}{n (Ca)}.$$
 (15)

Отсюда найдем, что уже при $n\left(\mathrm{Mg}\right)/n\left(\mathrm{Ca}\right)=10$ линии H и K Ca II должны быть в 7000 раз слабее линии +2800 Mg II или H . Ясно, что при таких условиях линии H и KCa II вообще не могут наблюдаться в спектрах планетарных туманностей.

При всей правдоподобности этого вывода, однако, мы не совсем уверены в правильности полученных количественных оценок. Главный источник сомнений мы видим в использованных нами числовых данных о коэффициентах рекомбинаций α (T_{\star}) и α (T_{\star}); как-то настораживает очень большая разница между значеннями этих параметров для магния и для кальция (табл. 1). По-видимому, найденные Тартером [11] значения этих коэффициентов для магния более правильны, чего нельзя сказагь без дополнительной проверки в отношении тех же величин для кальция, взятых нами из [12].

В пользу сделанного вывода об отсутствии линий Н и К Са II в спектрах планетарных туманностей говорят данные наблюдений. В спектрах семи планетарных туманностей (NGC 7027, 7662, 2022, 6864 и пр.) была обнаружена [13] очень слабая амиссионная лиция четырежды ионизованного кальция / 5309 [Са V], а в спектре всего одной планетарной туманности (NGC 7027) также линия / 6087 [Са V]. Был обнаружен еще след линии / 5615 [Са VII] в спектре NGC 7027. 11 ато все, чуо известио нам о кальции в туманностях. Эмиссионные лиции, принадлежащие, скажем, трехкратно или двукратно ионизованиому кальцию, в спектрах планетарных туманностей отсутствуют совсем.

В противоположность этому почти десять эмиссионных линии нейтрального магния и столько же линий однажды нонизованного магния были обнаружены в разных комбинациях в спектрах около двух десятков планетарных туманностей. Особо часто наблюдается линия / 4571 [Mg I] (она, будучи интеркомбинационной, подобна запрещенной), / 4562 [Mg I], / 3838 Mg I и пр., а также флуоресцентиые линии субординарных серий / 4481 Mg II (у шести планетарных туманностей), / 43:0 Mg II и пр.

Кстати, факт присутствия диний нейтрального магния в оптических спектрах многих планетарных туманностей делает весьма вероятным возбуждение еще одной резонансной линии, находящейся в ультрафиолете — 2852 Mg 1. Эта линия также числится в списке вмиссионных линий, обнаруженимх в коротковолновом спектре туманности IC 2149 [2], хотя приведенная там оценка ее относительной интенсивности кажется весьма приблизительной.

Таким образом, данные наблюдений находятся в согласни со сделанным выше выводом о странном на первый взгляд поведении линий Mg* с одной стороны, и линий Н и К Са II— с другой. Вместе с тем, такое поведение указанных линий следует считать характерным именно для планетарных туманкостей, имеющих в сврих центрах эвезду с очень высокой температурой.

На всего агого следует, одновременно, что ожидать возбуждение амиссионных линий Н и К Са II мы должны лишь у низковозбужденных туманностей, сяязанных с пизкотемпературными звездами. В первую очередь мы имеем в сиду обычные диффузные туманности. Так и есть на самом деле; очень сильные линии Н и К Са II, а также инфракрасные линии / 7291 [Са II], 78542 [Са II] были обилужены, например, в спектре одной диффузной туманности в Тельце под обозначением Т-1 [14]. Весьма сильные запрещенные линии ₹3933 Са II и / 3968 Са II были зафиксированы также в спектре такого заведомо инэковозбужденного объекта, каким является фбъект Хербига—Аро № 1 [15].

С повышением температуры центральной звезды или уменьшением фактора дилюции туманности, магний должен перейти на более высокие степени нонизации и тем самым сильно должно уменьшиться количество однажды понидованных атомов магния. В результате у высоковозбужденных планетарных туманностей линия / 2800 Mg II должна быть крайне слаба или должна отсутствовать вовсе. Возможно этим следует объяснить отсутствие этого дублета на коротковолновой спектрограмме, полученной путем ракетного запуска, тигично высоковозбужденной туманирсти NGC 7027 $(T_{\rm e} \sim 150\,000\,{\rm K})$ [9], хотя некоторая запутанность этой спектрограммы в области ~ 2900 А не позволяет сделать на этот счет однозначных выводов. По весьма приблизительным оценкам степень ионизации дважды ионизованного магния в туменности NGC 7027 должна быть на порядох выше, чем в туманности IC 2149. Соответственно ожидаемая интенсивность дублета 4 2800 Mg II в спектое NGC 7027 должна быть на проядок меньше его интенсивности в IC 2149. Отношение E (2800)/E (H₃) для IC 2149, с учетом влияния межавердного поглощения, порядка двух (при общем поглощении в фетографических лучах для этой туманности, равном 2 [2]). Поэтому мы должны иметь $E(2800)/E(H_{\odot}) \approx 0.2$ для NGC 7027. Действительно, чуть позднее, по наблюдениям IUE [19], дублет / 2800 Mg II весьма четко и в разделенном виде был зафиксирован в спектре этой туманности, причем с интенсивностью $E(2800)/E(H_\odot) = 0.3$ — в согласии с ожиляемой величиной.

Вслед за NGC 7027 и тем же путем (ракетный запуск) была получена спектрограмма другой высоковозбужденной туманности — NGC 7662 ($T_a \sim 100\,00\mathrm{J}$) [17]. Дублет k 2800 Mg II в ее спектре не был обнаружен. Имея горький эпыт с NGC 7027, атот результат мы не можем считать достоверным. Вообще-то следует задуматься над причинами возникновения значительных расхождений между ракетными акспериментами [9, 17], с

одной стороны, и IUE [19] — с другой, как по части отождествления эмиссконных линий, тах и определения их интенсивностей.

Наиболее счльные линии / 2800 Mg II, таким образом, следует ожидать у средне- и низковозбужденных планетарных туманностей (IC 2149 является средневозбужденной, с классом возбуждення 4).

Задача о возбуждении эмиссионной линии 4 2800 Mg II в хромосферах звезд средних и поздних классов и, в частности, вспыхивающих звезд была рассмотрена ранее [10]. Оказывается, и в звездных хромосферах эта линия возникает в результате неупругих электронных столкновений. Более того, она должна быть самой сильной эмиссионной линией в спектрах этих звезд, на порядок сильнее H₂ и сраннимой с L₁-водорода. Однако, в отличие от планетарных туманностей, в звездных хромосферах, наряду с эмиссионной линией 1 2800 Mg II, должны наблюдаться также линии H и K Ca II, что и имеет место на самом деле.

В заключение вернемся еще раз к упомянутым выше линиям 1 5309 [Ca V] и 1 6087 [Ca V]. Схема энергетических уровней и переходов этих и остальных линий четырежды ионизованного кальция показана на рис. 1.

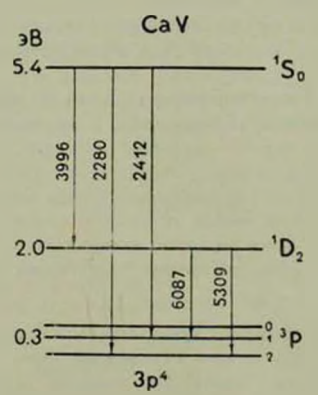


Рис. 1. Экергетические уровни четырехиратно конизованного кальция. Помазаны основной (3P) и ближойшие уровии $(^1D_3$ и $^1S_6)$.

Как видим, отношение интенсивностей линий D 5309 и 6087 A не зависит от числа ионов Са $^{-4}$ в возбужденных уровнях, оно зависит только от соответствующих коаффициентов спонтанных переходов. А числовые значения атих коаффициентов известны и равны: A (5309) = 1.9 c $^{-1}$ и A (6087) = = 0.43 с $^{-1}$ [16]. Поэтому будем иметь для теоретического значения отношения интенсивностей обекх линий:

$$\frac{E(5309)}{E(6087)} = 5.0. (16)$$

Между тем, наблюдения дают для NGC 7027 нечто страиное, а именно E(5309) = 0.47 и E(6087) = 1.15 [13], то есть E(5309)/E(6087) = 0.4 или, с учетом влияния межзвездного поглощения, E(5309)/E(6087) = 0.6 в обоих случаях на порядок (!) меньше теоретически ожидаемой величины (16). Расхождение столь велико, что нам даже трудно строить догадки относительно его причин. Если оно не есть результат случайной ошибки или опечатки, вкравшейся в [13], то приходится усомниться в «чистоте» самой линии / 6087 A в том смысле, что она могла бы быть блендирована эмиссионными линиями других атомов или ионов. Так или иначе, атот вопрос нуждается в рассмотрении.

Выводы. Анализ условий возбуждения эмиссионных резонансных лимий Mg II и Са II в планетарных туманностях приводит к следующим выводам.

1. Резонансный дублет однажды ионизованного магния / 2800 Mg II возбуждается путем неупругих электронных столкновения, а не флуоресценции, как это имеет место обычно в случае разрешенных амиссионных линий.

В теории свечения планетарных туманностей, как известно, все эмиссионные линии подразделяются на две группы, в зависимости от механизма их возбуждения. Первая группа — разрешенные линии, возбуждаемые путем флуоресценции. Вторая группа — запрещенные линии, возбуждаемые путем неупругих электронных столкновений. Теперь появляется третья группа эмиссионных линий, а именио, разрешенные линии, возбуждаемые как запрещенные, то есть путем неупругих электронных столкновений. Это является качествению новым для физики планетарных туманностей результатом.

- 2. В условиях планетарных туманностей среднего возбуждения может наблюдаться достаточно сильная эмиссионная линия / 2800 Mg II, сравнимая по интенсивности с линией Н водорода. При этом в самом возбуждении дублета иногда принимают участие не более 10% общего количества атомов магния в туманности. Дублет / 2800 Mg II в эмиссии должен быть особо сильным у диффузных туманностей (Орион, Трифид и пр.).
- 3. Эмиссионные линии Н и К СА 11 в условиях планетариых туманностей также возбуждаются путем неупругих электронных столкновений. Однако ожидаемая их интенсивность должна быть на 3—4 порядка меньше интенсивности линии Н или дублета / 2800 Mg II. Поэтому линии

H и K понизованного кальция практически вовсе не должны наблюдаться в спектрах планетарных туманностей.

Бюрананская астрофизическая обсерватория

ON EMISSION LINES OF Mg II AND Ca II IN PLANETARY NEBULAE

G. A. GURZADYAN

An analysis of the excitation of the resonance lines both of ionized magnesium (ω 2796 + 2803 Mg II) and calcium (ω 3934 + 3968 Ca II) in planetary nebulae is carried out. It is shown that these permitted lines are excitated not by the usual flourescence but by the same mechanism as the forbidden lines, that is by electron nonelastic collisions.

In principle the emission lines 22800 Mg II can be observed in medium excitated planetary nebulae (IC 2149) as well as in the diffuse ne bulae. These lines cannot be observed in the spectrum of hight excited planetary nebulae (NGC 7027, 7662).

The absence of the emission lines H and K Call in the spectrum of planetary nebulae also has its explanation: the predicted intensities of these lines are of 3-4 order smaller than the intensity of 2800 Mg II or H₁.

ЛИТЕРАТУРА

- 1. L. H Aller, Mem. Soc. R. Sci., Liego IV, 1961.
- 2. G. A. Gurzadyan, M. N., 172, 249, 1975.
- 3. L H Aller, J. E. Ross, Science, March. 26, 1976.
- 4. J. K. Vaz Blacksm. J. Phys. B: Atom. Mol. Phys., 3, 932, 1970.
- 5. G. A. Garzadyan, Planetary Nebulae, Gordon and Broach, N. Y., 1969.
- 6. J. B. Kaler, Ap. J., 160, 887, 1970.
- 7. D. E. Osterbrock, Ap. J., 131, 541, 1960.
- 8. L. H. Aller, I. S. Browen, R. Minkowski, Ap. J., 122, 62, 1955.
- 9. R. C Bohlin, P. A Martonni, T. P. Stecher, Ap. J., 202, 415, 1975.
- 10. G. A. Garaidyan, Astrophys. Space Sci., 52, 51, 1977.
- 11. C. B Tarter, Ap. J., 168, 313, 1971.
- 12. C. W. Allen, Astrophys. Quant. 3-th Ed. The Athlone Press, 1973.
- 13. J. B Kaler, Ap. J. Sappl. ser., 31, 517, 1976.

- 14. R. D. Schwartz, Ap. J., 191, 419, 1974.
- 15. K. H. Bohm, Ap. J., 123, 379, 1956.
- 16. R. H. Garstang, Planetary Nebulae, Simposium No. 34, Ed. D. E. Osterbrock and C. R. O'Dell, Dordrecht-Holland, 1968, p. 143.
- 17. R. C. Bohlin I. P. Harrington, T. P. Stecher, Ap. J., 219, 575, 1978.
- 18. P. O. Taylor . H. Duun, Phys. Rev., A, 8, 2304, 1973.
- 19. M. Grewing, A. Boksenberg, M. J. Seaton et al., Nature, 275, 394, 1978.

АКАДЕМИЯ НАУК АРМЯНСКОЙ ССР АСТРОФИЗИКА

TOM 15

АВГУСТ, 1979

выпуск з

УЛК 523.11

ЭВОЛЮЦИЯ ЭНТРОПИЙНЫХ ВОЗМУЩЕНИЙ В ПОСЛЕРЕКОМБИНАЦИОННУЮ ЭПОХУ. 1. ЛИНЕЙНАЯ СТАДИЯ

А. С. ЗЕНЦОВА, А. Д. ЧЕРНИН Поступила 26 денабря 1978

Рассматривается линейная стадия вволюции первичных антропийных возмущений в переходную вноху, гледующую за рекомбинацией, когда существенно гравитационнос влияние ультрарелятивистской компоненты метагалактической среды.

1. Взаимодействие вещества и излучения в горячей Вселениой прекращается в эпоху, характеризуемую красным смещением $z_{REC} = 1000$, когда происходит рекомбинация метагалактической плазмы. Приблизительно в ту же эпоху сравниваются между собой плотности этих двух компонентов среды; соответствующее красное смещение

$$z_{+} = \frac{\gamma_{0}}{\gamma_{0}} \simeq 10^{4} \Omega h^{3} \tag{1}$$

определяется совремсиными значениями средней плотности вещества \mathbb{R}^n и 3-градусного фона реликтовых фотонов \mathbb{P}^0_{ph} (эдесь Ω — космологический параметр плотности, h — постоянная $X_{a66,na}$, измеренная в единицах 50 км/с Мпс). При вероятном значении $\Omega=0.1$, на которое указывают как подсчеты галактик, так и анализ первичного нуклефсинтеза (см., например, [1,2]), и h=1 значения \mathbb{Z}_{n+1} и \mathbb{Z}_n совпадают. До сих пор не ясно, есть ли в этом совпадении нечто закономерное или оно а каком-то смысле случайно.

Кроме фотонов в горячей Вселенной должны иметься и другие реликтовые ультрарелятивистские частицы — нейтрино, а возможно и гравитоны. Плотность нейтрино \mathfrak{p}^0 (их температура около 2K) вдвое меньше

плотности фотонов; реликтовые нейтрино не могут пока регистрироваться непосредственно, и оценка их плотности делается на основе общей теории [1]. Что касается гравитонов, то для них возможность регистрации представляется еще более отдаленной и даже теоретическая оценка делается с большой неопределенностью: в принципе, нельзя исключить, что их плотность пренышает плотность фотонов или даже плотность вещества ρ_0 [2]. Полная плотность всех ультрарелятивистских частиц ρ_r (2) сравнивается с плотностью вещества $\rho(x)$ при красном смещении

$$z_{r} = \frac{z_{s}}{1.5 \cdot 1} = 6.9 \cdot 10^{4} i^{-1} \Omega h^{2}, \tag{2}$$

где γ — отношение полной плотности ультрарслятивистской компоненты p_i — p_{i+1} — p_i — $p_$

Ультрарелятивистская компонента метагалактической среды определяла при г г, общую динамику и геометрию Вселенной; вместе с тем она оказывала существенное влияние на локальные процессы в среде, управляющие эволюцией дозвездной, догалактической структуры Вселенной. Эта структура существовала на ранних стадиях космологического расширения в форме малых по амплитуде отклонений от однородности и изотропии в распределении и движении вещества. В линейном приближении возмущения такого рода распадаются, как известно [2—4], на три независимые моды: слабые погенциальные и вихревые движения и малые вариации энтропии. «Изначальные» вихри невозможны в изотропном мире [3, 5], а потенциальные (аднабатические) и энтропийные возмущения совместимы с асмилтотически полной изотропней мира при г — «.

2. В настоящей работе рассматриваются особенности аволюции возмущений антролийного типа. В условиях горячей Вселенной они представляют собой мамые по амплитуде флуктуации плотности плазмы на фоне однородного распределения ультрарелятивистской компоненты среды. В астрофизике такого рода возмущенное состояние среды впервые рассматривалось в работе [6], в космологии — в работе [7].

Эптропийные возмущения привлекают к себе особое внимание в связи с педавиим сообщением группы Парийского [8] о весьма жестких ограничениях возможных отклонений от изотропии реликтового радиофона. Верхний предел флуктуаций температуры можно представить, на основе этих данных, простой интерполяционной формулой

$$\frac{\delta T}{T} < 1.6 \cdot 10^{-4} (6')^{-1/2},\tag{3}$$

справедливой с хорошей точностью (не хуже 10%) для наиболее интересных угловых масштабов $5' < \emptyset < 20'$. Новые данные для еще меньших угловых масштабов, $2' < \emptyset < 5'$ (устное сообщение Парийского, 1978), также хорошо аппроксимируются атой формулой. Видимый угловой масштаб \emptyset связан с массой вещества M в области возмущения соотношением (см., например, [1,2])

$$\theta' = 10 \, \Omega^{2.7} M_{15}^{1.3}, \tag{4}$$

где $M_{10} = M/10^{13} \, M$. Оказывается [9], что только энтропийные возмущения, если им принадлежала главная роль в эволюции догалактической структуры, не противоречат этим наблюдениям: они столь слабо искажают реликтовый фон, что флуктуации остаются ниже наблюдательного порога (3). Сходный вывод получен затем и в работе [10] (для $\Omega \sim 1$).

Ниже мы рассмотрим эволюцию энтропийных возмущений в переходную эпоху, следующую за рекомбинацией, когда еще существенно гравитационное влияние ультрарелятивистской компоненты среды.

3. Неоднородности плотности плазмы, вмороженные в фон излучения, испытывают диффузионное расплывание лишь в относительно малых масштабах, которым соответствуют массы $M \lesssim 10~M_{\odot}$. Во всех больших масштабах диссипативные процессы несущественны для возмущений хакого рода, и исходный контраст плотности (14) в остается в энтропийных возмущениях неизменным вплоть до эпохи рекомбинации $z=z_{REC}=1000$. В эту раниюю эпоху $z>z_{REC}$ развиваются лишь "вторичные" потенциальные движения, усиливаемые гравитационной неустойчивостью в масштабах I(M), превосходящих расстояние до горизонта I(M). Можно видеть, что связанный с этим дополнительный контраст плотности среды возрастает по закону [9, 11]

$$\left(\frac{\delta \rho_r}{\rho_r}\right)_A = \frac{1}{2} b \left(\frac{M}{M_*}\right)^{1/3} \eta_i, \quad \left(\frac{\delta \rho}{\rho}\right)_A = \frac{3}{4} \left(\frac{\delta \rho_r}{\rho_r}\right), \quad z > z_1, \quad (5)$$

где $z_1=z_4\left(M/M_{\bullet}\right)^{1/3}$ — красное смещение в эпоху, когда $i=i_f=ct$, M— масса вещества в области возмущения, $M_{\bullet}=4$ 10^{18} 2^{-2} M_{\bullet} — масса вещества в пределах горизонта при $z=z_{\bullet}$, — безразмерное космологическое время, связанное с возрастом мира t и масштабным фактором метрики Фридмана a(t) (нормированным на массу M) соотношением $cdt=ad\eta$. Возмущение скорости в этих возмущениях не меняется со временем:

$$v_A = \frac{1}{4} cb \left(\frac{M}{M_*}\right)^{1/3} - \text{const.}$$
 (6)

Возмущение, описываемое формулами (5), (6), совпадает по временной зависимости с одной (промежуточной) из возможных мод малых потенциальных возмущений в ультрарелятивистской среде [3]: совпадает и лакон изменения соответствующих возмущений метрики, так что возможна такая комбинация вторичного потенциального возмущения (5), (6) и потенциального возмущения указанной моды, что (в первом порядке по отношению I_{II}) существует лишь исходный контраст плотности всщества, а вторичное возмущение плотности, скорости и метрики компенсировано [11]. «Компенсированные» энтропийные возмущения вписываются в изначально изотропный мир: возмущения же метрики, связанные с самим контрастом плотности (11), стремятся к нулю при $I \to 0$, $I \to 0$, I

Область возмущения с массой M становится прозрачной для реликтовых фотонов в ходе рекомбинации при красном смещении [12]

$$z = z_0 = 2 \cdot 10^4 [19 + \lg (\Omega^{1/2} M_{15})]^{-1},$$
 (7)

а при

$$z_3 = 10^{5}[1 - 0.1 \lg (0.2 \Omega^{-1})]$$
 (8)

прекращается и трение вещества об излучение. После атого вещество взаимодействует с излучением только гравитационно (вплоть до возможной вторичной ионизации вещества при малых z).

Отделение от излучения приводит к резкому падению джинсовой длины, так что гравитационная неустойчивость развивается теперь в масштабах $M>10^5-10^6\,M_\odot$; последнему неравенству удовлетворяют шаровые скопления, галактики, скопления галактик. Неустойчивость усиливает контраст плотности в исходных возмущениях и вместе с тем вызывает появление соответствующих возмущений скорости; так первоначальное внение соответствующих возмущений скорости; так первоначальное неропроийное возмущение порождает гидродинамические движения, способные — после дальнейшего усиления — привести к ударным волнам мясштаба галактик и скоплений галактик.

4. Развитие гравитационной неустойчивости происходит в основном в эпоху, когда плотность вещества превышает плотность ультрарелятивистской компоненты среды — фотонов, нейтрино, гравитонов: z < z,. Это, однако, не означает, что наличие такого фона (с которым возмущения вещества взаимодействуют лишь гравитационно) несущественно. В действительности сильное влияние ультрарелятивистского фона как на возмуще-

ния, так и на динамику космологического расширения продолжается не только до $z=z_* < z_{LEC}$, но и вплоть до

$$z = z_4 = \frac{1}{15} z_r$$
 (9)

Последнее непосредственно следует из точного решения уравнений фридмановской космологии для среды, состоящей из ультрарелятивистской (давление равно одной трети плотности внергии) и нерелятивистской (давление много меньше плотности внергии покоя) компонент. Для открытого мира ($\Omega < 1$) решение имеет вид [13]:

$$a(\eta) = a_m(\operatorname{ch} x - 1) + a_r \operatorname{sh} \tag{10}$$

$$ct(\eta) = a_{-}(\sinh \eta - \eta) + a_{+}(\cosh \eta - 1).$$
 (11)

Здесь α (η) — раднус кривизны мира, совпадающий (с точностью до неопределенного постоянного коэффициента) с масштабным фактором метрики Фридмана: безразмерный параметр η играет ту же роль, что и, например, в формуле (5), а константы α_n и α , отражают вклад вещества и излучения и связаны с современными значениями их плотностей:

$$\alpha_m = \frac{1}{2} \left(\frac{3}{x} \right)^{\frac{1}{2}} \frac{\rho_0}{\rho_e^{332}}, \qquad \alpha_r = \left(\frac{3}{x} \right)^{\frac{1}{2}} \frac{(\rho_e^0)^{\frac{1}{2}}}{\rho_e}, \qquad \kappa = \frac{8 \pm G}{c^2}$$
 (12)

 $(
ho_{\rm c} = 5 \cdot 10^{-10} \, h^2 \, {\rm r/cm^3 - } {
m Tekywas} \, {
m критическая} \, {
m плотность}).$ Кооме того

$$p = \frac{6}{x} \frac{a_{-}}{a^{3}}, \qquad p_{c} = \frac{3}{x} \frac{a_{c}^{3}}{a^{4}}. \tag{13}$$

При 7 < 1 решение (10)—(11) принимает вид

$$a(\eta) = \frac{1}{2} a_m \eta^2 + a_s \eta_s \tag{14}$$

$$ct(\tau_i) = \frac{1}{6} \alpha_n \tau_i^3 + \frac{1}{2} \alpha_n \tau_i^3$$
 (15)

соответствующий— в согласни с общими свойствами модели Фридмана параболической динамике расширения. Моменту 3 = 1 отвечает красное смещение

$$z(\eta = 1) = 42^{-1} \tag{16}$$

н возраст мира

$$t(n = 1) = 0.1 \,\Omega t_0, \tag{17}$$

где $t_0 = 18$ мард. лет — современный космологический возраст (для h=1). В соотношениях (14) и (15) ультрарелятивистский член преобладает над нерелятивистским соответственно при

$$\eta > \eta_4 = 2 \frac{a_r}{a_r} \text{ is } \eta > \eta_0 = 3 \frac{a_s}{a_s}$$
 (18)

Значения красного смещения для $\gamma = \gamma_4$ и $\gamma_1 = \gamma_5$ находятся по общей формуле

$$1 + z = \frac{a_b}{a(x)}, \quad (19)$$

где

$$a_0 = a(t_0) = \left(\frac{3}{x} \frac{a_r^2}{b_x^2}\right) = \left(\frac{3}{x_0}\right)^{1/2}$$
 (20)

— современный радиус кривизны мира. Так как, согласно (12), (20).

$$a_m = \frac{1}{2} a_0 \Omega$$
, $a_r = a_0 \left(\frac{P_0^2}{2}\right)^{1/2}$. (21)

то из (15), (18) имсем

$$a(z_4) = 2a_r \eta_4 = 4 \frac{a_r^2}{a_r}, \quad a(z_5) = \frac{5}{2} a_r \eta_4 = \frac{15}{2} \frac{a_r^2}{a_r}.$$
 (22)

Тогда (и при $\Omega = 0.1, \gamma = 1, h = 1)$

$$1 + z_4 = \frac{1}{8} \frac{z_0}{z_0^0} = \frac{1}{8} z_0 \approx 100, \tag{23}$$

$$1 + z_5 = \frac{1}{15} - \frac{\rho_0}{\rho_0^2} = \frac{1}{15} z_r \approx 50.$$
 (24)

Ультрарслятивистская компонента метагалактической среды доминирует, как видим, в динамике общего космологического расширения не только в условиях, когда она преобладает по плотности над веществом, но и в существенно более поэдиюю впоху. Это определяет в свою очередь и специфику развития гравитационной неустойчивости в переходную эпоху $z_3 > z > \varepsilon_4$. Решение Лифшица [3] неприменимо буквально (оно учитывает лишь одну из компонент среды), и можно ожидать, что присутствие ультрарелятивистского фона, не участвующего в гравитационной неустойчивости, должно замедлять развитие последней. Такой вывод получен в

работе [14] для картины потенциальных возмущений в результате численного решения задачи на основе решения (10)—(13) в случае $a_r = a_m$, когда это решение существенно упрощается [15].

5. Для картины исходных антропийных возмущений такой аффект также, очевидно, должен иметь место, и инже мы оценим (не ограничиваясь предположением $a_r = a_m$) величину контраста плотности и собственной скорости среды, достигаемых к моменту $z = z_4$. До атого момента, которому отвечает возраст мира

$$t_4 = 10 \,\Omega^{-2} \left(\frac{\rho_r^0}{\rho_c}\right)^{3/3} t_0 \simeq 10^{-3} t_0,$$
 (25)

с хорошей точностью применимо, согласно сказанному выше, приближенное решение для динамики расширения

$$a(t) = (2a_r ct)^{1/2},$$

$$p_r = \frac{3}{32\pi Gr^2}, \quad p = p_0 \left(\frac{p_r}{p_r^2}\right)^{3/4},$$
(26)

определяемое ультрарелятивистской компонентой среды. Что же касается возмущений, то, по методу [16], их поведение можно изучить, считая область возмущения однородной сферой радмуса R(M,t) в которой плотность вещества отличается от средней на малую пеличину $\mathcal{P}(M,t) = \ell(t)$. Временное поведение возмущений, которым мы интересуемся, в линейном приближении по $\mathcal{P}(M,t) = \ell(t)$ не зависит, как известно, от геометрии области возмущения, так что результат, полученный применением атого простого приема, справедлив и в общем случае.

Уравнение для изменения со временем радиуса сферы R(M,t), то есть уравнение движения, определяется при $z < \epsilon$, одной лишь гравитацией; оно учитывает только гравитирующую массу, заключенную в объеме области возмущения, M_G , и имеет ньютоновский вид

$$\bar{R}(M, t) = -\frac{GM_G}{R^2} = -\frac{4\pi}{3}G[p(M, t) + 2p_r]R(M, t), \quad (27)$$

где плотность әнергин ультрарелятивистской компоненты входит удвоенной, так как аффективная гравитирующая масса M_G и плотность, $\rho_{ett}=\rho_e+3\rho_e/c^2$, определяются не только плотностью, но и давлением $\rho_e=\rho_ec^2/3$. В возмущениях, размер которых меньше расстояния до горизота (что во всяком случае справедливо для масштабов галактии и скоплений), ультрарелятивистская компонента остается невозмущенной, так что ее плотность ρ_e изменяется в (27) по соогношению (26) при $z>z_e$.

Варьнруя в (27) плотность и радиус, а затем исключая невозмущенные величины, находим

$$^{4}K = -\frac{G^{5}M}{R^{2}} - \frac{G^{5}M_{c}}{R^{2}} + \frac{2G(M+M_{c})}{R^{2}} \frac{^{5}R}{R}.$$
 (28)

Здесь

$$\frac{\partial M_i}{M_c} = 3 \frac{\partial R}{R}, \qquad M_c = \frac{8\pi}{3} \sigma_c R^3. \tag{29}$$

Величина ${}^{7}M$ связана с исходным контрастом плотности в первичном витропийном возмущении:

$$b = \frac{\delta M}{M}. (30)$$

Учитывая, что извозмущенный ради ус $R \sim t^{1/2}$ (см. (26)), имеем

$$\delta R = -\frac{GMb}{R^2(z_*)} \frac{t_*}{t} - \frac{1}{4} \frac{\delta R}{t^*}.$$
 (31)

Интегрирование дает решение

$$\delta R = A \left(\frac{t}{t_3}\right)^{1/2} + B \left(\frac{t}{t_3}\right)^{1/2} \ln \left(\frac{t}{t_3}\right) - C \left(\frac{t}{t_3}\right)^{\alpha}$$
(32)

где

$$C = 4 \frac{GMbt_3^2}{R^2(z_1)},\tag{33}$$

а константы A и B находятся из условий для радиуса шара и его производной по времени при $z=z_0$:

$$\delta R = \delta R (z_3),
\delta \dot{R} = v(z_3).$$
(34)

Значение неличин ${}^{0}R(z_{3})$ и $v(z_{3})$ для "некомпенсированных" энтропийных возмущений можно оценить по формулам (5), (6). Так как для галактик и скоплений масса M M_{a} , возмущения радиуса и скорости, соответствующие вторичным адиабатическим возмущениям, таковы, что относительные величины ${}^{0}R/R$ и ${}^{0}R/R$ малы по сравнению с b при $z=z_{1}$, когда применимы формулы (5), (6). При $z_{1}=z>z_{2}$ вторичные адиабатические возмущения имеют характер акустических колебаний с той же амплитудой R и v, а при $z_{2}>z>z_{3}$ действует трение об излучение, уменьшающее эти величины в масштабах [17]

$$M < M_D \simeq 5 \cdot 10^{12} \, 2^{-7.3} \, M_{\odot}$$
 (35)

При $\Omega=0.1$ последнее условие выполняется для галактик и даже скоплений. Поэтому при z=z, во всяком случае ${}^{2}R$ R 2 b, vt/R 2 b, и с достаточной точностью можно считать в (34), что ${}^{3}R$ (z_{3}) = v (z_{3}) = 0. С не меньшей точностью последчее применимо, очевидно, и к "компенсированным" энтропийным возмущениям. Тогда

$$A \simeq C$$
, $B \simeq \frac{1}{2} C$. (36)

На (32), (35) находим понедение относительного возмущения плотности

$$\frac{z_0}{z} = b - 3 \frac{z_R}{R} = b + \frac{3C}{R} \left(\frac{t}{t_3} \right)^{1/2} \left[\left(\frac{t}{t_3} \right)^{1/2} - \frac{1}{2} \ln \left(\frac{t}{t_3} \right) - 1 \right]$$
 (37)

и скорости

$$v = \delta \dot{R} = \frac{C}{t_b} \left[\left(\frac{t}{t_b} \right)^{-1/2} \left(1 + \frac{1}{4} \ln \frac{t}{t_b} \right) - 1 \right]$$
 (38)

 ${\cal U}_3$ (38) следует, что скорость, равная нулю при $t=t_3$, далее раслет по абсолютной величине и при $t>t_3$ выходит на постоянное значение

$$v(z_i) = \frac{C}{t_3} = 4 \frac{GMt_3}{R^2(z_i)} b = 4 \frac{GMt_3}{R^2(z_i)} - b = \frac{2}{3} v_H(z_i) b.$$
 (39)

 $\mathbf{3}_{A}$ есь $\mathbf{v}_{R}(z_{4})=$ хаббловская скорость при $z=z_{4};$ учтено также, что (при $\Omega=0.1,\ \gamma=1,\ h=1)$

$$\frac{t_1}{t_2} = \left(\frac{1+t_2}{1+t_4}\right)^2 \simeq 100,$$
 (40)

и для $t>t_{\rm a},\ z< z_{\rm a}$ использовано космологическое решение без учета излучения:

$$R \sim t^{10}, \quad \rho \sim t^{-2}, \quad z \leq z_1,$$
 (41)

Как видно из (37) и (40), контраст плотности возрастает за время от z_3 до z_1 приблизительно на порядок. Это заметно более медленный рост, чем по закону [3] $\sim \sim (1+z)$, справедлиному в отсутствие фона ультрарелятивнетской компоненты метагалактической среды. Из сопоставления величин $(2/2)_2$ и $(2/2)_2$ следует, в частности, что к моменту $z=z_1$ скорость собственных движений среды, порождаемых гравитационной неустойчивостью, не успевает еще достичь значения $z=z_1$ (2012), характерного для растущих потенциальных нозмущений:

$$v \approx 0.1 \, v_{ij} \frac{\delta \rho}{\rho}, \quad z = z_{ij} \tag{42}$$

6. Дальнейшее развитие возмущений в впоху, когда роль ультрарелятивистской компоненты среды становится несущественной.

✓ с. происходит по закону [18]:

$$\frac{t_0}{t_0} = A_1 t^{2.3} + A_2 t^{-1},$$

$$v = B_1 t^{3.3} + A_2 t^{-4.3}.$$
(43)

где константы A, B определяются из условий при $z=z_4$. Соотношения (43) применимы, пока космологическое расширение еще можно считать параболическим, то есть при z=z ($\tau=1$) $\simeq 42^{-1}$ (см. (16)). Затем усиление малых возмущений замедляется и, наконец, полностью прекращается [3], когда расширение переходит в инерциальный режим:

$$R \sim t$$
, $p \sim t^{-3}$, $z < 0.4 \, \Omega^{-1}$. (44)

Следовательно, еще до этого должны быть достигнуты немалые значения локальной скорости возмущений, близкие к величине хаббловской скорости в том же масштабе и сравнимые с единицей значения относительной неоднородности плотности. Усиление возмущении до этого уровия переводит их эболюцию в нелинейный режим, для которого характерно прежде всего возникновение разрывных гидродинамических потоков массы в масштабах галактик и скоплений.

В следующей работе этого цикла мы проанализпруем некоторые черты нелинейной стадии развития энтропийных возмущений и кратко обсудим на этой основе возможную космогоническую схему, в которой первичным энтропинным позмущениям принадлежит ведущая роль.

Физико-технический институт им. А. Ф. Иоффе АН СССР

THE EVOLUTION OF ENTROPY PERTURBATIONS AT THE POST-RECOMBINATION EFOCH. I. THE LINEAR STAGE

A. S. ZENTSOVA, A. D. CHERNIN

The linear stage of the evolution of primordial entropy perturbations is studied at the transitional epoch just after recombination when gravitational effect of the ultrarelativistic component of the cosmic medium is still essential.

[•] Малым изменением величии в промежутие в можно пренебречь.

ЛИТЕРАТУРА

- 1. П. Пибле. Физическия космология. Мир. М., 1975.
- 2. Я. Б. Зельдович. И. А. Новиков. Строение и вволюция Вселенной. Наука. М., 1976.
- 3. E. M. Audique, XOTO, 16, 587, 1946.
- 4. Л. Э. Гурсвич. А. Д. Чернин, Введение в космогонию, Наука. М., 1978.
- Л. М. Оверной. А. Д. Чернин, Астрон. ж., 44, 1131, 1967; 45, 1137, 1968.
- 6. Л. Э. Гурсвич. Вопросы космогонии, 2, 151, 1954.
- 7. Я. Б. Зельдович, УФН, 89, 647, 1966.
- 8. Ю. Н. Парийский, З. Е. Петров, Л. Н. Чертков, Письма АЖ, 3, 483, 1977.
- 9. А. С. Зенцова, А. Д. Чернин, Письма АЖ, 3, 488, 1977.
- 10. А. Г. Дорошкевич, Я. Б. Зельлович, Р. А. Сюнясв, Препринт ИПМ, № 110, 1977.
- 11, Г. В. Чибисов, Астрон. ж., 49, 74, 286, 1972.
- Ya. B. Zeldovich, R. A. Sunyaev, Astrophys. Space Sci., 4, 301, 1969; 6, 358, 1970.
- 13. А. Д. Чернин, Астрон. ж., 42, 1124, 1965.
- 14. M. Gyout, Yo. B. Zeldovich, Astron. Astrophys., 9, 227, 1970.
- 15. A. D. Chernin, Nature, 220, 250, 1968.
- 16. Ya. B. Zeldoritch, Adv. Astron. Astrophys., 3, 241, 1965.
- 17. Г. В. Чибисов, Диссертации, ФИАН, 1972.
- 18. Л. П. Грициук, Я. Б. Зельдович. Астрон. ж., 55, 209. 1978.

АСТРОФИЗИКА

TOM 15

АВГУСТ, 1979

выпуск з

Y.1K 523,035.2

РАСЧЕТ СПЕКТРА ИНТЕГРАЛЬНОГО УРАВНЕНИЯ ПЕРЕНОСА ИЗЛУЧЕНИЯ. II. ПЛОСКИЙ СЛОЙ КОНЕЧНОЙ ОПТИЧЕСКОЙ ТОЛІДИНЫ

Д. Н. НАГИРНЕР Поступила 15 декабря 1978

Предлагается итерационный метод расчета спектра интегрального уравнения "Фредгольма с ядром, зависящим от модуля разности аргументов и представимого в виде суперпозиции икспонент. Собственные функции выражены через вспомогательные функции, определяемые уравнением, которое удобно решать итерациями На частных случаях ядер и предельных случаях соотношения между длиной промежутка интегрирования то информацие обственного числа показано, что уже излевое приближение дает корошую точность. Для асминтотически степенного ядра получены уравнения, описывающие асминтотическое поведение спектра при то то Произведен расчет для двух показавтелей степени.

1. Преобразование Лапласа собственной функции. В этой второй части работы мы изучим решения уравнения

$$S_n(\tau, \tau_0) = \frac{r_n(\tau_0)}{2} \int_0^t K(|\tau - \tau|) S_n(\tau', \tau_0) d\tau', \tag{1}$$

тде, как и в первой части [1],

$$K(z) = \int_{0}^{b} A(y) e^{-y} dy.$$
 (2)

Формулы из [1] мы, как правило, повторять не будем, а при ссылке будем ставить впереди номера формулы римскую цифру I.

На симметричности ядра уравнения (1) следует, что с. ф. S_n (z_n z_n) либо четные, либо нечетные относительно середины промежутка $[0, z_n]$:

$$S_n(\tau_1 - \tau_2, \tau_3) = (-1)^n S_n(\tau_1, \tau_2).$$
 (3)

Введем пресбразование Λ апласа от с. ф. S_n (\P , \P_0) по конечному промежутку

$$\overline{S}_n(p, z_0) = \int_{0}^{\infty} e^{-pz} S_n(z, z_0) dz.$$
 (4)

На свойства чегности с. ф. (3) вытекает, что

$$S_{\bullet}(-p,\tau_0) = (-1)^n \cdot S_{\bullet}(p,\tau_0). \tag{5}$$

Применим преобразование Лапласа на конечном промежутке $[0, \tau_0]$ к уравнению (1) и используем формулы (2) и (5). Тогда получим линейное уравнение для $\overline{S}_n(p, \tau_0)$

$$[1-i_n U(p)] S_n(p,\tau_0) = -s_n(-p,\tau_0) - (-1)^n e^{-p\tau_0} s_n(p,\tau_0), \qquad (6)$$

где введено обозначение

$$s_{\kappa}\left(\rho,\,\tau_{0}\right) = \frac{\lambda_{\kappa}\left(\tau_{0}\right)}{2}\int_{0}^{b}A\left(y\right)S_{\kappa}\left(y,\,\tau_{0}\right)\frac{dy}{y+\rho}.\tag{7}$$

Уравнение (6) при p из промежутка [a,b] является сингулярным интегральным уравнением не характеристического типа и не допускает точного аналитического решения в явном виде. Оно может быть регуляриаовано, то есть сведено к уравнению Фредгольма методами теории сингулярных уравнений (см., например, [2,3]). Однако линейные интегральные уравнения, встречающиеся в теории переноса, и, в частности, уравнение (6) являются специфическим типом уравнений, их можио рассматривать на всей комплексной плоскости p. Регуляризации уравнения (6) можно достичь без обращения к теории сингулярных уравнений. При этом нам понадобятся аналитические свойства функции H(1/p,h), изложенные в первой части работы [1]. Этот метод решения применим и при h < 1, и к неоднородным уравнениям, нужно лишь, чтобы свободный член был аналитической функцией p.

В следующем разделе мы выразим с. ф. $S_n(\tau,\tau)$ через вспомогательную функцию $s_n(p,\tau_0)$, для которой будет получено несингулярное линейное интегральное уравнение.

2. Уравнения для вспомогательной функции. Множество с. ч. $I_n(\tau_0)$ уравнения (1) лежит внутри промежутка $[1/V(0), -\tau]$. При $\tau_0 \to \infty$ с. чесгущаются и при $\tau_0 = \infty$ заполняют весь промежуток. Положим, как и для непрерывного спектра в первой части,

$$\lambda_n(\tau_0) = 1/V(u_n(\tau_0)).$$
 (8)

С. ч. 🛵 и величины и связаны однозначно.

Из уравнения (б), положин в нем $p=\pm iu_n$ и учтя (8), получим соотношение между значениями вспомогательной функции $x_n (\pm iu_n, \tau_0)$:

$$s_n(iu_n, \tau_0) = (-1)^{n+1} e^{iu_n \tau_0} s_n(-iu_n, \tau_0)$$

= $s_n^0(\tau_0) \exp\{i[u_n \tau_0 - \tau(n+1)]/2\},$ (9)

где введена величина $s_n^*(\tau_0)$. Она определяется условием нормировки с. ф. (см. ниже) и ее можно считать вещественной.

Теперь вынедем уравнение для $s_n(p, \tau_0)$. Для этого заменим в уравнении (6) p на -p, затем умножим его на $H(1/p, \lambda_n)/p$ и напи шем формулу Коши при Re p>0 для функции $H(1/p, \lambda_n) s_n(p, \tau_0)/p$, взяк в качестве контура интегрирования мнимую ось с обходом полосов H-функции справа:

$$\frac{1}{p}H\left(\frac{1}{p},\lambda_{n}\right)s_{n}\left(p,\tau_{0}\right) = \frac{1}{2\pi i}\int_{-l\infty}^{l\infty}\frac{dp'}{p'-p}\left[\frac{p'}{p'^{2}+u^{2}}\frac{\overline{S}_{n}(-p',\tau_{0})}{H(-1/p',\lambda_{n})} + (-1)^{n}H(1/p',\lambda_{n})e^{ip'\tau_{0}}s_{n}(-p',\tau_{0})/p'\right].$$
(10)

Эдесь использовано уравнение (6), а при написании первого слагаемого в квадратных скобках — соотношение (1.15). Легко убедиться, что интеграл от этого слагаемого равен нулю, так как подынтегральная функция регулярна в левой полуплоскости, включая миниую ось, то есть слева от контура интегрирования. Во втором же интегралье контур интегрирования деформируем к линии ветвления — отрезку вещественной оси $\{-b, -a\}$ ваяв вычеты в полюсах H-функции. Пользуясь формулами (9), а также (1.5), (1.15) и (1.19), получим искомое уравнение

$$\frac{1}{p}H\left(\frac{1}{p}, i_{n}\right)s_{n}(p, z_{0}) = \frac{C_{0}}{u_{n}}s_{n}^{0}\frac{u_{n}\cos r_{n} + (-1)^{n-1}p\sin r_{n}}{u_{n}^{2} + p^{2}} + (-1)^{n}\int_{-H(1/y, i_{n})}^{\Phi}\frac{R(y, i_{n})}{y^{2} + u_{n}^{2}}\frac{y}{y^{2} + u_{n}^{2}}e^{-y}+s_{n}(y, z_{0})\frac{dy}{y + p}.$$
(11)

Здесь введено обозначение

$$r_n = (-1)^{n+1} \left[u_n \tau_0 / 2 + u_n \tau_0 (u_n) - \pi (n+1) / 2 \right], \tag{12}$$

 $R\left(y,I\right)$, $\tau_{s}\left(u\right)$ и C_{0} даются формулами (1.23), (1.21) и (1.20). Величину r_{s} можно выразить и через функцию $s_{s}\left(p,\tau_{0}\right)$. \mathcal{A} ля этого умножим

ураннение (11) на p и устремим p к бесконечности. Так как H(0, 1) = 1, а $s_n(\infty, \tau_0) = 0$, то

$$\sin r_n = \frac{u_n}{C_n} \frac{1}{s_n^0} \int \frac{R(y, \lambda_n)}{H(1/y, \lambda_n)} \frac{y du}{y^2 + u_n^2} e^{-y_n} s_n(y, \tau). \tag{13}$$

При помощи (13) уравнение (11) можно записать в несколько другой форме, которая удобнее при больших *р*:

$$H\left(\frac{1}{p}, \lambda_{n}\right) s_{n}\left(p, \tau_{0}\right) = C_{0} s_{n}^{0} \frac{p \cos r_{n} - \left(-1\right)^{n+1} u_{n} \sin r_{n}}{p^{2} + u_{n}^{2}} - \left(-1\right)^{n} \int_{H\left(1/y, \lambda_{n}\right)}^{x} \frac{R\left(y, \lambda_{n}\right)}{y^{2} + u_{n}^{2}} \frac{y^{2}}{y^{2} + u_{n}^{2}} e^{-y^{2}} s_{n}\left(y, \tau_{n}\right) \frac{dy}{y + p}$$

$$(14)$$

Уравнения (11) (или (14)) и (12) полностью определяют с. ч. и вспомогательные функции $s_n(y,\tau_0)$. Для их решения можно применить итерации. Из (13) по s_n находим r_n , затем из (12) по r_n определяем u_{n_1} а из (11) получаем следующее приближение для s_n . Итерационные процедуры для каждого n выполняются независимо. В качестве начального приближения можно взять $s_n = 0$.

Найдя u_n , а значит i_n и $s_n(y, \tau_0)$, можно вычислить и с. ф. Действительно, напишем формулу обращения преобразования Лапласа и подставим вместо S_n его выражение из (6),

$$S_n(\tau, \tau_0) = \frac{1}{2\pi i} \int_{-i\infty}^{i\infty} \overline{S}_n(p, \tau_0) e^{pt} dp =$$

$$= -\frac{1}{2\pi i} \int_{-i\infty}^{i\infty} \frac{dp}{1 - \lambda_n U(p)} \left[e^{p^*} s_n (-p, \tau_0) + (-1)^n e^{a(\tau_0 - 1)} s_n(p, \tau_0) \right]. \tag{15}$$

В силу соотношения (9) подынтегральная функция во втором интеграле в (15) непрерывна на мнимой осн. Деформируем контур интегрирования. Для первого слагаемого в квадратных скобках преобразуем контур налево к линии ветвления функции U(p)—отрезку [-b, -a], а для второго слагаемого — направо, к линии ветвления [a, b]. Такие преобразования контура законны при $0 \ll 1 \ll 10^{-6}$. У одного из слагаемых надо взять вычеты в полюсах $\pm iu_n$. Приняв во внимание соотношение (9), получим

$$S_{n}(\tau_{n},\tau_{0}) = s_{n}^{0} \frac{C_{0}^{2}}{\overline{u}_{n}} \sin \left[u_{n} \left(\tau - \frac{\tau_{0}}{2} \right) + \pi \frac{n+1}{2} \right] - \int_{0}^{h} R(y, t_{n}) s_{n}(y, \tau_{0}) \left[e^{-y^{n}} + (-1)^{n} e^{-y(\tau_{0}-1)} \right] dy.$$
 (16)

Для $S_n(0, \tau_0)$, кроме следующего из (16), можно получить и другое выражение. Для этого умножим (14) на p и устремим затем p к бесконечности. Учтя, что $p_{S_n}(p, \tau_0) \rightarrow S_n(0, \tau_0)$ при $p \rightarrow \infty$, найдем

$$S_n(0, z_0) = C_0 s_n^0 \cos r_n - (-1)^n \int_0^{\delta} \frac{R(y, z_0)}{H(1/y, z_0)} \frac{y^2}{y^2 + u_n^2} e^{-y} s_n(y, z_0) dy.$$
 (17)

Из полученных уравнений определяются лишь $s_n(p, \tau_0)/s_{n-H}$ $S_n(\tau, \tau_n)/s_n$. Множитель $s_n(\tau_0)$, как уже говорилось, необходимо найти из условия нормировки.

Теперь обсудим полученные результаты и рассмотрим частные случаи.

3. Обсужление результатов. Частные случаи. Уравнения (11), (12), (13) и (16) для ядра — интегро-экспоненциальной функции

$$K(z) = E_1(z) = \int_{0}^{\infty} e^{-yz} dy y$$
 (18)

были получены методом Кейза в связи с задачей критичности теории переноса нейтронов (см. [4]). При этом уравнения и соотношения, выведенные для $0 < i \le 1$, формально распространялись на i > 1. Как уже отмечалось в первой части [1], это возможно не для всех ядер вида (2), хотя для λ на спектре уравнения во всех случаях похожи. Наш вывод основаи на применении традиционного для ленинградской школы теории переноса излучения метода преобразования Лапласа [5, 6].

Обычно с. ч. и с. ф. линейных уравнений рассчитывают при помощи вариационных методов (см., например, [7, 8]). При этом, как правило, с ростом номера с. ч. n расчеты становятся все труднее, а точность их синжается. Поэтому большое значение имеют асимптотические формулы при $n \to \infty$. Когда в уравнении (1) τ_0 велико, с. ч. с близкими номерами мало отличаются и важно знать их асимптотики при $\tau_0 \to \infty$. Обзор асимптотических результатов для спектра уравнения с разностным ядром дается в [9].

Для уравнения (1) с ядром вида (2), как мы видим, оказалось возможным предложить способ точного расчета спектра, например, методом последовательных приближений. При этом уже начальное приближение

дает хорошие асимптотические результаты. В этом приближении \mathcal{I}_n (через u_n) определяется уравнением

$$u_n(\cdot_0)[\tau_0 + 2\cdot_o(u_n(\tau_0))] = \tau(n+1).$$
 (19)

В этом же приближении $S_n(\tau,\tau_0)$ равно внеинтегральному члену в (16). Для того, чтобы продемонстрировать хорошую точность начального приближения, рассмотрим частные случаи ядер и предельные соотношения между τ_0 и n.

- а) Для $K(\tau) = e^{-\tau}$ функции $V(u) = 1/(1+u^{\tau})$, ... arctg u u, а уравнение (19) является точным при всех τ_0 и n [5]. Это ядро описывает монохроматическое рассеяние в одномерной среде.
- 6) При a>0 и * уравнение (19) дает с погрешностью порядка e^{-a} . С той же точностью с. ф. S_a (* $*_a$) можно принять равной инеинтегральному слагаемому в (16). Как нидно из уравнений (11) и (13), неличина e^{-a} определяет и скорость сходимости итераций.

в) Если
$$n \gg 1 + \tau_0$$
 ($\tau_0 - \lambda$ юбое), то из (19) следует, что $\lambda_n \sim 1/V(\pi (n+1)/\tau_0)$, (20)

что показано в [10].

г) Если при $u\to +0$ выполняется $1-V(u)=V_0u^*+O(u^{1+})$, где V_0 и c>0 — постоянные, то, как легко заметить из формулы (1.21), $\tau_a(0)$ — конечное число

$$\tau_{u}(0) = \frac{1}{\pi} \int \ln \frac{V_{u} u^{4}}{1 - V(u)} \frac{du}{u^{4}} = \frac{1}{\pi} \int \left| \frac{2}{u} + \frac{V'(u)}{1 - V(u)} \right| \frac{du}{u}. \tag{21}$$

Тогда из (19) следует, что при $z_0 \gg n+1$ и любых n

$$\lambda_n = 1 \sim V_0 \left[\pi \frac{n+1}{\tau_0 + 2\tau_s(0)} \right]^2 \sim V_0 \left(\pi \frac{n+1}{\tau_0} \right)^2 \left[1 - 4 \frac{\tau_s(0)}{\tau_0} \right].$$
 (22)

Такое представление λ_n было получено в [11]. В частности, для ядра (18) $V'(u) = \arctan u/u$, а $\tau_v(0) = 0.710446...$ постояния Хопфа [4-6].

Более подробно рассмотрим случай, представляющий интерес для теории рассеяния с спектральной линии. Для него были получены асимптотики основных функций и в первой части [1], которыми мы здесь и воспользуемся. 4. Асимптотики при $\tau_0 \rightarrow \infty$. Пусть теперь при $u \rightarrow 0$,

$$1 - V(u) \sim V_0(u) u^{-1}, \tag{23}$$

где $0<\tau<1$, а $V_0(u)$ — медленно меняющаяся функция. Если $\tau_0\to\infty$, а n закреплено, то $u_n\tau_0$ стремится к конечной величине, обозначим ее v_n . Примем a=0, $b=\infty$, а A(y) и остальные функции равными сноим асимптотикам при $u\to 0$ (см. (1.40)-(1.45)). Подставив эти асимптотики в уравнения (11), (13) и (16), получим, что $s_n(u_n t, \tau_0) \sim \infty$ (τ_0) $s_n(t)$, а величины v_n и $s_n(t)$ определяются уравнениями

$$v_n = \pi (2n + 1 + \gamma)/2 - 2 (-1)^n r_n, \tag{24}$$

$$r_n = \arcsin\left[1/\tau \int_{\tau}^{\infty} f(t) \, s_n^*(t) \, e^{-v_n t} \, dt/h_1(t)\right], \tag{25}$$

$$\frac{h_{1}(t)}{1+t^{n}}\dot{s}_{n}'(t) = \frac{1}{1+\tau}\frac{\cos r_{n} + (-1)^{n+1}t\sin r_{n}}{1+t^{n}} + (-1)^{n}\int_{0}^{\infty} f(t')\dot{s}_{n}'(t')e^{-v_{n}t'}dt'/h_{1}(t')(t'+t),$$
(26)

где в согласии с (1.46)

$$f(t) = \frac{\sin \pi \gamma}{\pi} \frac{t^{2\gamma}}{\sqrt{1 + t^2 (1 + t^{4\gamma} - 2\cos \pi \gamma t^{2\gamma})}}.$$
 (27)

Асимптотика с. ф. $S_n(\tau, \tau_0)$ имеет вид

$$S_{s}(\tau, \tau_{0}) \sim s_{s}^{0}(\tau_{0}) \frac{u_{n}^{1-2\tau}}{V_{0}} \left\{ \frac{1}{\tau} \sin \left[v_{s} \left(\xi - \frac{1}{2} \right) + \pi \frac{n+1}{2} \right] - \int_{0}^{\infty} f(t) \mid \overline{1+t^{2}} s_{n}^{s}(t) dt \mid e^{-v_{n} \xi t} + (-1)^{n} e^{-v_{n} (1-\xi) t} \right\} \right\},$$
(28)

причем через \bar{t} обозначено η/τ_0 . Величина $S_\pi(0, \tau_0)$ имеет более высокий порядок малости. Действительно, из (17) следует, что

$$S_n(0, \tau_0) \sim s^0(\tau_0) u_n^{1-\tau} M/V \overline{\gamma} V_0$$
, (29)

где

$$M = \cos r_n - (-1)^n \int_{-T}^{\infty} \int_{T}^{\infty} f(t) e^{-v_n t} t dt \, s_n^*(t) / h_1(t), \qquad (30)$$

Если же исходить на формулы (28), то, используя формулы (1.47), (1.48) и (1.49), легко показать, что и этом приближении $S_n(0,\tau_0)==S_n(\tau_0,\tau_0)=0$.

Итак, асимптотика $\ell_n(z_0)$ при $z_0 = n+1$ дается формулой

$$i_n - 1 \sim V_n(1/\tau_0) v_n^{2\gamma} \tau_n^{-2\gamma}$$
 (31)

Постоянную нормировки $s_n^*(\tau_0)$ также можно просто выразить через $s_n^*(t)$. Легче всего это сделать следующим образом. Продифференцировав (1) по τ_0 , получим неоднородное уравнение для $\sigma S_n(\tau_n,\tau_0)/\partial \tau_n$. Так как решение этого уравнения существует. а t_n принадлежит спектру, то свободный член указанного уравнения должен быть ортогонален с. ф., то есть

$$\frac{1}{L_n} \frac{\partial L_n}{\partial \tau_0} \int_0^1 S_n^2(\tau, \tau_0) d\tau + S_n^2(0, \tau_0) = 0.$$
 (32)

Приравняв интеграл в (32) единице и подставив туда соотношение (31), получим

$$S_n(0, \tau_0) \sim 1 \ 2 \overline{\gamma} V_0 v_n \tau_0^{\tau_0 - \tau_0 - 1/2}.$$
 (33)

Сравнив это с (29), найдем

$$s_n^0(\tau_0) \sim 1/2 \, \tau \, V_0 \, v_n^{2\gamma - 1} \, \tau_0^{-2\gamma + 1/2} / M.$$
 (34)

Таким образом, нормированная с. ф. имсет асимптотику

$$S_{n}(\tau, \tau_{0}) \sim \sqrt{\frac{2}{\tau_{0}}} \frac{1}{M} \left\{ \sin \left[v_{n} \left(\xi - \frac{1}{2} \right) + \pi \frac{n+1}{2} \right] - \tau \int_{0}^{\infty} f(t) \sqrt{1 + t^{2}} s_{n}(t) dt \left[e^{-v_{n} \delta t} + (-1)^{n} e^{-v_{n} (1-\delta)t} \right] \right\}.$$
(35)

В качестве нулевого приближения в (31), (33) и (34) для v_n можно взять формулу (24) с $r_n=0$, то есть $v_n=\pi (2n-1-\gamma)/2$ и положить M=1.

При $0<\gamma$ 1/2 в связи с задачей о высвечивании слоя плазмы в резонансной линии асимптотику при τ_0 — изучал Холстейн [12]. Он получил правильную функциональную форму зависимости $\iota_0=1$ от τ_0 , а численные коэффициенты для $\tau=1/6$, 1/4 и 1 2 нашел вариационным методом. При любых τ Вайдом [13] вывел функциональную форму стремления к 1 и указал ядро K^* , с. ч. которого (зависящие от τ и τ_0 но не от τ_0 и V_0) определяют числовые множители.

Ван Тригтом было упрощено выражение для ядра К и предложено для нахождения его спектра разлагать с. ф. по полиномам Якоби [14]. Им же для $\gamma = 1/4$ и 1/2 и n = 0, 1, 2, 3, 4 были произведены расчеты. Обсуждение этих результатов и их физическая интерпретация содержатся в [15].

Уравнения (24), (25) и (26) дают новый способ изхождения с. ч. и с. ф. ядра K^* . Мы численно решили эти уравнения для $\gamma = 1/4$ и 1/2. В таба. 1 приводятся значения v_n и M в зависимости от номера итерации т. Как видно из этой таблицы, сходимость итераций очень быстрая, а начальное приближение при л 0 имеет погрешность. равную для $\gamma = 1/4$ и 1/2 соответственно 4.3 и 1.8 %. Для коэффициента при 💮 в формуле (31) относительные ошибки будут равны 2.1 и 1.8%. Ошибка начального приближения для этого коэффициента убывает как n-2(1 1)

Таблица 1 ВЕЛИЧИНЫ ... И М В ЗАВИСИМОСТИ ОТ НОМЕРА ИТЕРАЦИИ м

7-1/2		v _n			M	
n m	0	t	2, ∞	0	1	2, ∞
υ	2.35619	2.31725	2.31555	1.0	0.98938	0.98921
1	5.49779	5.50971	5.50951	1.0	1.00166	1.00165
2	8,63938	8.63366	8.63360	1.0	0.99944	0.99943
3	11.78097	11.78432	11.78429	1.0	1.00025	1.00025
4	14.92257	14.92037	14.92035	1.0	0.99987	0.99987
5	18.06416	18.06571	18_06571	1.0	1.00008	1,00008
7==1/4	0	1-	90	0	1	00
0	1.96350	1.88957	1.88244	1.0	0.98041	0.97956
1	5,10509	5.13095	5.12985	1.0	1.00301	1.00295
2	8.24668	8.23273	8.23223	1.0	0.99884	0.99882
3	11.38827	11.39728	11.39703	1.0	1.00053	1.00052
4	14.52987	14.52344	14.52328	1.0	0.99968	0.99968
5	17.67146	17.67633	17.67622	1.0	1.00019	1.00019

Рассмотренные в разделах 3 и 4 частные случан показывают, что при $\tau_0\gg n+1$ и $n\gg \tau_0+1$ для нахождения с. ч. с хорошей точностью можно использовать уравнение начального приближения (19). При то 1 и произвольном соотношении между п и то уравнение (19) является интерполяционным между двумя предельными случаями и также должно давать неплохие результаты, но его тогда необходимо решать численно. Заметим, что для написания асимптотического уравнения (19) выполнения условия (2) не требуется.

Произведенные нами вычисления асимптотик и хорошая точность начального приближения, а также опыт расчетов для ядра (18) [4] позволяют надеяться, что предложенный способ расчета спектра уравнений вида (1) окажется достаточно эффективным.

В заключение заметим следующее. Как известно, задача о свечении шара оптического раднуса τ_0 сводится к задаче о слое толщиной $2\tau_0$, причем надо брать нечетные решения (см., например, [16]). Поэтому все наши уравнения могут быть применены для расчета спектра для шара. Например, чтобы получить уравнение начального приближения для шара радиуса τ_0 , надо в (19) заменить τ_0 на $2\tau_0$, а n брать только нечетные. Задача о свечении цилиндра сводится к плоской лишь в асимптотической области. Метод получения асимптотических результатов для цилиндра излагается в [4]. Пользуясь этим методом, легко показать, что аналогом уравнения (19) для бесконечного цилиндра оптического оздичса τ_0 служит

$$u_n(\cdot_0)[\cdot_0 + \cdot_e(u_n(\cdot_0))] = \pi(n+3/4).$$
 (36)

Ленинградский государственный университет

THE CALCULATION OF THE SPECTRUM OF THE INTEGRAL EQUATION OF RADIATIVE TRANSFER. II. THE PLANE LAYER OF FINITE OPTICAL THICKNESS

D. I. NAGIRNER

An iterative method is proposed for the calculation of the spectrum of Fredholm integral equation with symmetrical displacement kernel which is a superposition of exponentials. The eigenfunctions are expressed in terms of auxiliary functions. These functions are solutions of equations that can be solved iteratively. Several particular forms of the kernel are considered with special attention to limiting cases of the relation between the length of integration range τ_0 and number of eigenvalue. It is found that even the zeroth approximation gives a good accuracy. For the kernels with a power decrease at infinity the equations are found that describe the asymptotic behaviour of the spectrum under the assumption that $\tau_0 \to \infty$. Numerical data are given for two particular values of the exponent of the power decrease of the kernel.

AUTEPATYPA

- 1, А. И. Назирнер, Астрофизика, 15, 229, 1979.
- 2. Ф. Д. Гахов, Красвые задачи, Наука, М., 1977.
- 3. Н. И. Мускелишвили, Свигулярные интегральные уравнения, Наука, М., 1968.
- 4. К. Кейа, П. Цвайфель, Аннейная теория переноса, Мир. М., 1972.
- В. В. Соболея, Перенос лучистой энергии в атмосферах звезд и планет, ГИТТА, М., 1956.
- 6. В. В. Иванов, Перенос налучения и спектры небесных тел, Наука, М., 1969.
- 7. С. Г. Михлин, Варнационные методы в математической физике, Наука, М., 1970.
- 8. С. Гулд, Вариационные методы в задачах о собственных значениях, Мир. М., 1970.
- 9. П. П. Забрейко и др., Интегральные уравнения, Наука, М., 1968.
- 10. H. Widom, Trans. Amer. Math. Soc., 109, 278, 1963.
- 11. H. Widom, Trans. Amer. Math. Soc., 88, 491, 1958.
- 12. T. Holstein, Phys. Rev., 72, 1212; 83, 1159, 1951.
- 13. H. Widom, Trans. Amer. Math. Soc., 98, 430, 1961.
- 14. C. van Trigt, Phys. Rev., 181, 97, 1969.
- А. М. Дыхие, А. П. Напартович, Перенос резонансного излучения в неоднородной плазме, ИАЗ—2026, М., 1970.
- 16. Д. И. Назирнер, Астрофизика, 8, 353, 1972.

академия наук армянской сср АСТРОФИЗИКА

TOM 15

ABI YCT, 1979

выпуск з

УДК 533.9.01.1

ВРАЩАЮЩИЕСЯ СВЕРХПЛОТНЫЕ КОНФИГУРАЦИИ С УЧЕТОМ ПИОНИЗАЦИИ ВЕЩЕСТВА

Г. Г. АРУТЮНЯН, В. В. ПАПОЯН, А. В. САРКИСЯН, Э. В. ЧУБАРЯН Поступила 5 июля 1978 Пересмотрена 20 декабря 1978

В работе подсчитаны нараметры вращающихся сверхноотных конфигурации с новым уравнением состояния вещества, учитывающим эффект имонизации.

На сегодиящими день накопилось достаточно оснований для того, чтобы с известной долей уверенности высказать утверждение о наличин л-конденсата в ядрах тяжелых алементов и в сплошной ядерной материи. Возникшая в связи с атим необходимость уточнений в уравнениях, описывающих состояние сверхплотного вещества, частично стимулировала работу
[1], в которой весьма последовательно учтен аффект пионизации и найдена еще одна возможная модель состояния вещества вырожденной плазмы. С атой точки эрения нам кажется оправданной цель настоящей статьи—
определение параметров вращающихся сверхплотных небесных тел на основе полученного в [1] нового уравнения состояния. При этом используется предложенный в [2] метод расчета.

1. Уравнения равновесных нращающихся конфигурации. Метрика стационарно вращоющейся конфигурации выбрана в виде [2]

$$-ds^{3} = e dR^{2} + e^{2} (d\theta^{2} + \sin^{2}\theta dz^{2}) + 2 + \sin^{2}\theta d\tau dt + (\omega^{2}e^{2} \sin^{2}\theta - e^{2}) dt^{2},$$

где λ , μ , ν , ϕ — функции R, θ и Ω .

В качестве независимых уравнений Эйнштейна, определяющих искомые функции, взяты

$$G_1^1 - G_0^0 = 8 = (T_1^1 - T_0^0), \qquad G_2^1 = 0,$$

$$G_2^2 - G_3^3 = 8 = (T_2^2 - T_3^3), \qquad G_3^0 = 8 = T_3^0,$$

$$M(R, \theta) = 2 \int_{P+p}^{\infty} e^{-y} - \ln[1 - e^{\mu - y}(\omega + \Omega)^2 \sin^2 \theta] + \text{const.}$$
(1)

Эта система уравнений допускает разделение переменных в приближении $\beta = \Omega^2/8\pi G_{e_c}$ (Ω — угловая скорость вращения, ρ_c — центральная плотность), если решения искать в виде разложений по полиномам Лежандра. Компоненты метрического тензора, а также давление, плотность и функция $M(R, \theta)$ представляются в виде

$$e^{3} = e^{-3} [1 + \beta f(R, \theta)],$$
 $M(R, \theta) = m(R) + \beta N(R, \theta),$
 $e^{3} = e^{3} [1 + \beta \Phi(R, \theta)],$ $P = P_{0} + \beta p,$ $\varphi = P_{0} + \beta \varphi',$
 $e^{3} = R^{2} [1 + \beta U(R, \theta)],$ $\omega = V \beta q(R),$

где f, Φ , U и q — неизвестные функции, а e^{-t} , e^{t} , m, P_0 , p_0 — величины нулевого приближения, соответствующие статической задаче.

Вне распределения масс уравнения Эйнштейна в приближении β интегрируются аналитически, а внутренняя задача решается численным интегрированием. Сшивка втих решений позволяет определить постоянные интегрирования и параметры, характеризующие рассматриваемые конфигурации.

2. Уравнение состояния вещества. В работе [1] получено уравнение состояния вырожденной сверхплотной плазмы с учетом отрицательного π -конденсата в тяжелых ядрах, которое может быть записано следующим образом:

$$P \leqslant 4.0816 \cdot 10^{-13}, \quad \rho = 0.1538 \, P^{3/5};$$
 $4.0816 \cdot 10^{-13} \leqslant P \leqslant 1.2882 \cdot 10^{-6}, \quad \rho = 11.2383 \, P^{3/4} \, [1 + 33.84 \, P^{1/4} - 2905.57 \, P^{1/2} + 9.5245 \cdot 10^4 \, P^{1/4}];$
 $1.2882 \cdot 10^{-6} \leqslant P \leqslant 1.3119 \cdot 10^{-2}, \quad \rho = 0.4965;$
 $1.3119 \cdot 10^{-2} \leqslant P \leqslant 3.1491, \quad \rho = 19.7632 \cdot P^{0.85};$
 $3.1491 \leqslant P \leqslant 52.4017, \quad \rho = 52.4017;$
 $52.4017 \leqslant P, \quad \rho = P.$

3, Результаты численного интегрирования. Система уравнений (1) была численно проинтегрирована на ЭВМ ES-1020 для ряда конфигураций белых карликов и барионных звезд с центральными давлениями от $P\sim 10^{-11}\,$ до ∞ . Значения интегральных параметров представлены в табл. 1. В первом столбце таблицы приводятся значения центрального давления в единицах СGS. Масса вращающейся конфигурации M_{\star} масса соответствующей сферической конфигурации M_{\star} (в единицах массы Солица), акваториальный R_{\star} и поляриый радиусы R_{\star} радиус сферической конфигурации R_{0} (в км), момент инерции I и квадрупольный момент D_{\star} а также минимальный период вращения I_{\min} приводятся в последующих столбцах таблицы. Эти интегральные параметры вычислены по следующим формулам:

$$M = \left[M_0 - \frac{\beta}{2} A_0 \right], \quad M_0 = u(R_0),$$

$$I = -\frac{c_1}{2 \sqrt{2 \nu_0}}, \quad D = -\beta \left(A_2 + \frac{c_1^2}{2 M_0} \right),$$

$$R_1 = R_0 + \beta (d_0 - 0.5 d_2), \quad R_2 = R_0 + \beta (d_0 + d_2),$$

где A_0 , c_1 , A_2 , d_0 и d_0 — постоянные интегрирования, определяемые сшинкой внешних и внутренних решений на границе конфигурации.

$$R = R_{\circ} + \beta \sum_{m} P_{m} (\cos \theta) d_{m}.$$

Параметры вращающихся конфигураций рассчитаны для максимального без истечения вещества с акватора значения угловой скорости вращения $\Omega_{\rm max}$. Для наглядности наиболее интересная часть полученных результатов представлена на рис. 1 в виде зависимости массы барионных конфигураций от центрального давления (такая же кривая для белых карликов не приводится ввиду малого различия масс вращающихся и статических звезд с одинаковыми центральными давлениями). Как видно из рисунка, наибольшее различие в массах (порядка 38%) имеет место для значения параметра $\eta=1.365$ ($\eta=$ arc tg lg P_{33} , где $P_{33}=P\cdot 10^{-33}$).

Численные значения интегральных параметров имеет смысл сравнить с результатами аналогичных расчетов, выполненных с использованием уравнения состояния сверхплотного вещества без учета эффекта пионизации [3]. В табл. 2 приводятся значения масс и радиусов четырех статических и вращающихся конфигураций, являющихся экстремальными точками криной ($M - \gamma$), с учетом и без учета эффекта пионизации.

Таблица 1 ИНТЕГРАЛЬНЫЕ ПАРАМЕТРЫ ВРАЩАЮЩИХСЯ И СТАТИЧЕСКИХ СВЕРХПЛОТНЫХ КОНФИГУРАЦИЙ

-								
P (apr/cm³)	M/M	Mo/Mc	R - (км)	R- (**)	R ₀ (RM)	I+= (r-cw2)	De (r·cm2)	$T_{\rm min}(c)$
6.465-1013	0.9377	0.9375	8896.43	7060.36	7574.18	3.06-104	592	17.025
6.465-1024	1 9621	1.0618	6553.86	5230.27	5566.86	1.49 104	288	10.21
6.465-1025	1.0479	1.0477	4412.68	3547.76	3739.28	4 97 100	55	17.94
6.465-1024	0.9438	0.4935	2767.75	2232.54	2340.23	1421	37	55.83
6.465-1021	0.9370	0.0356	1648.72	1331.85	1393.29	480	11.35	11.35
6.465-1028	0.8743	0.8738	958.9	777.69	808.98	120	4.001	2.117
6.465-1029	0.6958	0.6949	736.19	650.68	671.57	33.19	1.842	0.547
6,465-1030	0.6519	0.6515	748.42	607.58	630.34	21.56	1.407	0.511
6.465-1031	0.6285	0.6261	642.39	522.46	540.9	22.64	1.13	0.415
6.465-1033	0.8616	0.8613	1634.6	1321.3	1380.2	270.3	12.87	1.429
1.095-1023	0.9239	0.9236	7,35.7	6319.2	6747.8	1.52-104	414.8	14.49
1.181-1033	0.0197	0.0157	18.117	15.095	15.099	1.63 10-4	3.79 10 8	0.0114
6 465 1033	0.2308	0.2248	10.564	8.749	8.822	9.7 10	1.04 10	0.0015
5.593-1034	0.5029	0.4504	10.595	8,391	8.887	2.16-10	1.07 10 3	0.001
6.465-1031	0.5009	0.4485	10.289	8,146	8.627	1.57 10-2	1.09-10-3	8.9 10
6 465 1035	0.3936	0.3455	8 1048	6.335	6.776	7.15 10	3.14 10	6.9 10
6.465 1034	0.4642	0.2938	3.854	2.669	3.085	1.21 10	1.55-10	1.2 10
6.465-1037	0.7521	0.5426	2.311	1.792	2.269	3.07 10	1.82-10-4	8 -10
00	0.7159	0.4467	2.278	1.652	2.054	1.7 -10	7.8 10-4	2 10

P- давление в единицах CGS, M и $M_{\odot}-$ соответственно массы вращающихся и статических конфигураций (в единицах Солица), R, R_{\odot} и $R_{\odot}-$ соответственно вхваторивльный и подярный радмусы вращающихся конфигураций и радмус статической конфигурации (в км), $I_{16}-I$ -10 $^{-46}$ момент инерции в единицах CGS, $D_{1}=-D$ -10 $^{-46}$ ввадрупольный момент — в единицах CGS и $T_{\min}-$ минимольный пермод вращения (в сокумдах).

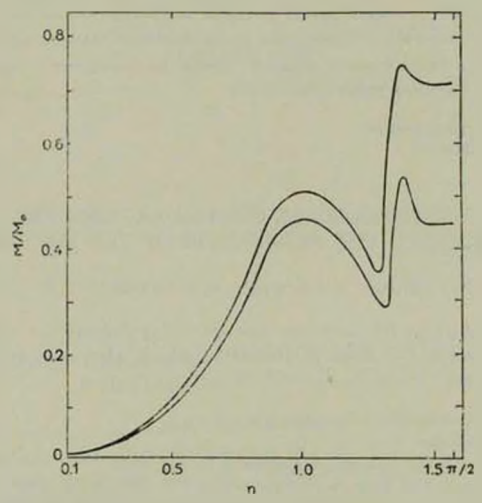


Рис. 1. Зависимость міссы вращающихся конфигураций (верхняя крипая) и массы статических конфигураций (нижняя кривая) в единицах массы Солица от параметра $\eta = \arctan \log \lg p_{33}$, г $_{Ae} P_{33} = 10^{-33} P$ (P в единицах CGS).

Табачца 2 ИНТЕГРАЛЬНЫЕ ПАРАМЕТРЫ ЭКСТРЕМАЛЬНЫХ ТОЧЕК КРИВОЙ С УЧЕТОМ И БЕЗ УЧЕТА ЭФФЕКТА ПИОНИЗАЦИИ

M	Mo	2M (°/0)	R	R-	R.	Quer.	
0.7521	0.5426	39.6	2.3116	1.7919	2.2697	7.8 10	N. W.
0.5029	0.4504	11.6	10.5919	8.3907	8.8880	6.1-103	MO
0.9239	0.9236	0.03	7936.74	6319.23	6747, 78	0.4334	S S
1.0621	1.0618	0.03	6553.87	5230.27	5566.86	0,6145	
1.1775	1.0933	7.7	7.72 2	6.0202	6.7574	1.7-104	1
1.6612	1.5305	8.53	9.3341	7.0634	8.3023	1.6-104	- 5
0.9993	0.9705	2.96	702.8	566.8	589.1	16.86	5 8
1.3392	1.2573	6.5	2422.3	1896.4	2027.6	3.1	0

M и $M_{\rm o}$ — массы вращающихся и статических конфигураций в единицах массы Солица, $M = (M-M_{\rm o})/M_{\rm o}$ — в процентах, R., R. R. — вхвэториальный, полярный и статический рэдиусы в км. $\Omega_{\rm obs}$ — максимальная угловая скорость (c^{-1}). В каждой из секций таблицы — центральное давлени» конфигурации убывает сверху вниз.

Уменьшение разницы между массами в области белых карликов связано с существенным уменьшением максимальной угловой скорости вращения Ω_{\max} , а увеличение в области бариониых звезд — со значительным увеличением Ω_{\max} при учете пионизации.

Ереванский государственный университет

ROTATING SUPERDENSE CONFIGURATIONS TAKING IN ACCOUNT THE PIONIZATION OF THE MATTER

G. G. HARUTTHYUNIAN, V. V. PAPOYAN, A. V. SARKISSIAN, E. V. CHUBARIAN

Parameters of the rotating superdense configurations are obtained with new equation of state of the matter which takes account the effect of pionization.

ЛИТЕРАТУРА

1. Г. С. Свакян, Л. Ш. Григорян, Астрофизика, 13, 669, 1977.

2. Д. М. Селракич, Э. В. Чубарин, Астрофияния, 4, 239, 1968; 4, 481, 1968.

3. Г. Г. Аругюнян, Д. М. Седракян, Э. В. Чубарян, Астрон. ж., 49, 1216, 1972.

академия наук армянской сср АСТРОФИЗИКА

TOM 15

АВГУСТ, 1979

выпуск з

УДК 539.1.01

КРАТКИЕ СООБЩЕНИЯ

О НЕЙТРИННОЙ СВЕТИМОСТИ МАГНИТНЫХ ЗВЕЗД В ПЕРЕНОРМИРУЕМЫХ МОДЕЛЯХ

Как известно, на ранних стаднях аволюции нейтронных звезд их нейтринное излучене может преобладать над другими механизмами диссипации внергии. С другой стороны, колоссальные значения напряженности магнитного поля (вплоть до $B_0=m^2/e=4.41\cdot 10^{15}~\Gamma {\rm C}$) в нейтронных звездах делают необходимым учет подавления поперечных степеней свободы легких заряженных частиц (электронов). Ковариантное описание процессов взаимодействия с участием электронов в таких условиях было предложено нами в ряде работ [1—10] (двумерное приближение КЭД). С использованием развитого формализма в контактной теории был рассмотрен вклад различных каналов генерации нейтрино в нейтринную светимость —

$$7 \rightarrow v_{e} = [1], e^{-}(Ze) \rightarrow e^{-}(Ze) v_{e}v_{e} = [10], 7e^{-} \rightarrow e^{-}(v_{e}v_{e}) = [9].$$

В настоящей заметке вычислено сечение фоторождения нейтрино на влектроне в перенормируемой модели теории поля Вайнберга—Салама [11] и оценен вклад этого процесса в нейтринную светимость магнитных звезд. Применяемые ниже обозначения и последовательность расчета отчасти аналогичны работе Дикуса [12], в которой фоторождение нейтрино на влектроне исследовалось в четырехмерной теории (т. е. в отсутствие магнитного поля).

Далее предполагается, что внергия фотона w и величина магнитного поля B достаточно малы: $(w/m_{W,Z})^2\ll 1$, $\|eB\|/m_{W}\ll 1$, так что прогаторы W и Z-мезонов можно взять в контактном виде $D_{+}^{(W,Z)}(x)=$ $=-m^{-2}$ д $A^{(4)}(x)$. Для использонания двумерного варианта $K\Im \mathcal{A}$

необходимо также, чтобы энергия начального электрона удовлетворяла условиям $E^s-m^2 \leqslant 2\,|eB|;\; ^\omega E,\; ^\omega ^*\leqslant |eB|.$ Определив двумерноинвариантный матричный элемент процесса M формулой (ось Z- по направлению магнитного поля)

$$\langle f|S|i\rangle = \frac{i(2\pi)^3 \delta^{(0,\frac{3}{2},3)} (p+q-p'-k-k')}{V^{3/2} L_2 L_2 (2\pi 2E 2E' 2k_2 2k_2)^{3/2}} M_*$$
 (1)

можно получить следующее выражение для суммарного вклада заряженных и нейтральных токон в реакцию $\gamma e^- \to e^- \left(v_e v_e \right)$:

$$M = -eG (2\pi)^{1/2} [\overline{u}_{*}(k)\gamma^{5} (1+\gamma^{5})u_{*}(-k')] \times \\ \times v_{*}(p') [\widetilde{\gamma}_{5} (C_{V} + C_{A}\widetilde{\gamma}^{5}) \frac{p+q+m}{(p+q)^{5} - m^{2}} e + \\ + \overline{e} \frac{p' - q + m}{(p' - q)^{2} - m^{2}} \widetilde{\gamma}_{3} (C_{V} + C_{A}\widetilde{\gamma}^{5}) v_{*}(p),$$

$$(2)$$

где

$$C_V = \frac{1}{2} + \frac{e^2}{2 V 2 G m_W^2} \qquad C_A = 1 - \frac{(g^4 + g^{\prime 2}) m_W^2}{2 g^2 m_Z^2} \left(= \frac{1}{2} \right), \quad (3)$$

 $p\left(p'\right),\;E\left(E'\right)-2$ -импульс и энергия начального (конечного) электрона, $q,\;k,\;k'-4$ -импульсы фотона и нейтрино. Константа слабого взаимо-действия G и заряд электрона e связаны с константами теории Вайнберга g и g' соотношениями

$$e = \frac{gg'}{(g^2 + {g'}^2)^{1/2}}, \quad \frac{G}{V\overline{Z}} = \frac{g^2}{8m_W^2}, \quad \frac{m_W^2}{m_Z^2} = \frac{g^2}{g^2 + {g'}^2}$$
(4)

Электронные спиноры $v_{\sigma}(p)$, $\bar{\gamma}$ — матрицы и скалярные произведения в (2) явлаются двумерными в пространстве (0.3), причем

$$v_{i}(p) v_{j}(p) = (p + m)_{ij}, \quad \tau^{5} = \tau^{0} \tau^{3},$$

$$\frac{1}{2} Sp(\tau_{ij}\tau_{i}) = g_{ij}, \quad \frac{1}{2} Sp(\tau^{5}\tau^{5}) = e^{4},$$

$$e_{00} = e_{31} = 0, \quad -e_{01} = e_{20} = 1$$
(5)

н т. д.

Сечение фоторождения имеет вид

$$d^{2}_{T^{\prime}_{a}} = \frac{dp_{3}}{8(2\pi)^{3} \circ m^{2}} \int |M|^{2} e^{-3t} (p+q-p'-k-k') \frac{d^{3}k}{2k_{0}} \frac{d^{3}k'}{2k_{0}}$$
 (6)

и легко вычисляется в нерелятивистском приближении

$$a_{\nu_{A}} = a_{\phi} \frac{C_{\nu}^{2} + C_{A}^{2}}{2} \tag{7}$$

FAC

$$\sigma_{\phi} = \frac{4\pi G^2 \omega^4 \sin^2 \theta}{105 \pi^2} m_e^{-2}, \quad \theta = (\widehat{B} q)$$
 (8)

представляет собой сечение фоторождения нейтрино в схеме Ферми в двумерном приближении КЭД. Как можно видеть, сечение процесса $\gamma e^- + e^- (v_u v_u)$, определяемое вкладом нейтральных токов, получается из (7) формальной заменой C_V , $C_A \rightarrow (C_V-1)^2$, $(C_A-1)^2$.

Общая мощность нейтринного излучения из единицы объема по планковскому распределению равновесного поля излучения оказывается равной ($kT \ll m_{\star}$)

$$S_{(v_e - \frac{1}{r_e} + v_b - \frac{1}{v_e})} = \frac{2(2\pi)^4 \times G^2}{105 \cdot 45} \left(\frac{kT}{m_e}\right)^4 m_e^4 n_e \left(C_V^2 - C_V + \frac{3}{4}\right).$$
 (9)

где п. — число электронов в единице объема. Численное значение последнего фактора в (9) зависит от величины угла Вайнберга и при существующей информации о массе W-бозона имеет порядок единицы.

В модели нейтронной звезды Оппенгеймера—Волкова минимальное значение $n_* = 10^{13}$ см $^{-3}$ достигается при переходной плотности вещества [13]

$$ho_{_{
m p}} \approx 1.28 \cdot 10^{-4} \,
ho_{_{
m sp.i}}$$

$$ho_{_{
m sp.i}} = \frac{8 \pi m_{_{
m s}}^4}{3(2 \pi)^3} = 6.11 \cdot 10^{13} \, {\rm g/cm}^3.$$

Из сравнения (9) с результатами работы [1] можно тогда сделать вынод, что для температур $\sim 10^9$ K процесс $\gamma \to \nu\nu$ начинает доминировать над $\gamma e^- \to e^- (\nu\nu)$ лишь при значениях поля $B \gtrsim 10^9$ B_0 . Для $T = 10^9$ K во всех остальных случаях нклад последнего является определяющим по сравнению с фотораспадом.

On the neutrino luminosity of magnetic stars in convergent models. The contribution of the reaction $\gamma e^- \rightarrow e^- (\nu_e \ \nu_e)$ to the neutrino luminosity of magnetic stars is investigated in the Weinberg's theory. Calculations were made in a covariant two-dimensional model of electromagnetic interactions in a strong magnetic field, proposed by the author earlier.

20 декабря 1977 г.

В. В. СКОБЕЛЕВ

ЛИТЕРАТУРА

- 1. B. B. CROSessen, WOTTD, 71, 1263, 1976.
- 2. В. В. Скобелев, ЖЭТФ, 72, 1298, 1977.
- 3. B. B. CROGC, ICB. WOTO, 73, 1301, 1977.
- 4. В. В. Скобелев, Изв. ВУЗов СССР, Физика, № 10, 142, 1975.
- 5. Yu. M. Loskutov, V. V. Skobelev, Phys. Lett. 56A, 151, 1976.
- 6. Ю. М. Лоскутов, В. В. Скобелев, Вест. МГУ, сер. фил. № 4, 111, 1977.
- 7. Yu. M. Loskutov, V. V. Skobelev, Phys. Lett., 62A, 53, 1977.
- 8. В. В. Скобелев, Изв. ВУЗов СССР, Физика, № 10, 123, 1976.
- 9. В. В. Скобслев, Изв. ВУ Зов СССР, Физика, № 10, 125, 1976.
- 10. 10. M. ADERYTOR, B. B. CKOGELER, TMO, 29, 65, 1976.
- 11. S. Weinberg, Phys. Rev. Lett., 19, 1264, 1967; 27, 1688, 1971.
- 12. D. A. Dieus, Phys. Rev., 6, 941, 1972.
- 13. С. Вайнберт, Гранитация и космология, Мир. М., 1975.

УЛК 521.12

КОНФИГУРАЦИИ ВЫРОЖДЕННЫХ МАСС ПО БИМЕТРИЧЕСКОЙ ТЕОРИИ ГРАВИТАЦИИ РОЗЕНА

В настоящей работе на основе теории Розена вычисляются параметры сверхплотных звездных конфигураций. В расчетах используется уравнение состояния, полученное в работе [1].

1. Метрики плоского и искривленного пространства—времени определяются следующими двумя интервалами соответственно:

$$dz^2 = c^2 dt^2 - dr^2 - r^2 (d\theta^2 + \sin^2 \theta d\phi^2), \tag{1}$$

$$ds^{z} = e^{i\Phi}c^{2}dt^{z} - e^{2z}dr^{z} - r^{2}e^{2t}(d^{2}r^{z} + \sin^{2}\theta dr^{2}), \tag{2}$$

где Φ , ϕ и X — функции только от координаты r, отсчитываемой от центра распределения масс.

On the neutrino luminosity of magnetic stars in convergent models. The contribution of the reaction $\gamma e^- \rightarrow e^- (\nu_e \ \nu_e)$ to the neutrino luminosity of magnetic stars is investigated in the Weinberg's theory. Calculations were made in a covariant two-dimensional model of electromagnetic interactions in a strong magnetic field, proposed by the author earlier.

20 декабря 1977 г.

В. В. СКОБЕЛЕВ

ЛИТЕРАТУРА

- 1. B. B. CROSessen, WOTTD, 71, 1263, 1976.
- 2. В. В. Скобелев, ЖЭТФ, 72, 1298, 1977.
- 3. B. B. CROGC, ICB. WOTO, 73, 1301, 1977.
- 4. В. В. Скобелев, Изв. ВУЗов СССР, Физика, № 10, 142, 1975.
- 5. Yu. M. Loskutov, V. V. Skobelev, Phys. Lett. 56A, 151, 1976.
- 6. Ю. М. Лоскутов, В. В. Скобелев, Вест. МГУ, сер. фил. № 4, 111, 1977.
- 7. Yu. M. Loskutov, V. V. Skobelev, Phys. Lett., 62A, 53, 1977.
- 8. В. В. Скобелев, Изв. ВУЗов СССР, Физика, № 10, 123, 1976.
- 9. В. В. Скобслев, Изв. ВУ Зов СССР, Физика, № 10, 125, 1976.
- 10. 10. M. ADERYTOR, B. B. CKOGELER, TMO, 29, 65, 1976.
- 11. S. Weinberg, Phys. Rev. Lett., 19, 1264, 1967; 27, 1688, 1971.
- 12. D. A. Dieus, Phys. Rev., 6, 941, 1972.
- 13. С. Вайнберт, Гранитация и космология, Мир. М., 1975.

УЛК 521.12

КОНФИГУРАЦИИ ВЫРОЖДЕННЫХ МАСС ПО БИМЕТРИЧЕСКОЙ ТЕОРИИ ГРАВИТАЦИИ РОЗЕНА

В настоящей работе на основе теории Розена вычисляются параметры сверхплотных звездных конфигураций. В расчетах используется уравнение состояния, полученное в работе [1].

1. Метрики плоского и искривленного пространства—времени определяются следующими двумя интервалами соответственно:

$$dz^2 = c^2 dt^2 - dr^2 - r^2 (d\theta^2 + \sin^2 \theta d\phi^2), \tag{1}$$

$$ds^{z} = e^{i\Phi}c^{2}dt^{z} - e^{2z}dr^{z} - r^{2}e^{2t}(d^{2}r^{z} + \sin^{2}\theta dr^{2}), \tag{2}$$

где Φ , ϕ и X — функции только от координаты r, отсчитываемой от центра распределения масс.

Следует отметить, что в отличие от ситуации, характерной в ОТО, в биметрических теориях нет той свободы в выборе систем отсчета, как в ОТО. В частности, если в ОТО координату r и нремя t можно было бы еще подвергнуть любому преобразованию, не нарушающему центральной симметрии интервала ds, то сейчас этой возможности нет, поскольку мы изменили бы плоскую метрику (1). Однако в данной ситуации в нашем распоряжении имеются еще преобразования $t \to -t$, $\theta \to \pi - \theta$ и т. д., не нарушающие вида ни ds, ни ds. Ограничением свободы выбора систем отсчета и объясняется тот факт, что в отличие от шварушильдовского интервала в (2) входят три неизвестные функции Φ , Ψ и Z.

Функции Ф, 4 и Р определяются ураннениями

$$\Phi'' + \frac{2}{r} \Phi' = \frac{4\pi G}{c^4} (p + 3P) e^{\Phi - 3L},$$

$$\Phi' + \frac{2}{r} \Phi' = -\frac{2}{r^2} \sin(2Z - 2p) - \frac{4\pi G}{c^4} (p - P) e^{\Phi - 3L},$$

$$P' + (P + p) \Phi' = 0,$$

$$P = P(p)$$

(штрих означает дифференциропание по r). В [2] показано, что $\frac{1}{2} = 2$. Вне распределения масс имеем

$$\Phi = -\frac{G}{c^2 r} M = -\frac{4G^{\pm}}{c^4 r} \int_0^R (r + 3P) e^{\frac{r}{r} \cdot 3r} r^2 dr,$$

$$\psi = \frac{GM^r}{c^2 r} = \frac{4\pi G}{c^4 r} \int_0^R (r - P) e^{\frac{r}{r} \cdot 3r} r^2 dr.$$
(4)

2. В работе [1], исходя из факта наличия π^- -мезонов в ядрах [3—5 и др.] получено уравнение состояния в интервале давлений $2.1\cdot 10^2$ аргусм 3 $< P < \infty$. Показано, что наличие π^- -мезонов в ядрах существенно меняет наши представления о состоянии вещества при сверхбольших плотностях. Для конкретных расчетов уравнение состояния аппроксимировалось следующим образом:

$$\rho = \begin{cases} 3.423 \cdot 10^{-8} P^{3.5} & \text{при} \quad P \leqslant P_r = 2.1 \cdot 10^{23}, \\ 1.059 \cdot 10^{-11} P^{3/4} (1 + 3.996 \cdot 10^{-8} P^{1.4} - 4.088 \cdot 10^{-15} P^{1.2} + \\ + 1.568 \cdot 10^{-22} P^{3/4}) & \text{при} \quad P_r = P_1 = 6.6 \cdot 10^{28}, \end{cases}$$
 (5b)

$$\dot{\epsilon} = 2.84 \cdot 10^{14} \text{ при } P_1 = P_2 = 5 \cdot 10^{33},$$
 (5c)

$$p = 5 \cdot 10^{-15} P^{0.85}$$
 при $P_2 = P \leqslant P_3 = 5 \cdot 10^{16}$, (5d)

$$p = 3 \cdot 10^{14}$$
 при $P_3 \leqslant P \leqslant P_4 = 10^{36}$, (5e)

$$\rho = \frac{P}{e^{\pi}} \quad \text{при} \quad P \gg P_{\pi}. \tag{5f}$$

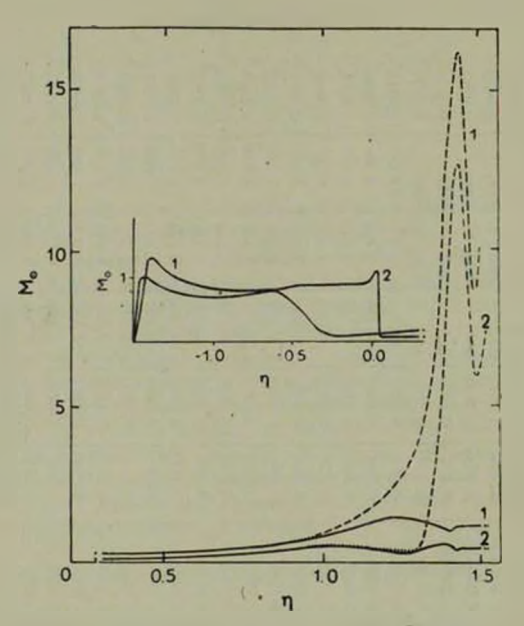
Здесь плотность массы измерена в единицах г/см³, а давление — арг/см¹. Формулы (5а) и (5b) описывают состояние Ас-плазмы: в области давлений $P \in P$, влектронный газ нерелятивистский. В точке $P = P_1$ совершается переход от Ас-плазмы к сплошной ядерной материи, при котором плотность испытывает скачок примерно в 500 раз от значения $\rho = 6.1 \cdot 10^{11}$ к $\rho = 2.8 \cdot 10^{11}$ г см³, (5c) соответствует ядерному неществу, которое в интервале давлений $P_1 = P = P_2$ песжимаемо. При $P \gg P_2$ возникает необходимость учета сжимаемости плазмы (см. (5d)). При давлениях $P \sim P_3$, чему соответствуют плотности $n \sim 10^{47}$ см³, по-нидимому, происходит распад адренов с образованием плазмы, состоящей из кварков. (5e) описывает состояние несжимаемой кварковая плазма становится сжимаемой, и состояние вещества описывается предельно жестким уравнением.

Результаты численного интегрирования представлены таблицей и рис. 1—2.

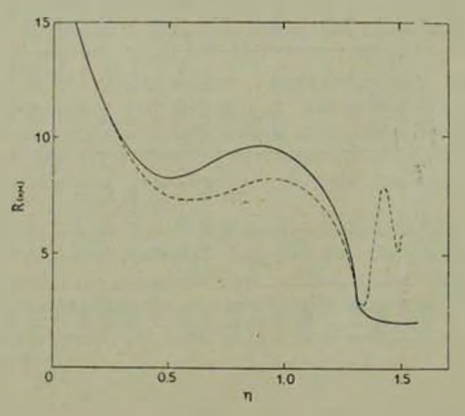
Максимальное значение массы плотных конфигурации в рамках биметрической теории гравитации равно $M_{\rm max}=12.711\,M_{\odot}$, что достигается при $\tau_c=1.423$ ($P_c=5.145\cdot 10^{39}$ арг/см³) и в 27 раз пренышает $M_{\rm max}=0.465\,M_{\odot}$ (рис. 1). Для айнштейнопских конфигураций это значение получается при $\tau_c=1.352$ или $P_c=3.198\cdot 10^{35}$ арг/см³, что на дла порядка ($P_c^*/P_c=160$) меньше соответствующей "розеновской" плотности. Возможно, что эта разница указывает на то, что класс устойчивых "розеновских" конфигураций пренышает "эйнштейновские". Аналогичный результат был получен нами в [2]. Однако ответ на этот вопрос остается открытым до решения задачи устойчивости "розеновских" конфигураций.

Сравнивая значения для M с результатами предыдущей работы [2], полученными на основе уравнения состояния [6] для реального газа барионов, можно еще раз убедиться в том, что чем жестче уравнение состояния, тем больше максимально возможное значение массы: действительно, для нового уравнения состояния $M_{\rm ext}^R = 12.711~M_{\odot}$, а для старого — $M_{\rm ext}^R = 16.28~M_{\odot}$.

1654 0	2.070	1 384	087.2	0.420	866.7	7166.0	277.21	7:183-1037	s101-591-9	805.I
1192 0	2,070	L6L'L	\$69.8	0 440	S61.7	7188.0	271.81	7 183 10as	e101 591'9	861 [
5918.0	2,070	001.7	689.5	07t 0	060.7	6,3933	12,063	5.724-1034	\$101.841.8	1,493
0.7542	070.5	608 9	292.2	0FF 0	481.9	0.326.0	768.01	S.724.1033	1101-511'5	1,486
0159.0	2.070	E71.8	980.2	0.440	£87.2	0.2617	2127.9	5,724,1033	0:01.241.2	87F. I
2889.0	070.2	805.7	161.9	0++0	891.8	0.2017	0718.7	5.724.1020	801-841.2	98₽.I
1.1004	2.070	146.6	£78,7	144.0	12.51	0.2410	0791.8	a101 SF1 1	1,029-10*	6Z⊮.I
1,2063	2.060	10.24	586.7	0440	12.71	0.266)	5,8832	8.724-1018	*01.2p1.2	1,423
1.2594	2.050	98.01	ZE6.7	0.420	12.62	0,2740	0,6240	3.606-1018	3,241-10	811.1
1.3500	2,150	621.6	6.263	Stt 0	111.8	0.382.0	0966.€	2,862,1011	2.572 105	1"388
0.7283	3,150	111.2	3,208	294.0	2,188	0708.0	2879,1	3,000.1016	3,198,104	1.352
1992.0	3 034	3.521	\$76.5	962.0	198.0	2968.0	7962.0	3'000 1010	c01-894.8	1.314
0.2502	4,116	121.2	911.4	0.240	708.0	0.3320	£159 0	3'000'101e	c01 · 00 h	1.300
9055.0	S0 L	861.7	6.214	855.0	098.0	0.2383	0.2601	8,800.1015	2,912	1.218
9198 0	0£.7	TIT.T	669'9	\$4£.0	£6£.0	6722.0	0.2500	8,625,1015	25.575	1,200
15510	08.9	980 6	180.8	021.0	874.0	7521.0	5071.0	ii01 611 1	34.911	966 0
0.1502	61.8	LIS'L	891.7	151.0	121.0	ZF50 0	1780.0	2.840.1014	4 828	0(19:0
££90.0	64.8	8.412	8.238	1-90.0	№90.0	2080.0	008010	2.840-1014	2.647	001.0
0.0212	18.3	18.4	18.3	0.021	120.0	0.0149	6210.0	2,8401,014	1.259	0.100
1017.0	099	099	099	017.0	017.0	0,0243	0 0543	1101-750.8	t-01 723.8	992'[-
£778.0	718	L18	L18	778.0	778.0	2 430 10 -3	7.432 10-2	0101.852.8	5-01-2 3 p. 9	9EE.1-
2259,0	0681	1390	0681	\$26 0	286.0	4 SUO 10 -3	1.200 10-3	8,726.109	9-01 891.9	08811-
1.0442	3700	3700	3700	1,044	1.044	E-01 091.1	E-01-091-1	S 618-10a	"-01.884.8	EEM. I-
€≱£6.0	0514	051/2	0514	₽€6 0	186 0	\$ 01 TOP. F	*-01-701.p	7,610,104	01-01-591-9	794.1-
OW.	Rest	Reser.	Eg sob	9W	©W ⊕W	(0).1	(0)di —	be alcus	b, 100	t _a



 $P_{\rm HC}$. 1. Зависимость массы конфигураций из вырождениой плазмы от центрального давления (η =are tg lg $P_e/10^{33}$) с учетом (кривая 2) и без учета пионизации (кривая 1).



 $P_{\rm MC}$. 2. Зависимость координатного ряднуса от централького довлени ($\eta = {
m arc~tg~lg~} P_c/10^{33}$). Пунктирияя кривая относится в бимстрический теории.

На рис. 2 приведена зависимость координатных радиусов розеновских и айнштейнонских конфигураций от параметра $\eta=\arctan \lg P_c/10^{13}$. Криные показывают, что значения Λ^{A}_{a} , и Λ^{A}_{a} , значительно отличаются, начиная с $\eta=0.4$ ($P_c=2.647\cdot10^{23}$ арг/см²).

В заключение авторы выражают благодарность профессору Г. С. Саакяну за ценные замечания и обсуждения.

The configurations of degenerated masses according to the Rosen bimetric theory of gravitation. According to the bimetric theory of Rosen the internal structure and integral characteristics of spherically symmetric configurations from degenerate nuclear plasm are obtained taking into account the existence of the #--condensation. The results are compared with the parameters of corresponding configurations which have been calculated in the case of the real barlon gas [2].

It is shown that in the case of the existence of = -condensate in the nuclear matter, the maximal value of the mass $(M_{max} = 12.7 M_{\odot})$ is less than in the first case $(M_{max} = 16.3 M_{\odot})$.

If P. 2.647·10³³ erg/cm³ the configurations in the bimetric theory of gravitation appear to be more compact than in GRT.

4 сентября 1978 Ереванский государственный университет А. В. САРКИСЯН Б. В. ХАЧАТРЯН Э. В. ЧУБАРЯН

АНТЕРАТУРА

- 1. Г. С. Салкян, Л. Ш. Григорян, Астрофизика, 13, 669, 1977.
- Г. С. Саакян, А. В. Саркисян, Б. В. Хачатрян, Э. В. Чубарян, Астрофизика, 14, 489, 1978.
- 3. A. B. Muldal, ЖЭТФ, 61, 2209, 1971, УФН, 105, 775, 1971.
- 4. А. Б. Миздал, О. А. Маркин, И. Н. Мишустин, ЖЭТФ, 86, 443, 1974.
- 5. Л. Ш. Григорян, Г. С. Саакян, ДАН СССР, 237, 299, 1977.
- 6. Г. С. Саакян, Равновесные конфигурации вырожденных газовых масс, Наука, М., 1972.

АСТРОФИЗИКА АСТРОФИЗИКА

TOM 15

АВГУСТ, 1979

выпуск з

письмо в редакцию

О РАДИОИЗЛУЧЕНИН КОМПАКТНЫХ ГРУПП КОМПАКТНЫХ ГАЛАКТИК

В третьем выпуске журнала «Астрофизика» за 1977 г. опубликована статья В. А. Санамяна и Э. А. Лоутюнян [1], в которой сделан вывод о физической связи между компактными группами компактиых галактик (КГКГ) и радиоисточниками. Согласно данным работы [1], число радиоисточников в плошадках с размерами 2 × 2' вокруг 225 КГКГ в 40 раз превышает ожидаемое число пои случайном распределении радиоисточников по небу. С увеличением размеров рассматорнаемых плошадок до $40 \times 40'$ отношение подсчитанного количества радиоисточников к ожидаемому уменьmaeter до ~ 5.7 и сохраняется почти постоянным при дальнейшем увеличении размеров площадок до 2 × 2°. Однако обнаруженное значение повышенной средней плотности радиоисточников в окрестностях КГКГ вывывает сомнения. Если среднее число радиоисточников на расстояниях около 1 от 225 КГКГ превышает среднюю плотность распределения надиоисточников по небу около 6 раз, то очевидно, что в некоторых плошадках это превышение плотности должно быть еще больше. Но в этом случае должна была бы наблюдаться анизотропия в распределении радионсточникон по небу, чего обнаружено не было [2-5] даже в случае рассмотрения весьма слабых радионсточников из каталогов 5С [6].

С целью проверки результатов работы [1] мы рассмотрели рэспределение в окрестностях КГКГ на списков [7—12] радноисточников из каталогов 4С [13, 14], Болонского каталога [15], двух списков из Огайского обзора неба [16, 17] и Грин-бенковского обзора [18]. При этом поиск возможной коррезиции в распределении по небу КГКГ и радиоисточников проводился отдельно для каждого каталога в площадках тех же размеров, которые были рассмотрены в [1]. Первые три из использованных нами списков радиоисточников [13—17] составлены по наблюдениям на частотах 178, 408 и 1400 МГи соответственно. Грин-бенковский обзор, так

же, как и Огайский, выполнен на частоте 1400 МГц в небольшой, однако, области неба, но с меньшим предельным потоком обнаружения. Результаты проведенных нами полечетов показали, что в окрестностях КГКГ нег какого-либо статистически значимого превышения реального количества радиоисточников над ожидаемым при их случайном распределении по небу, что подтверждает ошибочность заключения, сделанного в [1]. Возможно, что ошибка в [1] обусловлена тем, что при исследовании распределения радиоисточников по небу одновремению были рассмотрены все радиоисточники Огайского обзора неба [16, 17, 19] и каталога Р. Диксона [20], который является сводным каталогом и включает в себя все опубликованные до 1970 г. каталоги радиоисточников, составленные в результате обзоров неба, выполненных с помощью различных телескопов и на различных частотах и имеющих совершенно различные пределы обнаружения.

Бюраканская астрофизическая обсерватория

3 мал 1978

Г. М. ТОВМАСЯН Э. Ц. ШАХБАЗЯН М. С. ШИРБАКЯН

AHTEPATYPA

- 1. В. А. Санамян, Э. А. Арутюнян, Астрофизика, 13, 543, 1977.
- 2. R. G. Hughes, M. S. Longair, M. N., 133, 131, 1967.
- 3. A. S. Webster, M. N., 175, 61, 1976.
- 4. A. S. Webster, M. N., 175, 71, 1976.
- 5. A. S. Webster, M. N., 179, 511, 1977.
- 6. A. S. Webster, T. J. Pearson, M. N., 179, 517, 1977.
- 7. Р. К. Шахбаяни, Астрофизика, 9, 495, 1973.
- 8. Р. К. Шалбазян, М. Б. Петросян, Астрофизика, 10, 13, 1976.
- 9. Ф. В. Байер, М. Б. Петросян, Г. Тирш, Р. К. Шахбазин, Астрофизика, 10, 327, 1974.
- 10. М. Б. Петросин, Астрофизика, 10, 471, 1974.
- 11. Ф. Б. Байер, Г. Тирш, Астрофизика, 11, 221, 1975.
- 12. Ф. Б. Байер, Г. Тирш, Астрофизика, 12, 7, 1976.
- 13. J. F. R. Gower, P. F. Scott, D. Wills, Mem. R. A. S., 71, 1967.
- 14. G. Colla, C. Fanti, A. Ficurra, L. Fosmiggins, Astron. Astrophys., Suppl. 1 281, 1970.
- 15. J. D. H. Pilkington, P. F. Scott, Mem. R. A. S., 69, 183, 1965.
- 16. R. K. Brundage, R. S. Dixon, J. R. Ehman, J. D. Krous, A. J., 76, 777, 1971.
- J. R. Ehman, R. S. Dixon, C. M. Ramakrishna, J. D. Kraus, A. J., 79, 144, 1974.
- 18. J. Maslowski, Acia astronomica, 22, 227, 1972.
- 19. J. D. Kraus, A. J., 76, 103, 1971.
- 20. R. S. Dixon, A. J., Suppl. ser., 20, No. 180, 1970.

АСТРОФИЗИКА

TOM 15

АВГУСТ, 1979

выпуск з

УЛК 523.841

ОБЗОРЫ

ПУЛЬСАРЫ (Обзор наблюдательных данных)

М. А. МНАЦАКАНЯН

Дается краткии обзор основных наблюдательных данных по пульсарам. Обсуждается вопрос о возрастах пульсаров в связи с их эколюцией.

1. Введение. Пожалуй, им одно астрофизическое явление не послужило объектом столь интенсивных исследований за последнее десятилетие, как пульсары. Уникальность явления пульсирующих радиоисточников состоит в импульсном характере их излучения с необычайно коротким — порядка секунды и меньше, периодом пульсаций, обладающим исключительно высокой стабильностью, достигающей зачастую до 10 — Эти неожиданные для астрофизиков свойства излучения пульсаров стимулировали систематические наблюдения, направленные на разностороннее изучение их характеристик, и заинтриговали теоретиков возможностью наконец-то встретиться «наяву» с гипотетическими нейтронными звездами.

Важность исследования пульсаров стала ясна сразу же с их обнаружением. И хотя в физике явления пульсара многое до сих пор остается непонятым, определенные представления об этих объектах сложились уже в первые годы их открытия. Правда, они основывались на сравнительно малом количестве известных в то время пульсаров, а на сегодняшний день их число значительно возросло, тем не менее, эти представления существенным изменениям не подверглись, разве лишь получили статистически более весомое подтверждение. Их изложение дается в оригинальных обзорах Хьюиша [1], гер-Хаара [2], Тейлора и Манчестера [3] и других [4—8].

К настоящему времени по пульсарам опубликовано более 500 научных статей и сообщений. Они посиящены поискам пульсаров и технике их наблюдений, изучению характеристик излучения, его спектральных и поляризационных спойств. Будучи объектами нашей Галактики, пульсары предоставляют прекрасные возможности для изучения структуры и спойств межзвездной среды. Работы по построению теории пульсаров играют серьезную авристическую роль в познании их природы.

В первых двух частях настоящего обзора мы изложим основные изблюдательные данные, относящиеся к индивидуальным характеристикам пульсаров и свойствам, чрисущим им как членам нашей Галактики. Вопросы механизма излучения, моделей и теории пульсаров мы затрагивать не будем. Третью часть мы посвятим вопросу о возрастах пульсаров и, в частности, тому, с какими начальными периодами «рождаются» пульсары. Этот анализ внесет некоторую ясность в оценки истинных возрастов пульсаров, важные для понимания их аволюции.

2. Открытие пульсаров. Первые пульсары (1919+21 и 0834+06, 0950+08, 1133+16) были обнаружены в 1967 г. в Кембридже Ж. Белл и А. Хьюншем при систематических наблюдениях межиланетных мерцаний [9—11]. Затем в поиски пульсаров включились крупнейшие радиоастрономические обсерватории мира. В течение года были обнаружены еще 6 пульсаров, к 1970 г. было открыто 50, а к 1975 г. стало известно около 150 пульсаров. Обзор наиболее полных и точных данных об атих пульсарах и ссылки на соответствующие источники приводятся в [12].

К концу 1978 г. Тейлор, Манчестер и др. [18] опубликовали список новых 155 пульсаров, а чуть позже поступило сообщение [19] об открытии еще 17 новых пульсаров. Таким образом, полное количество известных к настоящему времени пульсаров составляет 321. Подавляющее большинство их было открыто при обзорных поисках на обсерваториях Молонгло (Австралия) [13, 18, 19], Джодрел Бэнк [14, 15] и Аресибо [16, 17] (США). Эти обзоры охватывают все южное и значительную часть северной половины неба (6 < 20°).

Как сообщается в [18], среди зарегистрированных 224 пульсаров 69 оказались ранее известными. Если считать процесс обнаружения пульсара случайным (особенности излучения пульсара допускают отличную от нуля вероятность упустить его обнаружение) , то по данным о количестве ранее известных пульсаров $n_1 \sim 150$, вновь зарегистрированных $n_1 = 224$ и повторно обнаружениых $n_2 = 69$ можно оценить полное коли-

Нобеленская премия 1974 г. была присуждена М. Райлу за апертурный синтез и А. Хьюнију за открытие пульсаров.

^{**} Согласно тому же сообщению [18], 30 известных пульсаров в обозреваемой об-

чество N пульсаров, которые могут быть обнаружены при нынешних условиях наблюдений (технике и обозреваемой области неба) по простой формуле

$$N = n_1 n_2 n_{12} = 490. ag{1}$$

517

Согласно сообщению [19], $n_1\approx 300$, $n_2=43$, $n_{12}=26$, и мы получаем ту же оценку $N\approx 500$. Следовательно, в ближайшие годы можно ожидать открытие примерно 150-200 новых пульсаров.

1. Инличилуальные характеристики пульсаров

3. Импульсы и их стабильность. Излучение пульсаров посит импульсный характер с максимумами, повторяющимися регулярно через равные промежутки времени, называемые периодом пульсара. У некоторых пульсаров в интервале между двумя основными импульсами, нередко посередине, наблюдается более слабый промежуточный импульс.

Потоки в импульсах в десятки, иногда сотни раз превышают поток в промежутке между ними, так что средний поток в течение длительного времени обычно порядка фонового. Например, у пульсара 1919+21, открытого первым [9], наибелее мощные импульсы достигают $2\cdot 10^{-8}$ Вт/м² $\Gamma_{\rm U}$, а средняя плотность потока равка 10^{-8} Вт/м² $\Gamma_{\rm U}$. Это значит, что пульсары являются чрезвычайно слабыми источниками — их средние потоки ниже чувствительности приемников, используемых для крупномасштабных обзоров неба [10].

Периоды пульсаров обладают исключительно высокой стабильностью. Так, например, у пульсара 1919 + 21 период измерен с точностью до нескольких единиц двенадцатого знака: 1.33730119227 с. Обычно стабильность периодов пульсаров порядка величин $10^{-1}-10^{-11}$. Такая высокая точность повторения сигналов указывает на глобальный характер излучения пульсара, как целого [10].

4. Ширина импульса и размеры пульсаров Длительность импульса почти у всех пульсаров составляет несколько процентов от всего периода, так что между шириней импульса и периодом устанавливается довольно четкая прямая корреляция. Характерная полуширина импульса — от нескольких до нескольких десятков мс. Исходя из ширины импульса можно сделать очень важное заключение о размерах пульсаров. Раз излучение пульсара носит глобальный характер, то в интервале времени W, ранном ширине импульса, излучение должно быть зарегистрировано от разных частей источника, то есть свет должен успеть пройти расстояние г порядка размеров пульсара. Отсюда следует, что

$$r = W \cdot c$$
, (2)

где с не превышает скорости света в вакууме. Такие оценки (сверху) приводят к характерным размерам пульсаров от сотии до нескольких тысяч километров. Для пульсара 1919+21, W=25 мс и $r\approx 5000$ км.

5. Флуктуации амплитуды. Амплитуды импульсов испытывают сильные изменения в течение дней, часов, минут и даже от импульса к импульсу. Например, у пульсара 1919—21 импульсы заметны в течение минуты-двух, после чего они «замирают» на две-три минуты. У пульсара 0943—10, открытого в Пущино [22, 23], ати замирания настолько продолжительны, что в течение месяца импульсы регистрировались всего несколько раз. Обычно замирания происходят внезапно, на несколько периодов, затем импульсы так же внезапно восстанавливаются. У некоторых пульсаров наблюдаются длительные вариации интенсивности — на порядок величивы в течение месяцев [24].

Флуктуации амплитуды, в основном, нерегулярны, но у ряда пульсаров наблюдаются сильные перподические вариации в последовательности отдельных импульсов. Период таких вариаций у пульсара 0834+06 равен удвоенному основному его периоду. Быстрые флуктуации амплитуды большен частью обусловлены природой самого излучения, нежели, скажем, мерцаниями на неоднородностях межзвездной среды.

6. Средняя форма импульсов. Несмотря на сильные флуктуации интенсивности последовательных импульсов, для каждого пульсара существует спределениая устойчивая форма среднего импульса, получаемая наложением друг на друга большого числа периодов (соответствующим интегрированием в течение нескольких минут). Средняя форма, или интегральный профиль, импульса очень стабильна в течение всего времени наблюдений данного пульсара. Однако она оказывается совершенно различной для разных пульсаров, как бы служа «почерком» пульсара.

Питегральный профиль имеет форму отдельного, чаще, двух четко выраженных пиков, а в редких случаях и трех—пяти. Ширина интегрального профиля, естественно, в несколько раз превышает ширину отдельных импульсов, соразмерно с количеством компонент-пиков. Расстояние между атими компонентами слабо зависит от частоты, причем, обычно низким частотам соответствует большее разделение компонент.

Внутри интегрального профиля отдельные импульсы располагаются случайно, так что форма среднего импульса отражает в известной мере распределение вероятности появления отдельного импульса в той или иной фазе профиля. Существует, однако, класс пульсаров с дрейфующими суб-импульсами — внутри интегрального профиля одиночные импульсы регулярно следуют друг за другом, сдвигаясь постепенно от заднего фронта к переднему в своей последовательности.

Хыогенин, Тейлор и Манчестер класеифицируют пульсары по интегральному профилю на типы: S—с простой формой, С—со сложной, и D—с дрейфующими субимпульсами [25—27], отмечая при этом корреляцию ряда свойств пульсаров в соответствии с их типами. В частности, S-пульсары имеют короткие периоды, а С-пульсары обладают очень сильной поляризацией.

7. Изменения периолов со временем. Периоды большинства пульсаров лежат в интервале от 0.1 до 2 с. Только у трех пульсаров они меньше 0.1 с и у шести — больше 2 с. Измерения в течение длительных промежуткой времени позволяют найти скорости P изменения периодов со временем. Как правило, измерениые значения P положительны, то есть, периоды пульсаров возрастают. Типичные скорости их изменений составляют $1-10\cdot10^{-15}$ с. У нескольких пульсаров они превышают значения 50-100, а у пульсара $0531\div21$ с самым маленьким периодом она самая большая — $423\cdot10^{-15}$ (c/c). Единственный пульсар с убывающим со временем периодом — это 1813-26 ($P=-0.3\pm0.3$).

Наряду с регулярным возрастанием периода у некоторых пульсаров наблюдаются нерегулярные отклонения от линейного возрастания. Особенно интересны неожиданные резкие скачки в сторону уменьшения периода — «сбои» периодов. Такие сбои наблюдались несколько раз у пульсара в Веле и у пульсара в Крабовидной туманности. Наиболее сильные сбои достигали 100—200 нс, причем за промежутки времени, заведомо не превышающие недели. После сбоев следует медленная релаксация скорости роста периода к свсему прежнему значению [28—33].

8. Спектры. Исследование спектров излучения пульсаров особенно затруднительно из-за сильных и быстрых вариаций интенсивности. Поэтому обычно определяют спектр интегрального импульса, который оказывается довольно стабильным в теченче многих лет (см., например, [34]).

Пульсары наблюдаются п радиодиапазоне от десятков МГц до десятков ГГц. Спектры излучения пульсаров имеют спадающую форму с резким завалом на высоких частотах. Типичная форма спектоа

$$S \sim \omega^{\alpha}$$
, (3)

где спектральный индекс α для разных пульсаров принимает значения от — 1 до — 3. У некоторых пульсаров наблюдается низкочастотная граница спектра. Отдельные компоненты импульса обычно обладают разными спектральными индексами.

Радиоспетимости пульсаров лежат в интервале $10^{26} - 10^{26}$ арг с. Они посчитаны [12] в диапазоне частот $\Delta\omega \approx 400$ МГ $_{\rm U}$ в предположении, что импульсное излучение сосредоточено внутри конуса (в соответствии с «ка-

рандашной» моделью пульсара) с углом раствора, определяемым шириной импульса $2\pi W/P$. При изотропном излучении светимости будут примерно на три порядка выше.

9. Поляризация. Излучение пульсаров обычно очень сильно поляризовано, причем линейная поляризация преобладает над круговой. Поляризационные параметры систематически меняются в пределах отдельного импульса. Так, например, позиционный угол монотонно возрастает (или убывает), независимо от частоты, наиболее сильно меняясь близ середины импульса. Там же меняется знак круговой поляризации.

Несмотря на сильные изменении поляризационных параметров от импульса к импульсу, у интегрального профиля сохраияется достаточно высокая степень поляризации. У пульсаров с дрейфующими субимпульсами позиционный угол тесно связан с фазой субимпульса.

11. Пульсары и Галактика

10. Мердания. Пульсары были обнаружены при наблюдениях межпланетных мерцаний — дифракции радиоволн на облаках плазмы (заряженных частиц) солнечного ветра. Эти мерцания наиболее заметны на относительно длинных радиоволнах (~ 4 м) и имеют характерное время порядка секуиды. Межпланетные мерцания позволяют получить наиболее точные данные об угловых размерах радиоисточников, особенно при малых угловых размерах (например, у квазаров). Поскольку межпланетные мерцания ночью незначительны (именно ночью были обнаружены сигналы от пульсара 1919+21), их влияние на вариации интенсивности излучения пульсаров могут быть исключены.

Мерцания возникают и вследствие неоднородностей межзвездной среды, вызывая сильные вариации потока и тем самым воздействуя как на времениые, так и на спектральные характеристики пульсаров. Характерные размеры неоднородностей межзвездной среды порядка 10° км и мерцания возникают при относительном изменении дуча эрения на пульсар. Величина, обратная скорости этого изменения, определяет характерное время мерцаний — от нескольких минут до часов и даже дней (но не секунд или месяцев), со средним значением порядка 20 минут. Наблюдаемое корреляционное время мерцаний соответствует относительным скоростям движения пульсаров более 100 км/с.

Мерцания приводят к наблюдаемому уширению формы импульса — размыванию заднего фронта импульса на низких частотах, особенно у пульсаров с большими значениями меры дисперсии. У пульсаров с короткими периодами мерцания могут полностью «размазать» импульсы и привести к резкому завалу спектра на низких частотах, как, например, у пульсара в Крабовидной туманности.

11. Мера дисперсии и расстояния до пульсаров. Импульсы на разных частотах регистрируются в разные моменты времени. Причем, запаздывание тем больше, чем выше частота. Это обусловлено дисперсией на тепловых электронах на пути распространения радноволи. Мера дисперсии тем выше, чем больше электронов вдоль пути R_* проходимого излучением:

$$DM = \int_{0}^{R} n_{e} ds = \overline{n}_{e} \cdot R, \tag{4}$$

где п. — средняя электронная концентрация по лучу эрения. Поскольку групповая скорость волн зависит от коэффициента преломления, а последний известным образом — от частоты, то легко определить смещение по времени прихода двух разных частот [9]:

$$\Delta t = DM \cdot \Delta \left(\frac{1}{\omega^2}\right). \tag{5}$$

Эта зависимость от частоты великолепно подтверждается наблюдениями. Она позволяет по запаздыванню об определить меру дисперсии DM, а с ее помощью и приближению оценить расстояние до пульсаров, если известна средияя электронная концентрация. Последняя, конечно, различна в разных направлениях в Галактике (в среднем она равна 0.03 см. пс). Мера дисперсии частично может быть обусловлена самим источником, и в этом смысле по соотношению (4) расстояния оцениваются сверху.

На низких галактических широтах величина меры дисперсии может быть очень сильно завышена из-за наличия областей ионизованного водорода НІІ. Это обстоятельство стараются по возможности учесть при определении расстояний [35, 36].

Расстояния до пульсаров оцениваются в пределах от нескольких парсек до нескольких тысяч. Обратно, эная расстояния до пульсаров из других данных, можно определить среднюю электронную концентрацию в их направлениях.

12. Распределение пульсаров в Га іактике. Почти все пульсары распределены вблизи плоскости Галактики в пределах 500 пс по обе стороны от нее довольно симметричным образом (см., например, рис. 4). При этом наблюдается сильная концентрация их к плоскости — чуть менее половины пульсаров расположено ближе 100 пс от плоскости Галактики. Поскольку индикатором расстояний служит мера дисперсии, это следует и из диаграммы мера дисперсии — галактическая широта [37, 38], показываю-

Отсутствие измеримого параллакся означает, что пульсары находятся далеко виспределов Солисчной системы.

щей сильное возрастание меры дисперсии в слое шириной 10° в окрестности b=0. Более тонкое исследование показывает, что плоскость, к которой концентрируются пульсары, на самом деле на 20 пс ниже галактической, что соотасуствует положению Солнца над галактической плоскостью.

Распределение же пульсаров по галактической долготе показывает возрастание их плотности в направлении к центру Галактики [39]. Построенное в функции от расстояния до центра Галактики, распределение пульсаров быстро убывает с ростом «галактоцентрического радиуса». Падение плотности с атим расстоянием наблюдается и у остатков сверхновых [40].

13. Мера вращения и магнитное поле Галактики. Наблюдения линейной поляризации пульсаров позволяют оценить напряженность магнитного поля в окрестностях Солица. Фарадеевское вращение плоскости поляризации определяет, так называемую, меру вращения

$$RM = \int_{-1}^{R} H_{s} n_{s} ds = \overline{H}_{s} \cdot DM, \tag{6}$$

где \overline{H} , — среднее значение компоненты напряженности магнитного поля в направлении на пульсар. Фарадеевское вращение находят по измерениям разности позиционных углов на смежных частотах:

$$\frac{\Delta \theta}{\Delta n} \sim \frac{RM}{m^2}.$$
 (7)

Корректировка с данными по фарадеевскому вращению других внегалактических радисисточников позволяет детально исследовать структуру магнитного поля в Галактике [41].

Три самых быстрых пульсара 0531+21, 0833—45 и 1913+16 являются наиболее уникальными среди остальных. Первые два отождествлены с остатками взрыва сверхновых и имеют самый широкий днапазон излучения, третий входит в двойную систему. Их исследования предоставляют наиболее ценные данные для понимания явления пульсара.

14. Пульсар 0531+21 в Крабовидной туманности. Этот пульсар отождествлен с центральной звездой ($\sim 17^{\rm m}$) Крабовидной туманности [42], считающейся остатком вэрыва сверхновой 1054 г. Период его самый маленький ~ 0.033 с, скорость изменения периода самая большая $\sim 433\cdot 10^{-15}$ с/с, причем у него наблюдалось несколько сильных сбоев периода. До недавнего времени был единственным пульсаром, излучающим также оптические импульсы [43]. Диапазон его излучения $10^7 \sim 10^{25}$ $\Gamma_{\rm L}$, то есть это опгический, гамма-, рентгеновский и радио-пульсар.

Сама Крабовидная туманность обладает сильным синхротронным излучением во всех диапазонах. Его объяснение связывалось со свойствами центральной звезды Н. С. Кардашевым и Ф. Пачини, последний предпидел и возможность существования пульсара в Крабе [46]. Полная светимость во всех диапазонах $L \sim 10^{37}$ арг/с (напомним, что $L \approx 4 \cdot 10^{33}$ арг/с), основной диапазон — рентгеновский. Расстояние до пульсара 2000 пс, жера дисперсии 57 см⁻³ пс, примерно треть ее обусловлена туманностью или самим пульсаром.

На расстоянии 0.4 периода от основного импульса наблюдается промежуточный, в рентгеновских лучах такой же интенсивности, как и основной. В радиодиапазоне четко выделяется предымпульс, который с ростом частоты слабеет и исчезает в оптическом диапазоне. Радиоимпульс опережает оптический примерно на 39 периодов. На всех частотах импульсы испускаются синхронно. В отличие от оптических, радиоимпульсы педвержены очень сильным, порой стократным варнациям интенсивности.

15. Пульсар 0833—45 в Парусах. Находится в радиотуманности Вела X (Паруса), возраст которой оценивается в несколько десятков тысяч лет. Третий по малости периода — 0.089 с, он обладает и третьей по величине производной периода — 125 · 10 · 15 с/с. Наиболее подвержен сильным сбоям периода [28—33]. Как и пульсар в Крабе, излучает в радио-, гамма- и рептгеновском диапазонах, а недавно варегистрированы и оптические импульсы [51]. Однако, в отличие от пульсара в Крабе, импульсы 0833—45 в разных диапазонах смещены по фазе относительно друг друга. Рентгеновский импульс отстает от радиоимпульса на треть периода, основной (с двумя пиками, разделенными на 22 мс) оптический импульс также отстает от радиоимпульса, располагаясь симметрично между двумя гамма-пиками, отстоящими на 33 мс. Импульсное излучение в голубом свете спответствует примерно 25 звездной величине.

16. Даойной пульсар 1913+16. Открыт в 1974 г. Халсом и Тейлором [52]. При измерениях периода (второго по малости — 0.059 с.) были обнаружены регулярные доплеровские вариации длительностью в 8 часов. Эти колебания объясияются орбитальным движением по орбите с большой полуосью, равной примерио $R_{\rm c}$ и аксуентриситетом 0.61. Радиальная скорость при движении по орбите меняется от +100 до —300 км/с. Оба компонента двойной системы предполагаются компактными с массами ~ 0.13 M_{\odot} Расстояние до системы 6 кпс. По замечанию тер-Хаара [2], двойной пульсар 1913+16 предоставляет в наше распоряжение великолепную релятивистскую лабораторию (см. также [53, 54]).

Доплеровские наменения периодов остальных пульсаров полностью описываются движением Земли.

¹¹⁻⁶³⁸

111. Возрасты пульсаров

17. Кинсматический возраст пульсаров. Распределение пульсаров вблизи плоскости Га. тики привело Ганна и Острикера [55] к заключению,
что пульсары роз ются в плоскости Галактики и со временем покидают
ес. Как похазывают исследования собственных движений [56], пульсары
обладают высокими скоростями движений, от 100 до 500 км/с. Среднее
расстояние г пульсаров от плоскости Галактики составляет 230 пс. а средняя скорость $v \sim 200$ км/с [56], что приводит к следующей оценке кинематического возраста пульсаров

$$T = v_s \approx 2 \cdot 10^a \text{ Act.} \tag{8}$$

В целях косвенной проверхи всенетической связи» пульсаров с другими объектами, в частности, с остатками сверхновых, интересно сравнить частоты их рождения в Галактике. Основанная на данных о радноостатках, для сверхновых она составляет примерно одну в 50-150 лет. Судя по плотности распределения пульсаров в окрестности Солица, следует ожидать порядка 10^6 активных пульсаров в Галактике. Тогда, исходя из кинематического возраста $2\cdot 10^6$ лет, Тейлор и Манчестер оценивают частоту рождения пульсаров как один в 40 лет [56]. Основываясь на данных о дисперсии собственных движений, Хансон [57] получает оценку кинематического возраста в $4.6\cdot 10^6$ лет и, следовательно, вдвое меньшую частоту рождения пульсаров в Галактике. Из других данных приведем теоретически рассчитанную частоту рождения пульсаров в Галактике. Из других данных приведем теоретически рассчитанную частоту рождения пульсаров.

Кинематический возраст пульсаров не подвержен сильным влияниям селекции и не забисит от выбора шкалы расстояний. С другой стороны, он находится в противоречии с данными о характеристических возрастах пульсаров (см. ниже). Это, в частности, заставляет заподоарить сильную завышенность характеристических возрастов по сравнению с истинными. Соображения последующих параграфов устраняют ато противоречие.

18. Характеристические возрасты пульсаров. Для оценки возрастов отдельных пульсаров обычно используется факт возрастания со временем периодов пульсаров. Принято считать, что пульсары рождаются с начальными значениями периодов, близкими к нулю [3]. Это предположение лежит также в основе теоретических построений моделей пульсаров. Тогда возраст пульсара можно определить как отношение периода P к скорости его возраствния $F:\tau=P/P$. Теоретические соображения, а также предполагающееся убывание P с ростом P приводят к более «разумной» оценке:

$$\tau \approx \frac{1}{2} P_l \dot{P}.$$
 (9)

Вычисленик аким образом характеристические возрасты для двух пульсаров 0531 — 1240 лет) и 0833—45 (11300 лет), отождествленных с остатками сверхновых, неплохо согласуются с возрастами этих остатков, определенными другими методами (заметим, что у этих пульсаров периоды самые маленькие).

			- 450			Табл	ица 1
lg t	3	4	5	6	7	8	9
N	1	4	14	38	25	3	1

В таба. 1 приводится распределение 86 пульсаров с известнями значениями P по характеристическому возрасту * [12]. Если бы характеристические возрасты правильно отражали «истиные» возрасты пульсаров, их распределение было бы равномерным по * , по крайней мере, при малых * . Это следует в предположении, что пульсары рождаются с малыми начальными «периодами-возрастами» и звелюционируют примерно одинаковым путем. Распределение же, приводимое и таба. 1, не соответствует ожидаемой пропорциональности числа пульсаров длине интервала * и указывает на сильную завышенность характеристических возрастов над истинными. Среднее значение характеристического возраста равно * = $5 \cdot 10^{\circ}$ лет [12], оно на порядок выше кинематического.

19. С какими периодами рождаются пульсары? На такую постановку вопроса обратил внимание автора в 1970 г. В. А. Амбарцумян. Уже тогда количество пульсаров составляло 55 и можно было с определенностью заключить, что представление о том, что все пульсары рождаются с очень малыми начальными периодами, неверно [60].

Решение этого вопроса основывается на известном распределении $\mathcal{N}(P)$ пульсарол по периодам и следующих допущениях:

- 1) Искомог респределение $n\left(P_{0}\right)$ рождающихся пульсаров по начальным значениям периодов стационарно во времени,
- 2) Периоды пульсаров возрастают с некоторой средней (постоянной) скорестью $a=\overline{P}.$

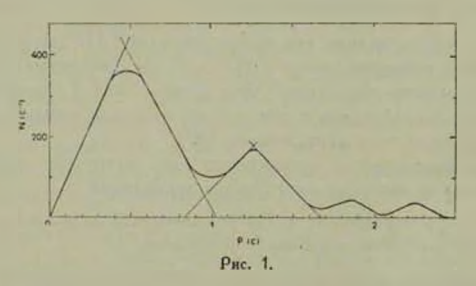
Одновременно ати допущения означают, понятно, стационарность во времени наблюдаемого распределения $N\left(P\right)$. Если первое допущение является естественым, то применимость второго, вообще говоря, подлежит проверке. В соответствии с 2) вводится пока неопределенный масштаб времени a.

Не останавливаясь здесь на математической стороне задачи, приведем ее окончательное решение применительно к настоящему случаю. Искомая функция $n\left(P\right)$ определяется выражением

$$n(P) = \begin{cases} \frac{d}{dP} N(P), & P < T_0, \\ \frac{d}{dP} |N(P - T_0) + N(P)|, & P > T_0, \end{cases}$$
(10)

где T_0 значение P, соответствующее максимуму (если такопой имеется) распределения N(P). Случай P — T_0 означает, что функция N(P) при $P < T_0$ должна быть смещена вправо на величину T_0 , сложена с функцией N(P) при $P = T_0$ и продифференцирована. Ниже для удобства параметр, соответствующий начальному значению периода, будем обозначать буквой P_0 . Перейдем теперь к обсуждению наблюдаемого распределения N(P) пульсаров по периодам.

20. Распределение пульсаров по периодам. На рис. 1 представлено распределение известных 320 пульсаров по периодам. Для него характерно наличие двух максимумов, соответствующих значенням P, равным 0.5 с и 1.25 с. Третий и четвертый максимумы обусловлены очень малым количеством пульсаров (по 10 каждый), чтобы их принимать во виимание. Распределение построено специальным методом, позволяющим устранить известные некорректности в построении гистограмм.



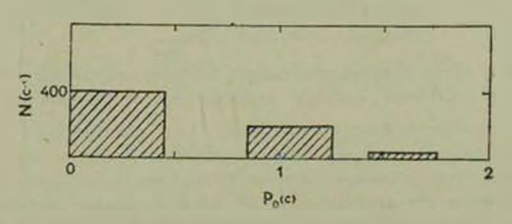
Два хорошо выраженных максимума в распределении пульсаров по периодам обнаруживались нами, начиная с 1970 года, и их наличие подтверждалось по мере накопления новых данных о пульсарах. Тейлор и Манчестер [3] исключают влияние селективных факторов на форму (первого) максимума, а на заметный «провал» в области $P \approx 1$ с недавно указали независимо друг от друга авторы работ [17, 61].

Распределение N(P) хорошо представляется в виде суммы двух распределенин-«треугольников», изображенных на рисунке прямыми линиями. Оба треугольника являются равнобедренными, причем первый соответствует ≈ 220 пульсарам, а второй ≈ 80 . Решение задачи о нахождении функции $n(P_0)$ требует их раздельного рассмотрения как двух независимых групп.

Если отсутствие пульсаров с большими значениями периодов означает, что пульсарам присуще определенное время жизни, после которого они «угасают», то сравнительная малость числа пульсаров с малыми периодами есть, очевидно, прямое указание на то, что не все пульсары рождаются с начальными периодами, близкими к пулю, а только очень малая их доля.

21. Распределение рождающихся пульсаров по периодам. Применение формул (10) к распределению N(P) представленному на рис. 1, приводит к следующему результату. Пульсары первой группы (соответствующей первому максимуму) рождаются с начальными периодами, прикимающими значения в интервале $0 < P_0 < T_0$ равиовероятно. Время активной жизни этих пульсаров равно T_0 , то есть равно времени, за которое период пульсара возрастает, скажем, от 0 до T_0 (со скоростью a). Пульсары второй группы (соответствующей второму максимуму в распределении по периодам) рождаются с начальными периодами, лежащими в интервале $0.8 < P_0 < 1.25$ с, также равновероятно. Время их активной жизни порядка 0.45 с $\approx T_0$.

Описанное распределение рождающихся пульсаров по начальным периодам представлено на рис. 2. На нем указана также третья группа пульсаров, соответствующая третьему максимуму на рис. 1. Не исключена воз-

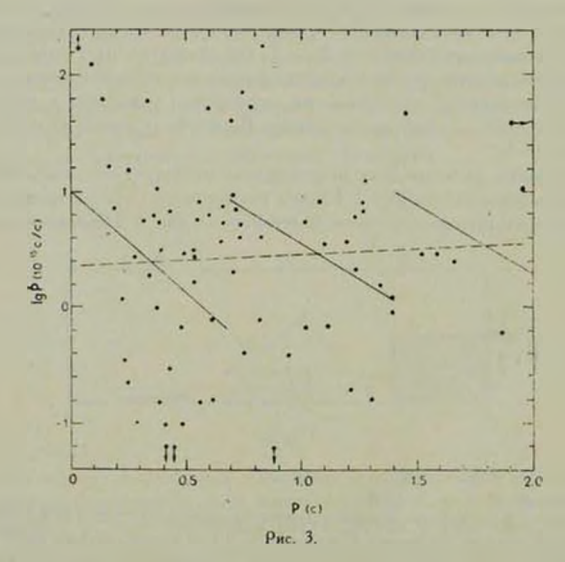


PHC. 2.

можность, что пульсары второй группы являются частью (40%) пульсаров первой группы, временно (на время — 0.3 с) прекратившей свою пульсационную активность. Исходя из других соображений, ниже мы увидим, что это не так.

Заметим, что, если бы все пульсары рождались с нулевыми начальными периодами, то функция $\pi(P_u)$ должна была описываться дельта-функцией $\delta(P_u)$.

22. Зависьмость между периолом и его произволной. На диаграмме на рис. З отложены значения P и P для 86 пульсаров с известными значениями P[12]. Величины P меняются в довольно широких пределах от 10^{-16} до 10^{-12} с/с. Нельзя не заметить, что у нескольких пульсаров с очень малыми периодами значения P особенно велики. Это обстоятельство заставляет думать, что скорость возрастания периода убывает с ростом периода. Заметим, что с физической точки эрения более приемлемой является обратная пропорциональность между P и P. В вопросе о корреляции этих величин у разных авторов имеются разногласия [2, 3]. Пунктирная прямая на днаграмме 3, указывающая на слабое возрастание P с ростом P, проведена методом наименьших квадратов.



Имея в виду наличие трех независимых групп пульсаров, указанных в предыдущем пункте, рассмотрим независимо друг от друга отдельные части днаграммы $\vec{P} - P$, соответствующие интервалам периодов (0-0.7),

(0.7-1.4) и (1.4-2.1) с. Для каждой из атих групп пульсаров на диаграмме 3 методом наименьших квадратов проведены прямые, аппроксимирующие зависимость F от P. Теперь мы видим явиое убывание P в зависимости от P для каждой из трех рассматриваемых групп. Это в свою очередь свидетельствует в пользу независимости атих групп пульсаров.

Интересно, что наклоны этих трех прямых на днаграмме 3, как и средние иначения \overline{P} для каждой группы довольно близки друг к другу. Последние соответствуют примерно значению $a \approx 3.7 \cdot 10^{-15}$ с.с.

23. Об истичных нозрастах пульсаров. С целью получить оценки возраста пульсаров, более близкие к истинным, можно пересмотреть определение характери-тических возрастов, считая, например, что пульсары рождеются с начальными значениями периодов, равными 0, 0.7 и 1.4 с, ссответственно упомянутым группам. Тогда для пульсаров 1 группы характеристические возрасты (9) останутся неизменными, а для 11 и 111 групп они существенно уменьшатся.

Вычисленные с такой поправкой характеристические возрасты (имиллионах лет) приводятся в табл. 2. При вычисленнях, на 1 группы, содержащей 42 пульсара, были исключены 7, из второй, состоящей из 29,—2 пульсара, характеристические возрасты которых на порядок и выше превышали соответствующие средние.

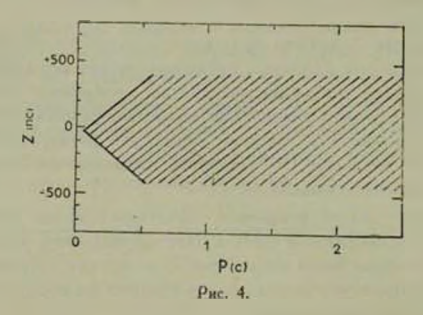
	-	Tab	лица .
Группа	1	11	III
Ŧ	3.6	3.2	3.8
Ta	4.4	4.3	4.0

Во второй строке табл. 2 приводится среднее время активной жизни T_0 пульсаров, соответствующее времени $T_2\approx 0.5$ с при значениях $\alpha=3.6,\ 3.7$ и 4.0 (10^{-3} с/с), составляющих средние значения P для каждой из трех групп. Как видим, значения характеристических возрастов близки между собой для трех групп и к среднему времени активной жизни пульсаров, равной $T_0\approx 4.4\cdot 10^6$ лет. Заметим, что истинные возрасты пульсаров должны оцениваться вдвое меньшей величиной, так как они рождаются с периодами, равными не $0,\ 0.7$ и 1.4 с, как было принято при вычислениях выше, а равномерно распределенными в соответствующих интеовалах.

Таким образом, с учетом того, что пульсары рождаются не с нулевыми значениями начальных периодов, известное противоречие между их ки-

нематическими и истинными возрастами (или характеристическими) может быть устранено.

24. Диаграмма периол — расстояние от плоскости Галактики. Если действительно у всех трех групп пульсаров возрасты примерно одинаковы, и если они, образуясь в плоскости Галактики, покидают ее в среднем с одинаковыми скоростями, то нужно ожидать равенства средних удаленностей пульсаров от плоскости Галактики для всех групп.



На рис. 4 приведена диаграмма период—расстояние от плоскости Галактики для 147 пульсаров с известными 2 (данные взяты из [12]). Почти 95% пульсаров рамечательным образом ложатся в заштрихованную на рис. 4 область, имеющую форму «заточенного карандаша», резко обозначая при этом края «острия». В пределах «острия» с № € 0.5 с распределены 65 пульсаров, в то время как перед чострием находятся 7 пульсаров. Наиболее сильно удалены от острия пульсары 0531+21 (в Крабе) и двойной пульсар 1913+16. Пульсар в Крабе сраянительно молод и следовательно, родился с указаниым отклонением от плоскости Галактики. В вершине «острия» расположен пульсар Велы X.

Форма «карандаша» на днаграмме соответствует представлению о том, что пульсары 1 группы рождаются в плоскости Галактики с периодами в янтервале (0-0.5) с, с течением времени удаляясь со скоростью ~ 100 км/с. Края «карандаша» при P>0.5 с также соответствуют средней скорости удаления от плоскости ~ 100 км/с. То обстоятельство, что пульсары второй и третьей групп удалены от плоскости Галактики не более, чем пульсары 1 группы, означает, что они не являются «потомхами» последних в том смысле, в котором упоминалось в п. 21.

Интересно, что такую же форму «карандаша» имеет распределение пульсаров на диаграмме $(-\lg P)$ — расстояние от плоскости Галактики.

При атом в вершине «острия» опять расположен пульсар в Веле X со аначением $\lg P = -12.5$, а пульсар в Крабе и двойной пульсар снова выпадают из области «карандаша».

май, 1979 г.

Бюраканская астрофизическая обсерпатория

PULSARS

(the observational data review)

M. A. MNATSAKANIAN

The review of the observational data of pulsars is given. The issue of the pulsars ages is analysed.

AHTEPATYPA

- 1. A. Hewish, Pulsars, Ann. Rev. Astron. Astroph., 8, 265, 1970.
- 2. Л. тер-Хаар, Пульсары, УФН, 119, 523, 1976.
- J. H. Taylor, R. N. Manchester, Recent Observations of Pulsars, Ann. Rev. Astron. Astroph., 15, 19, 1977.
- A. Hemish, Three Years with Pulsars, Mitterlungen der Astronomische Gesellschaft, 31, 15, 1972.
- Р. Н. Манчестер, в с6. «Галактическая и внегазактическая радиоастрономия», Мир М., 1976.
- 6. И. С. Шкловский, Зверды, их рождение, жизнь и смерть. Наука, М., 1975.
- 7. Г. С. Саакян, в сб. «Проблемы современной космогония». Наука, М., 1972.
- 8. Сб. «Пульсары» (русск. перев. под ред. В. В. Енткевича), Мир. М., 1971.
- A. Hewish, S. J. Bell, J. D. H. Pilkington, P. F. Scott, R. A. Collins, Nature, 217, 709, 1968 (pycen. nep. n [8]).
- 10. A. Hewish, Pulsating Stars, a Naturo preprint. p. VII. 1968 (pyces. nep. s [8]).
- J. D. H. Pilkington, A. Hewish, S. J. Bell, T. W. Cole, Nature, 218, 126, 1968 (pyccm. nep. n [8]).
- 12. J. H. Taylor, R. N. Manchester, Ap. J., 80, 794, 1975.
- 13. M. I. Large, A. E. Vaughan, M. N., 151, 277, 1971.
- 14. J. G. Davies, A. G. Lyne, J. H. Seiradakis, Nature, 240, 221, 1972
- 15. J. G. Davies, A. G. Lyne, J. H. Setradakis, Nature, 244, 84, 1973.
- 16. R. A. Hulse, J. H. Taylor, Ap. J., 191, L59, 1974.
- 17. R. A. Hulse, J. H. Taylor, Ap. J., 201, L55, 1975.
- R. N. Manchester, A. G. Lyne. J. H. Toylor, J. M. Durdin, M. I. Lorge, A. G. Little, M. N., 183, 409, 1978.
- 19. M. Damashek, J. H. Taylor, R. A. Hulse, Ap. 1., 225, L31, 1978.
- 20. P. E. Hardee, Ap. J., 227, 958, 1979.
- 21. D. W. Richards, J. Rankin, G. A. Zettsig, Nature, 21, 57, 1974.

- В. В. Виткевич, Ю. Н. Алексеев, В. Ф. Журавлев, Ю. П. Шитов, Nature, 224, 49, 1969
- Ю. И. Алексеев, В. В. Виткевич, В. Ф. Журавлев, Ю. П. Шитов, ДАН СССР, 187, № 2, 1969.
- 24. T. W. Cole, H. K. Hesse, C. G. Page, Nature, 225, 713, 1970.
- 25. G. R. Huguenin, R. N. Manchester, J. H. Taylor, Ap. 1, 169, 97, 1971.
- 26 J. H. Taylor, G. R. Huguenin, Ap. J., 167, 273, 1971.
- 27 D. H. Roberts, Ap. J., 207, 949, 1976.
- 28. V. Rudhukrishnan, R. N. Manchester, Nature, 222, 228, 1969.
- 29. P. E. Reichley, G. S. Downs, Nature, 222, 229, 1969
- 30. P E. Reichley, G. S. Downs, Nature Phys. Sci., 224, 48, 1971.
- 31. R. N. Manchester, W. M. Goss, P. A. Hamilton, Nature, 259, 291, 1476.
- P. E. Boynton, E. J. Groth, D. P. Hutchinson, G. P. Nanos, R. B. Partridge, D. T. Wilkinson, Ap. L., 175, 217, 1972.
- 33 E Losen, Nature, 258, 688, 1975.
- 34 A. D. Kuzmin, V. M. Molofeev, Yu. P. Shitav, J. G. Davies, A. G. Lyne, B. Rowson, M. N., 185, 441, 1978.
- 35. K. Davidson, Y. Terzian, Nature, 221, 729, 1969.
- A. J. R. Prentice, D. ter-Haar, Nature, 222, 964, 1959.
- 37. K. Davidson, Y. Terzian, Astron. J., 74, 849, 1969
- 38 Y. Terzian, a c6. "The Physics of Pulsars", Gordon and Breach, 1972, p. 85.
- 39. J. H. Taylor, R. N. Manchester, Ap. J. 215, No. 3, 1977.
- 40. D. H. Clark, J. L. Caswell, M. N., 174, 267, 1976.
- Дж. Л. Верскер, в с.б. «Галактическая и внегалактическая радиоастрономия». Мир. М., 1976.
- 42. D. H. Stueltn, E. C. Reifenstein, Science, 162, 1481, 1968.
- 43. W. J. Cocke, M. J. Dinney, D. J. Taylor, Nature, 221, 525, 1962 (pycca. nep. a [8]).
- 44. F. Pacini, Nature, 221, 169, 1969.
- 45. F. Pacini, Nature, 216, 567, 1967.
- 46. F. Pacini, Nature, 219, 145, 1968.
- J. M. Comella, H. D. Craft, R. V. Lovelace, J. M. Sutton. G. L. Tyler, Nature, 221, 453, 1969 (pycer. hep-n [8]).
- E. K. Conklin, H. T. Howard, J. S. Miller, E. J. Wampler, Nature, 222, 552, 1969 (pyccs, nep. a [3]).
- E. A. Boldt, U. D. Desai, S. S. Holt, P. J. Serlemitson, R. F. Silverberg, Nature, 223, 280, 1969.
- 50. H. V. Bradt, a c6. "The Physics of Pulsars", Gordon and Breach, 1972, p. 33.
- P. T. Wallace, B. A. Peterson, P. G. Murdin, I. J. Danziger, R. N. Manchester, A. G. Lyne, W. M. Goss, F. G. Smith, M. J. Disney, K. F. Hartley, D. H. P. Jones, G. W. Wellgate, Nature, 266, 692, 1977.
- R. A. Hulse, J. H. Taylor, Ap. J., 195, L51, 1975.
- 53, C. M. Will, Ap. 1., 203, 851, 1976.
- 54. P. M. McCulloch, J. H. Taylor, R. Weisberg, Ap. 1, 227, 1.133, 1979.
- 55. J. E. Gunn. J. P. Ostriker, Ap. J., 160, 979, 1970.
- 56. J. H. Taylor, R. N. Manchester, Ap. 1., 215, 885, 1977.
- 57. R. B. Hanson, M. N., 186, 357, 1974. 58. J. G. Hills, Ap., J., 221, 973, 1978.
- 59. J. P. Ostriker, D. O. Ri hstone, T. X. Thunn, Ap. J., 189, L.119, 1974.
- 60. М. А. Мнараканян (неопубликовано).
- 61. J. G. Davies, A. G. Lyne, J. H. Seiradakis, M. N., 179, 635, 1977.

АСТРОФИЗИКА АСТРОФИЗИКА

TOM 15

АВГУСТ, 1979

выпуск з

NAK 523.841

МОДЕЛИРОВАНИЕ ПССЕДЕННЯ ПУЛЬСАРА В НИЗКОТЕМПЕРАТУРНОЙ ЛАБОРАТОРИП (С630p)

Дж. С. ЏАКАДЗЕ, С. Дж. ЦАКАДЗЕ

Изложены редультаты экспериментального изучения свойств сверхтекучего Hell в режиме исстационарного вращения. На основе анализа вкспериментальных данума псказано, это особености вращения пульсаров (внеданные подскоки скорости, осциллящим угловой скорости вращения, длительные релаксационные процессы) могут быть объемены на основе представления о сверхтекучести нейтронной жидкости в пульсарах.

Как известно, крупнейшее открытие в астрофизике XX века было сделано в 1967 г. в Англии при испытании нового радиотелескопа, когда чувствительная электронная аппаратура зарегистрировала регулярные радиоимпульсы [1] (в метровом диапазоне), интервал времени между которыми был порядка секунды и постоянным с точностью до миллиардных долей секунды. Первой мыслыю английского ученого Хьюиша и его учеников, открывших столь удивительные импульсы космического происхождения, была мысль о сигналах висземной цивилизации. Однако вскоре были получены повые данные о природе таниственных сигналов, которые не оставили сомнения в их естествениом происхождении. Источники этих сигналов были надраны пульсарами. Через некоторое время выяснилось [2], что пульсары являются нейтронными звездачи, которые еще в 30-е годы были открыты «на кончике пера» известным советским ученым, академиком Ландау [3]. Исходя на теоретических соображений он показал, что во Вселенной должны существовать сверхплотные небесные тела малых размеров. Масса этих тел должна быть порядка массы Солнца, а размер порядка 10 км, плотность вещества в них должна быть - 1014 г/см4. Такой плотностью обладает вещество, из которого состоят ядра атомов. Таким образом, пульсар представляет собой как бы гигантское атомное ядро.

В дальнейшем учеными различных стран было показано, что сверхплотные звезды действительно должны состоять из ядерного вещества:
нейтронов, прогонов и алектронов, что они, ати звезды, должны образовываться в результате взрыва свсрхновых [4], когда у звезд, масса которых порядка массы Солица, исчерпывается запас «горючего» и начинается их катастрофическое сжатие: вещество звезды с огромной скоростью
начинает падать на ее центральную часть, температура которой быстро
растет, пока не произойдет сильнейший даже в космических масштабах
взрыв. При втом образуется туманность, а в ней быстровращающаяся
нейтропная звезда — пульсар. В этот момент температура звезды достигает 10° градусов. Уже через несколько лет температура звезды уменьшается на два-три порядка и потом уже долго держится постоянной.



Рис. 1. Схематический разрез пульсара.

Согласно современным представлениям, развитым американскими учеными Беймом, Петиком, Пайнсом и Рудерманом [5], пульсар имеет следующее строение (см. рис. 1): внутри твердой железной оболочки звезды (состоящей из ядер Fe^{56}) находится нейтронная жидкость с малой примесью протонов и электронов. Плотность вещества коры $\sim 10^7$ г/см³, а нейтронной жидкости — $\sim 10^{14}$ г/см³. Тяжелые пульсары должны иметь также твердую сердцевину, состоящую из нейтронной или адронной кристаллической решетки [6]. Благодаря огромной плотности ускорение си-

лы тяжести на поверхности пульсара примерно $10^{10}-10^{12}$ g (д-ускорение силы тяжести на поверхности Земли). Магнитное поле атой звезды также должно имегь колоссальную напряженность, приблизительно $10^{11}-10^{12}$ Гс. Из-зв несовпадения «географического» и магнитного полюсов пульсара его магнитная ось имеет значительный наклон относительно оси вращения. Если теперь учесть, что излучение пульсара направлено пренмущественно вдоль магнитной оси, то станет ясным, почему мы регистрируем его в виде импульсов: это происходит тогда, когда магнитная ось пульсара направлена на Землю. Отсюда, между прочим, иытекает, что мы можем зарегистрируемать только малую часть общего количества пульсаров: излучение большичства из них проходит мимо земного наблюдателя. И действительно, согласно оценкам [7] количество пульсаров во Вселенной должно быть $\sim 10^7$, из них на сегоднящиний день открыто ~ 200 .

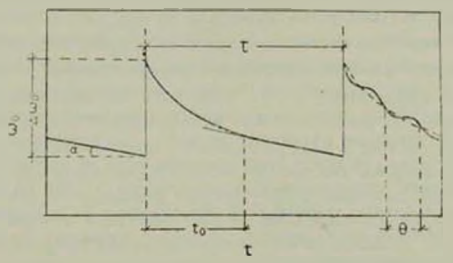
Естественно, что изахучающий пульсар должен притормаживаться, то есть с течением времени период его вращения должен расти. Справедливость этого поедположения была доказана уже в 1969 г., почти для всех известных тогда пульсаров, что сыграло роль решающего подтверждения тожасственности пульсаров с молодыми нейтронными звездами. Зная период вращения пульсаров (который для различных звезд меняется в пределах (0.333...÷ 4) с) и темп их замедления (что составляет ~ 10 10-9 с в сутки), можно определить возраст звезды. Например, для пульсара Крабовидной туманности такая оценка дает ~ 1000 лет, что хорошо совпадает с возрастом этой туманности, пульсар Парусов X имеет возраст порядка 104 лет, это есть возраст туманности Парусов X, определенный радиоастрономическими методами. Так же можно определить, что пульсар PSR 0611-22 связан с раднотуманностью IC 433, их возраст 65 тысяч лет, а самые старые из пульсаров имеют возраст более миллиарда лет. Первый из открытых пульсаров уже прожил пять миллионов лет (после букв «PSR», что обозначает пульсар — (Pulsar) указаны вкваториальные координаты звезды: первые четыре цифры дают прямое восхождение в часах и минутах, а последние две — склонение в градусах и минутах). Оценки показывают, что туманность, которая рождается вместе с пульсаром, рассасывается в пространстве примерно за сто тысяч лет. Этот факт подтверждается наблюдениями: вокруг «старых» пульсаров нет никаких туманностей, тогда как «молодые» пульсары, наоборот, находятся в туманностях — остатьах сверхновых. Самый быстровращающийся пульсар PSR 0532-21 с пернодом вращения 0.033 ... с (в настоящее время пернод вращения пульсаров определяется с точностью до 11-го знака) занимает центральную область Крабовидной туманности. Дата рождения этого пульсара — 1054 г. В том году в созвездии Тельца китайскими и японскими астрономами был зарегистрирован «небесный гость» — такая яркая

сверхновая, что она была видна даже днем. В центре Крабовидной туманности еще в прошлом веке были наблюдены две близкие звездочки соседи. Одна из них обычная звезда, с характерным для таких звезд спектром. Вторая - голубая ввезда. Ее спектр отличается от спектра всех других звезд отсутствием эмиссионных линий, а также линий поглощения: он сплошной, что указывает на необычную природу издучения этой звезды. Уже в 30-х годах было высказано предположение, что голубая звезда является нейтронной звездой, а ее излучение имеет нетепловую природу. Вскоре после того, как в центре Крабовидной туманности был открыт пульсар, на голубую звезду изглянули через стробоской, период вращения которого равиялся периоду вращения пульсара. Когда фазы вращения стробоскопа и пульсара совпадали, голубая звезда регистрировалась на фотопленку. При расстройстве фаз звезды не было. Так было доказано. что голубая звезда Крабовидной туманности, которую мы видим как слабую звезду 16-ой величины, есть пульсаю PSR 0532+21. Оказалось, что оптическое излучение этого пульсара имеет синхротронную природу, то есть вызвано движением реаятивистских электронов в магнитном поле звезды. Синхротронное излучение характеризует и саму Крабовидную туманность, при этом поставшиком заряженных частиц является пульсар. Следует отметить, что впервые на синхротронную природу излучения Крабивидной туманности указал советский ученый Шкловский [8] в 1953 г. Затем Гинзбург и Гордон предположили, что в таком случае это излучение должно быть поляризовано линейно. Вскоре, в 1954 г., Вашакидзе [9] экспериментально обнаружил этот эффект.

Кроме радиоволи и видимого света пульсар PSR 0532+21 излучает рентгеновские лучи и 7-кванты. Пульсары в основном излучают радиоволны в метровом и дециметровом диапазонах. Основное излучение около 20-и пульсаров более жесткое — в области рентгеновских дучей, 3 пульсара излучают и видимый свет. Миогие теоретические соображения указывают на то, что пульсары могут явиться одним из источников космических дучей. В последнее премя ата точка зрения, по-видимому, подтверждается и акспериментально [10].

Тщательные наблюдения показали, что вращение пульсара харэктеризуется рядом особенностей. На рис. 2 показана временая зависимость скорости вращения пульсара. Как уже было отмечено выше, скорость вращения, хотя очень медлению, но все же уменьшается [11, 12] у всех без исключения звезд. На фоне этого уменьшения возможны и резкие подскожи скорости, как это было зарегистрировано у двух самых быстрых пульсаров PSR 0532+21 и PSR 0833—45. Это явление впервые наблюдалось в 1969 г. [13—16]. В последующие годы PSR 0833—45 ускорялся еще дважды: в 1971 г. [17] и в 1975 г. [18], а пульсар PSR 0532+21 ускорялся че-

рез каждые три месяца [6] (с такой частотой происходят, так называемые, мэкроускорения). Интервал времени в между атими событнями является весьма важной характеристикой поведения пульсаров. Еще более необычное явление наблюдалось у обеих звезд после внезапного увеличения скоростиначалось их более резкое, чем до скачка скорости, замедление, которое длилось в течение времени в по истечении которого замедление пульсаров вернулось к прежнему темпу [19]. Это указывает на возникновение релаксационных процессов при ускорении заезды, которые длятся в тече-



Ри . 2. Зависимость угловой скорости вращения пульсаров от времени. t_u премя релаксации, — нетервал времени между ускорениями, θ — период о пилляций угловой скорости вращения.

ние времени t_0 . Это время для пульсара Парусов X порядка 1.2 года, а для пульсара Крабовидной туманности меняется в пределах $5\div 15$ дней [20—22]. Третье характеристическое время связано со следующим феноменом: оказалось, что после подскока скорости, в процессе замедления, происходит осцилляция скорости вращения с периодом $\mathfrak h$. Это время для обоих пульсаров порядка нескольких месяцев [23]. Все ати особенности поведения пульсаров, независимо от других соображений, приводят к вышеописаниой схеме строения втой звезды. Более того, оказалось, что возможно продемонстрировать все наблюденные астрофизиками явления в низкотемпературной лаборатории, при помощи сверхтекучего гелия, залигого в сферический контейнер, который может свободно вращаться в парах жидкости с малым замедлением из-за трения.

Что такое сверхтекучесть? Это явление беспрепятственного протекания через узкие щели и капилляры для жидкого гелия было открыто в 1938 г. Капицей [24]. Сверхтекучее состояние, когда жидкость целиком лишена вязкости, с точки зрения классической физики является противоестественным, незаконным явлением, и только квантовая механика может объяснить как отсутствие вязкости у жидкого гелия, так и ряд других парадоксальных и уникальных особенностей этого явления. Теория сверхтекучести была создана Ландау в 1941 г. В этой теории [25] показывается, что жидкий гелий — квантовая жидкость, подчиняющаяся законам квантовой механики. Эта жидкость не замерзает даже при абсолютном нуле, если не создать над ее поверхностью давление в 25 атм. При понижении температуры инже 2.17 К, в жидкости происходит фазовое превращение второго рода, образуется новая, сверхтекучая фаза, плотность которой Р, по мере дальнейшего понижения температуры возрастает. При этом соответственно уменьшается плотность нормальной компоненты (так что полная плотность жидкости / остается постоянной и равной 🔭 👚 👠 Таким образом, жидкий гелий ниже 2.17 К при любой температуре, не равной иулю, состоит из смеси нормальной и сверхтекучей компонент. Нормальная компонента, в свою очередь, состоит из тепловых возбуждений фононов и роточов, которые, как частицы идеального газа, движутся в объеме сверхтемучей жидкости, находящейся в основном состоянии, вовлекая в тепловое движение различные се части. Следовательно эти компоненты принципнально не могут быть отделены друг от друга. Несмотря на это, в классических вкспериментах Андроникашвили [26] было не только доказано существование сверхтекучей компоненты, но и измерена температурная зависимость се плотности, которая оказалась совпадающей с предсказаниями теории Ландау.

Следующий качественно новый шаг в учении о сверхтекучести был сделан Фейиманом [27], который, основываясь на гипотеае Онсагера [28] и экспериментах Андроникашиили, показал, что во вращающемся сверхтекучем гелии образуются вихри с циркуляцией, равной единичному кванту $\Gamma_0 = h/m/(m-m)$ масса атома гелия, h- постоянная Планка), и если без вихрей сверхтекучая компонента не взаимодействует с другими телами, то есть полностью лишена вязкости, то во вращающемся состоянии у него появляется аффективная вязхость, обусловленная рассеянием квантов тепловых возбуждений на стволах вихрей. Оказалось, что вихри возникают при определенной скорости вращения, именуемой первой критической скоростью (и обычных услониях $m_{c1} \sim 10^{-1}~{\rm c}^{-1}$). По мере роста скорости вращения их число растет, а при, так называемой, второй критической скорости число вихрей настолько велико, что ися сверхтекучая компонента превращается в нормальную (для жидкого гелия $m_{c2} = 10^4 - 10^3~{\rm c}^{-1}$).

Низкотемпературная школа грузинских физиков, созданная и возглавляемая Андроникашвили, имеет значительные достижения в деле теоретического и экспериментального изучения свойств вращающегося сверхтекучего гелия [29, 30]. В Грузии были впервые выявлены и объяснены многие удивительные и интересные свойства этой жидкости, были после-

дованы закономерности рождения [31] и распада [32] вихрей, их упругие свойства [33, 34] и т. д. О некоторых из них речь будет идти ниже.

Еще до открытия пульсаров, в 1959 г., Мигдал [35] показал, что если существуют нейтронные звезды, то нейтроны в них должны образовать сверхтекучую жидкость с температурой перехода в сверхтекучее состояние $\sim (10^{10}-10^{12})$ К. Также до открытия пульсаров из работы Гинзбурга и Киржница [36] стало известно, что в сверхтекучей нейтронной жидкости должны образоваться квантованные вихри наподобие вихрей в жидком гелии. Критическая скорость вихреобразования в нейтронной жидкости оказалось равной $\sim 10^{-14}$ с⁻¹, а вторая критическая скорость— $\sim 10^{-0}$ с⁻¹. Таким образом пульсары, скорость вращения которых лежит в интернале ($\sim 1.5-200$) с⁻¹, а температура не пренышает $\sim 10^8$ К, должны быть пронизаны квантованными вихрями.

Эти представления сыграли большую роль в деле опознания нейтроиных звезд. Действительно, из работ грузинских физиков было известно. что вовлечение во вращение сверхтекучей компоненты происходит путем рассеяния фононов и ротонов на стволах вихрей своеобразным механизмом, играющим роль вязкости сверхтекучей компоненты. Однако для установления равновесного движения в таком случае требуется гораздо большее время, чем в случае обычной вязкой жидкости. Пайис и его сотрудники [19] подсчитали, например, что если пульсар состоял бы из нормальной нейтронной жидкости, то времена установления равновесного движения после подскока скорости равнялись бы миллионным долям секунды и практически были бы ненаблюдаемы. Если бы пульсар был твердым телом, то эти времена были бы еще меньше. Только сверхтекучая жидкость требует для установления равновесного режима движения в пульсарах по нх теоретическым оченкам времени порядка $10^6 \div 10^7$ с. Таким образом, из совсем других-кинематических соображений можно придти к выводу, что пульсар в основном состоит из сверхтекучей жидкости. Конечно, наиболее убедительным является вывод, к которому наука приходит несколькими независимыми друг от друга путями. Как и в этом случае, к выводу о сверхтекучести нейтронных звезд Мигдал пришел из совсем других соображений: анализируя уравнение состояния нейтронной жидкости.

Модель пульсара, созданная в Институте физики АН Груз. ССР, представляет собой стеклянную сферу [37—39] (или цилиндр из оргстекла), подвешенную без опоры в магнитном поле (рис. 3). Специальная электронная система следит и в случае необходимости корректирует его положение в пространстве. Сфера заполняется жидким гелием и приводится во вращательное движение миниатюрным асинхроиным электромоторчиком, ротор которого соосно со сферой закреплен на оси прибора. Кратковременным включением электромоторчика можно ускорить вращение прибора,

имитируя тем самым ускорение пульсара. Световой зайчик, отраженный от вращающейся системы, падает на светочувствительный кристала, в хотором возникает электрический импульс. Как и в случае настоящего пульсара, временной интервал между этими импульсами равен периоду аращения, и модель пульсара вращается с малым замедлением из-за трения о пары жидкости. Электрические импульсы, возникшие в светочувствительном влементе, по кабелю передаются на ЭВМ, которая с большой точностью определяет закон вращения стеклянной сферы со сверхтекучей жидкостью.

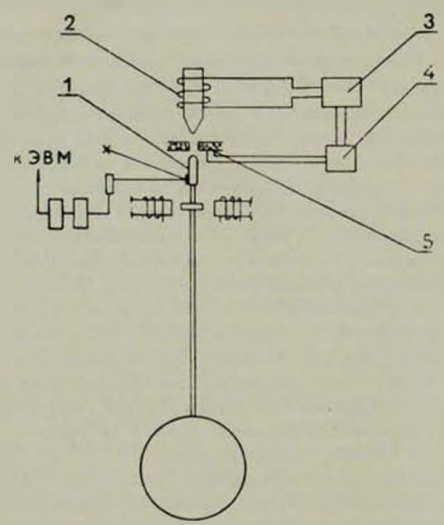


Рис. 3. Схематический чертеж прибора с безопорной магнитной подвеской. 1— ферромагнитная головка, 2— электромагнит, 3— питапие электромагнита, 4— ВЧ генератор, 5— катушка ВЧ контура-датчика положения.

Следя за изменением скорости замедления вращающейся модели в течение большого промежутка времени, заметили, что иногда сфера со сверхтекучей жидкостью самопроизвольно ускоряется, как это показано на рис. 4, на котором изображена временная зависимость скорости вращения модели пульсара. Почему это происходит?

Еще в 1959 г. при исследовании свойств вращающегося гелия, к чему тогда только приступали Андроникашвили и его ученики, было наблюдено [40] явление долгого сохранения вихрей в изменившейся обстановке. Например, если происходит резкое уменьшение скорости вращения [41],

то число вихрей, которое, как было сказано выше, пропорционально угловой скорости, уменьшается скачком через большое время, достигающее нескольких сотси секунд. Как правильно заметил Паккард [42], момент количества движения распавшейся группы вихрей передается жидкости,

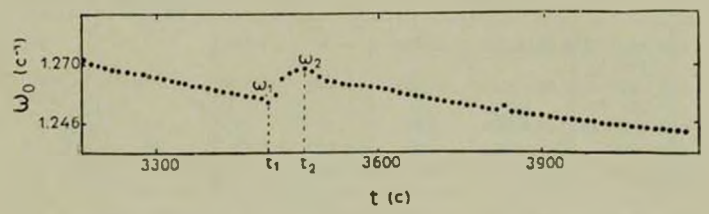


Рис. 4. Зависимость угловой скорости пращения сосуда с Hell от времени.

которая и ускоряется. Причиной же ускорения пульсара, по мнению Рудермана [43], является, так называемое, звездотоясение. Из-за быстрого вращения кора пульсара имеет сплюснутую форму, как у Земли и других вращающихся небесных тел. Это вызнано действием центробежной силы и силой тяжести. Равновесие между этими силами наступает, когда вращающаяся сфера несколько сплюснута у полюсов. По мере замедления скорости вращения звезды центробежные силы, действующие на кору в экваториальной области, постепенно уменьшаются, а сила тяжести остается прежней. Равновесие между втими силами нарушается, в коре возникают и усиливаются механические напряжения, которые в конце концов приводят к скачкообразному оседанию коры у экватора. Это и есть явление звездотрясения, при этом скорость вращения резко подскакивает из-за сохранения момента количества движения (атим законом пользуются, например, мастера фигурного катания, когда для увеличения скорости вращения быстро приближают раскинутые в сторону руки). Пайнс и Шахам [44] подсчитали, что таким механизмом вполне можно объяснить наблюденные ускорення обоих пульсаров: и Краба, и Парусов Х, однако время между ускорениями должно быть десятки лет, что противоречит астрофизическим наблюдениям. А если в пульсаре распадается большая группа вихрей, которые накопились при замедлении его вращения, как это имеет место в замедленно вращающемся сверхтекучем гелии? Подсчитаем. В пульсаре Краба за время между соседними ускорениями набирается избыточное число вихрей — 1013. Такое же количество вихрей в пульсаре Парусов Х наберется за 700 - 1000 суток, и периоды между ускорениями втого пульсара лежат в этом интервале: 720 суток между первым и вторым и 1400 суток между вторым и третьим.

Таблица 1

	1				Времи т	
Пульсар	Период пращения Р (с)	Ускорение Р (не сутви)	Полное число вихрей N	(сутин ^{—1})	Вычисленное на основе на- ших соображе- ний (лет)	Набаю- денное (суток)
PSR 0532+21 (Kpa6)	0.033099324	36.518	6-1011	7-1011		90
PSR 0833-45 (Παργα X)	0.089209298	10.823	2-1011	3-1010	2-3	900 1400
PSR 0611-22	0.334911898	4.84	6.1014	100	15	?
PSR 0736	0.374918324	1.73	5-1014	2.5 108	30	?
PSR 2045-16	1.961565351	0.963	1016	1.5-104	3.104	?

В табл. 1 приведены результаты подсчета таким способом времени между ускорениями и других быстрых пульсаров. Насколько наши прогнозы оправдаются и для других пульсаров, покажут дальнейшие наблюдения (параметры пульсаров R и τ взяты из работы Пайнса [45], а ω_0 и $\Delta\omega_0$ из статьи Лосена [22]).

Явление самопроизвольного ускорения имеет и самостоятельный интерес. Как было предположено Андроникашвили [46], при этом происходит фазовый переход особой, квантовой природы, когда скачком меняется постоянная вихревой решетки и число вихрей в сосуде.

Движение вихрей в неравномерно вращающейся жидкости рассматривалось сотрудниками Института физики АН Груз. ССР Красновым [47], Мамаладзе и Кикнадзе [48]. В частности Кикнадзе и Мамаладзе показали, что при замедлении вращения сверхтекучей жидкости происходит непрерывное и плавное перемещение вихрей к стенкам сосуда. При втом момент количества движения постоянию передается жидкости, а резкое его ускорение происходит при выходе к стенке группы вихрей, расположенных по периферийной окружности. Рассмотрим теперь вопрос о длительности релаксационного времени t_0 .

Процесс перераспределения момента количества движения и для модели имеет макроскопическую временную протяженность (рис. 5). Естественно, ато время должно зависеть от числа вихрей (или, что то же самое, от скорости вращения v_0), количества сверхтекучей компоненты (или отношения v_a/v), раднуса сосуда R и скачка скорости v_0 . В результате тщательного исследования был получеи закон изменения t_0 от всех перечисленных аргументов. Применяя методы теории размерностей, нами была получена соответствующая формула [49]:

$$t_0 = A \left(\frac{mR^2}{\hbar}\right)^2 \omega_0^{-1} \left(\frac{\rho_0}{\rho}\right)^{-\epsilon} \ln\left(1 + c'\Delta\omega_0\right),$$

тде $A=1.0\pm0.1$, $\beta=0.40\pm0.05$, $\alpha=0.25\pm0.01$, $c'=c/\omega_{e1}={\rm const}=5.1\pm0.2$, $m={\rm macca}$ атома гелия (или пары нейтронов), $h=2\pi\hbar={\rm moctor}$ постоянная Планка.

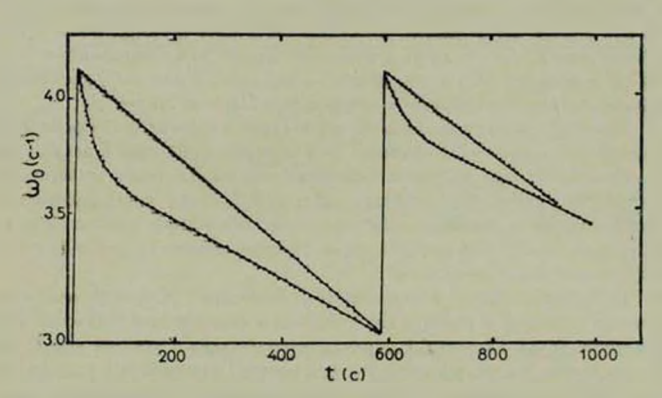


Рис. 5. Зависимость угловой скорости вращения сосуда от времени после резкого увеличения скорости вращения: верхние кривые — пустой сосуд, лижние кривые — сосуд е He II.

Если явление установления равновесия после ускорения в пульсарах происходит так же, как в сверхтекучем гелии, то эта формула должна быть справедливой и в случае пульсаров. То есть, если мы вместо раднуса сосуда, плотностей нормальной и сверхтекучей компонент, скорости вращения, массы атома гелия и величины скачка скорости подставим соответствующие пульсарам величины [50], эта формула должна дать хотя бы правильные порядки времен t_0 , известных из астрофизических наблюдений. Результаты применения этой формулы для расчета релаксационного времени в случае пульсара Крабовидной туманности, для которого известны [22] даты трех макроускорений, приведены в табл. 2.

		Тиблица			
Дата ускорения Параметры	Сентябрь 1969	Октябрь 1971	Февраль 1975		
Δ= ₀ = ₀ 10* f _{O ma6x.} (c)	9.5±3.5 (0.35±0.19) 10°	2.0±0.2 (1.31±0.34) 10 ^a	37.2±0.8 (1.34±0.1) 16 ⁶		
f _{U BMV} , (e)	(1.4±0.4) 10°	(1.4 ±0.2)-10°	(1.5 : 0.2) 10"		

В первой строке таблицы приведены отношения скачка скорости к самой скорости для трех ускорений этого пульсара. Во второй — наблюденные времена релаксации, а в третьей — t_0 , рассчитанное согласно вышеприведенной формуле. Сравнение последней строки с предыдущей показывает, что при первом наблюденном ускорении измеренное и вычисленное времена отличаются друг от друга в несколько раз, а для ускорений сентября 1971 г. и февраля 1975 г. эти времена совпадают. Такое же удовлетворительное согласие наблюдается и для пульсара Парусов X.

Наконец, рассмотрим явление осциалящии скорости после ускорения вращения. Рудерман [23] объяснил этот феномен, привлекая к делу волны. Ткаченко [51]. Еще в 1966 г. советский ученый Ткаченко теоретически показал, что в вихревой решетке сверхтекучего гелия могут распространяться упругие волны наподобие звуковых. Многолетние усилия экспериментаторов многих лабораторий были тщетны: волны Ткаченко экспериментально не были наболюдены.

Рудерман высказал предположение, что при ускорении вращения пульсара в вихревой решетке его нейтронной сверхтекучей жидкости возбуждается волна Ткаченко, которая, взаимодействуя с твердой корой, может то замедлять, то ускорять его вращение. Теоретический подсчет показал [23], что период атого качания скорости может быть выражен формулой

$$0 \sim \frac{4\pi}{5} \sqrt{\frac{m}{h\omega_0}} R.$$

В атой формуле $^9-$ частота качания скорости, $^{60}-$ скорость пращения, R- раднуе сосуда, m-масса частицы жидкости.

В лаборатории удалось пронаблюдать и это явление. Для этого бых сделан особенно легкий сосуд из тонкого оргстекла. При резком ускорении этого сосуда со сверхтекучим гелием мы каждый раз наблюдали осцилляции скорости, как это показано на рис. 6. Период этих осцилляций в точности совпадает с расчетом согласно формуле Рудермана. Таким образом, на основе двухкомпонентной модели пульсара были объяснены и причины возникновения осцилляции скорости вращения нейтронных звезд. А попутно, впервые в земных условиях, были наблюдены волны Ткаченко.

Кроме атих основных явлений поведение пульсара и во многих других деталях совпадает с поведеннем замедленно вращающейся сверхтекучей жидкости. Например, из астрофизических наблюдений известно, что перед подскоком скорости замедление пульсара происходит несколько сильнее, чем обычно [15]. В лабораторных условиях наблюдается такое же явление перед самопроизвольным ускорением. Далее, согласно теоретическим представлениям, развитым Кикнадзе и Мамаладзе [52], при торможении сверхтекучей жидкости по мере перемещения вихрей к стенкам

сосуда происходит постоянная передача момента количества движения вихрей сосуду. Этот момент тем больше, чем ниже температура. На опыте ясно наблюдается проявление этого эффекта: чем ниже температура (при других одинаковых условиях), тем меньше замедление модели.

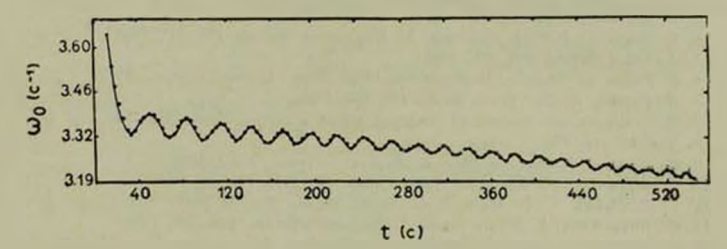


Рис. 6. Осциаляции скорости вращения сосуда с He II, возникающие после внезапного ускорения.

Таким образом, можно сказать, что эксперименты, проведенные в Институте физики АН Груз. ССР, подтверждают даже в деталях представление о сверхтекучести нейтронных звезд.

В заключение авторы благодарят Э. Л. Андроникашвили за стимулирующий интерес к работе, Ю. Г. Мамаладзе, Ю. К. Краснова, членов Объединенного низкотемпературного семинара Тбилиси и участников бакурнанских семинаров по сверхтекучести за обсуждения.

Авторы благодарят В. А. Амбарцумяна и его сотрудников за предоставление возможности обсуждения основных положений работы в Бюраканской астрофизической обсерватории, за дисскусию и ценные замечания.

Авторы благодарят Д. Пайнса и Р. Паккарда за ценные предложения.

Октябрь, 1978 г. Институт физики АН Груз. ССР

MODELLING OF THE PULSARS BEHAVIOUR IN A LOW TEMPERATURE LABORATORY

J. S. TSAKADZE, S. J. TSAKADZE

The results of experimental studies of the properties of superflow He II in a nonstationary rotation regime are given. On the basis of analysis of experimental data it has been shown that the pecularities of rotation of pulsars (unexpected speed jumps, oscillation of angular rotating speed, long relaxing processes) can be explained on the basis of notion concerning superflow of neutron fluid in pulsars.

ДИТЕРАТУРА

- A. Howish, S. T. Bail, T. D. H. Pilkington, P. F. Scott, R. A. Collins, Nature, 217, 709, 1968.
- 2. L. D. Landau, Phys. Z. Sowjetunion, 1, 285, 1932.
- 3. W. Baade, F. Zwicky, Phys. Rev., 45, 128, 1934.
- 4. G. Baum, C. Pethick, D. Pines, M. Ruderman, Nature, 224, 872, 1969.
- 5. T. Gold, Nature, 218, 731, 1968.
- 6. D. Pines, T. Shaham, M. Ruderman, IAU Simp., Bould. Colorado, 1972.
- 7. A. Pretice, D. Ter Hanr, M. N., 146, 423, 1969.
- 8. И. С. Шкловский, Звезды, их рождение, жизнь и смерть, Наука, М., 1975, стр. 242,
- 9. Там же, стр. 242.
- 10. C. Aguirro, J. Phys., A. Matem., Nucl. and Gener., 7, 12, 1974.
- 11. D. Richards, IAU Astronom. Telegr. Circ, No. 2114, 1968,
- 12. T. G. Davils, G. C. Hunt, F. G. Smith, Nature, 221, 27, 1969.
- 13. C. Papallolica, N. P. Carleton, P. Harowitz, Nature, 228, 445, 1970.
- 14. T. Nelson, R. Hells, D. Cudoback, T. Wampler, Ap. 1., Lett., 161, 235, 1970.
- 15. V. Radhacrishnan, R. N. Manchester, Nature, 222, 228, 1969.
- 16. P. E. Reichley, G. S. Downs, Nature, 222, 229, 1963.
- 17. P. E. Reichley, G. S. Downs, Nature, Phys. Sci., 234, 48, 1971.
- 18. N. Manchester, W. M. Cross, P. A. Humilton, Nature, 259, 291, 1976.
- D. Pines, Proc. of the 12-th Intern. Conf. on Low Temp. Phys., Kyoto, Japan 1970.
- P. E. Bouton, E. J. Groth, D. P. Hutchinson, Tr. G. P. Nanos, R. B. Partridge, D. T. Wilkinson, Ap. J., 175, 217, 1972.
- 21. E. Lohsen, Nature, Phys. Sci., 236, 70, 1972.
- 22. E. Lohsen, Nature, 258, 688, 1975.
- 23. M. Ruderman, Nature, 225, 619, 1970.
- 24. II. A. Kanuya, AAH CCCP, 18, 21, 1938.
- 25. L. D. Landau, J. Phys. USSR, 5, 71, 1941.
- 26. Э. Л. Андроникацияци, ЖЭТФ, 18, 424, 1948.
- R. P. Feynman, Proc. on Low Temp. Phys., North, Holland Publ. Co. Amsterdam, 1, ch. 2.
- 28. L. Onsager, Nuovo Cimento, b, Suppl., 2, 249, 1949.
- 29. E. L. Androntkashvill, Yu. G. Mamaladze, Rev. Mod. Phys., 38, 576, 1966.
- 30. E. L. Androntkashvill, Yu. G. Mamaladze, Prog. in Low Temp. Phys., North Holland Publ. Co., Amsterdam, v. 5, ch. 3,
- 31. Э. Л. Анароникашвили, Р. А. Баблидве, Дж. С. Цакадзе, ЖЭТФ, 50, 46, 1966.
- 32. Э. Л. Анароникашвили, К. Б. Месоса, Дж. С. Цакалае, ЖЭТФ, 46, 157, 1964.
- 33. Э. Л. Андроникашвили, Дж. С. Цакадзе, Сообщ. АН Груз. ССР, 20, 667, 1958.
- Э. А. Андроникашенни, Ю. Г. Мамаладзе, С. Г. Матинян, Дж. С. Цакадзе, УФН, 73, 3, 1961.
- 35. A. B. Muzgan, MOTO, 37, 249, 1959,
- 36. В. Л. Гинабург. Д. А. Киржниц, ЖЭТФ, 47, 2006, 1964.
- 37. Дж. С. Цакальс. С. Дж. Цакальс, ЖЭТФ, 64, 1817, 1973.
- 38. J. S. Tsakadze, S. J. Tsakadze, Phys. Lett., A41, 197, 1972.
- 39. Дж. С. Цаналяс, С. Дж. Цаналяс, УФН, 115, 503, 1975.
- А. Анароникашашли, Дж. С. Цакадае, Тевисы докладов V Всесоюзной конференции по физике имаких температур, Тбилиси, ИФ АН Груз. ССР, 1958, стр. 3.

- 41. З. Ш. Надирошвили, Дж. С. Цакадзе, Письма ЖЭТФ, 18, 77, 1973.
- 42. R. E. Packard, Phys. Rev., Lett., 28, 1080, 1972.
- 43. M. Ruderman, Nature, 223, 593, 1969.
- 44. D. Pines, T. Shaham, Nature, Phys. Sci., 235, 43, 1972.
- D. Ріпев. Доклад, приготовленный для 16-го Интернац. Сольвейского конгресса пофизике. Брюссель, 1973.
- Э. А. Андроникашении, Дж. С. Цакодае, С. Дж. Цакадае, Тезисы докладов Всесоюзного симпозиума по фазовым переходам и критическим явлениям, Новосибирск, 1977, стр. 3.
- 47. Ю. К. Краснов, ЖЭТФ, 73, 348, 1977.
- 48. Л. В. Кикнолле, Ю. Г. Мамаладие (в печати).
- 49. J. S. Tsakadze, S. J. Tsakadze, Phys. Lett., 47A, 477, 1974.
- 50. Сб. «Пульсары», русси, пер. под ред. В. В. Витиевича, Мир. М., 1971, стр. 19.
- 51. В. К. Ткаченко, ЖЭТФ, 50, 1573, 1966.
- 52. Л. В. Кикнадзе, Ю. Г. Мамалалае (в печати).

CONTENTS

GALAXIES WITH ULTRAVIOLET CONTINUUM. XIII	
B. E. Markarian, V. A. Lipovetsky, J. A. Stepantan SPECTROSCOPIC INVESTIGATION OF UV-GALAXIES WITH DOUBLE AND	363
MULTIPLE NUCLEI. II. THE GALAXIES WITH SEYFERT TYPE NUCLEI	
A. R. Petrossian, K. A. Sahakian, E. Ye. Khachikian	373
PHYSICAL CONDITIONS IN THE NUCLEI OF SEYFERT GALAXIES OF	
TYPE I	383
F. Borngon, A. T. Kalloghlian	393
THEORETICAL LIGHT CURVES OF SUPERNOVAE V. V. Sobolev	401
ON THE FREQUENCY OF SUPERNOVAE	
R. G. Mnatsakantan, A. V. Oskantan, L. Lovash SYNCHRONOUS UBV-OBSERVATIONS OF THE UV CETI FLARES. I	413
N. N. Kilyachkov, N. D. Melikian, L. V. Mirzoyan, V. S. Shevchenko	423
ON THE INTERPRETATION OF FLARE PHENOMENON ON RED DWARF	
STARS BY INVERSE COMPTON SCATTERING H. A. Huruthyunian, R. A. Krikorian, A. G. Nikoyhossian	424
THE SYSTEM OF THE GALACTIC PLANETARY NEBULAE, THE EVOLUTION	431
OF THEIR NUCLEI	445
ON EMISSION LINES OF Mg II AND Co II IN PLANETARY NEBULAE	
G. A. Gurzadyan THE EVOLUTION OF ENTROPY PERTURBATIONS AT THE POST-RECOM-	461
BINATION EPOCH. I. THE LINEAR STAGE	
A. S. Zentsova, A. D. Chornin	473
THE CALCULATION OF THE SPECTRUM OF THE INTEGRAL EQUATION	
OF RADIATIVE TRANSFER. II. THE PLANE LAYER OF FINITE OPTICAL THICKNESS	483
ROTATING SUPERDENSE CONFIGURATIONS TAKING IN ACCOUNT THE	103
PIONIZATION OF THE MATTER	
G. G. Haruthyuntan, V. V. Papoyan, A. V. Surkissian, E. V. Chuburtan	497
NOTES	
ON THE NEUTRINO LUMINOSITY OF MAGNETIC STARS IN CONVERGENT MODELS V. V. Skobelev	503
THE CONFIGURATIONS OF DEGENERATED MASSES ACCORDING TO THE ROSEN BIMETRIC THEORY OF GRAVITATION	505
A. V. Sarkissian, B. V. Khachatrian, E. V. Chubarian	506
LETTER TO THE EDITOR G. M. Tovmussian, E. Ts. Shahbazian, M. S. Shirbakian	513
REVIEWS	
PULSARS	515
MODELLING OF THE PULSARS BEHAVIOUR IN A LOW TEMPERATURE LABORATORY	
J. S. Tsakadze, S. J. Tsakadze	533